

Section I

TÊTE ET

COU

pour accéder à une planche (Par Ex 10.Mandibule) taper
dans la petit rectangle du bas, où figure le N° de page :
 $10+4=14$ puis validez

OS ET LIGAMENTS

Planches 1 – 16

1. Tête osseuse : vue antérieure
2. Tête osseuse : vue latérale
3. Crâne : coupe sagittale médiane
4. Calvaria
5. Base externe du crâne
6. Base interne du crâne
7. Foramens de la base interne du crâne
8. Crâne du nouveau-né
9. Squelette osseux de la tête et du cou
10. Mandibule
11. Articulation temporo-mandibulaire
12. Vertèbres cervicales : atlas et axis
13. Vertèbres cervicales (suite)
14. Ligaments cranio-vertébraux externes
15. Ligaments cranio-vertébraux internes
16. Articulation atlanto-occipitale

RÉGION SUPERFICIELLE DE LA FACE

Planches 17 – 21

17. Artères et veines superficielles de la face et du cuir chevelu
18. Nerfs cutanés de la tête et du cou
19. Branches du nerf facial et glande parotide
20. Muscles de la mimique : vue antérieure
21. Muscles de la mimique : vue latérale

COU

Planches 22 – 30

22. Muscles du cou : vue latérale
23. Muscles du cou : vue antérieure
24. Muscles infra-hyoïdiens et supra-hyoïdiens
25. Muscles scalènes et pré-vertébraux
26. Veines superficielles et nerfs cutanés du cou

- 27. Plexus cervical in situ
- 28. Artère subclavière
- 29. Artères carotides
- 30. Fascias du cou

RÉGION DU NEZ

Planches 31 – 44

- 31. Nez
- 32. Paroi latérale de la cavité nasale
- 33. Paroi latérale de la cavité nasale (suite)
- 34. Paroi médiale de la cavité nasale (septum nasal)
- 35. Artère maxillaire
- 36. Artères de la cavité nasale
- 37. Nerfs de la cavité nasale
- 38. Nerfs de la cavité nasale (suite)
- 39. Innervation autonome de la cavité nasale
- 40. Nerfs ophtalmique (V₁) et maxillaire (V₂)
- 41. Nerf mandibulaire (V₃)
- 42. Sinus paranasaux
- 43. Sinus paranasaux (suite)
- 44. Sinus paranasaux : variations avec l'âge

RÉGION DE LA BOUCHE

Planches 45 – 56

- 45. Examen de la cavité orale
- 46. Palais
- 47. Plancher de la bouche
- 48. Muscles de la mastication
- 49. Muscles de la mastication (suite)
- 50. Dents
- 51. Dents (suite)

- 52. Langue
- 53. Langue (suite)
- 54. Langue et glandes salivaires : coupes
- 55. Glandes salivaires
- 56. Innervation afférente de la bouche et du pharynx

PHARYNX

Planches 57 – 67

- 57. Pharynx : coupe médiane
- 58. Gosier
- 59. Muscles du pharynx : coupe médiane (sagittale)
- 60. Pharynx ouvert : vue postérieure
- 61. Muscles du pharynx ouvert partiellement : vue postérieure
- 62. Muscles du pharynx : vue latérale
- 63. Artères des régions orale et pharyngienne
- 64. Veines des régions orale et pharyngienne
- 65. Nerfs des régions orale et pharyngienne
- 66. Vaisseaux et nœuds lymphatiques de la tête et du cou
- 67. Vaisseaux et nœuds lymphatiques du pharynx et de la langue

GLANDE THYROÏDE ET LARYNX

Planches 68 – 75

- 68. Glande thyroïde : vue antérieure
- 69. Glande thyroïde et pharynx : vue postérieure
- 70. Glandes parathyroïdes
- 71. Cartilages du larynx
- 72. Muscles intrinsèques du larynx

- 73. Action des muscles intrinsèques du larynx
- 74. Nerfs du larynx
- 75. Laryngoscopie directe

ORBITE ET SON CONTENU

Planches 76 – 86

- 76. Paupières
- 77. Appareil lacrymal
- 78. Fascias orbitaires
- 79. Muscles extrinsèques de l'œil
- 80. Artères et veines de l'orbite et des paupières
- 81. Nerfs de l'orbite
- 82. Bulbe oculaire
- 83. Chambres antérieure et postérieure de l'œil
- 84. Angle irido-cornéen de la chambre antérieure de l'œil
- 85. Cristallin et structures de maintien
- 86. Artères et veines intrinsèques de l'œil

OREILLE

Planches 87 – 93

- 87. Trajet des sons perçus
- 88. Oreille externe et caisse du tympan
- 89. Caisse du tympan
- 90. Os et labyrinthe membraneux
- 91. Os et labyrinthe membraneux (suite)
- 92. Orientation du labyrinthe dans le crâne
- 93. Trompe auditive

MÉNINGES ET ENCÉPHALE

Planches 94 – 109

- 94. Méninges et veines diploïques

- 95. Artères méningées
- 96. Méninges et veines cérébrales superficielles
- 97. Sinus veineux de la dure-mère
- 98. Sinus veineux de la dure-mère (suite)
- 99. Cerveau : vues latérales
- 100. Cerveau : vues médiales
- 101. Encéphale : vue inférieure
- 102. Ventricules de l'encéphale
- 103. Circulation du liquide cérébro-spinal
- 104. Noyaux de la base (ganglions)
- 105. Thalamus
- 106. Hippocampe et fornix
- 107. Cervelet
- 108. Tronc cérébral
- 109. Quatrième ventricule et cervelet

NERFS CRÂNIENS ET CERVICAUX

Planches 110 – 129

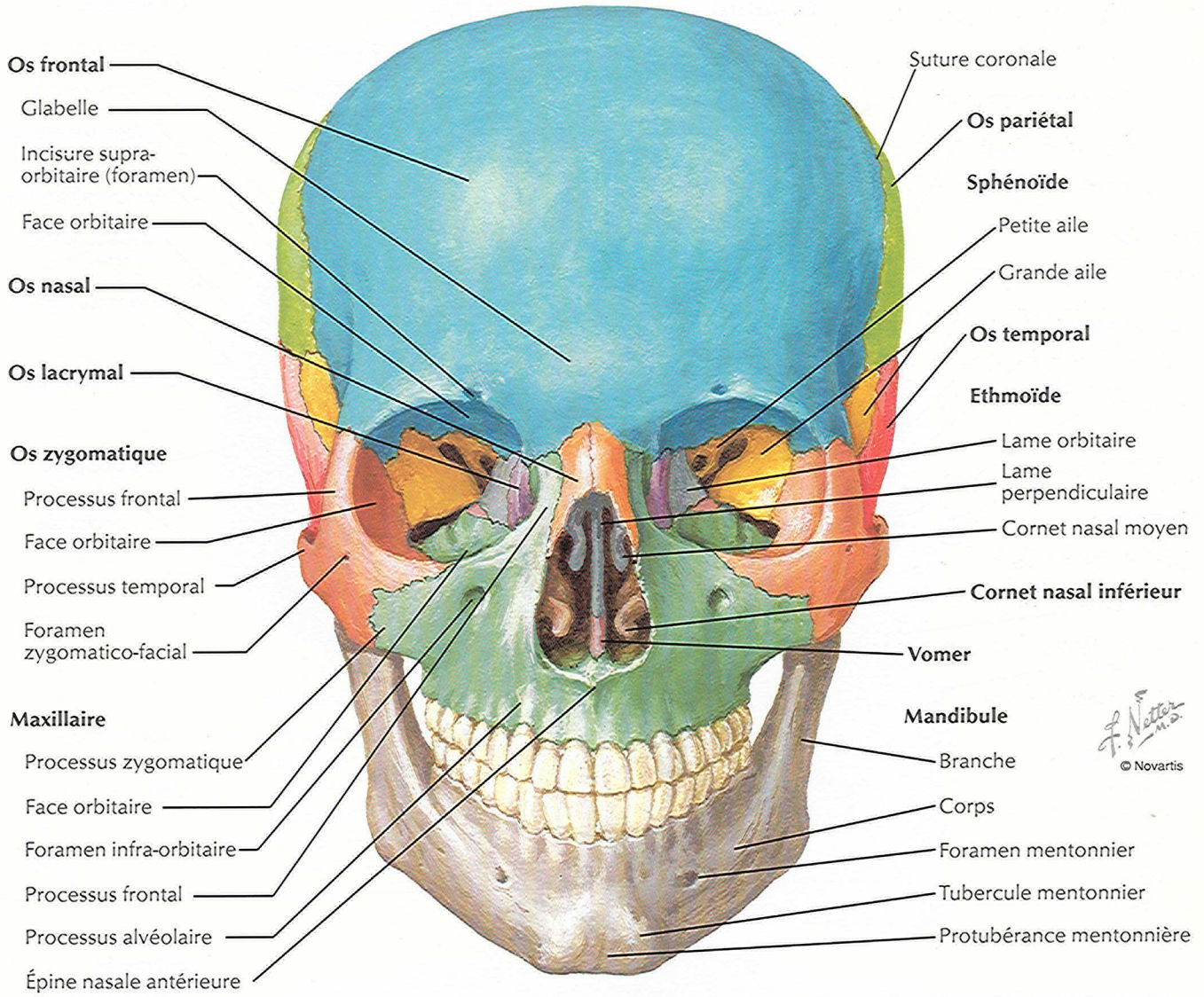
- 110. Noyaux des nerfs crâniens dans le tronc cérébral : schéma
- 111. Noyaux des nerfs crâniens dans le tronc cérébral : schéma (suite)
- 112. Nerfs crâniens (distribution motrice et sensitive) : schéma
- 113. Nerfs olfactifs (I) : schéma
- 114. Nerf optique (II) (voie visuelle) : schéma
- 115. Nerfs oculo-moteur (III), trochléaire (IV) et abducens (VI) : schéma
- 116. Nerf trijumeau (V) : schéma
- 117. Nerf facial (VII) : schéma
- 118. Nerf vestibulo-cochléaire (VIII) : schéma
- 119. Nerf glosso-pharyngien (IX) : schéma

- 120. Nerf vague (X) : schéma
- 121. Nerf accessoire (XI) : schéma
- 122. Nerf hypoglosse (XII) : schéma
- 123. Plexus cervical : schéma
- 124. Nerfs autonomes du cou
- 125. Nerfs autonomes de la tête
- 126. Ganglion ciliaire : schéma
- 127. Ganglions ptérygo-palatin et submandibulaire : schéma
- 128. Ganglion otique : schéma
- 129. Voies gustatives : schéma

VASCULARISATION CÉRÉBRALE

Planches 130 – 141

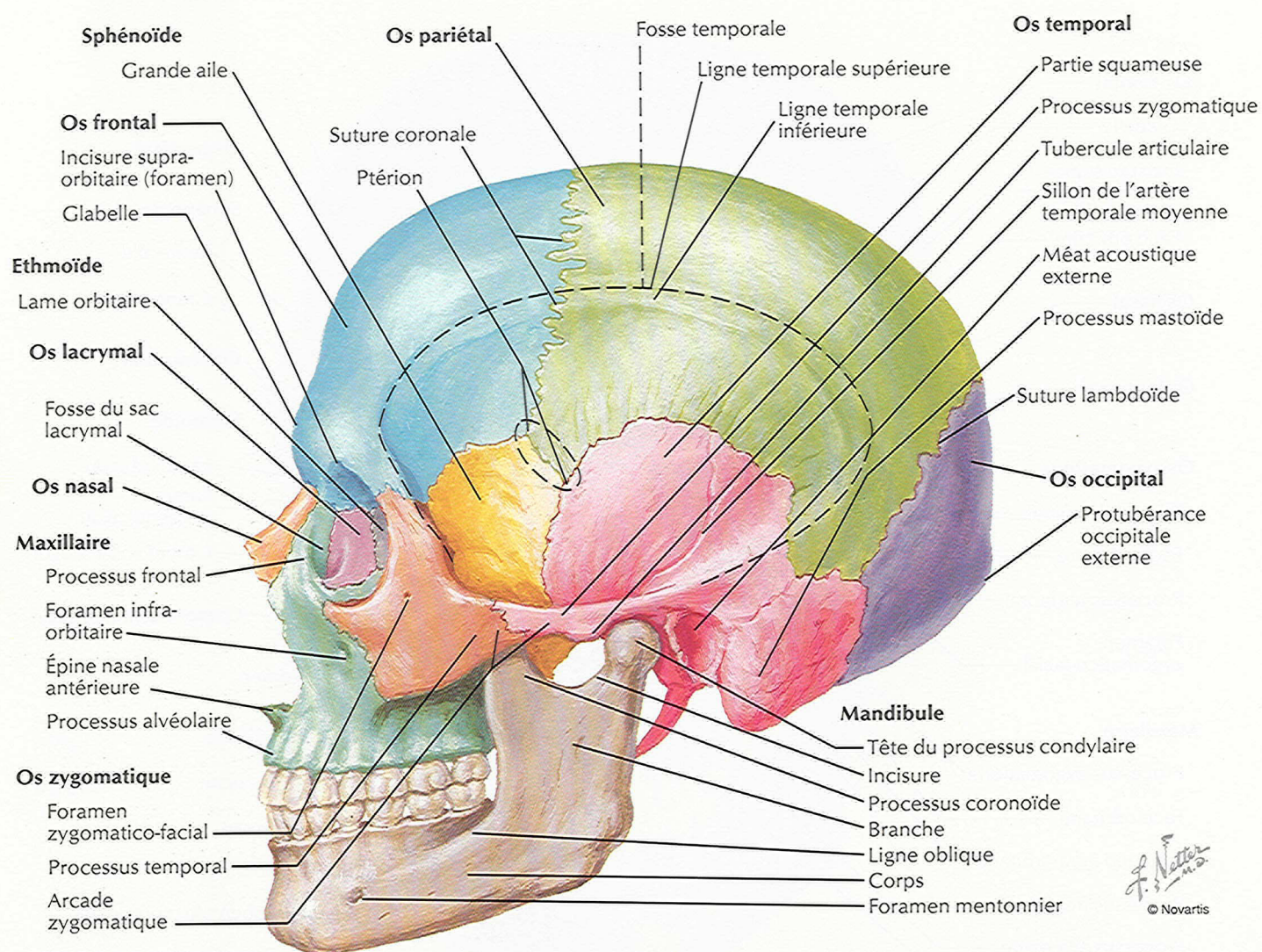
- 130. Artères destinées au cerveau et aux méninges
- 131. Artères destinées au cerveau : schéma
- 132. Artères de l'encéphale : vues inférieures
- 133. Cercle artériel du cerveau (de Willis)
- 134. Artères de l'encéphale : vue frontale et coupe
- 135. Artères du cerveau : vues latérale et médiale
- 136. Artères de la fosse crânienne postérieure
- 137. Veines de la fosse crânienne postérieure
- 138. Veines profondes du cerveau
- 139. Veines sous-épendymaires de l'encéphale
- 140. Hypothalamus et hypophyse
- 141. Artères et veines de l'hypothalamus et de l'hypophyse



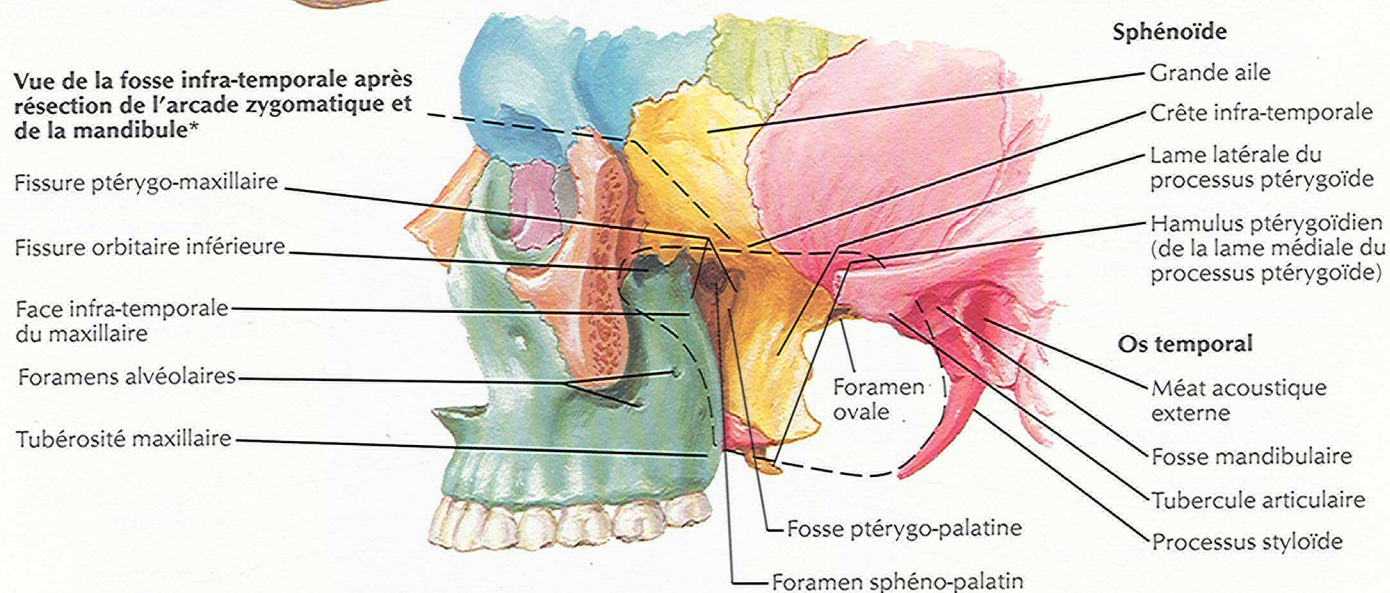
Orbite droite : vue frontale et légèrement latérale



Tête osseuse : vue latérale

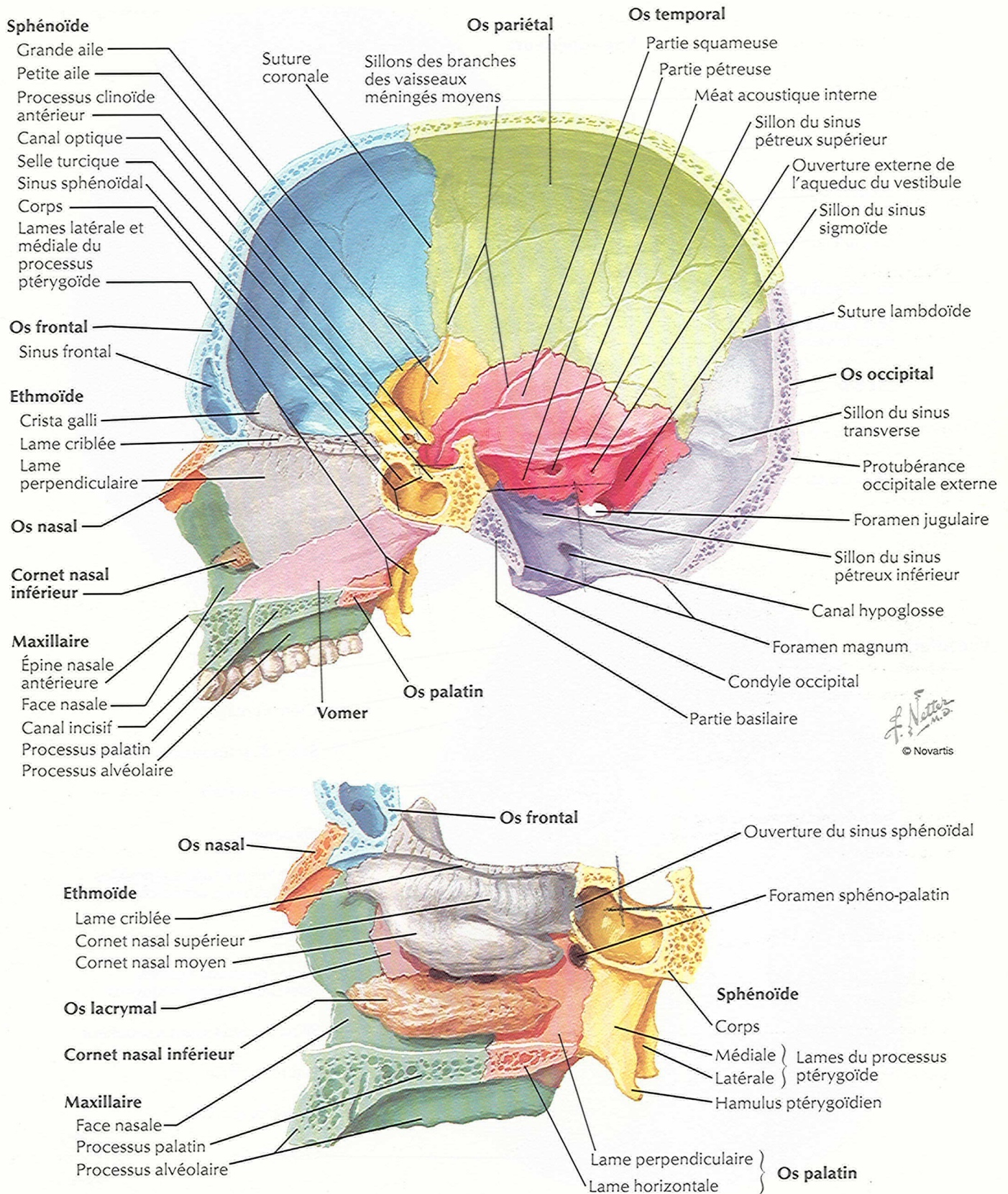


Vue de la fosse infra-temporale après résection de l'arcade zygomatique et de la mandibule*



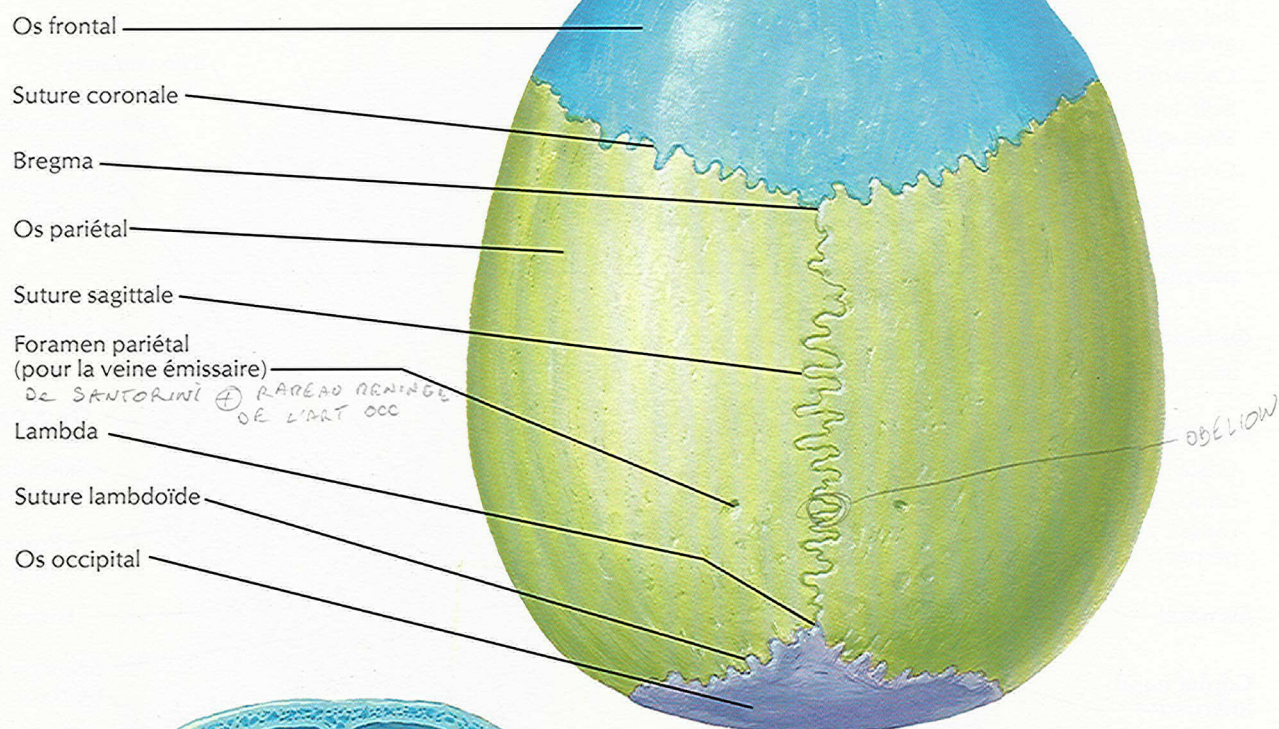
* Superficiellement, le processus mastoïde forme la limite postérieure

Crâne : coupe sagittale médiane

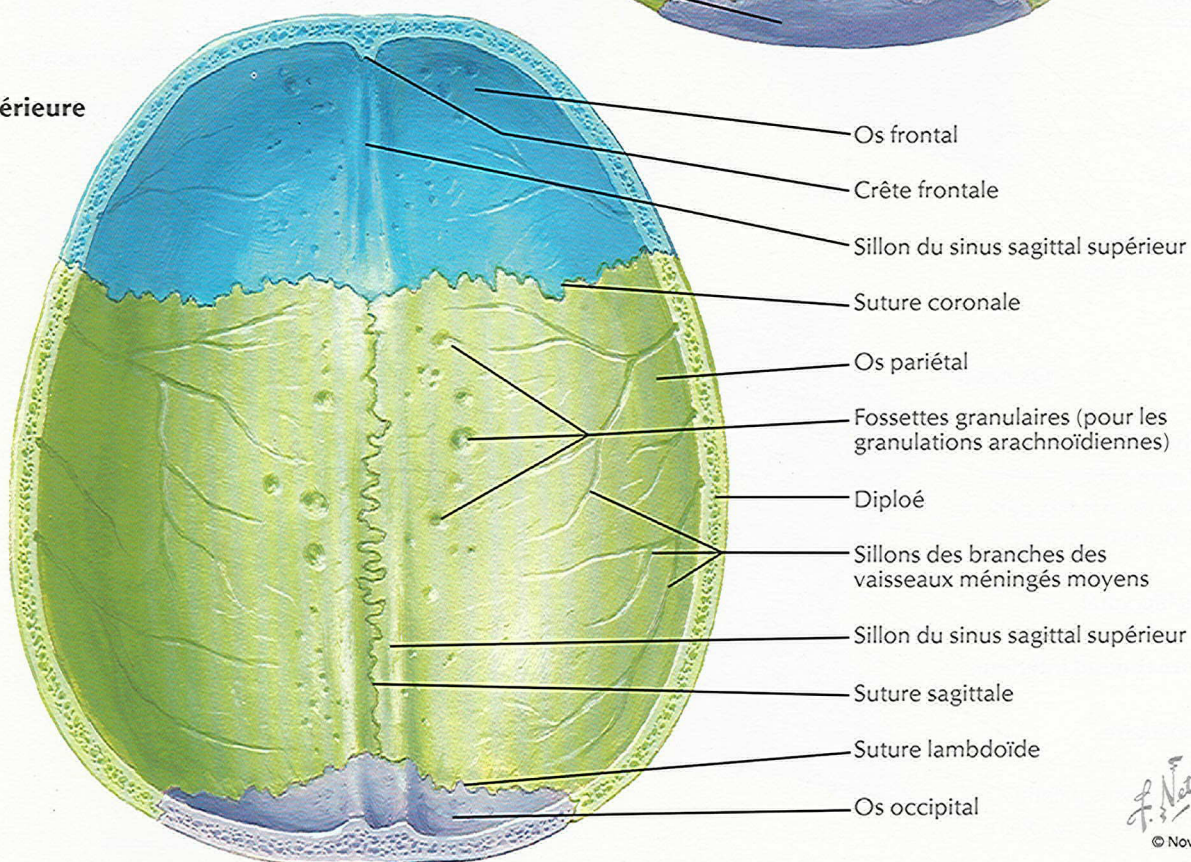


F. Natter
© Novartis

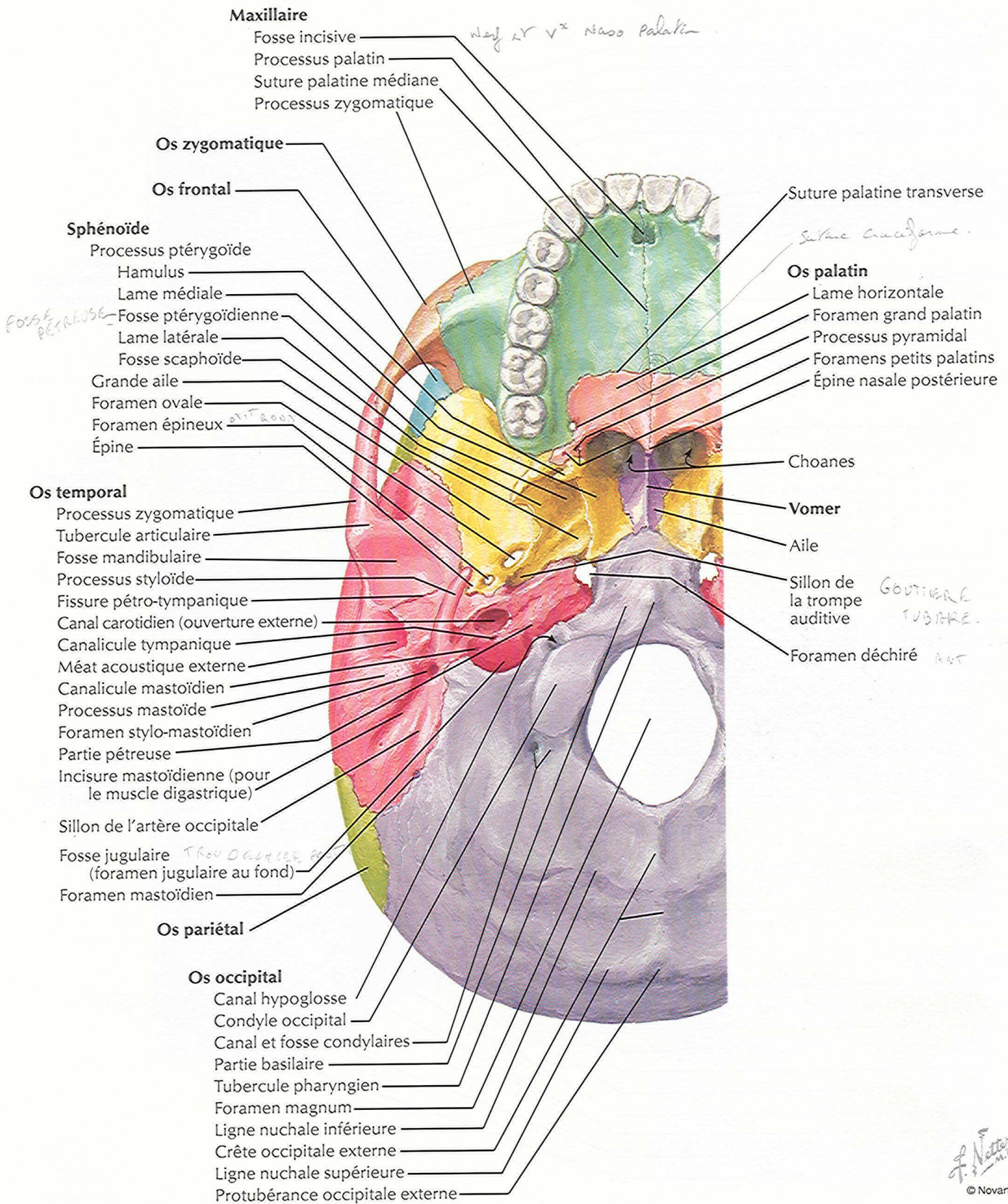
Vue supérieure



Vue inférieure



F. Netter
M.D.
© Novartis



Base interne du crâne

Os frontal

- Sillon du sinus sagittal supérieur
- Crête frontale
- Sillon des vaisseaux méningés antérieurs
- Foramen cæcum
- Face supérieure de la partie orbitaire

Ethmoïde

- Crista galli
- Lame criblée

Sphénoïde

- Petite aile
- Processus clinoïde antérieur
- Grande aile
- Sillon des vaisseaux méningés moyens (rameaux frontaux)
- Corps
- Jugum
- Sillon pré-chiasmatique
- Selle turcique
 - Tubercule de la selle
 - Fosse hypophysaire
 - Dos de la selle
 - Processus clinoïde postérieur
- Sillon carotidien (pour l'artère carotide interne)
- Clivus

Os temporal

- Partie squameuse
- Partie pétreuse
 - Sillon du nerf petit pétueux
 - Sillon du nerf grand pétueux
 - Éminence arquée
 - Empreinte trigéminal
 - Sillon du sinus pétueux supérieur
 - Sillon du sinus sigmoïde

Os pariétal

- Sillon des vaisseaux méningés moyens (rameaux pariétaux)
- Angle mastoïdien

Os occipital

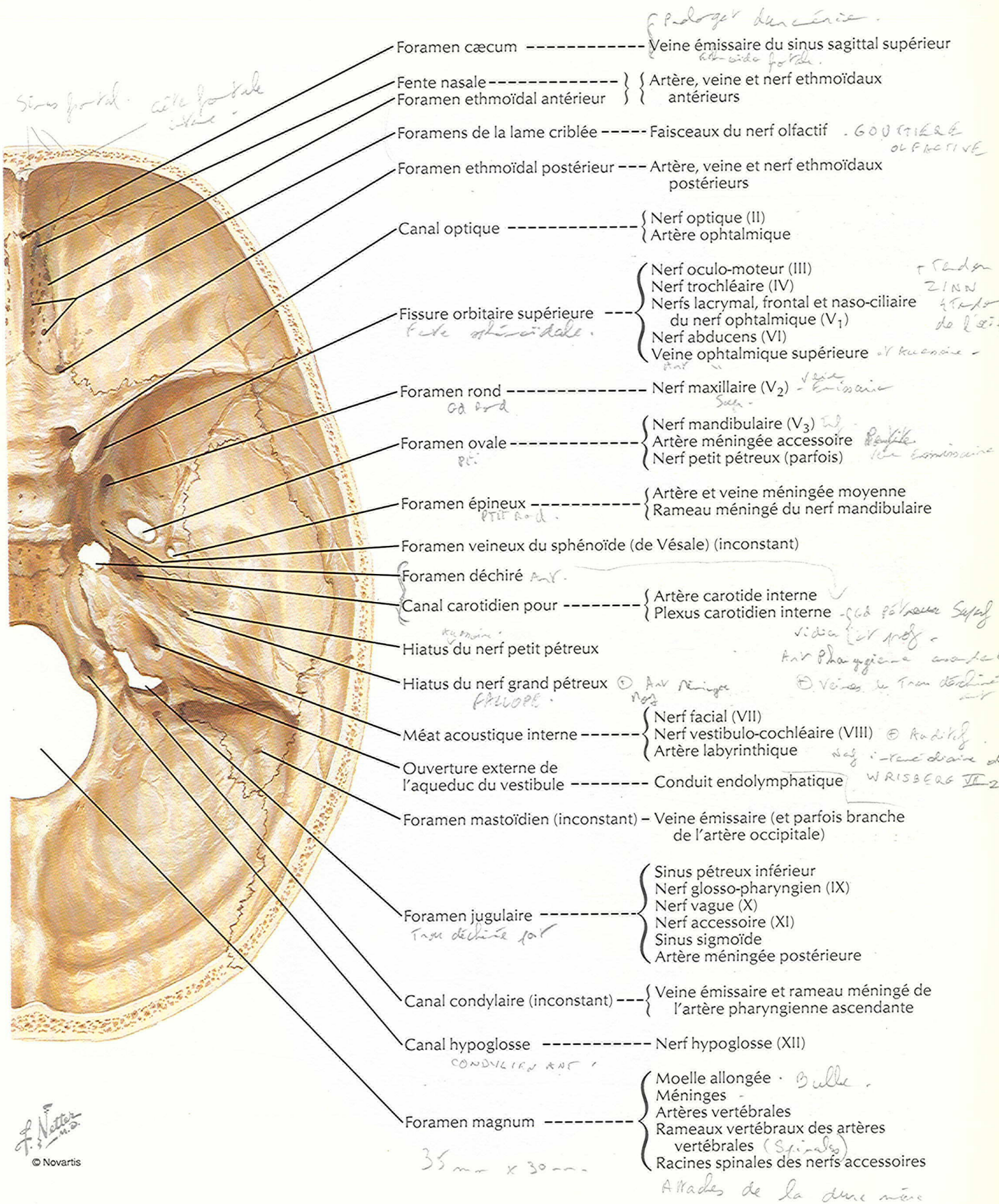
- Clivus
- Sillon du sinus pétueux inférieur
- Partie basilaire
- Sillon des vaisseaux méningés postérieurs
- Condyle
- Sillon du sinus transverse
- Sillon du sinus occipital
- Crête occipitale interne
- Protubérance occipitale interne
- Sillon du sinus sagittal supérieur

Fosse crânienne antérieure

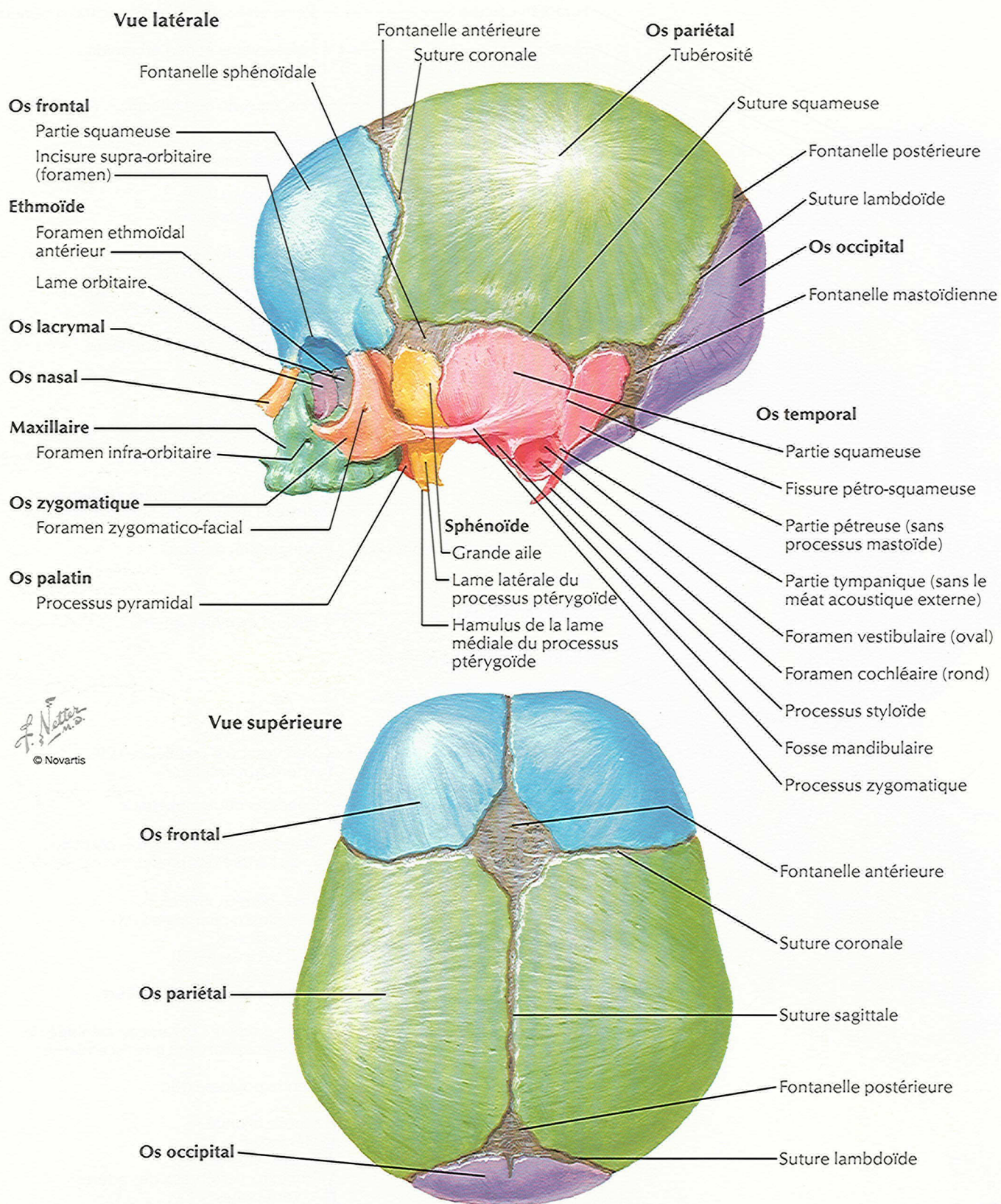
Fosse crânienne moyenne

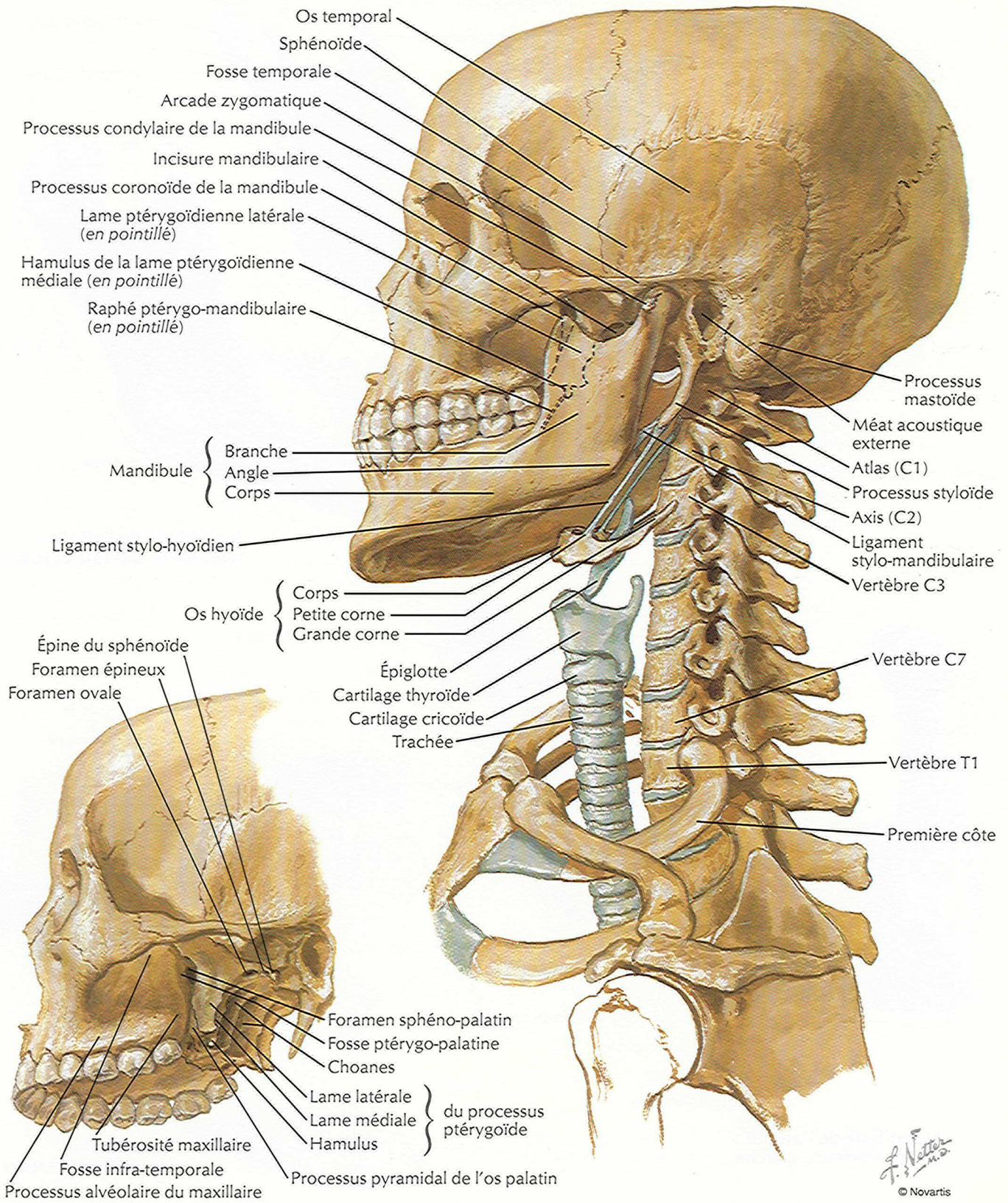
Fosse crânienne postérieure

F. Natter
© Novartis



Crâne du nouveau-né



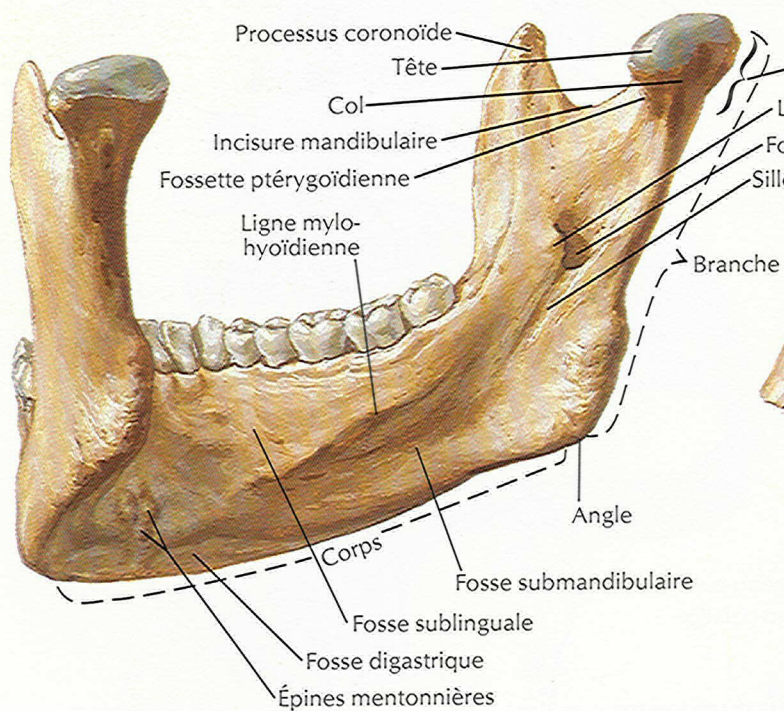
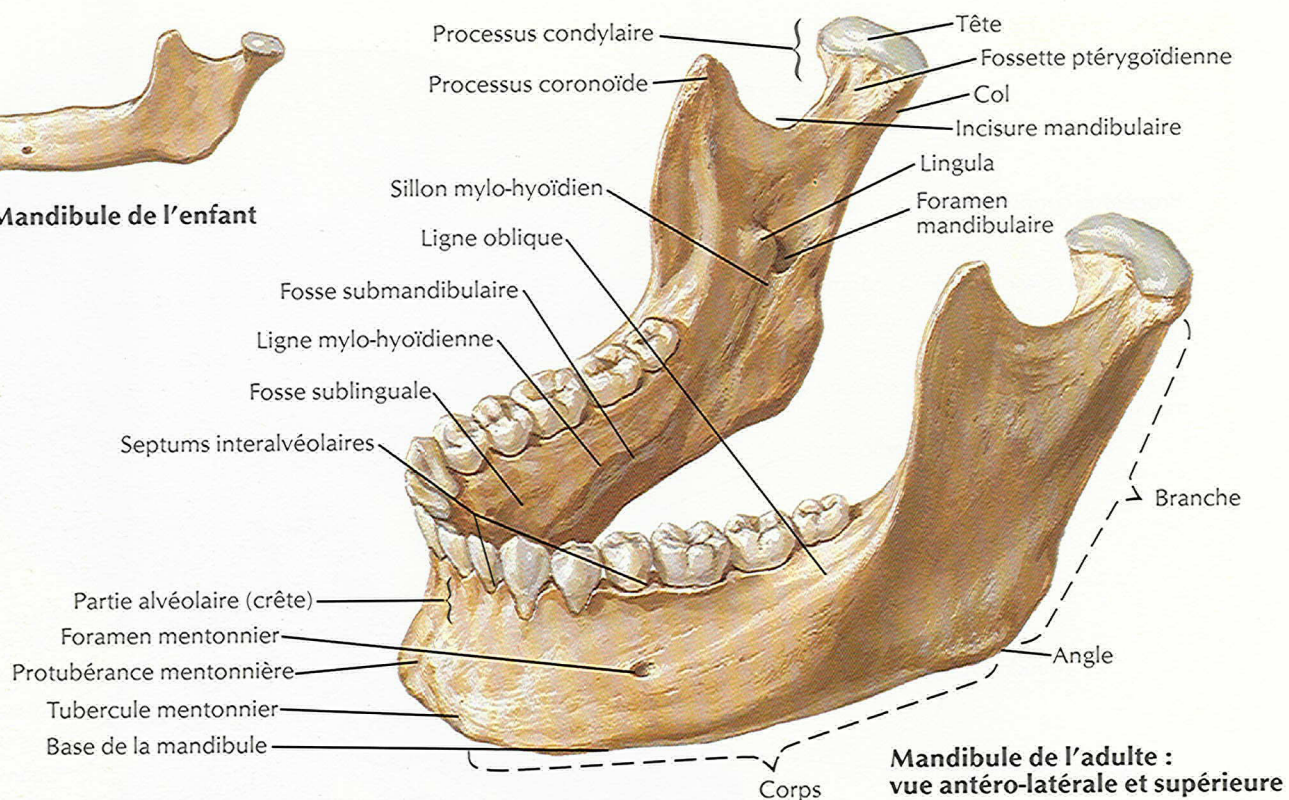


F. Netter
M.D.
© Novartis

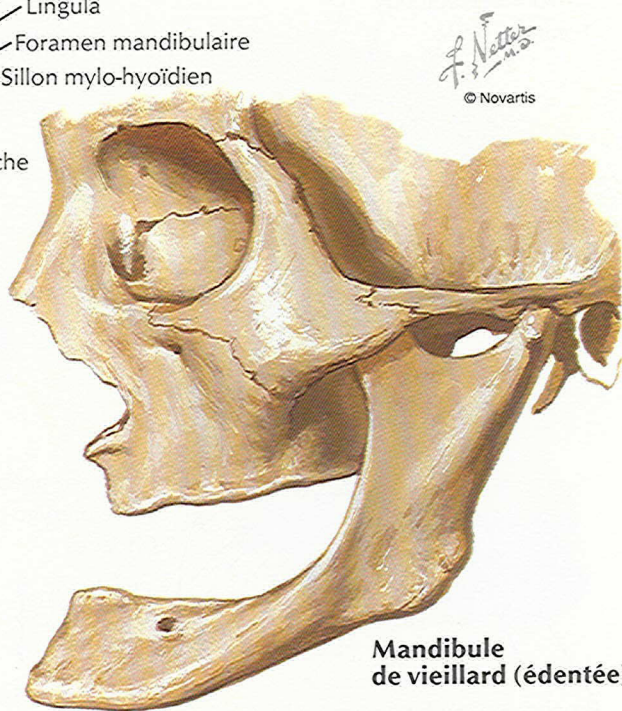
Mandibule



Mandibule de l'enfant

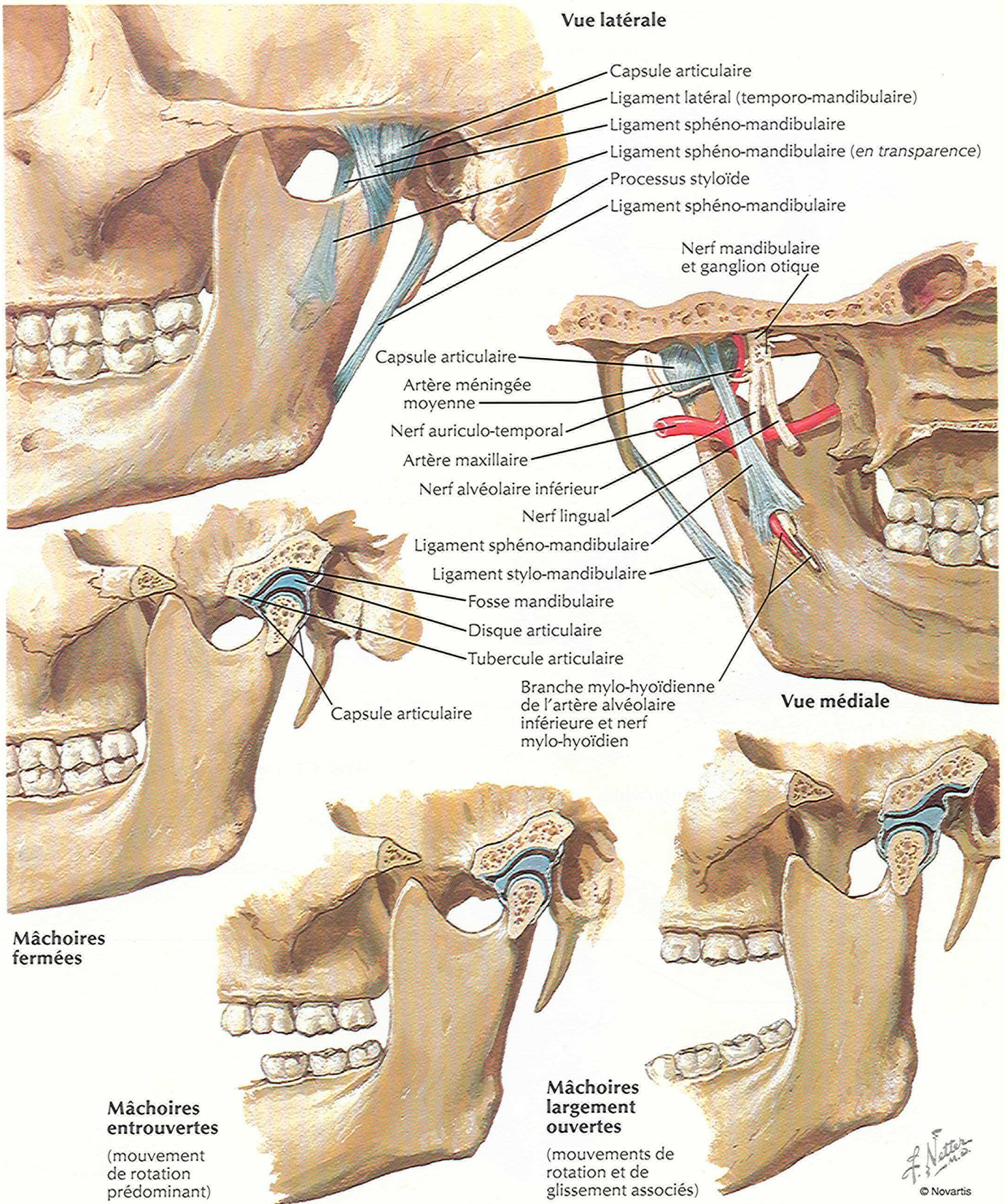


**Mandibule de l'adulte :
vue postérieure gauche**



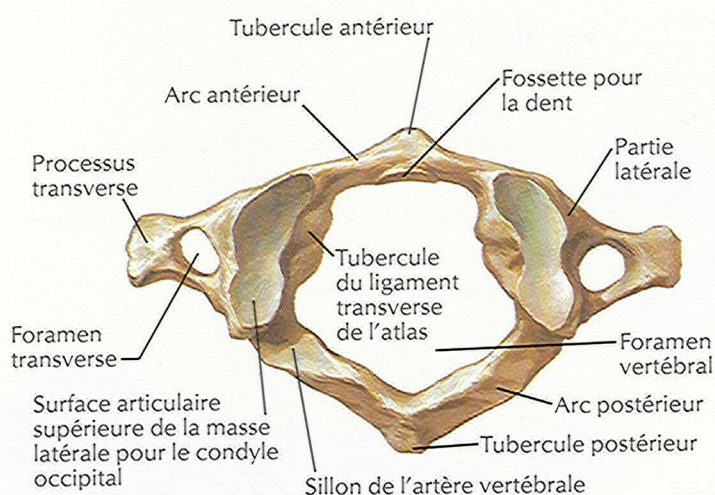
**Mandibule
de vieillard (édentée)**

F. Netter M.D.
© Novartis

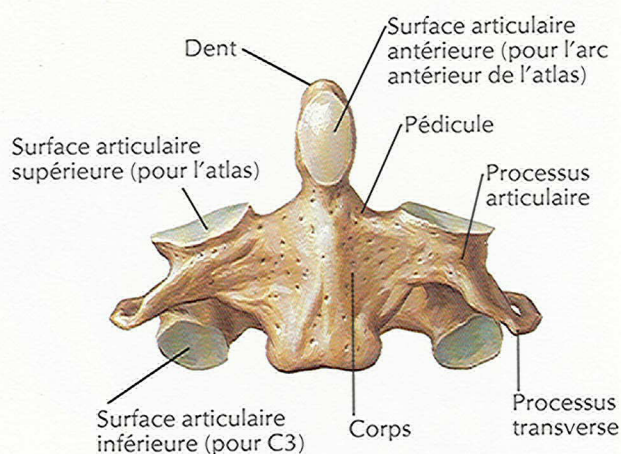


Vertèbres cervicales : atlas et axis

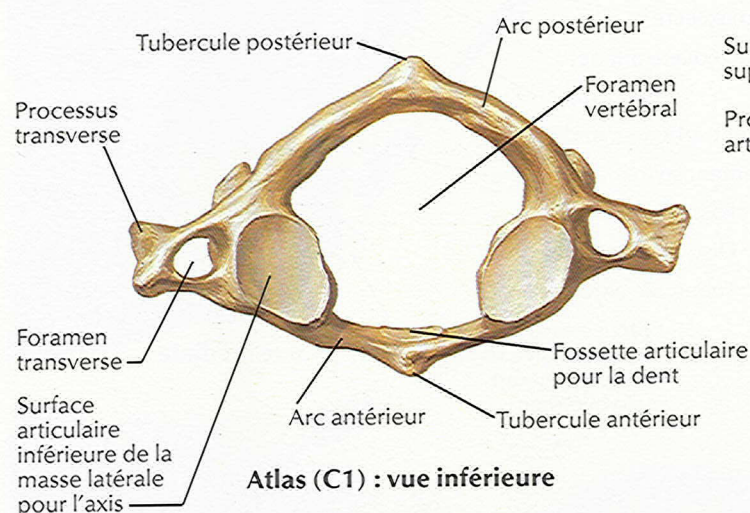
VOIR AUSSI LES PLANCHES 9, 142



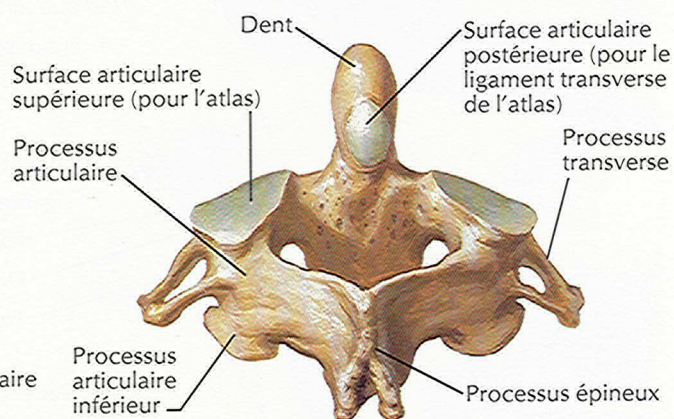
Atlas (C1) : vue supérieure



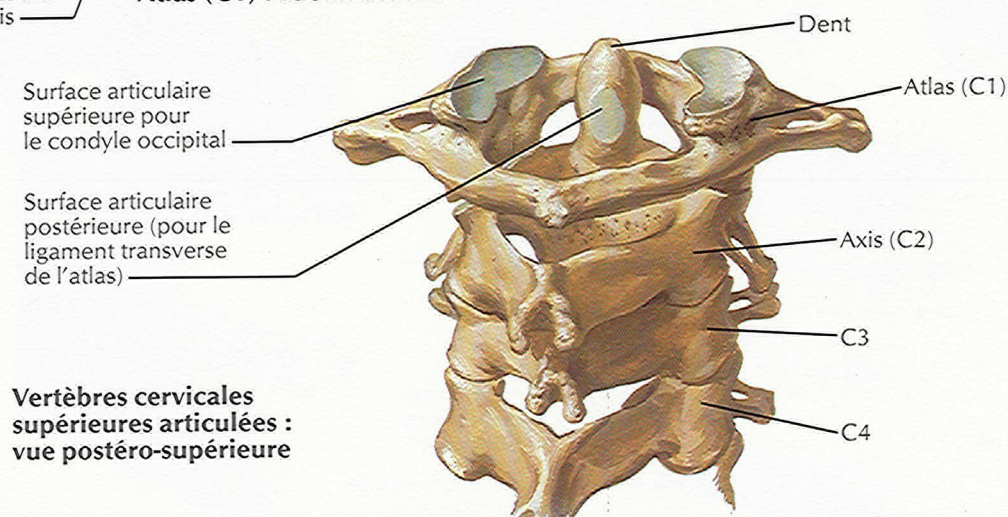
Axis (C2) : vue antérieure



Atlas (C1) : vue inférieure

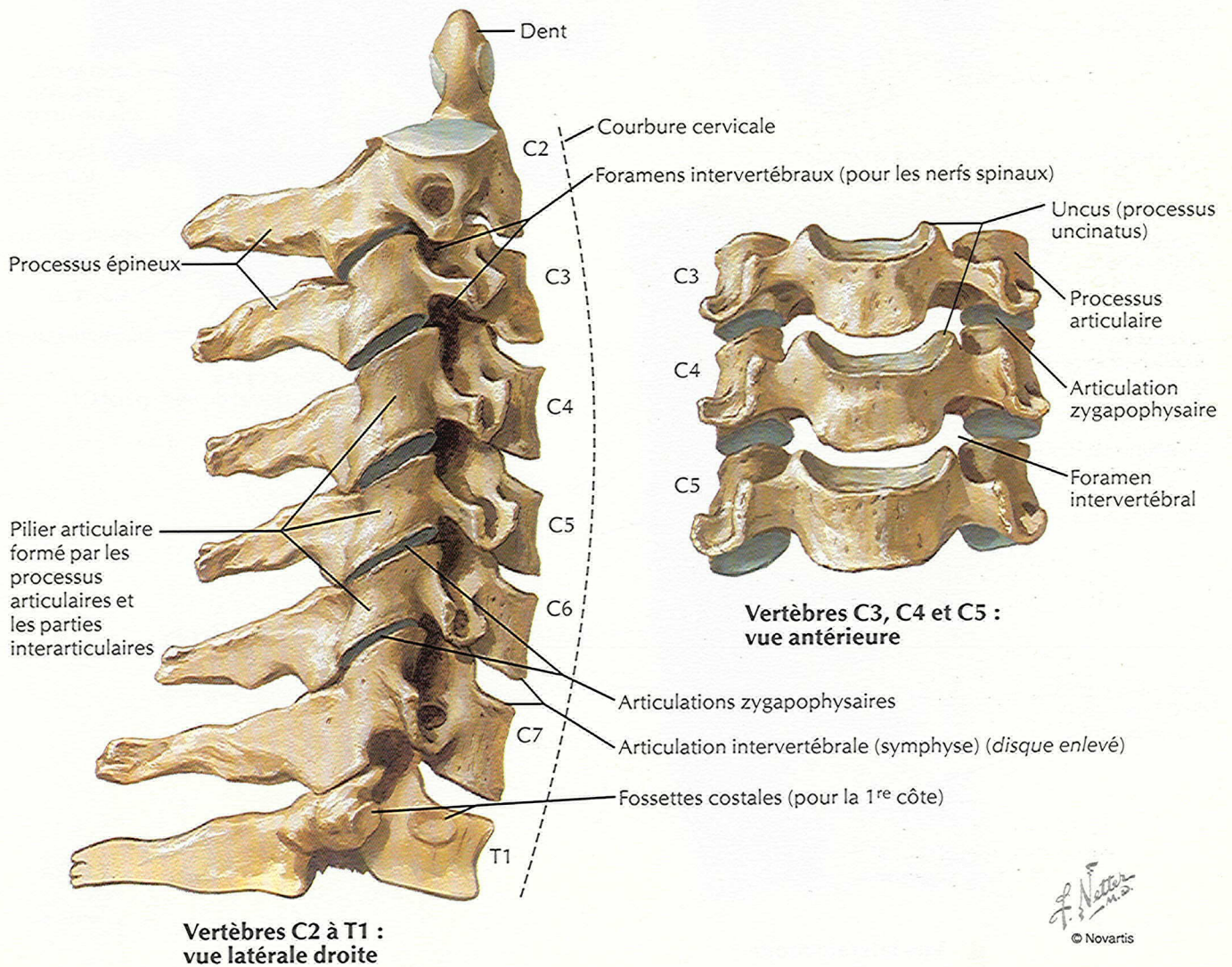
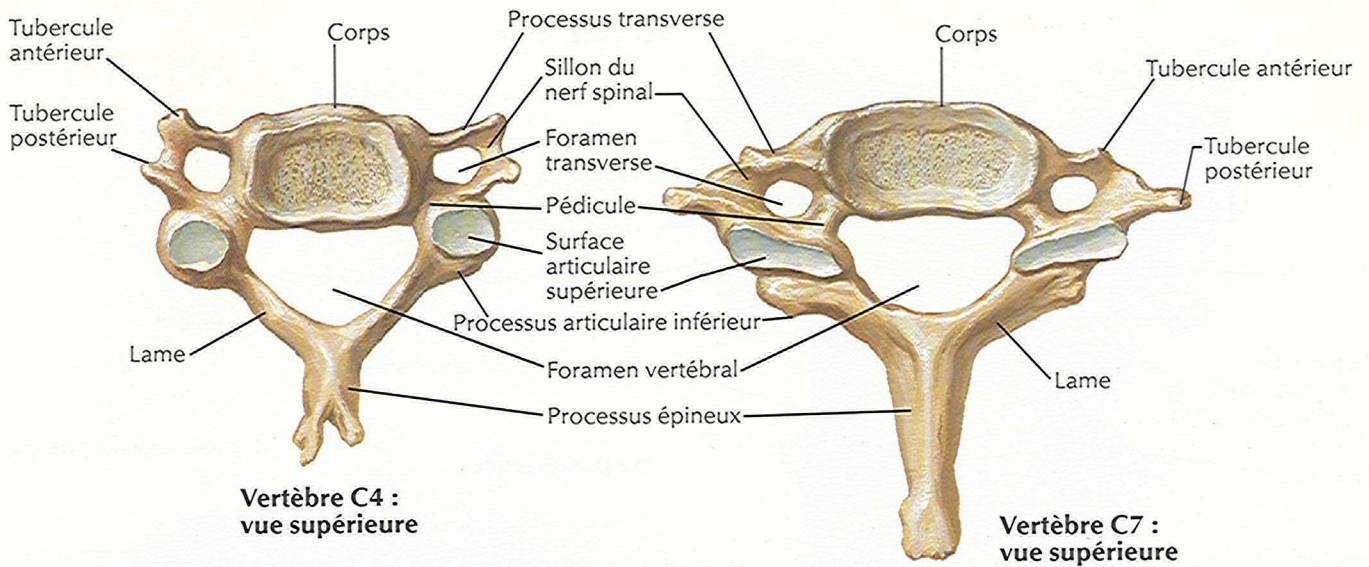


Axis (C2) : vue postéro-supérieure



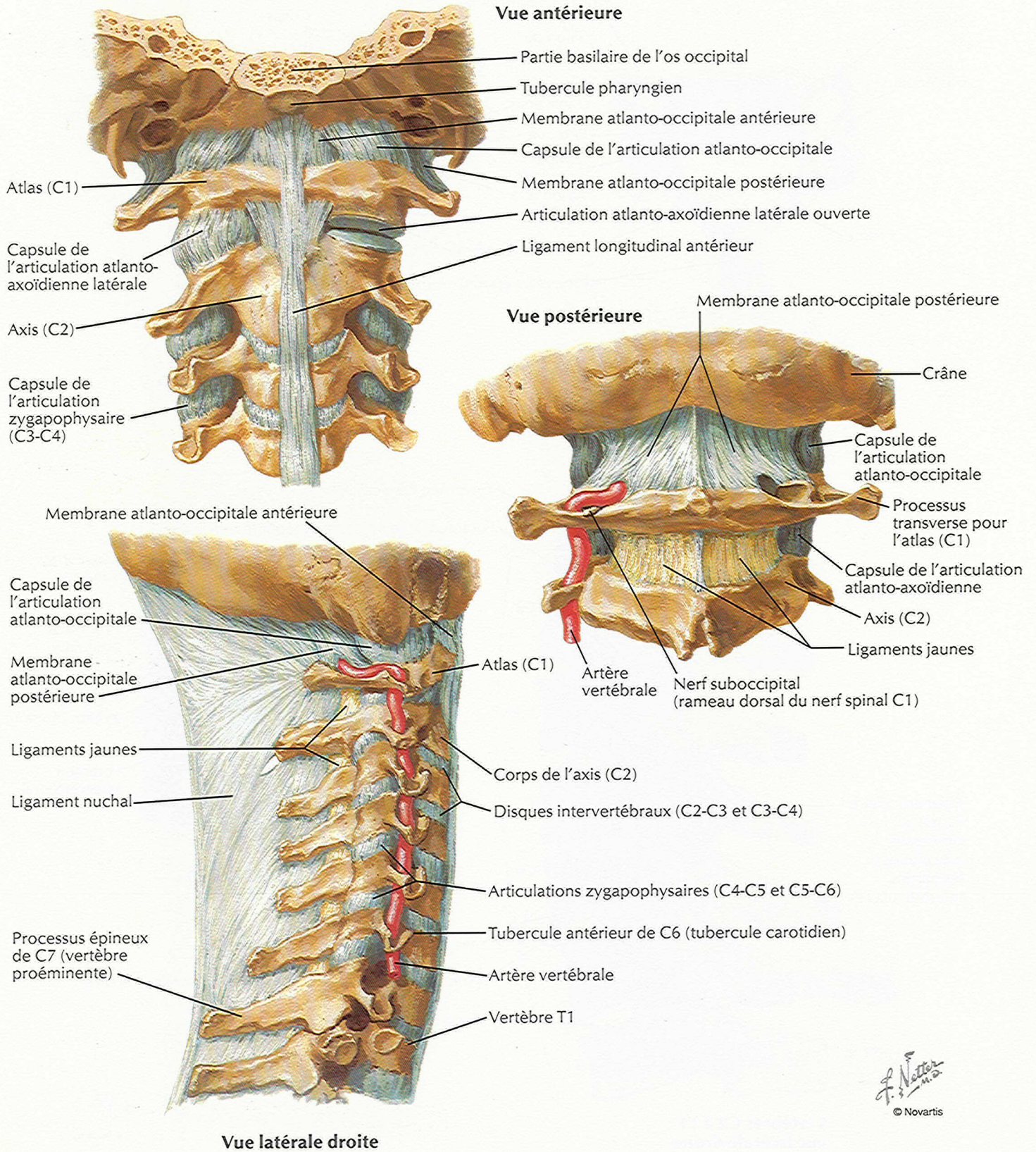
Vertèbres cervicales supérieures articulées : vue postéro-supérieure

F. Natter
© Novartis

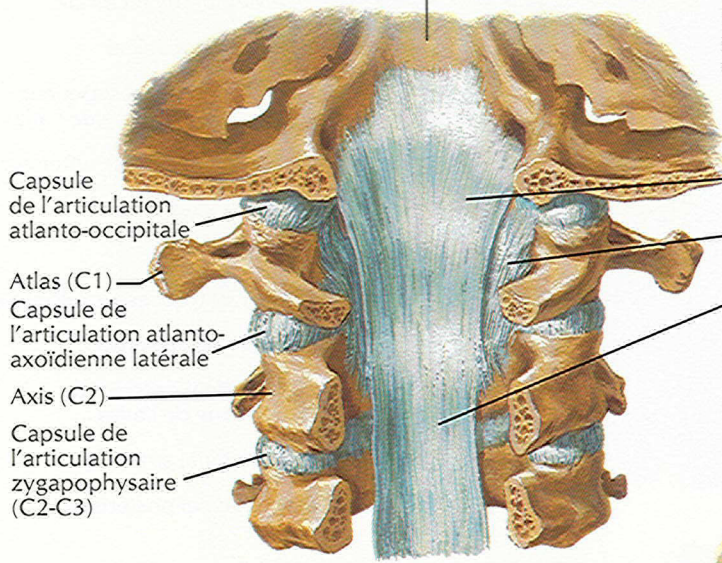


F. Netter M.D.
© Novartis

Ligaments cranio-vertébraux externes



Clivus (surface esquissée) de la partie basilaire de l'os occipital



Partie supérieure du canal vertébral après résection des processus épineux et d'une partie des arcs vertébraux afin de montrer les ligaments postérieurs des corps vertébraux : vue postérieure

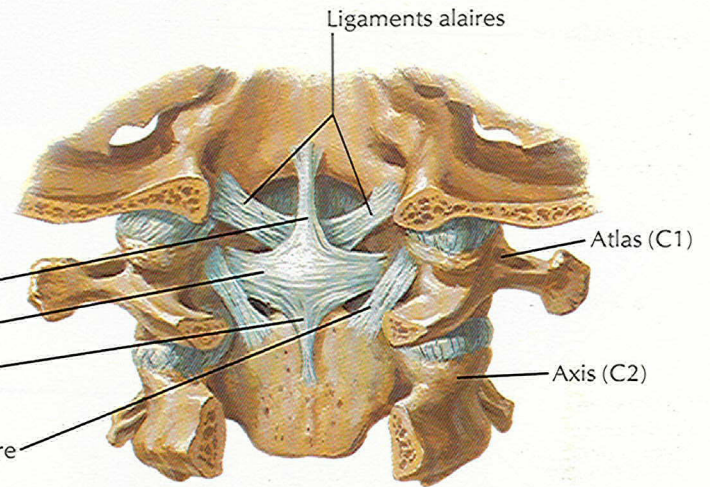
Ligament
cruciforme

Faisceau longitudinal supérieur

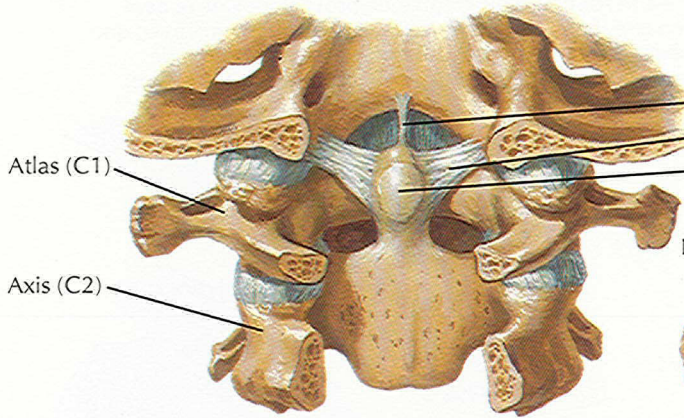
Ligament transverse de l'atlas

Faisceau longitudinal inférieur

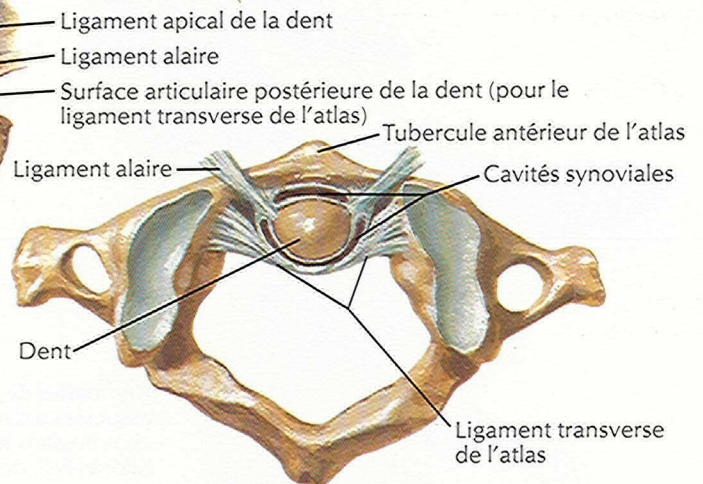
Ligament atlanto-axoïdien accessoire



Ligaments profonds exposés après ablation de la membrane tectoriaie : vue postérieure



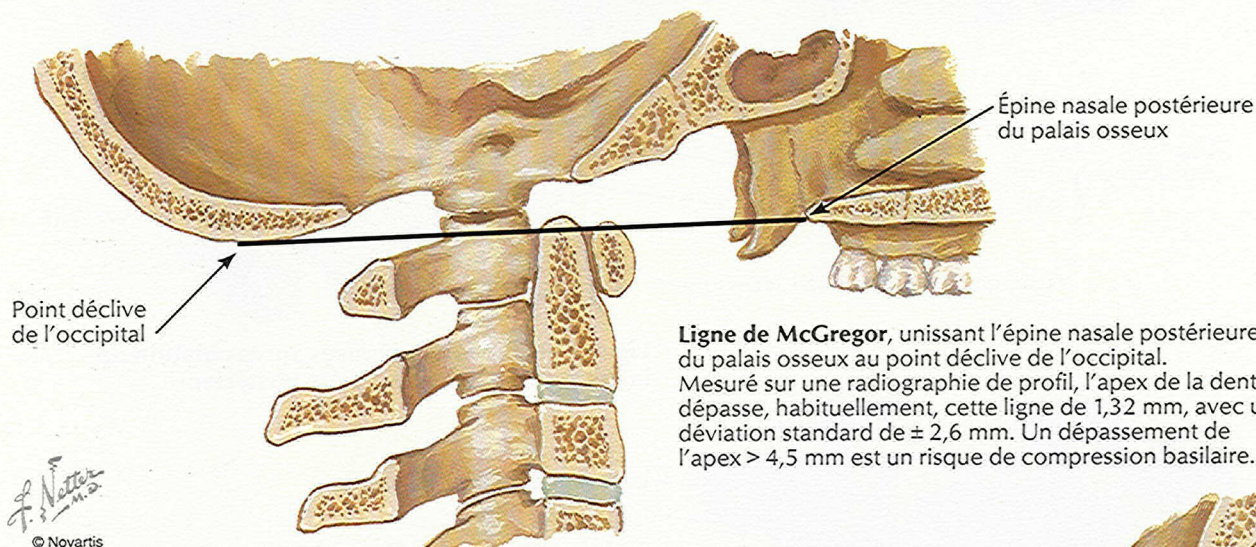
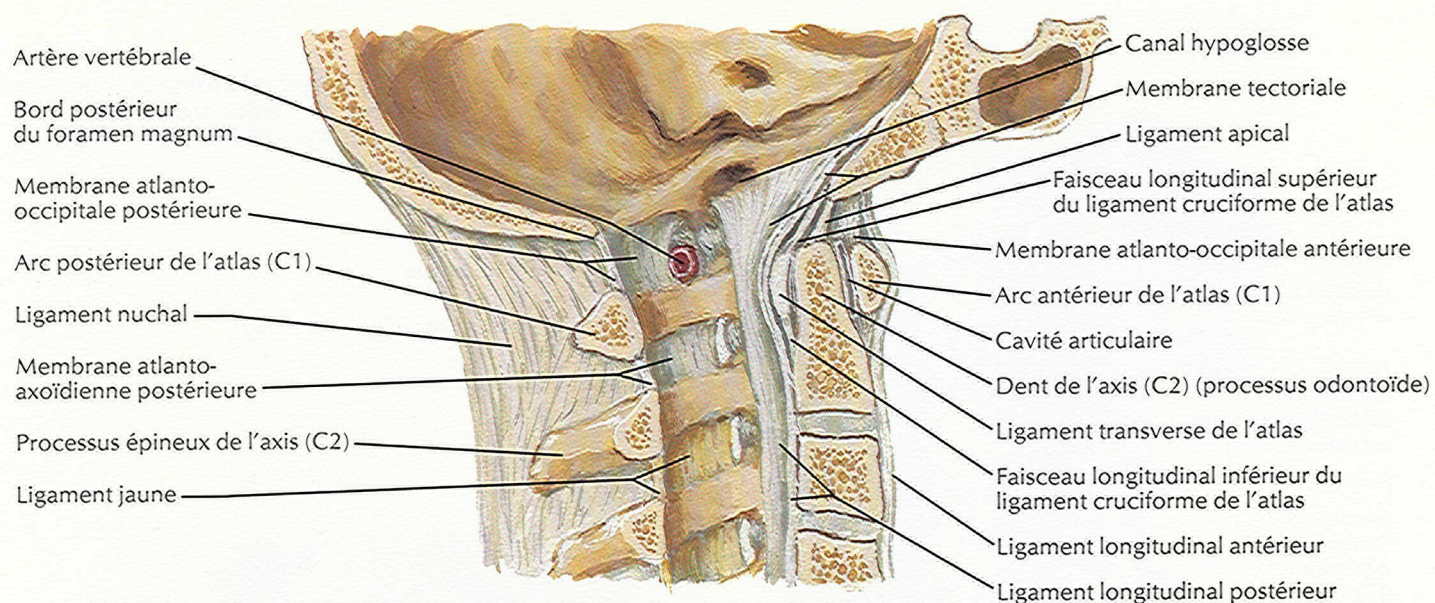
Ligament cruciforme réséqué pour montrer les ligaments profonds : vue postérieure



Articulation atlanto-axoïdienne médiane : vue supérieure

F. Netter M.D.
© Novartis

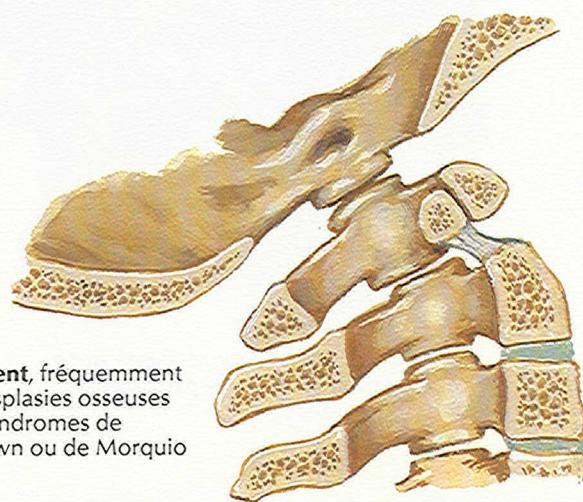
Articulation atlanto-occipitale



F. Natter
© Novartis



Hypoplasie de la dent (processus odontoïde)

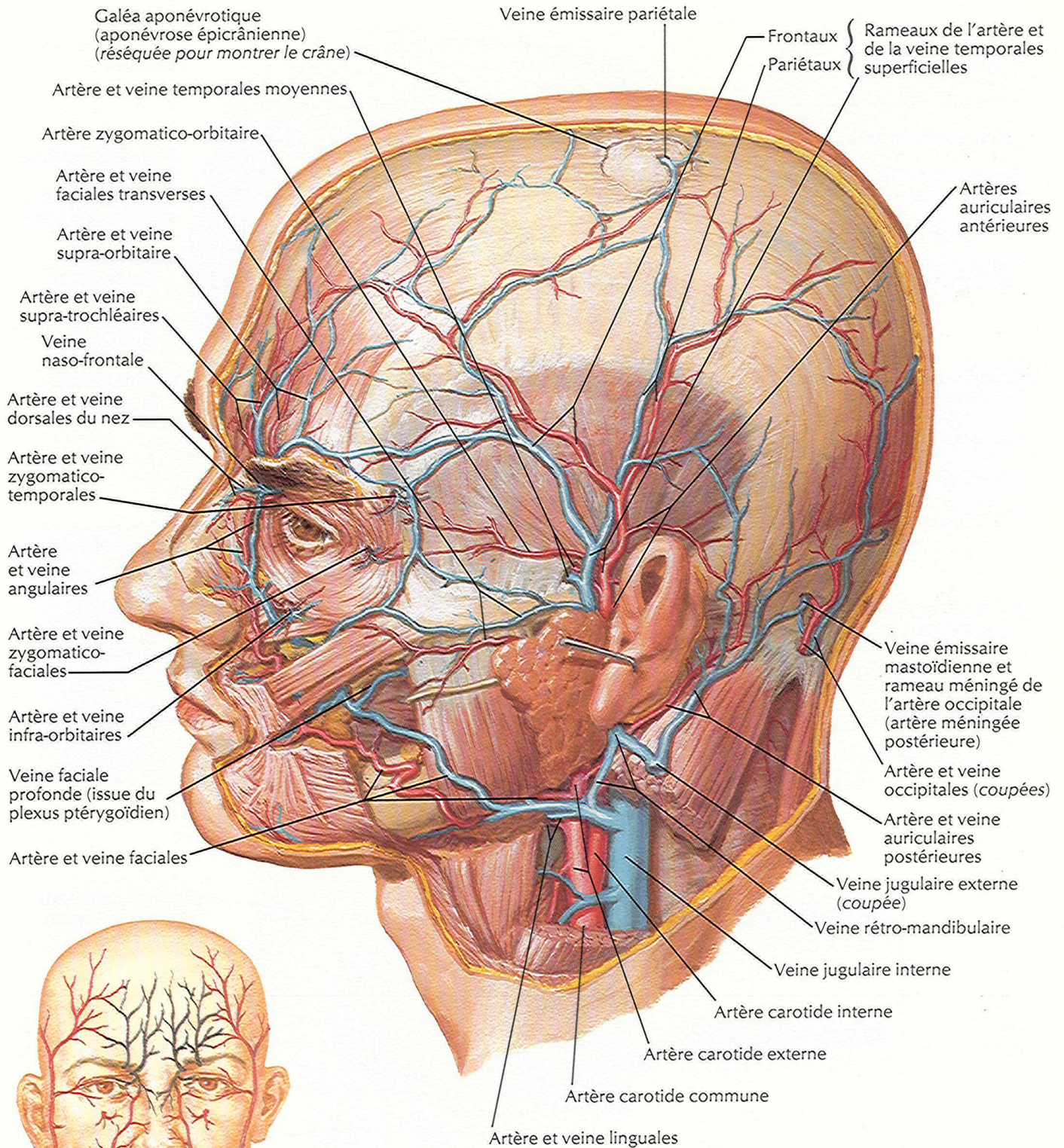


Os odontoïde avec union fibreuse et canal vertébral étroit au cours de l'extension de la tête

Anomalies de la dent, fréquemment associées à des dysplasies osseuses comme dans les syndromes de Klippel-Feil, de Down ou de Morquio

Arteres et veines superficielles de la tace et du cuir cheveu

VOIR AUSSI LES PLANCHES 29, 35, 63, 64, 80, 98



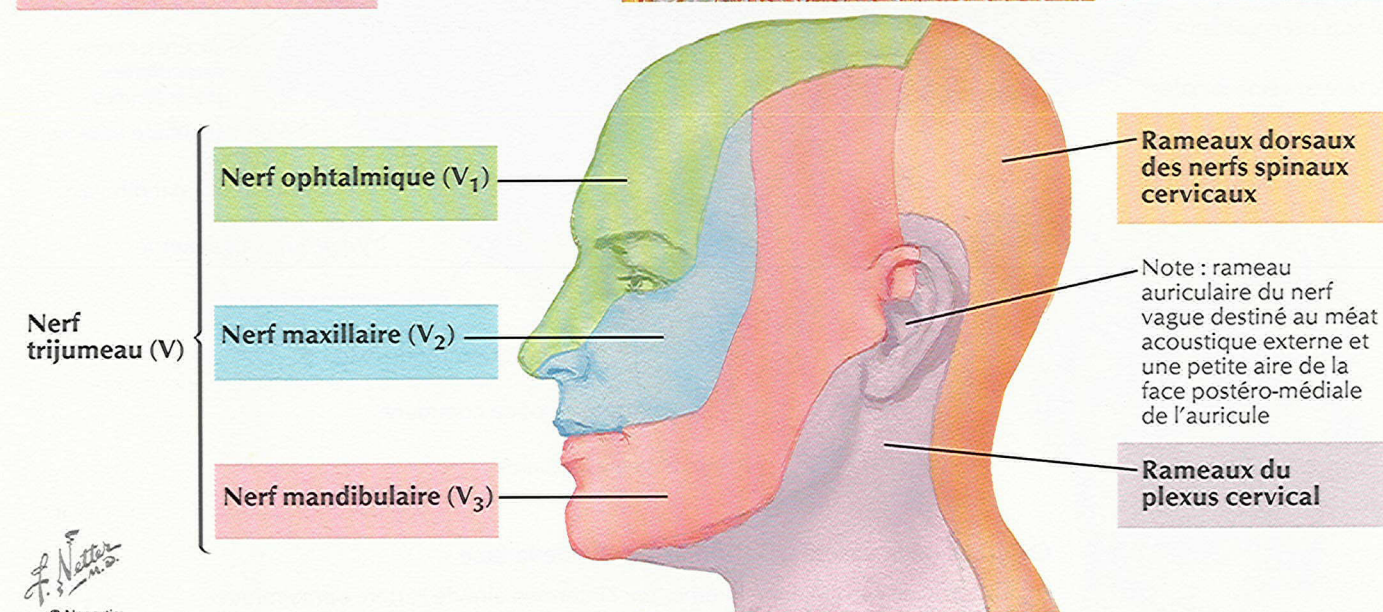
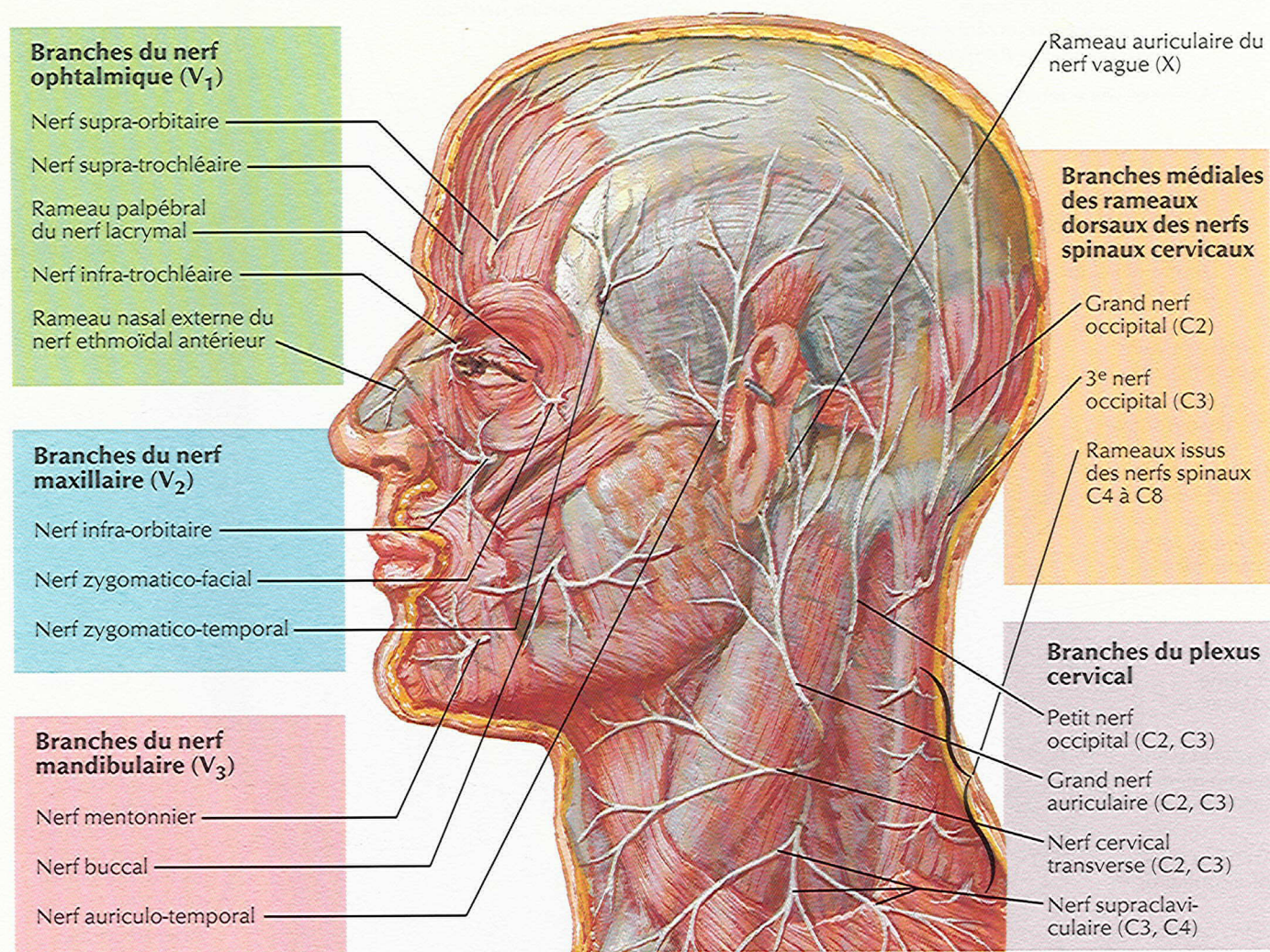
Origines de la vascularisation artérielle de la face

En noir : origine carotidienne interne (par l'intermédiaire de l'artère ophtalmique)
En rouge : origine carotidienne externe

F. Netter M.D.
© Novartis

Nerfs cutanés de la tête et du cou

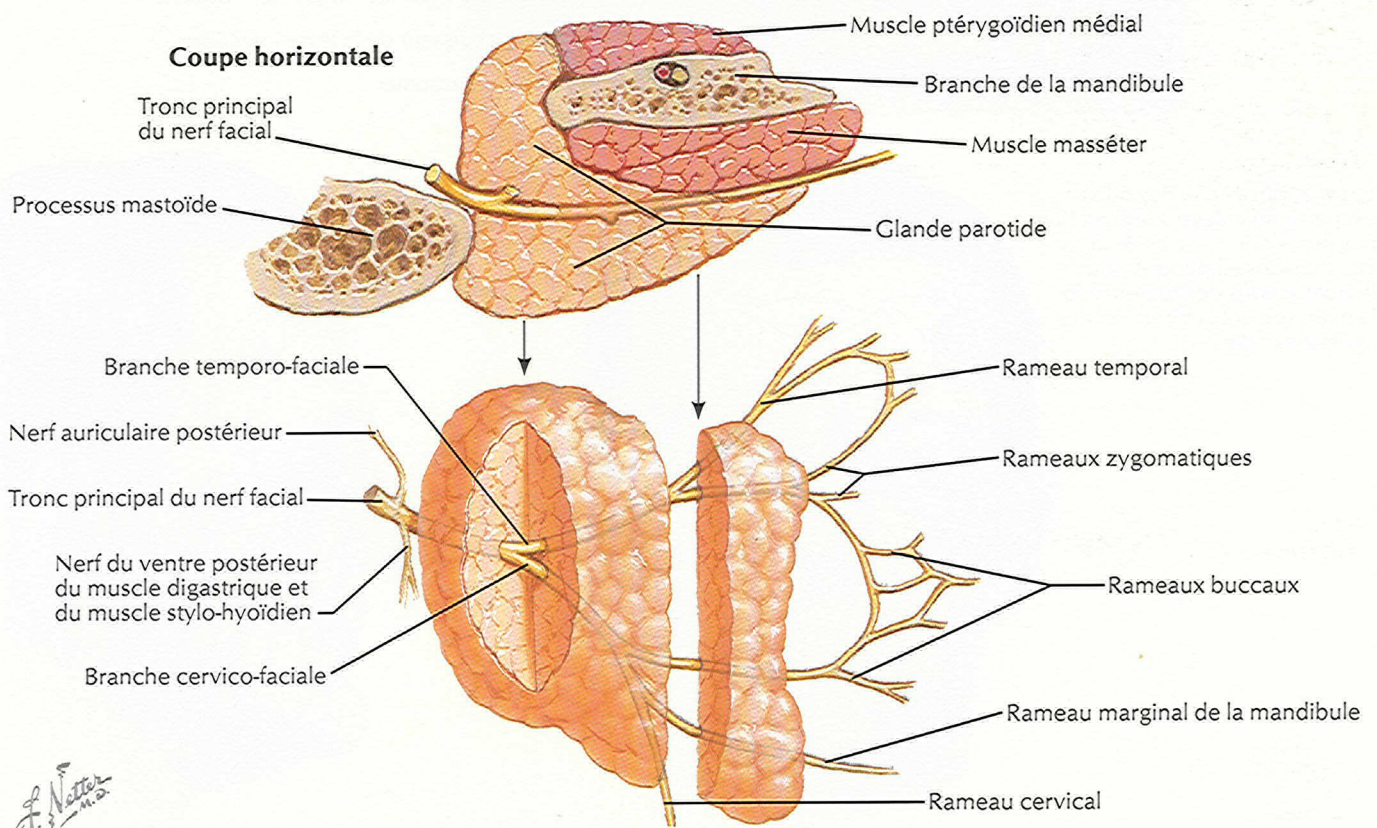
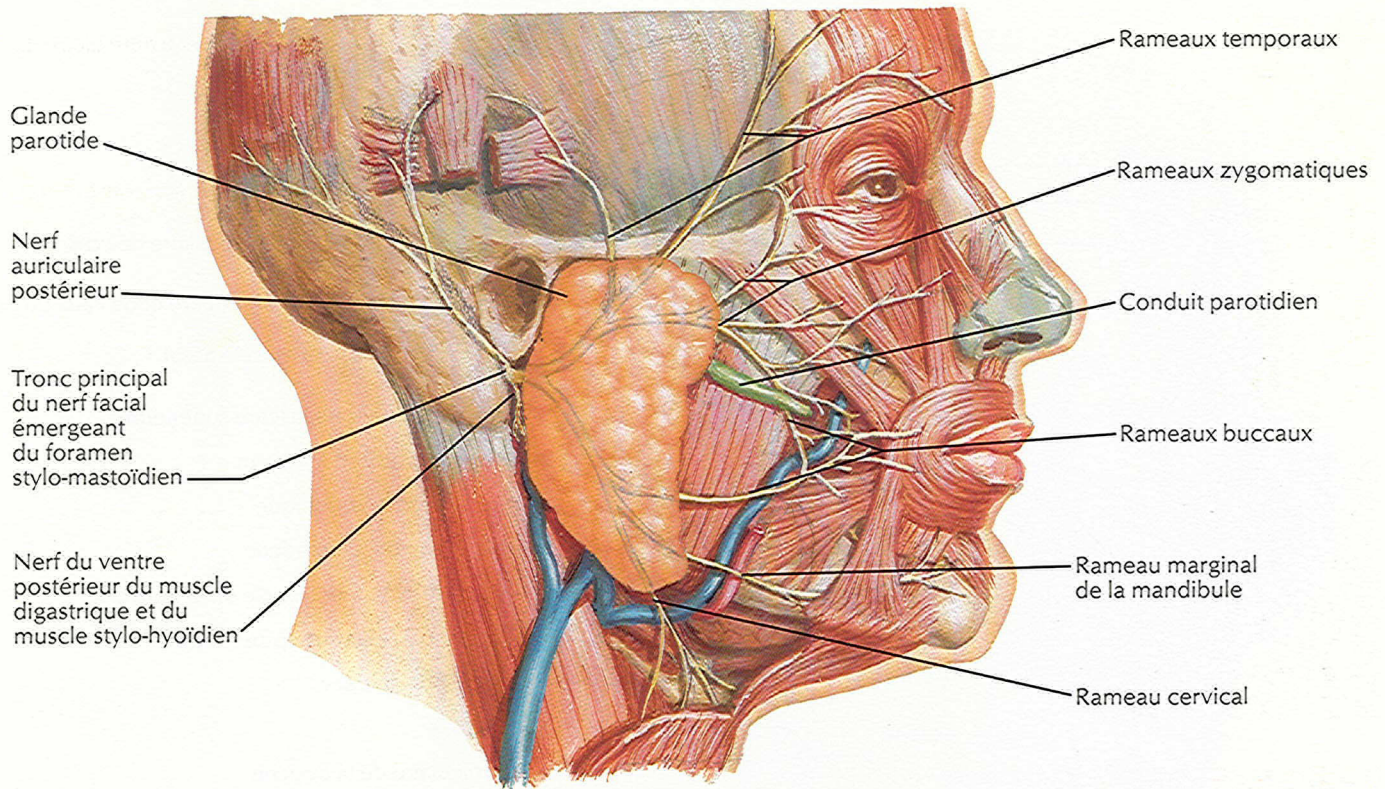
VOIR AUSSI LES PLANCHES 27, 31, 40, 41, 116



F. Netter M.D.
© Novartis

Branches du nerf facial et glande parotide

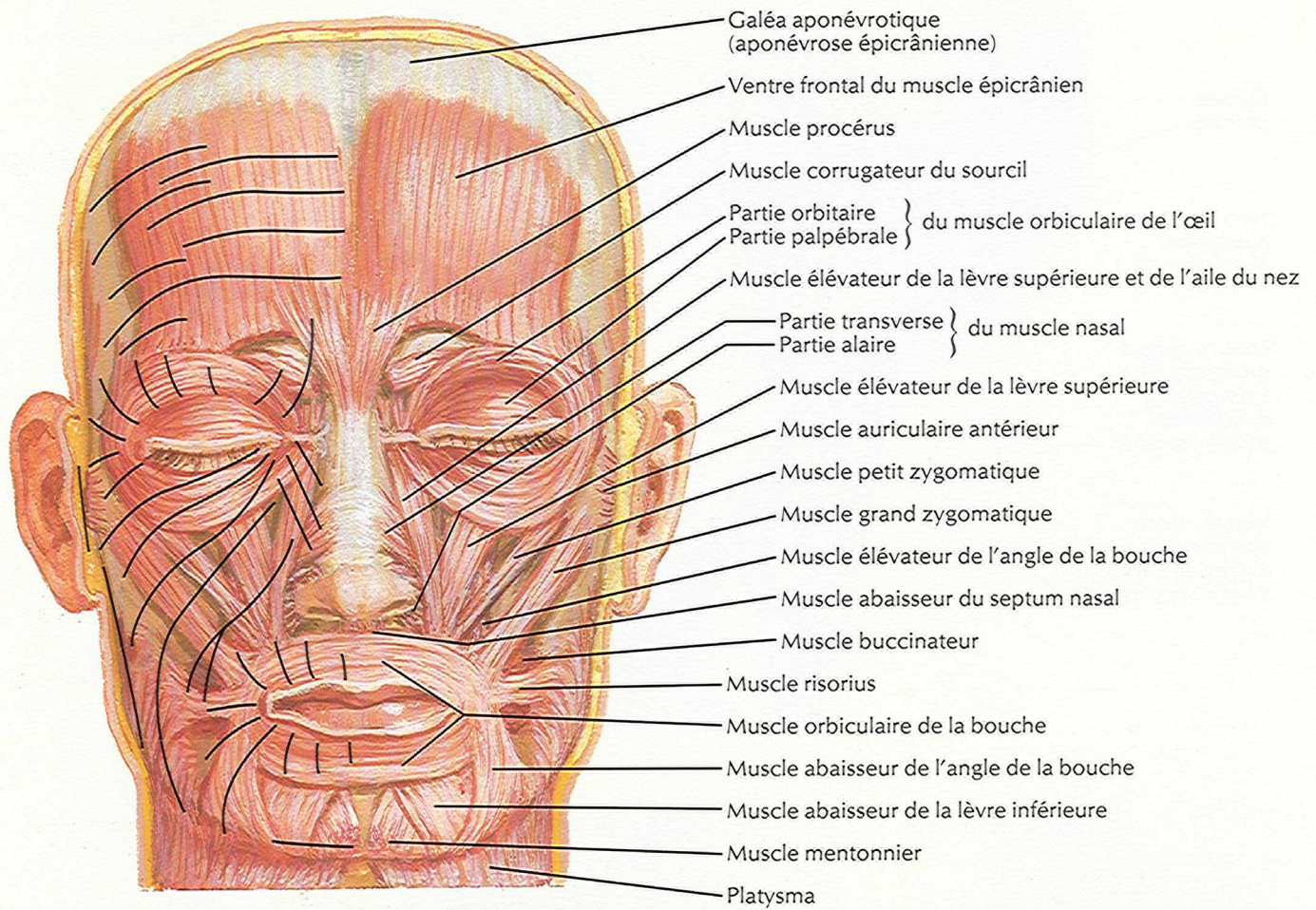
VOIR AUSSI LA PLANCHE 117



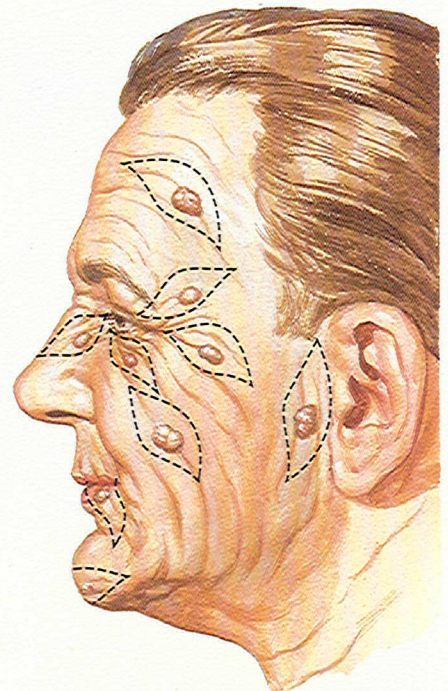
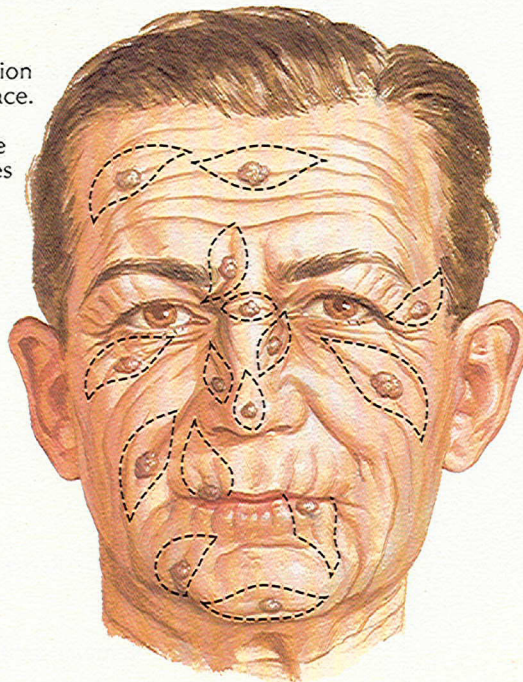
F. Natter
© Novartis

Muscles de la mimique : vue antérieure

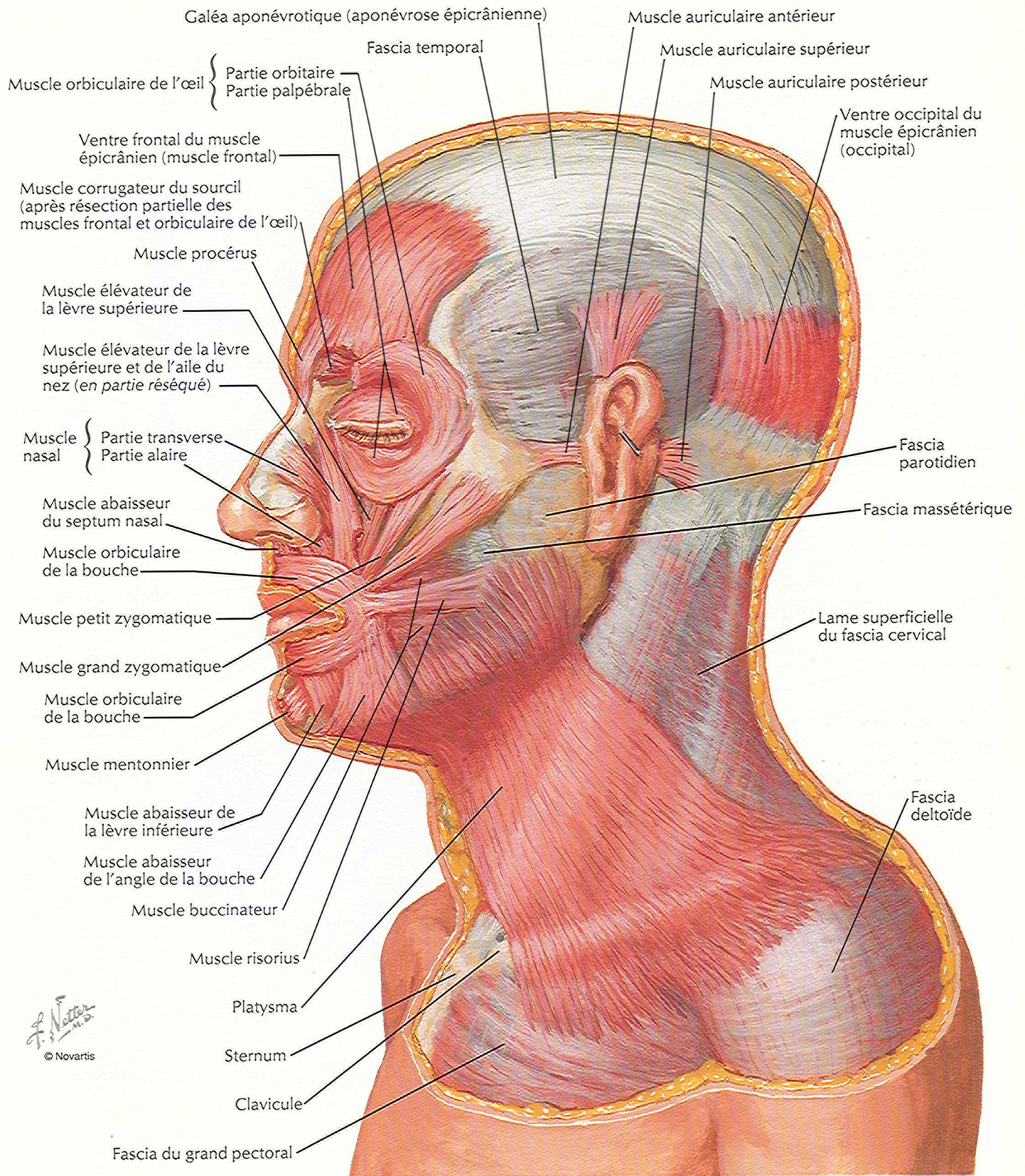
VOIR AUSSI LA PLANCHE 48



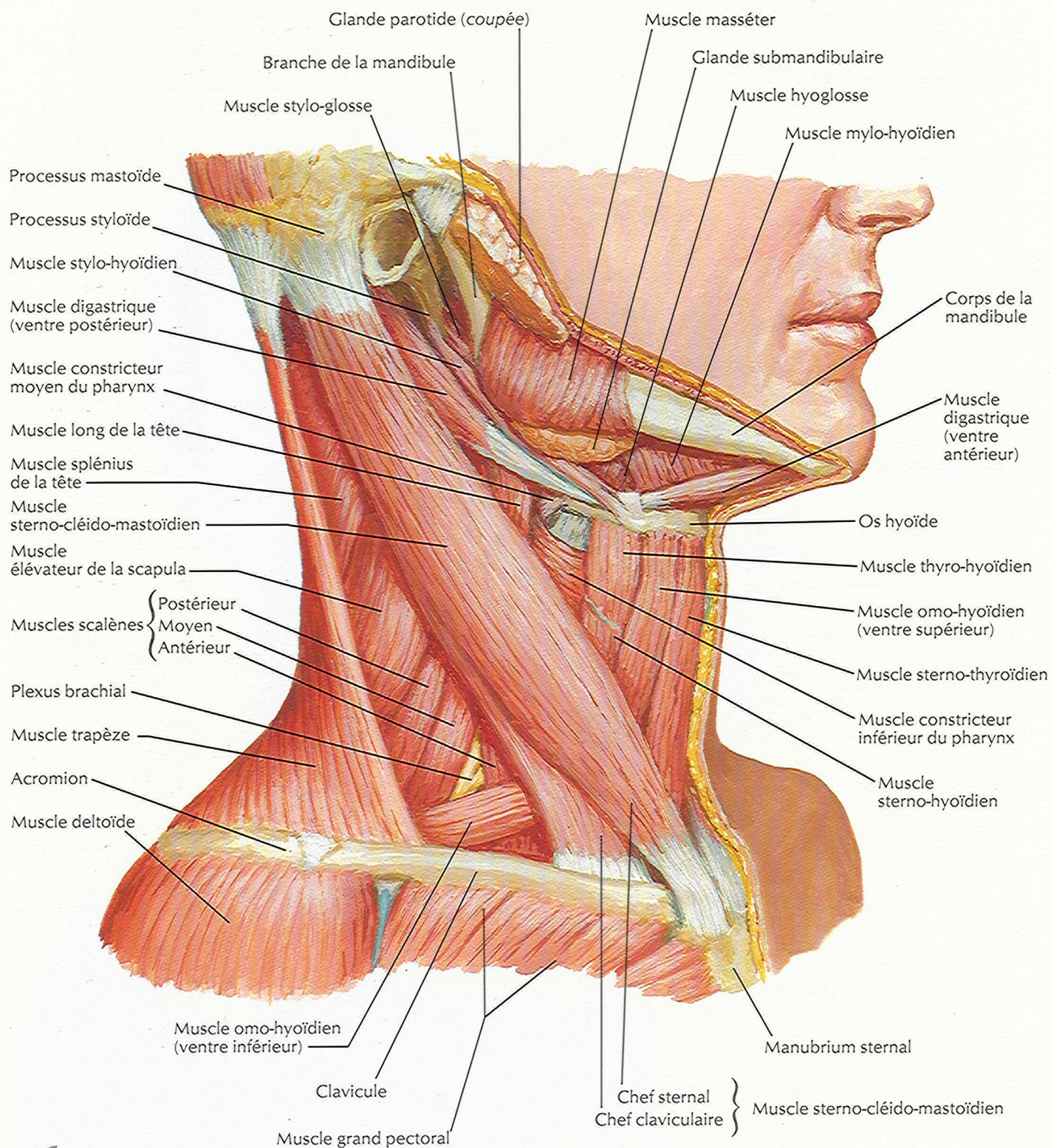
Le trajet de la ligne des rides est perpendiculaire à la direction des fibres des muscles de la face. Les incisions elliptiques pour les extractions des tumeurs de la peau suivent la direction des lignes des rides.



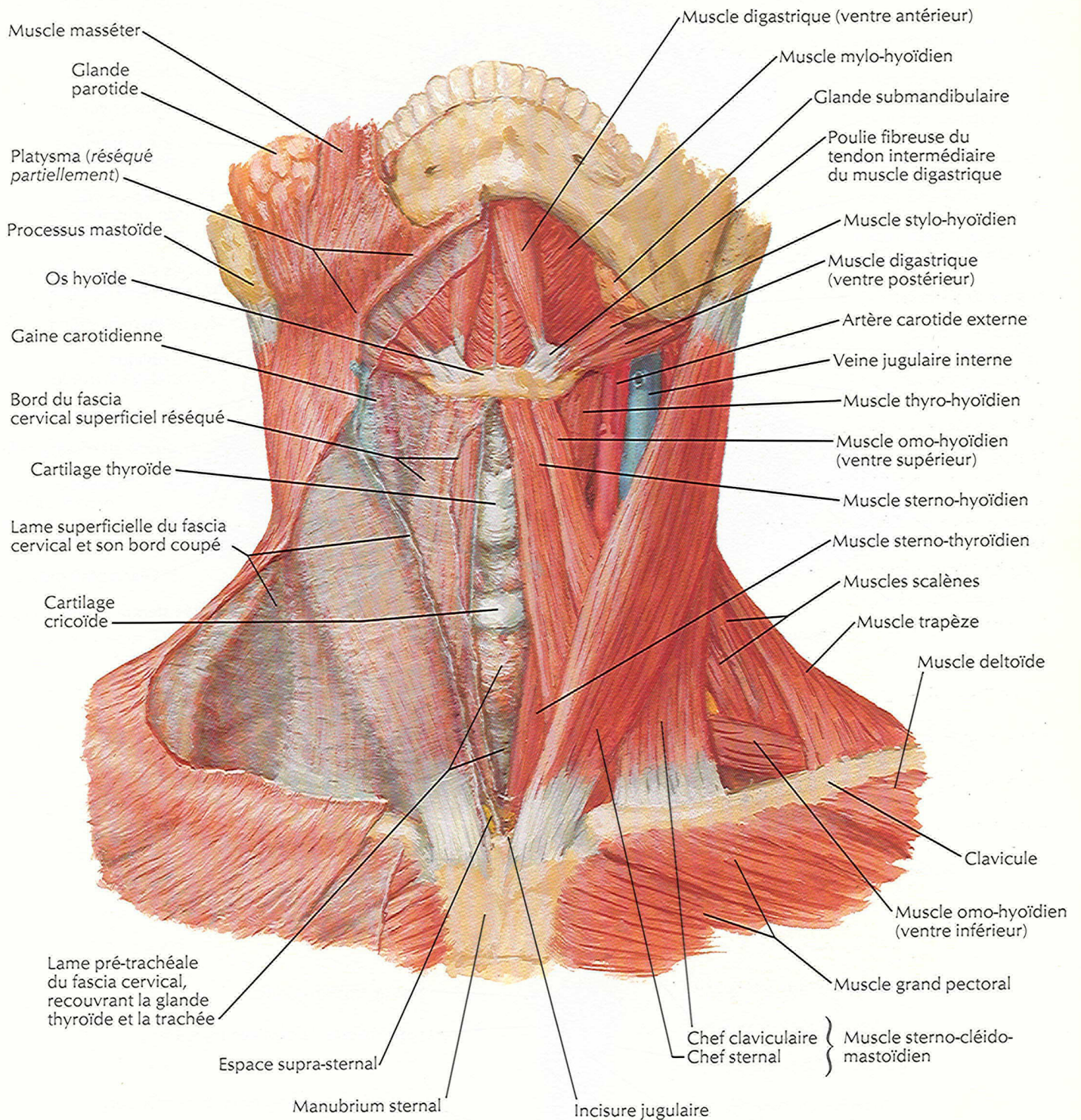
F. Netter
M.D.
© Novartis



Muscles du cou : vue latérale



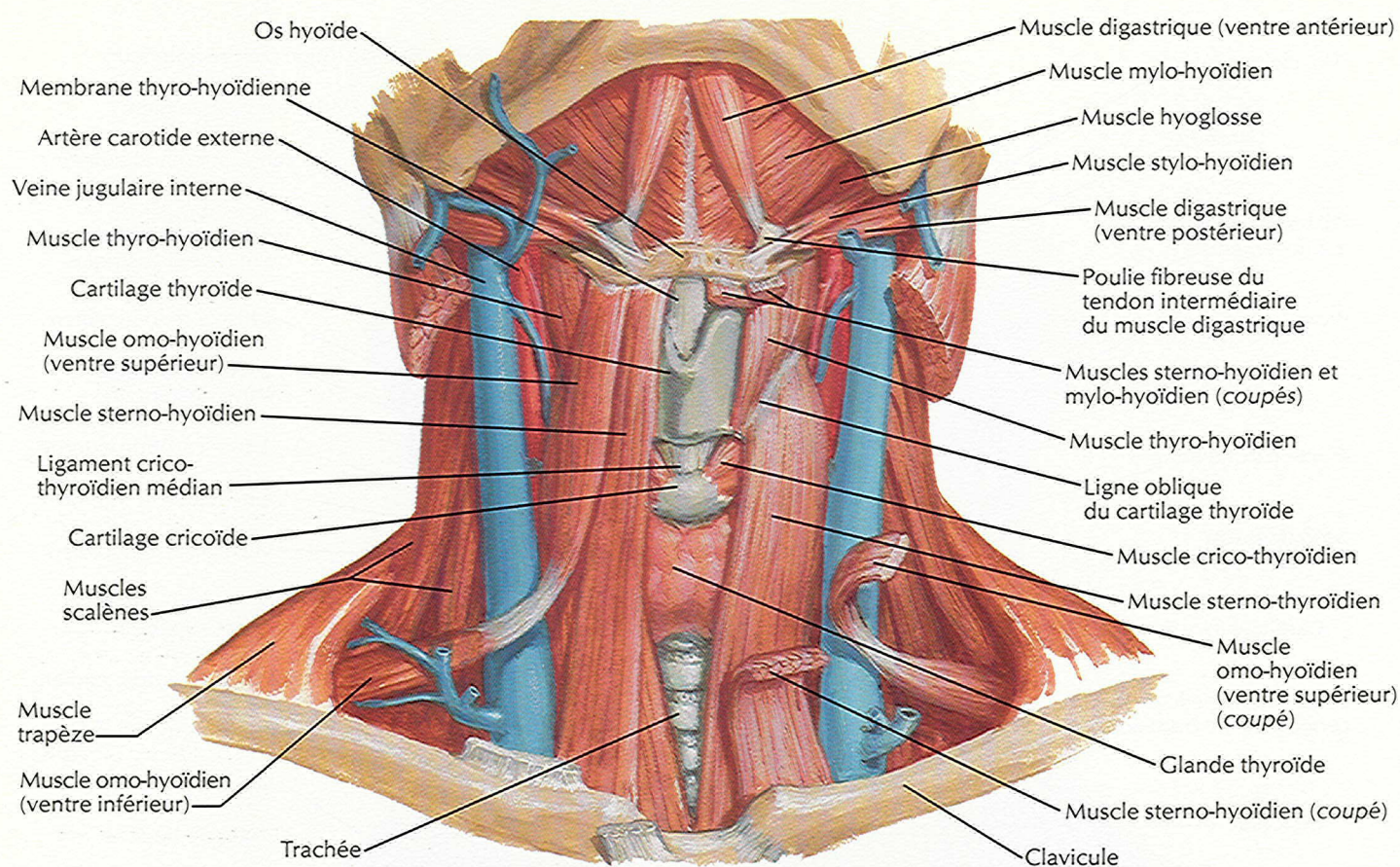
Muscles du cou : vue antérieure



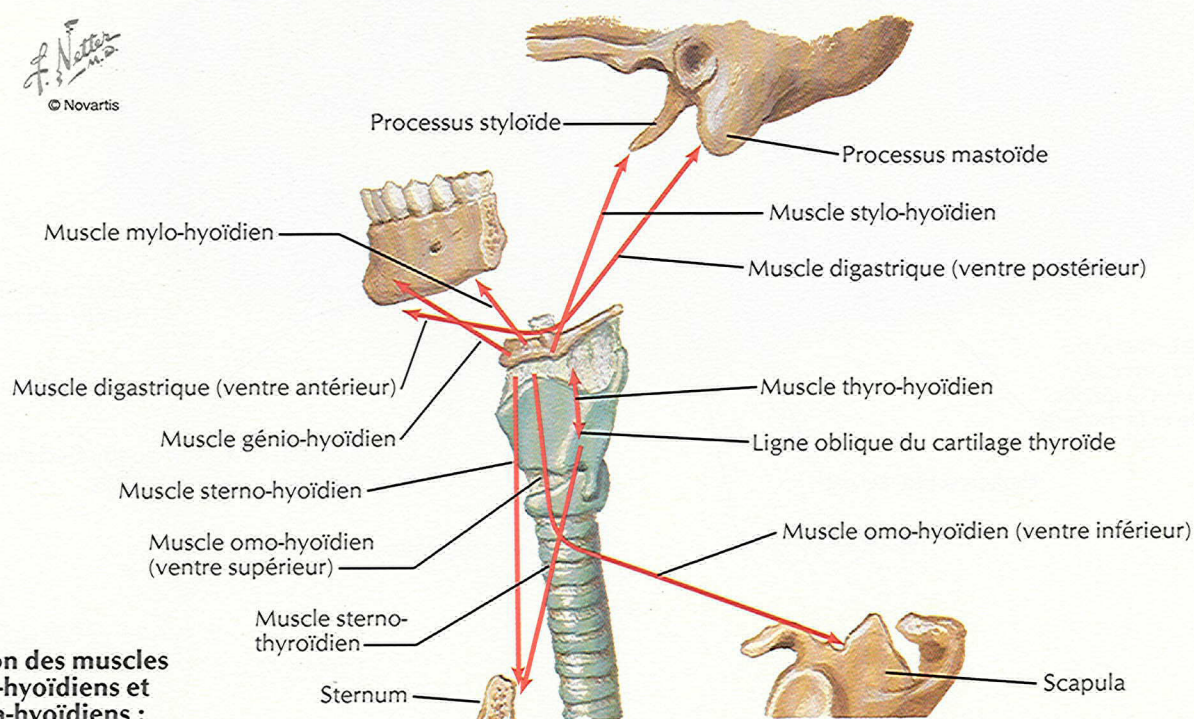
F. Netter
© Novartis

Muscles infra-hyoïdiens et supra-hyoïdiens

VOIR AUSSI LA PLANCHE 47

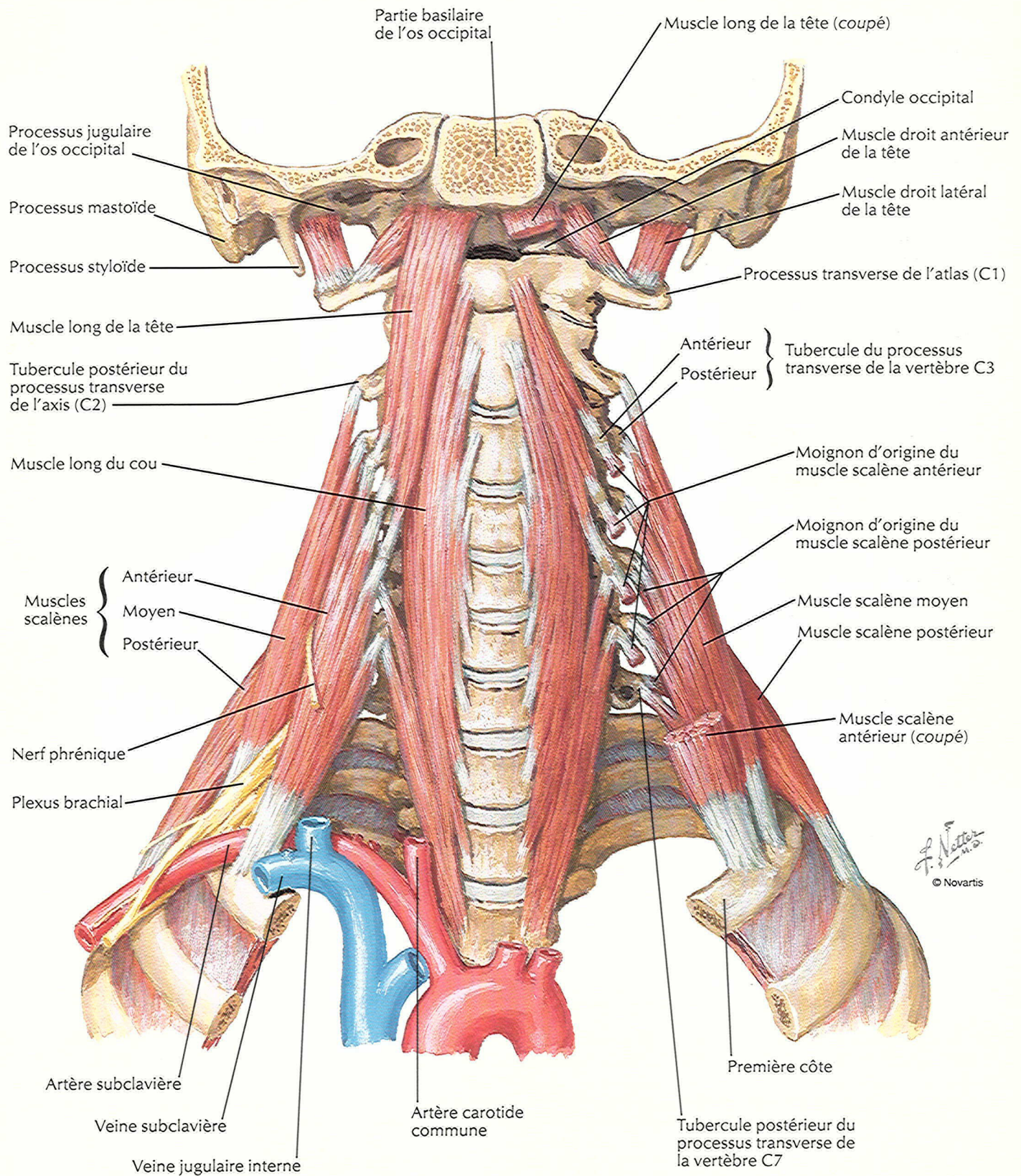


F. Netter M.D.
© Novartis



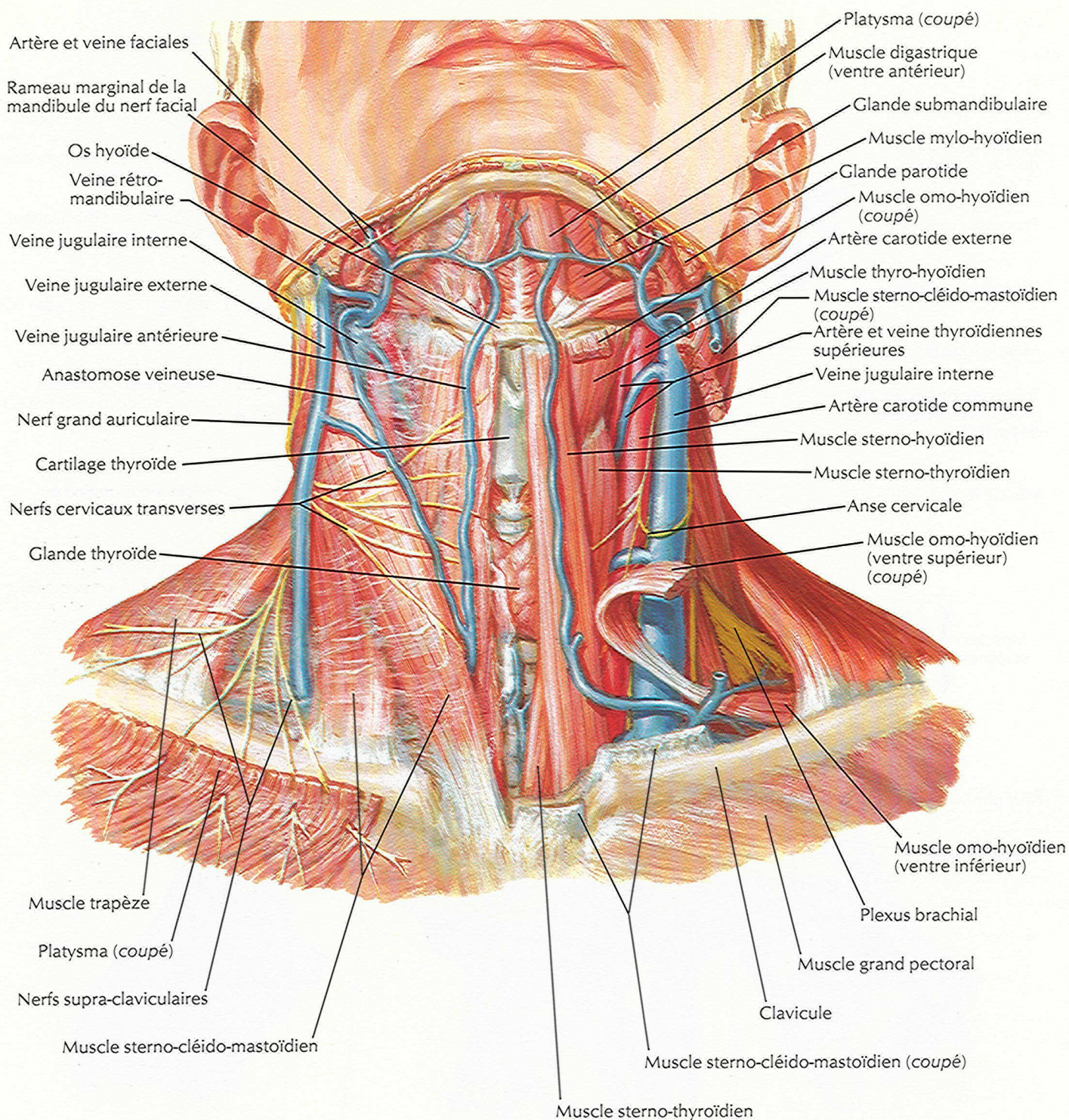
Action des muscles infra-hyoïdiens et supra-hyoïdiens : vue schématique

Muscles scalènes et pré-vertébraux

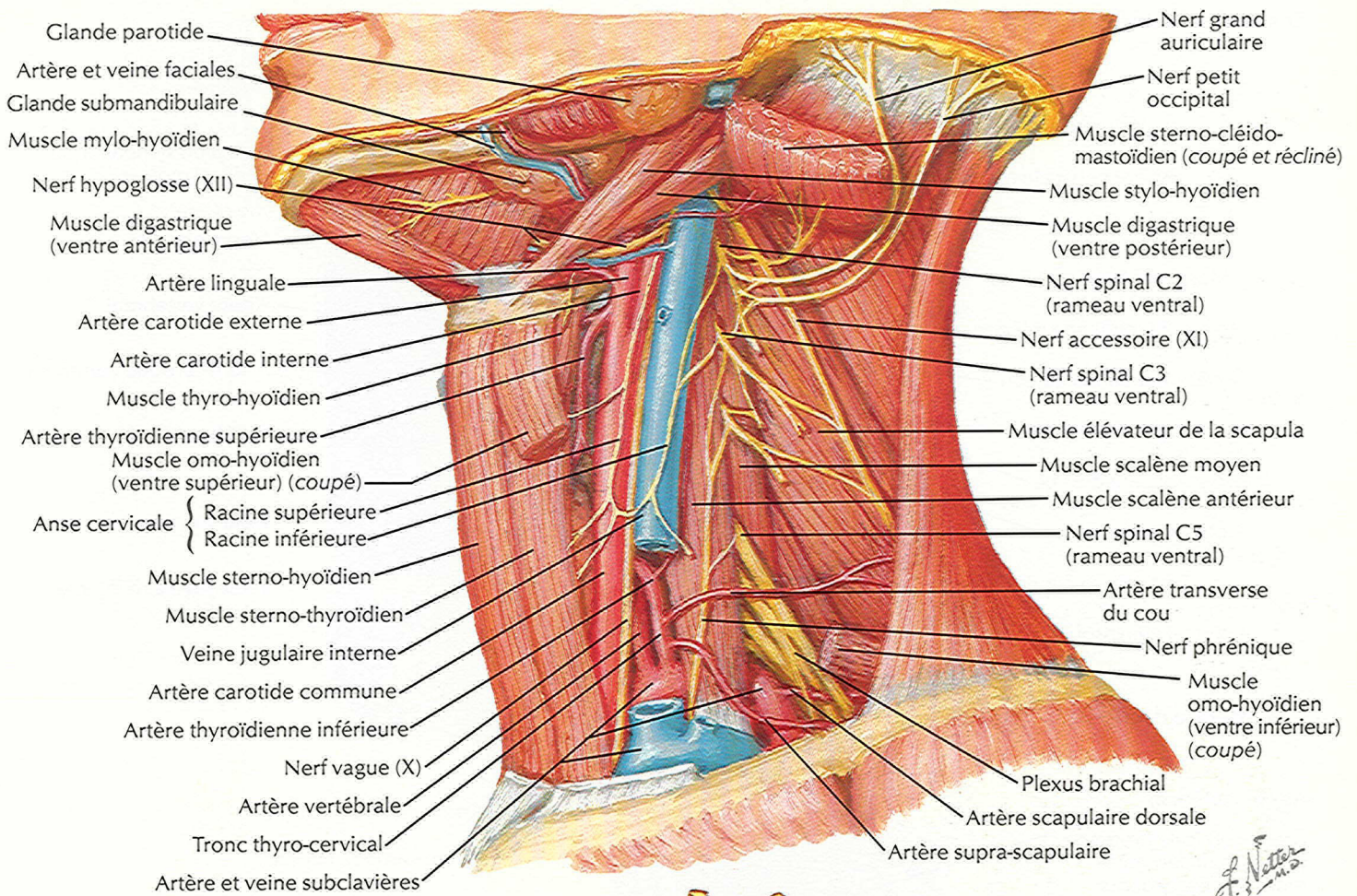


Veines superficielles et nerfs cutanés du cou

POUR LES VEINES PROFONDES DU COU, VOIR LA PLANCHE 64



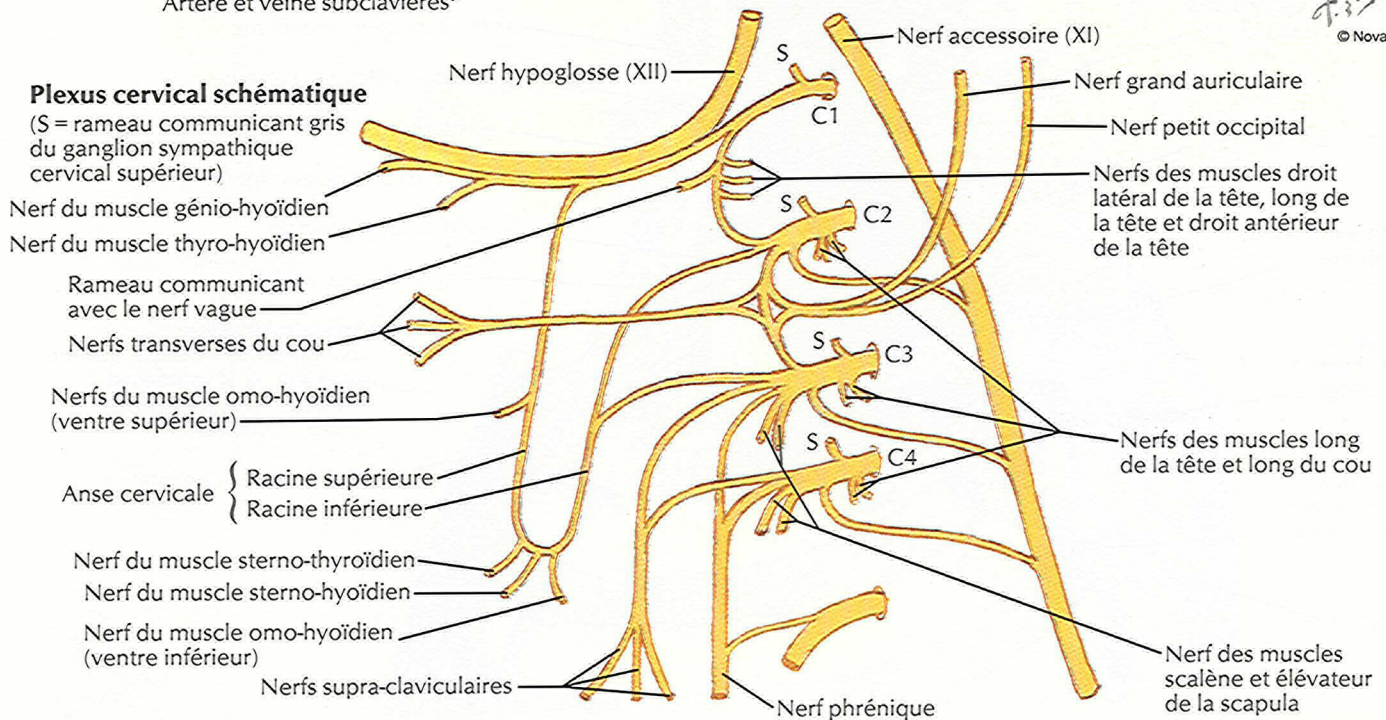
F. Netter
M.D.
© Novartis



F. Netter M.D.
© Novartis

Plexus cervical schématique

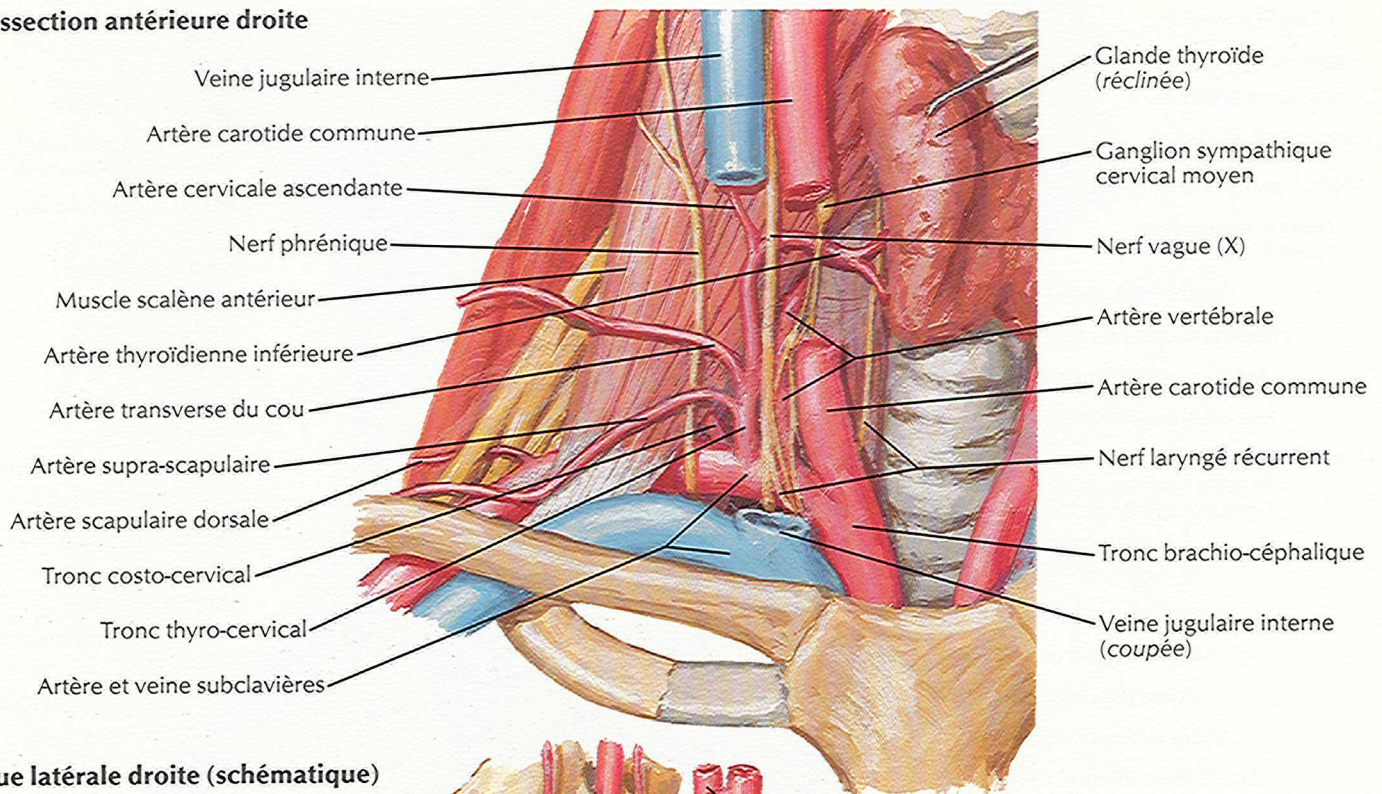
(S = rameau communicant gris du ganglion sympathique cervical supérieur)



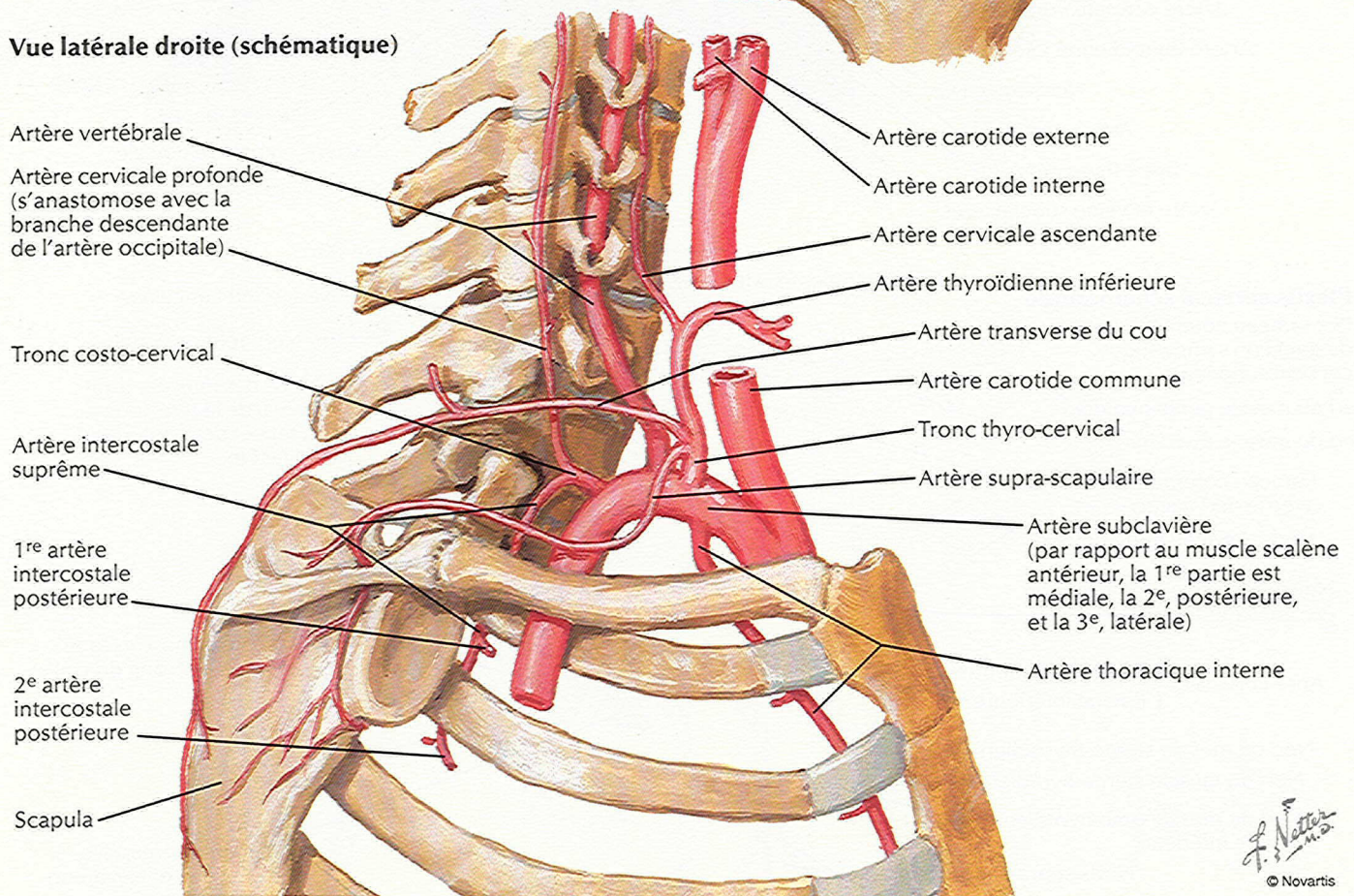
Artère subclavière

VOIR AUSSI LA PLANCHE 398

Dissection antérieure droite

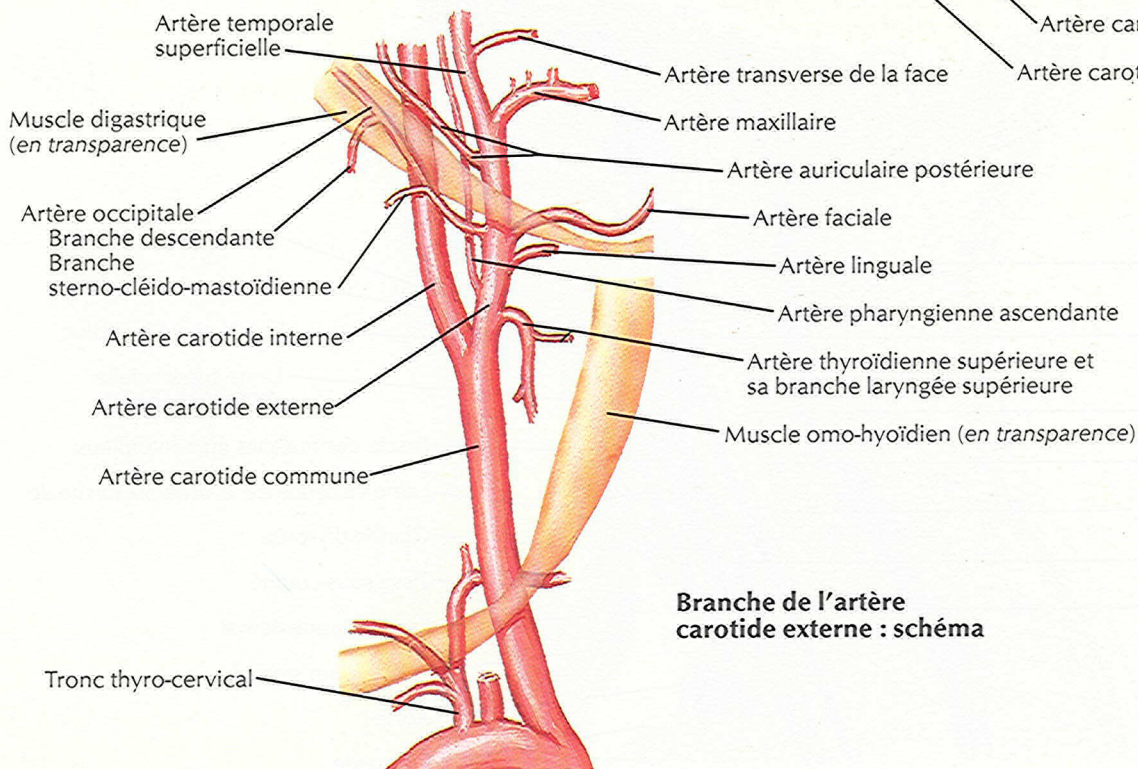
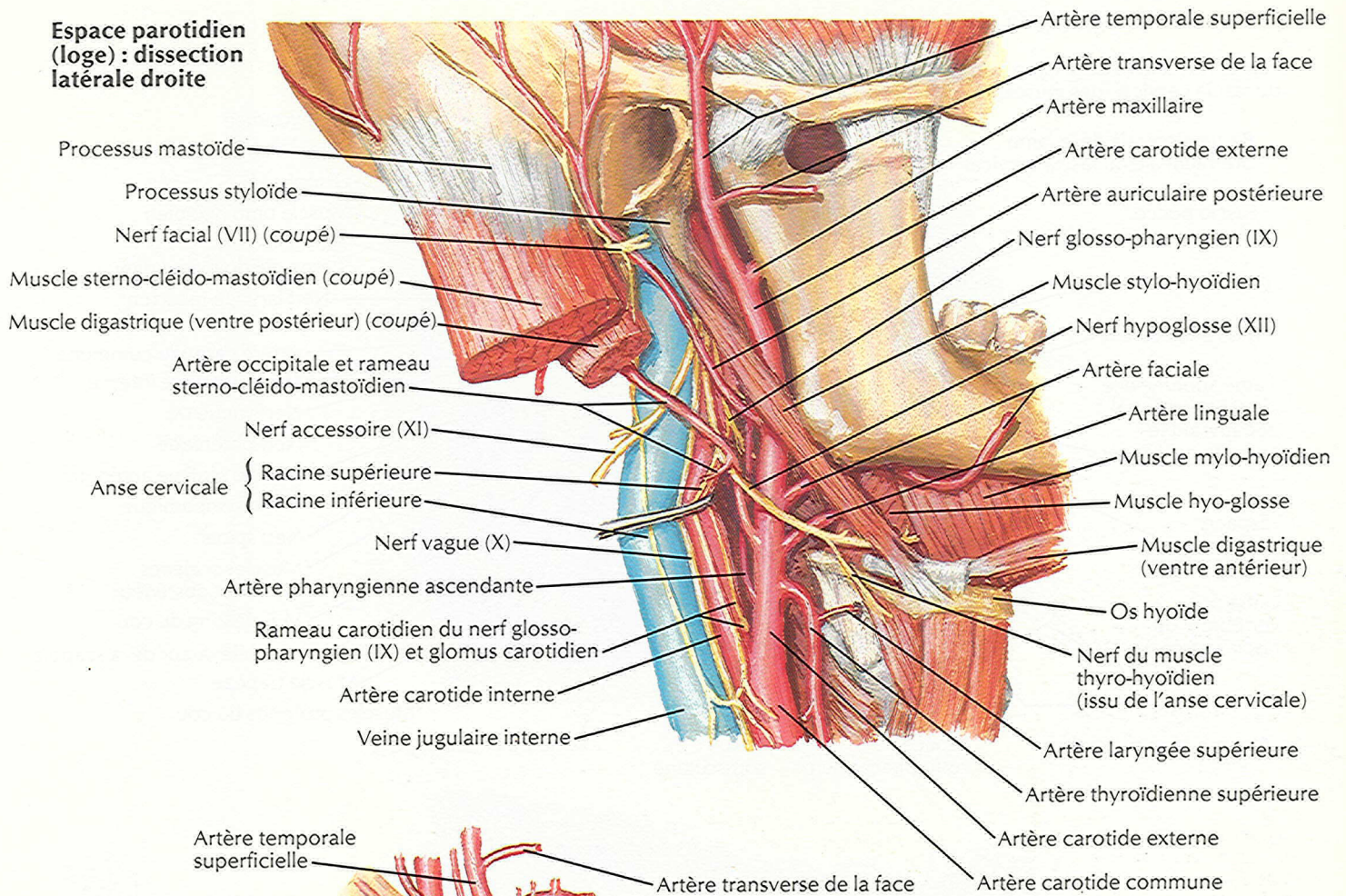


Vue latérale droite (schématisque)



F. Netter
© Novartis

Espace parotidien (loge) : dissection latérale droite

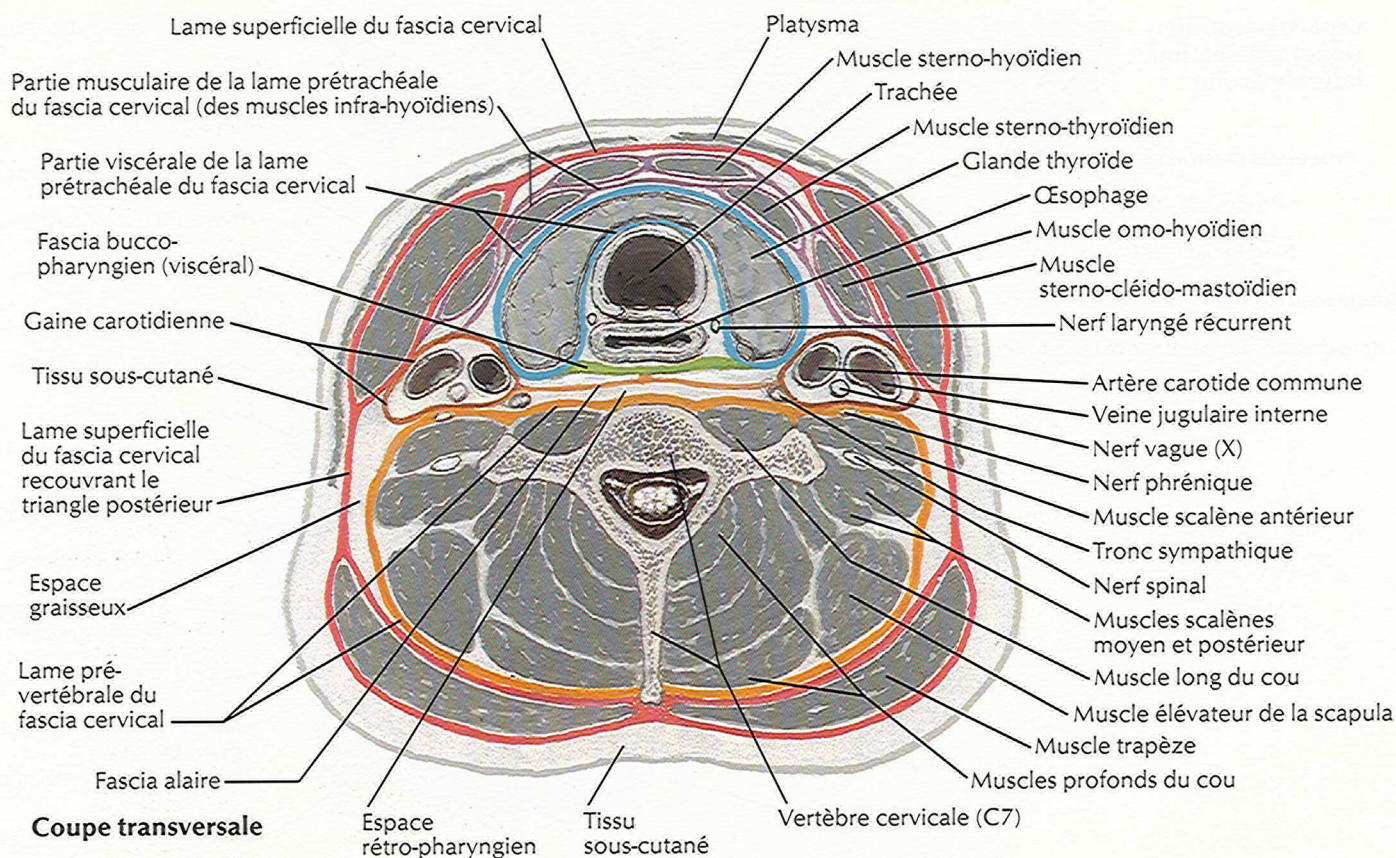


Branche de l'artère carotide externe : schéma

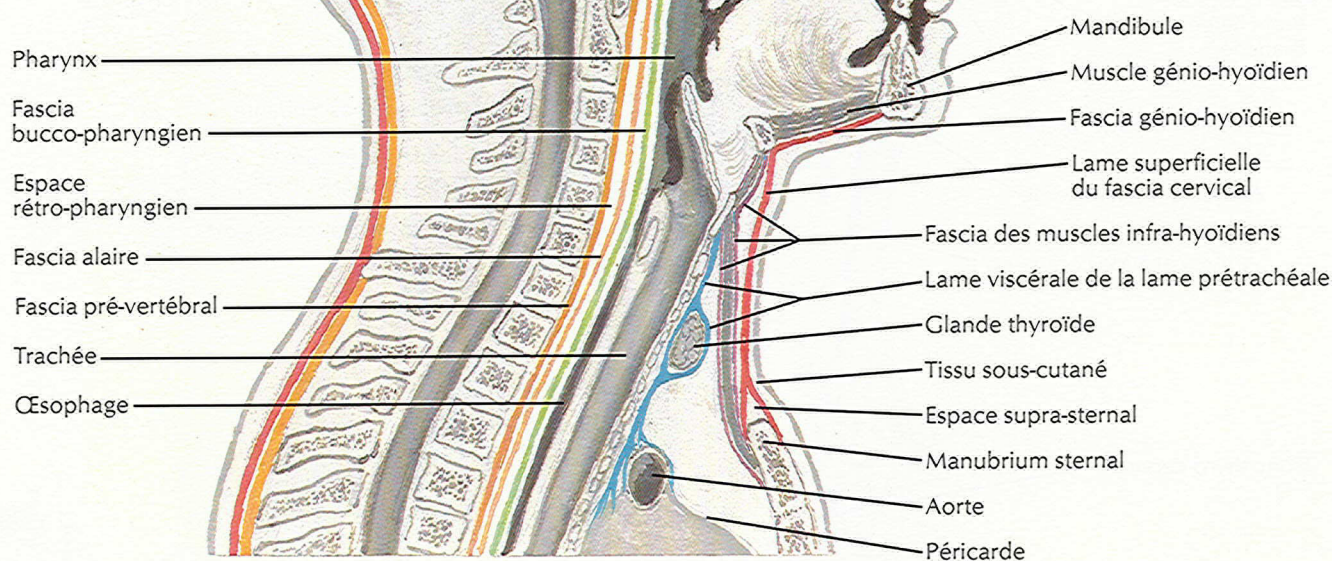
F. Netter
© Novartis

Fascias du cou

POUR LE CONTENU DE LA GAINE CAROTIDIENNE, VOIR LES PLANCHES 63, 64, 65

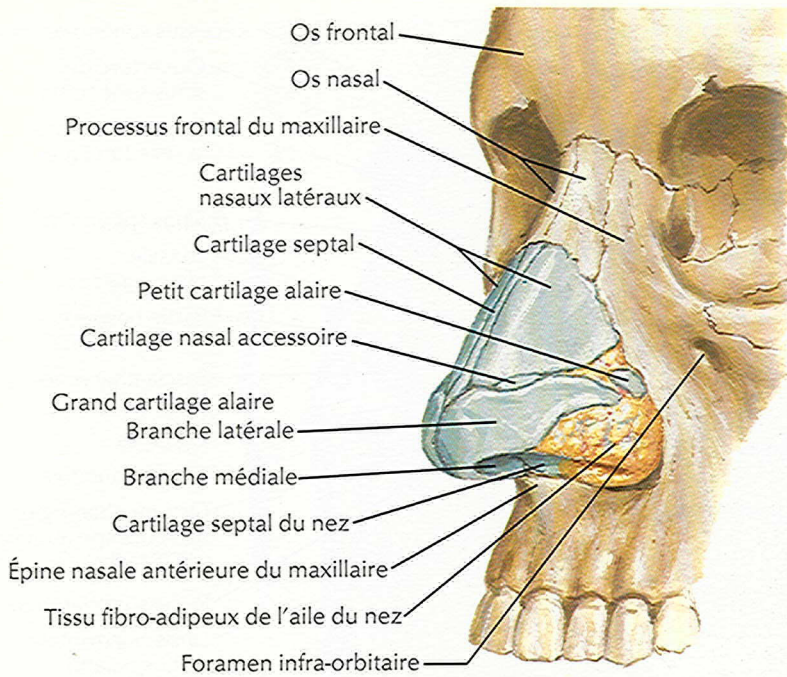


Coupe sagittale

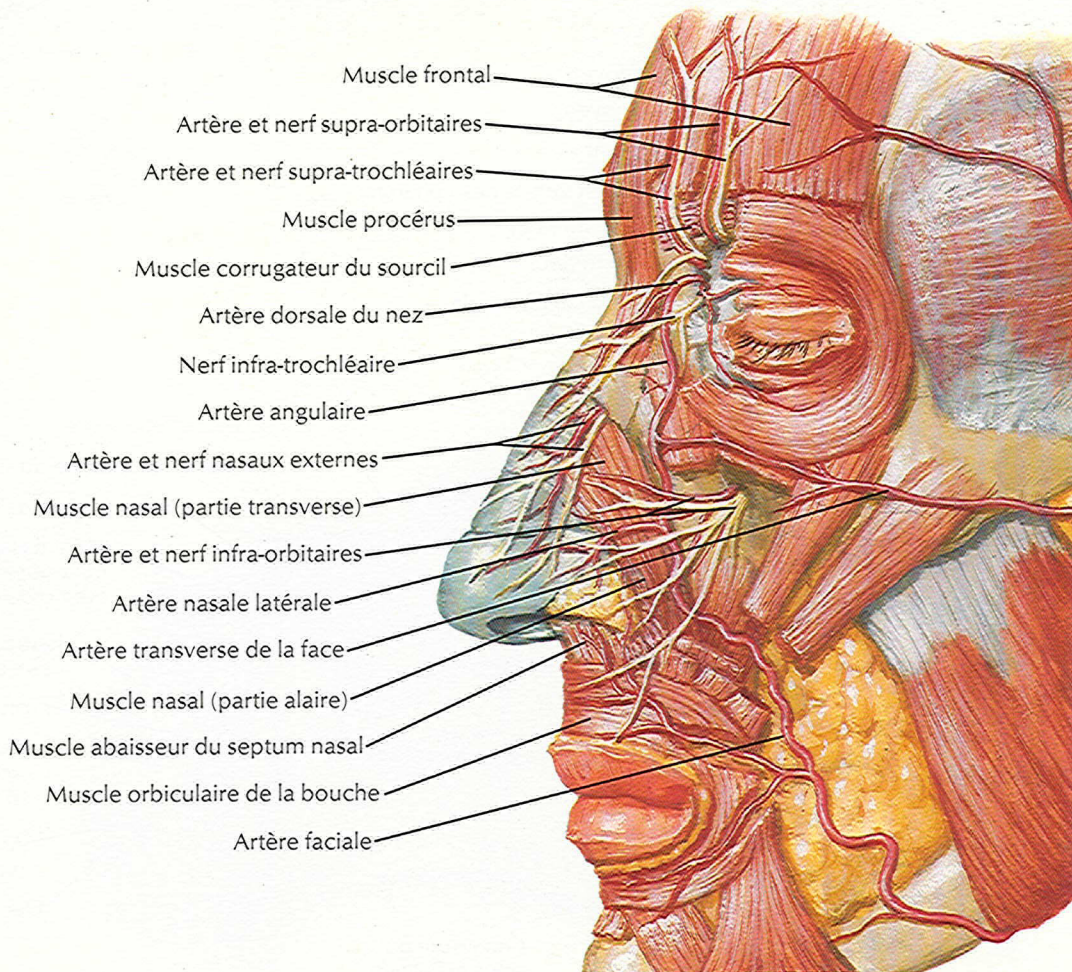
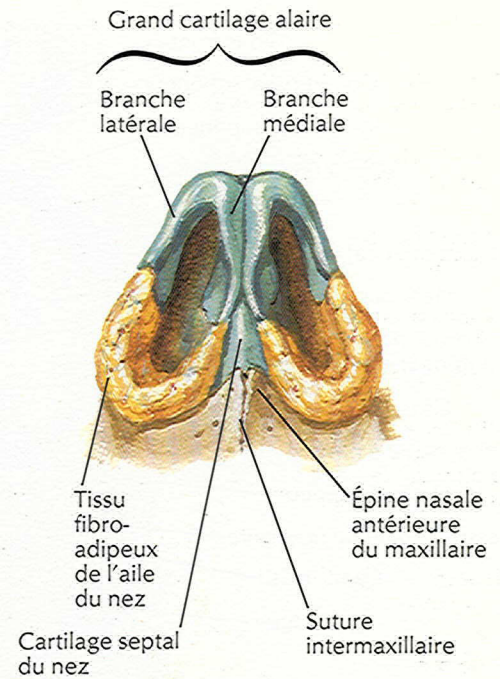


F. Netter
M.D.
© Novartis

Vue antéro-latérale

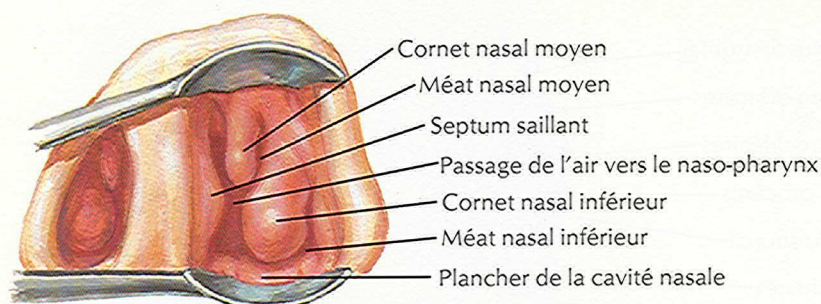
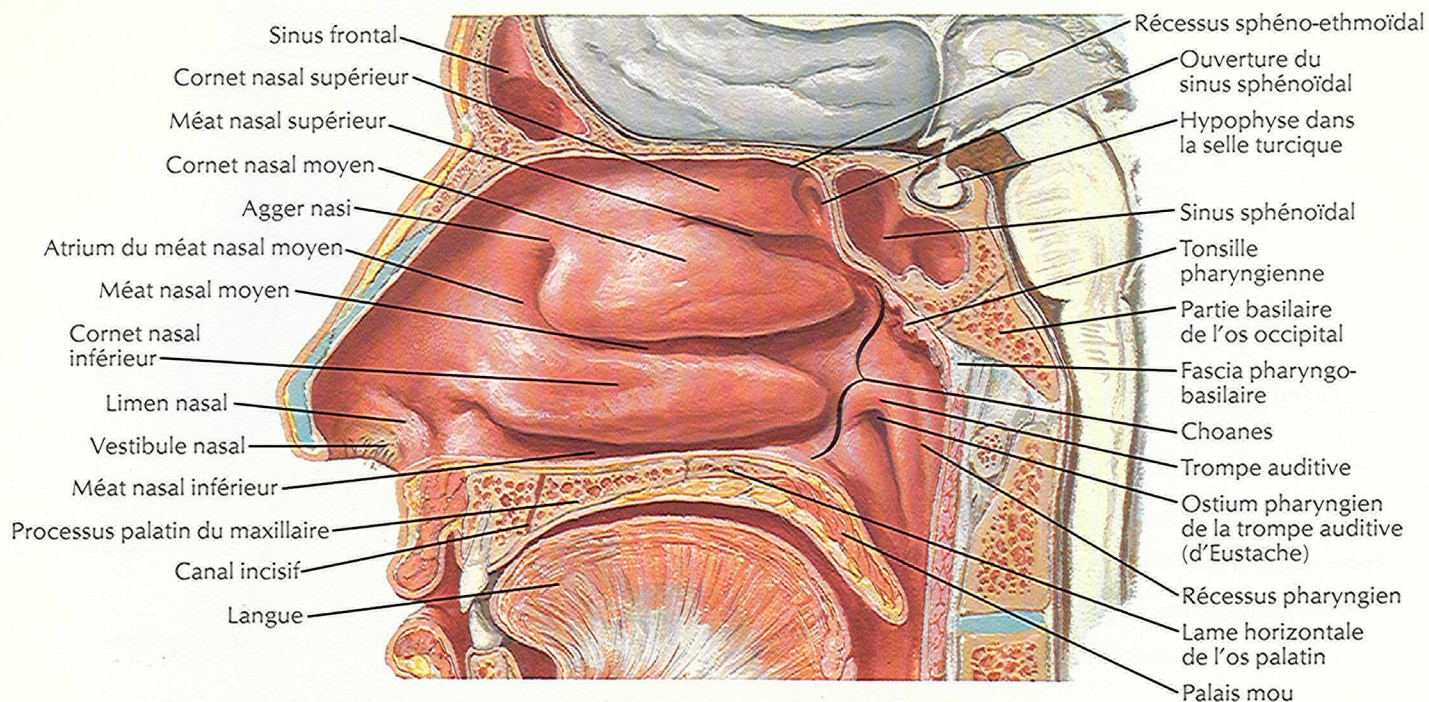


Vue inférieure

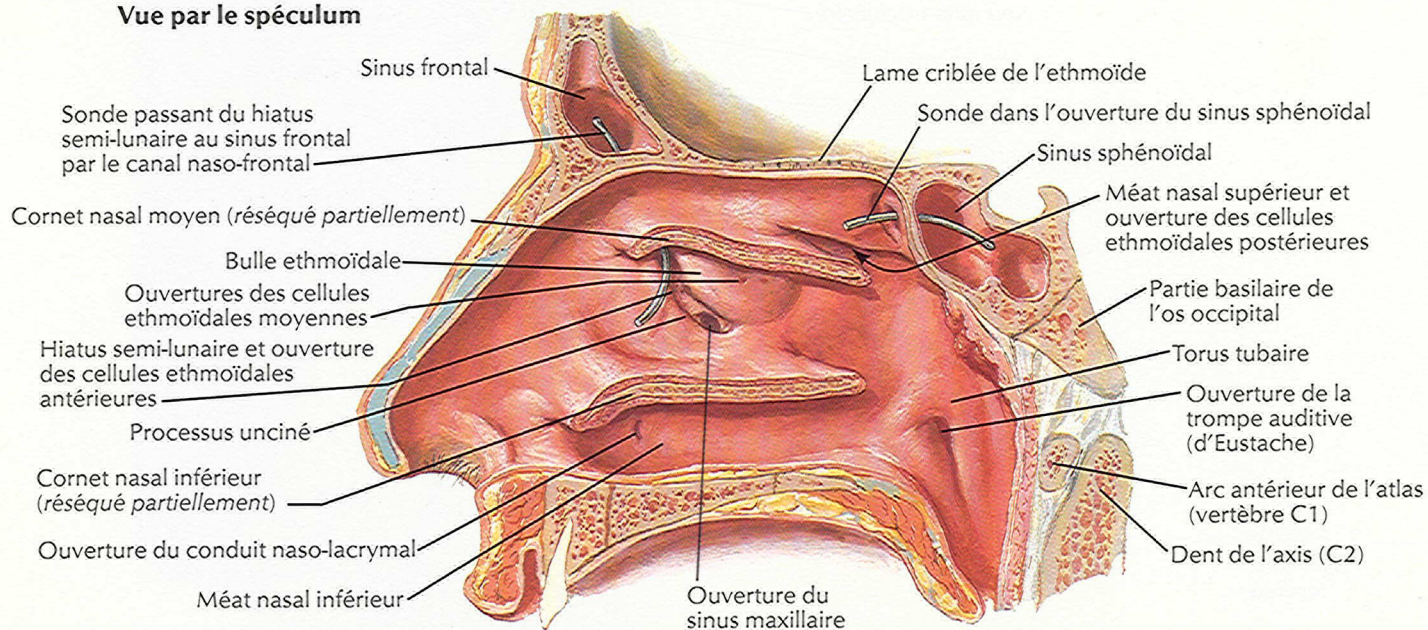


F. Netter M.D.
© Novartis

Paroi latérale de la cavité nasale

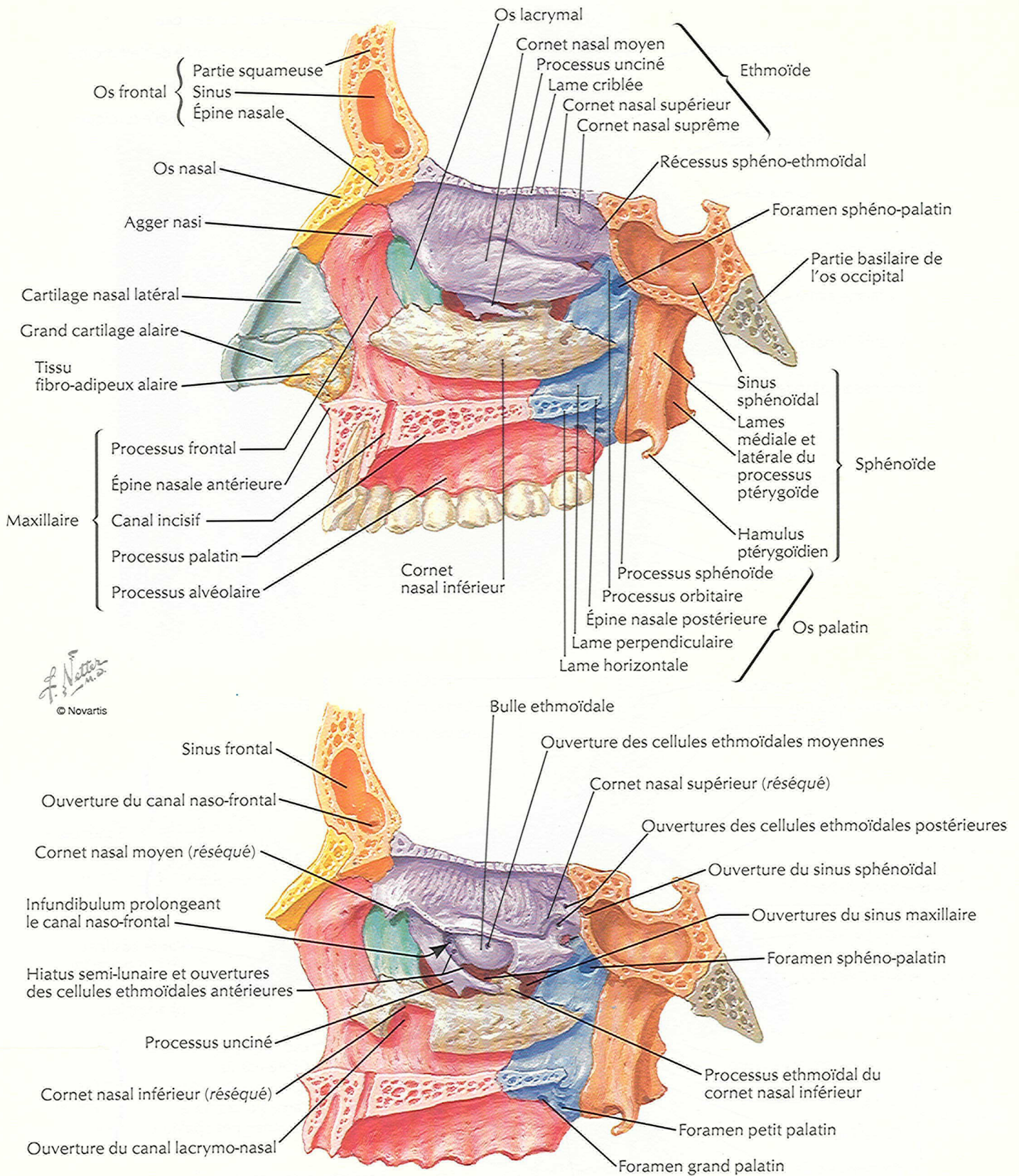


Vue par le spéculum

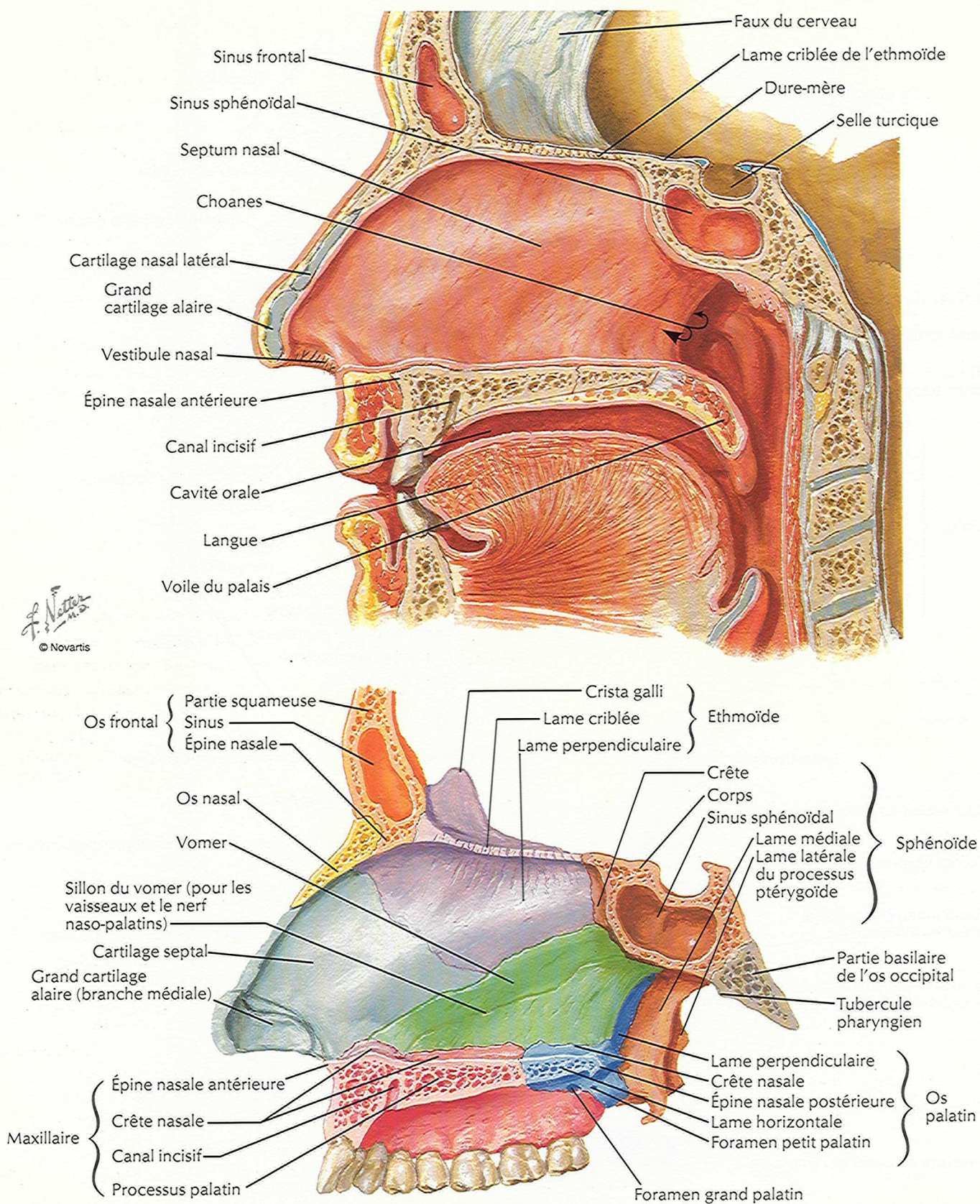


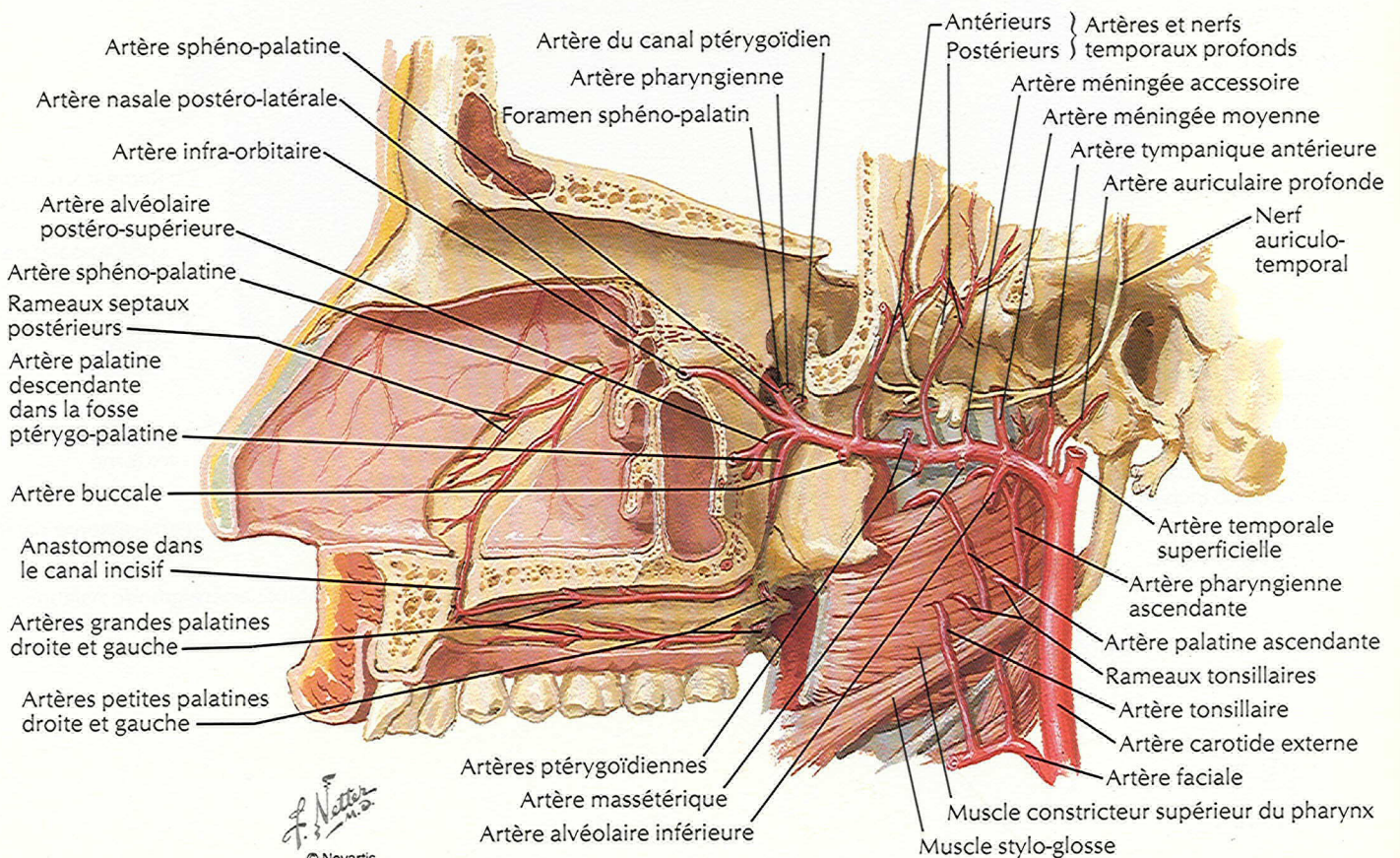
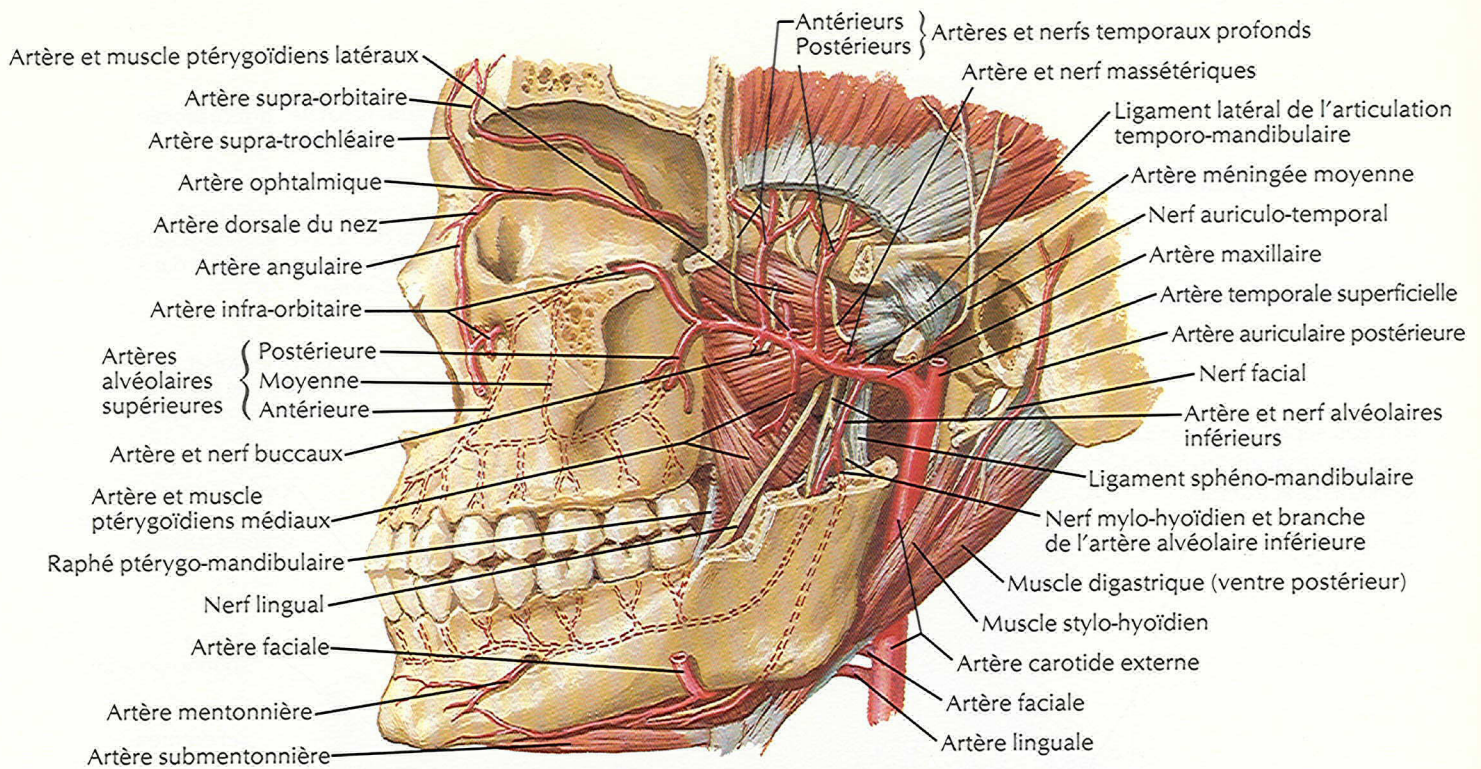
Paroi latérale de la cavité nasale (suite)

VOIR AUSSI LA PLANCHE 3

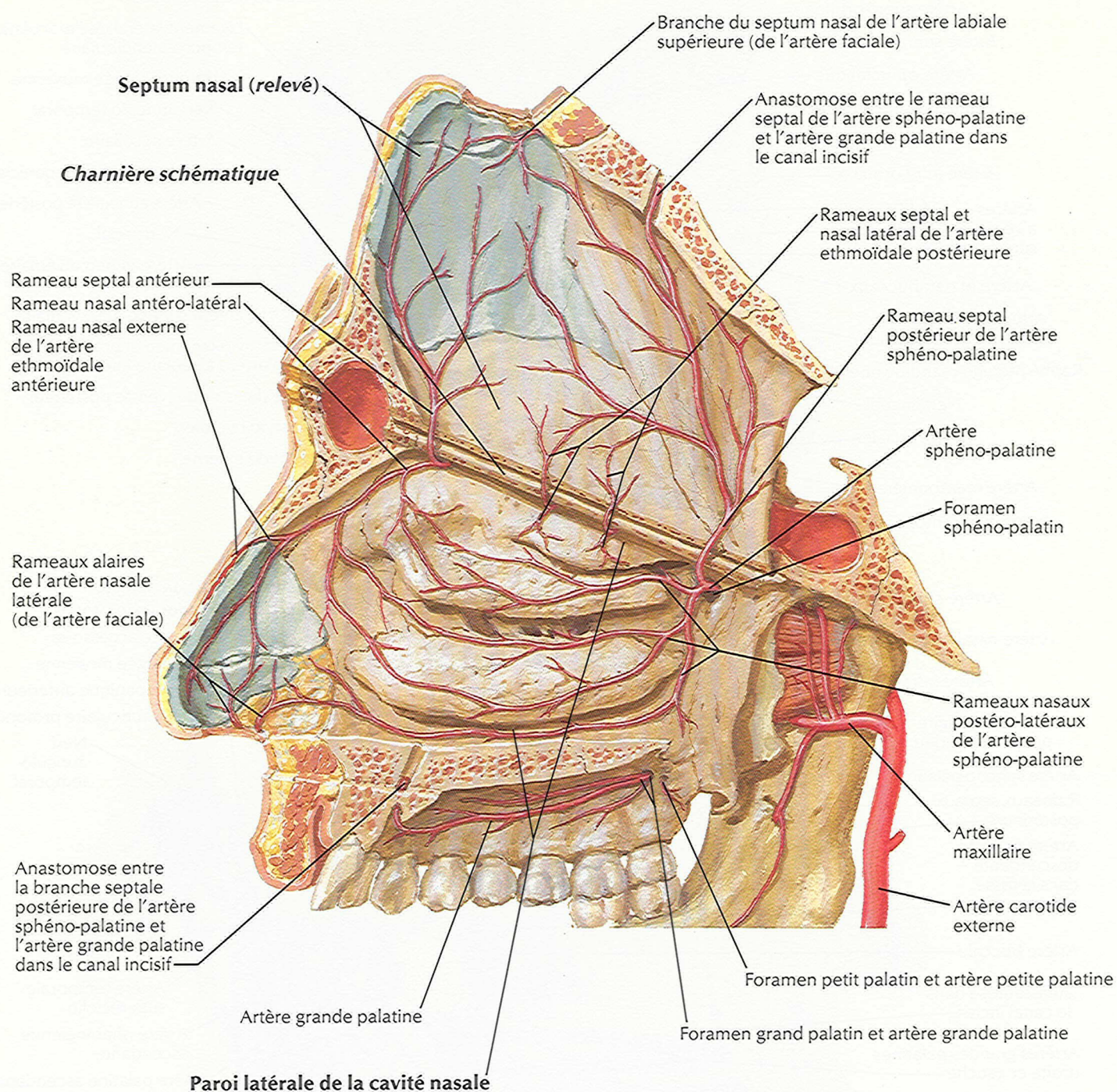


Paroi médiale de la cavité nasale (septum nasal)

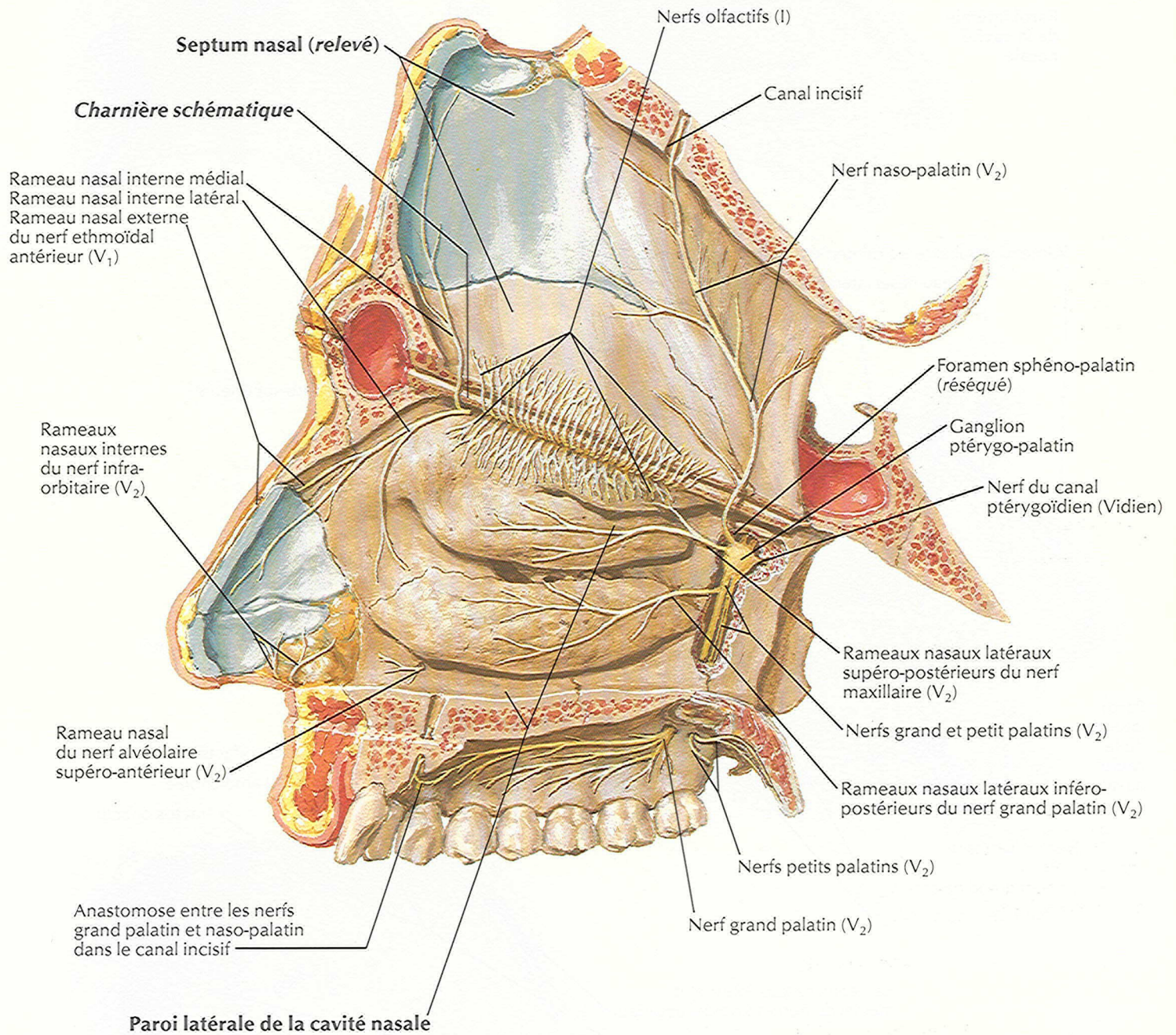




Artères de la cavité nasale



F. Netter
M.D.
© Novartis



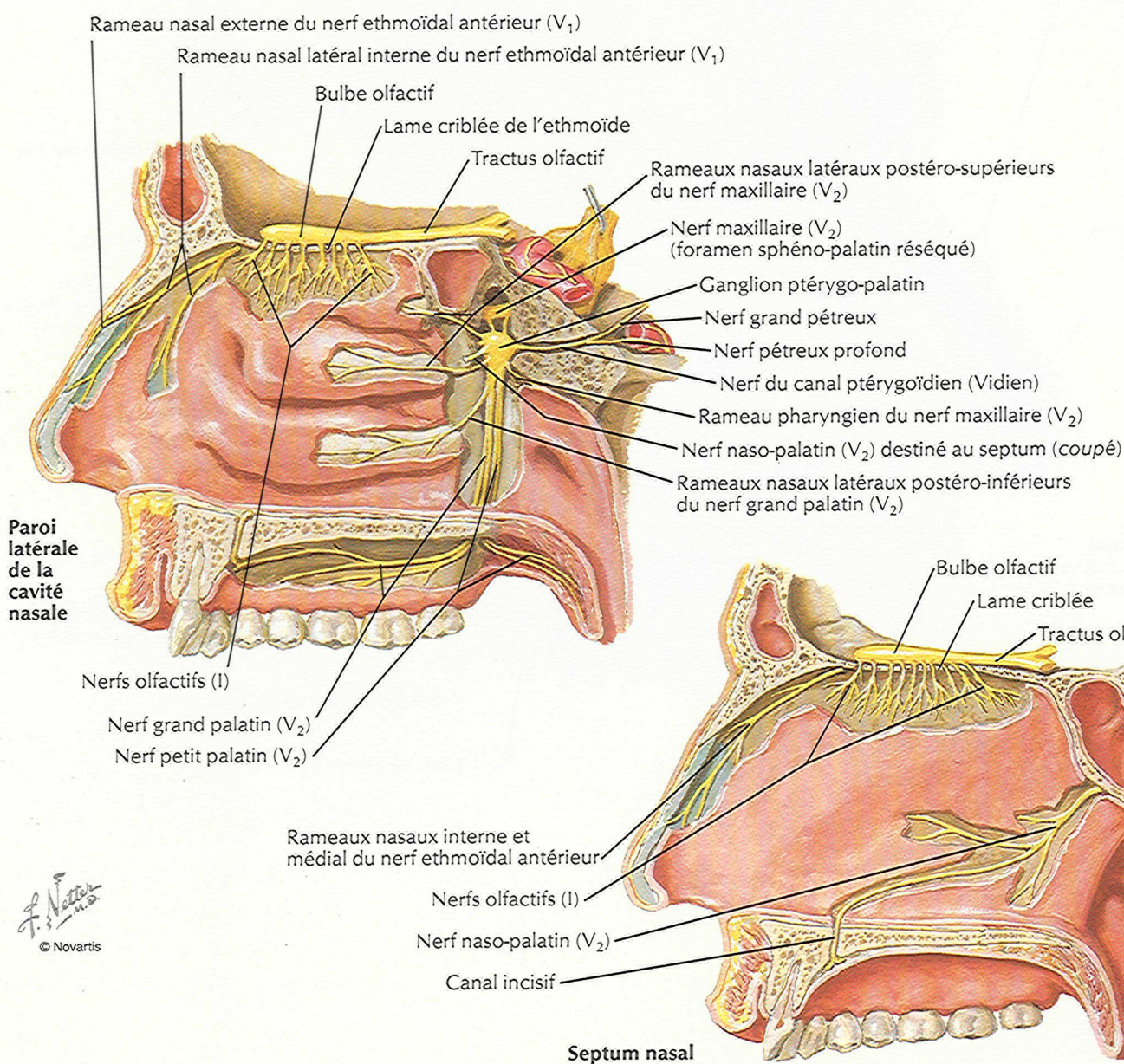
Nerfs de la cavité nasale (suite)

VOIR AUSSI LA PLANCHE 113

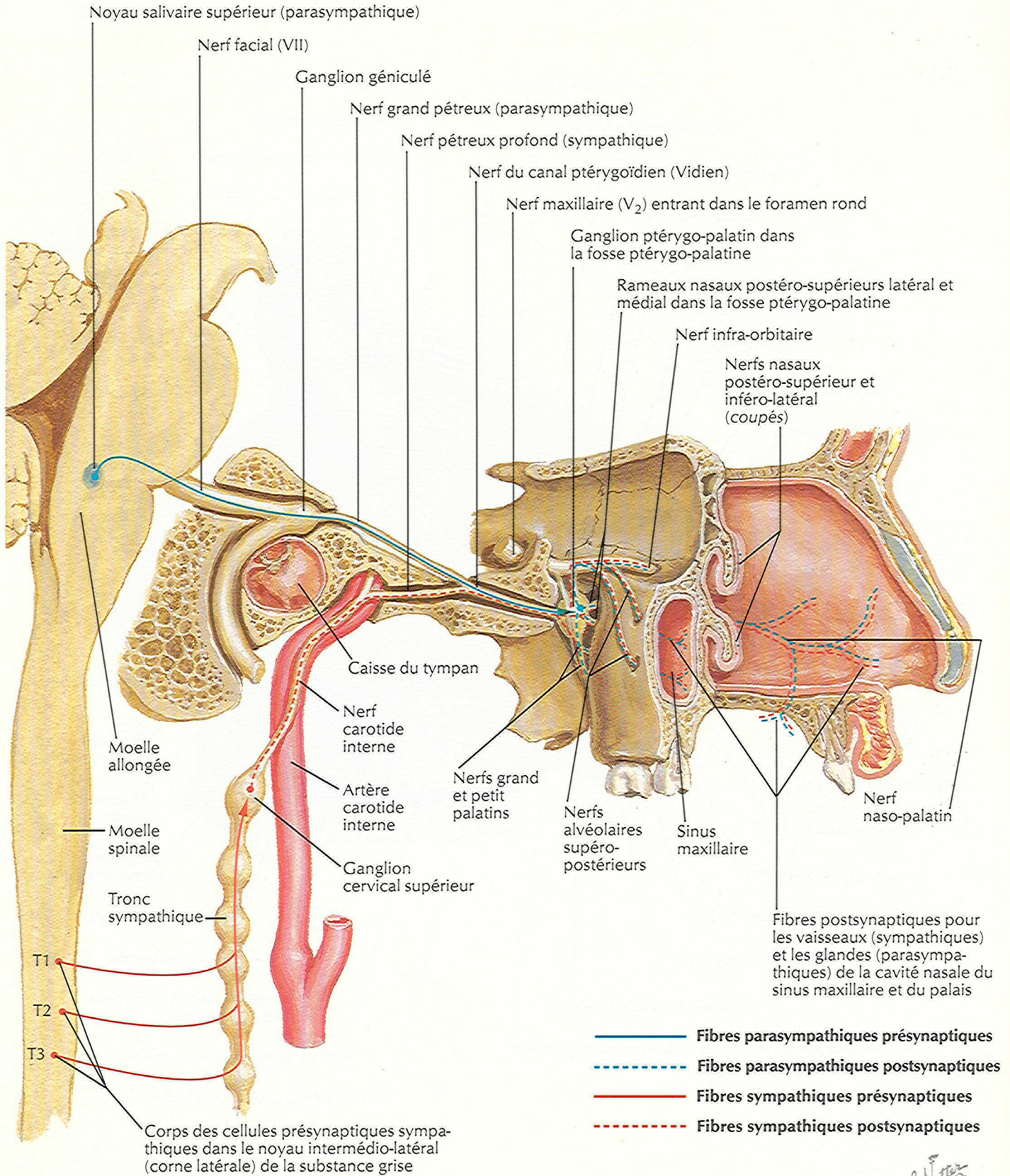
Topographie de la muqueuse olfactive (en bleu)

Paroi latérale de la cavité nasale

Septum nasal

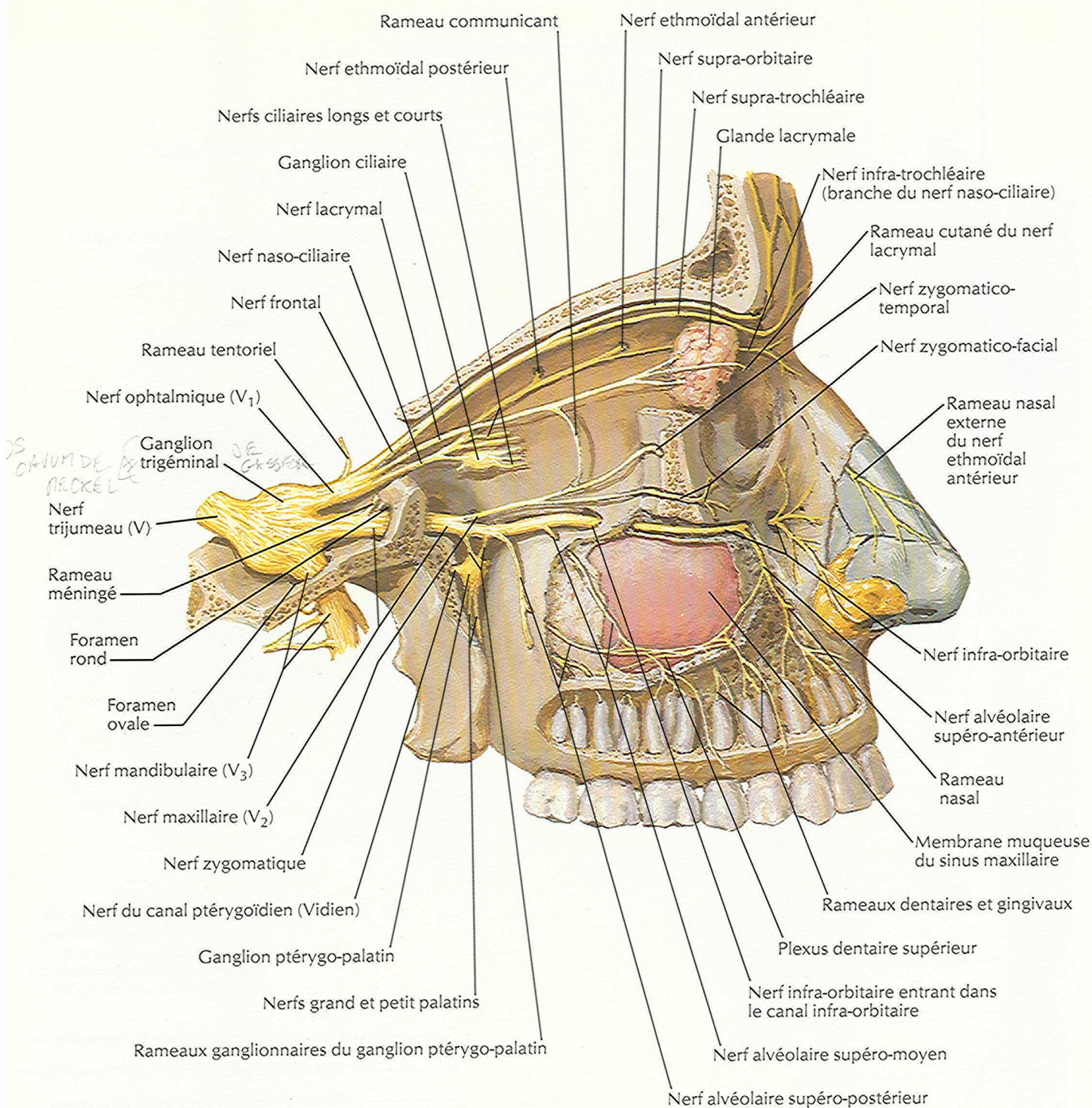


J. Netter M.D.
© Novartis



Nerfs ophtalmique (V₁) et maxillaire (V₂)

VOIR AUSSI LA PLANCHE 116

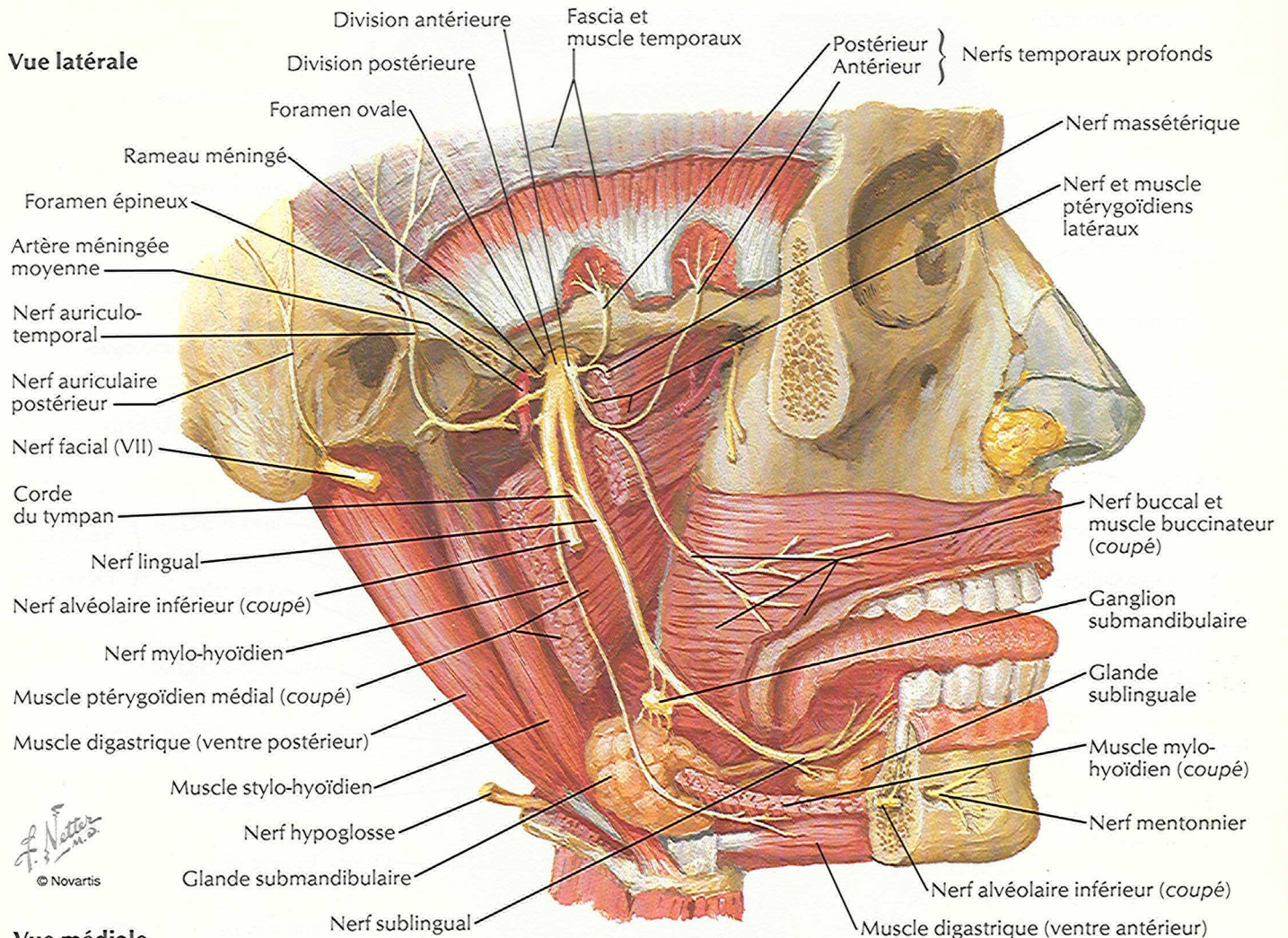


F. Netter
M.D.
© Novartis

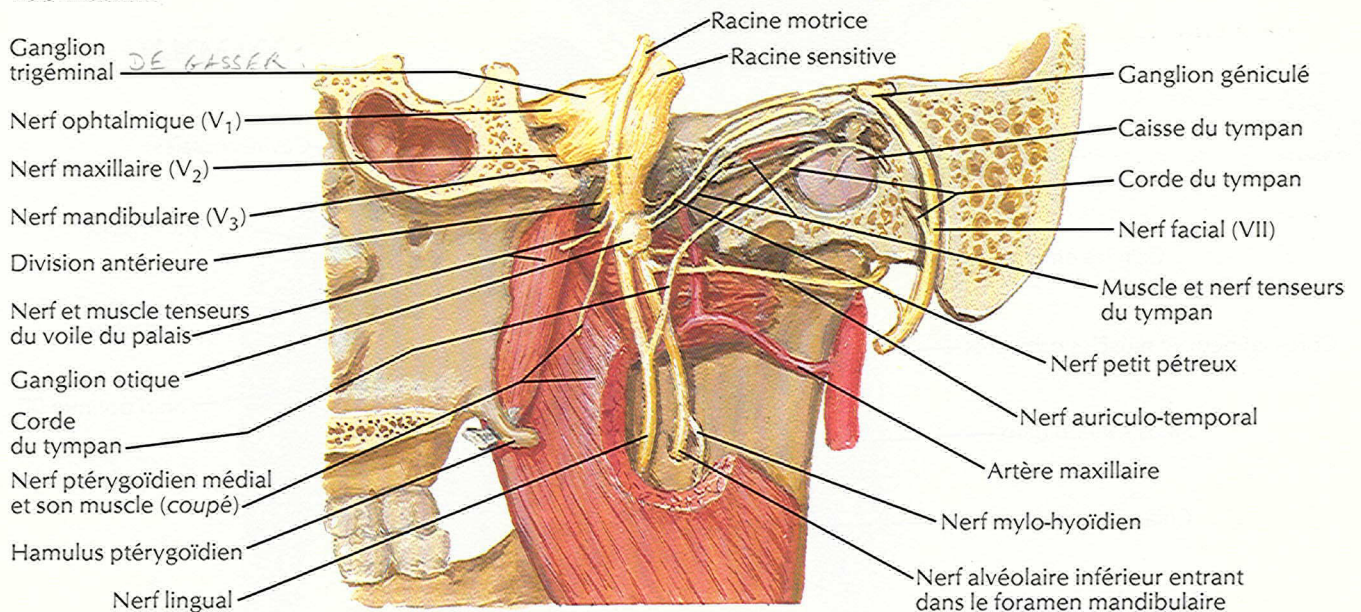
Nerf mandibulaire (V₃)

VOIR AUSSI LES PLANCHES 65, 116

Vue latérale

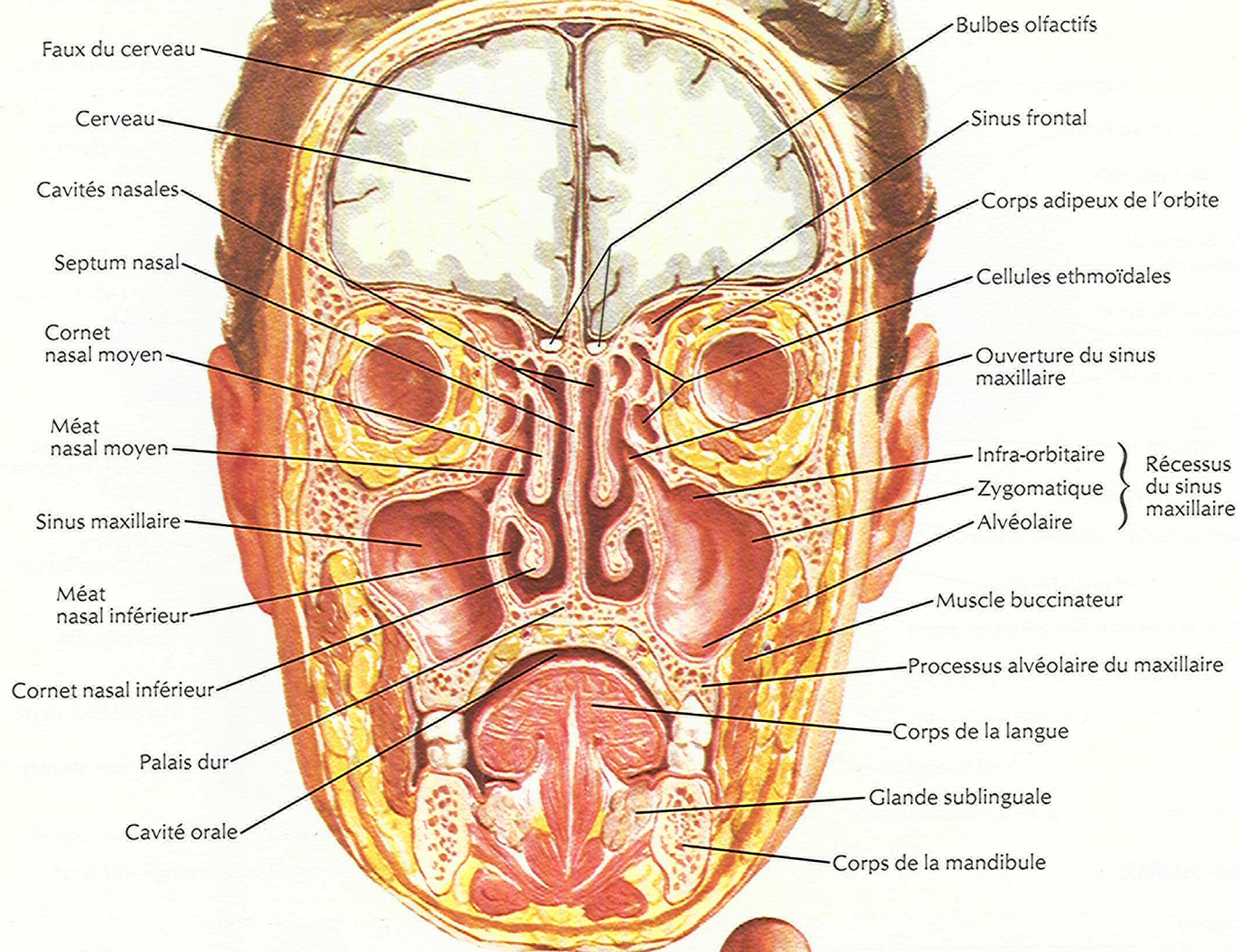


Vue médiale



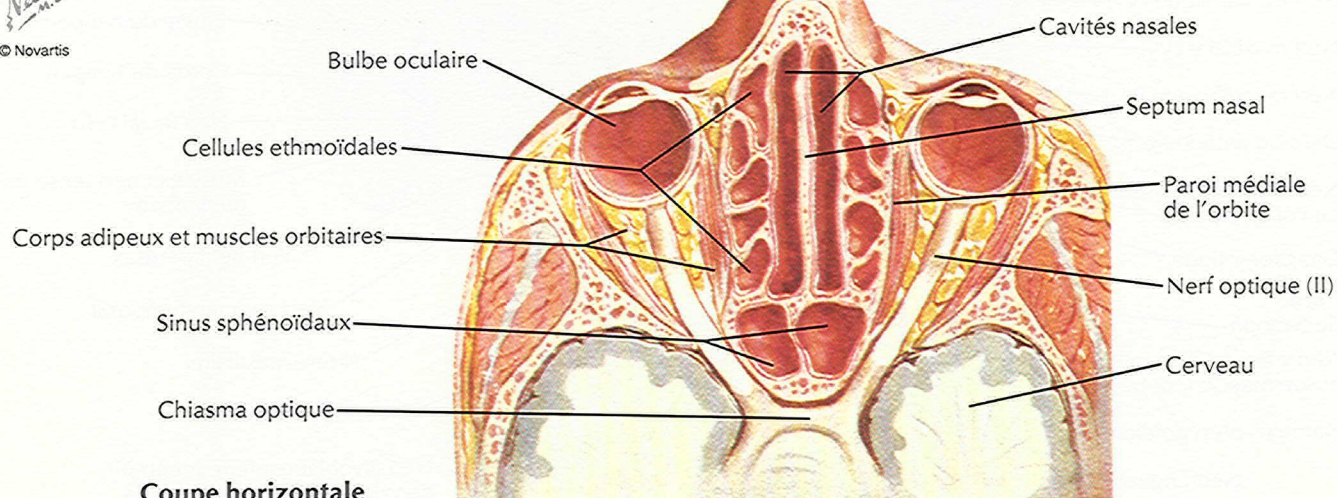
Sinus paranasaux

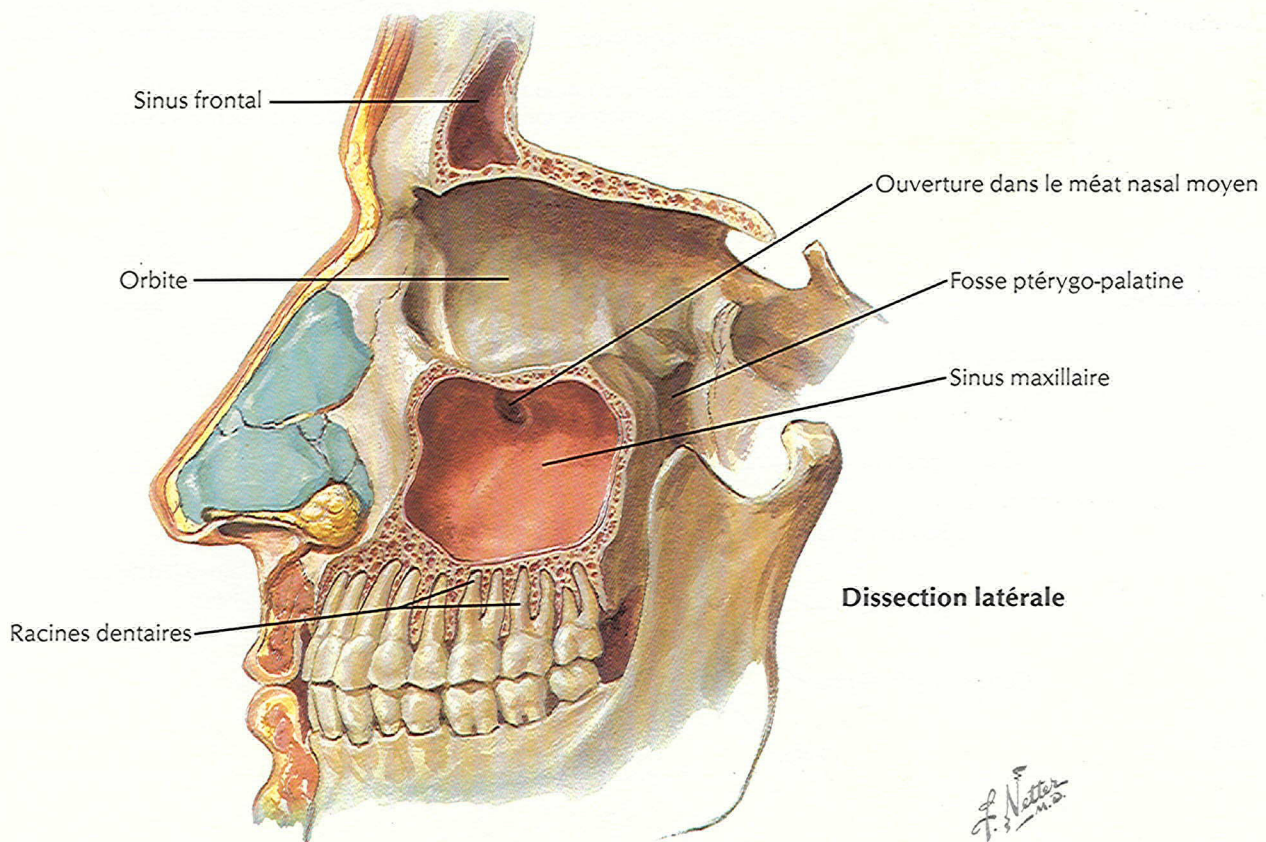
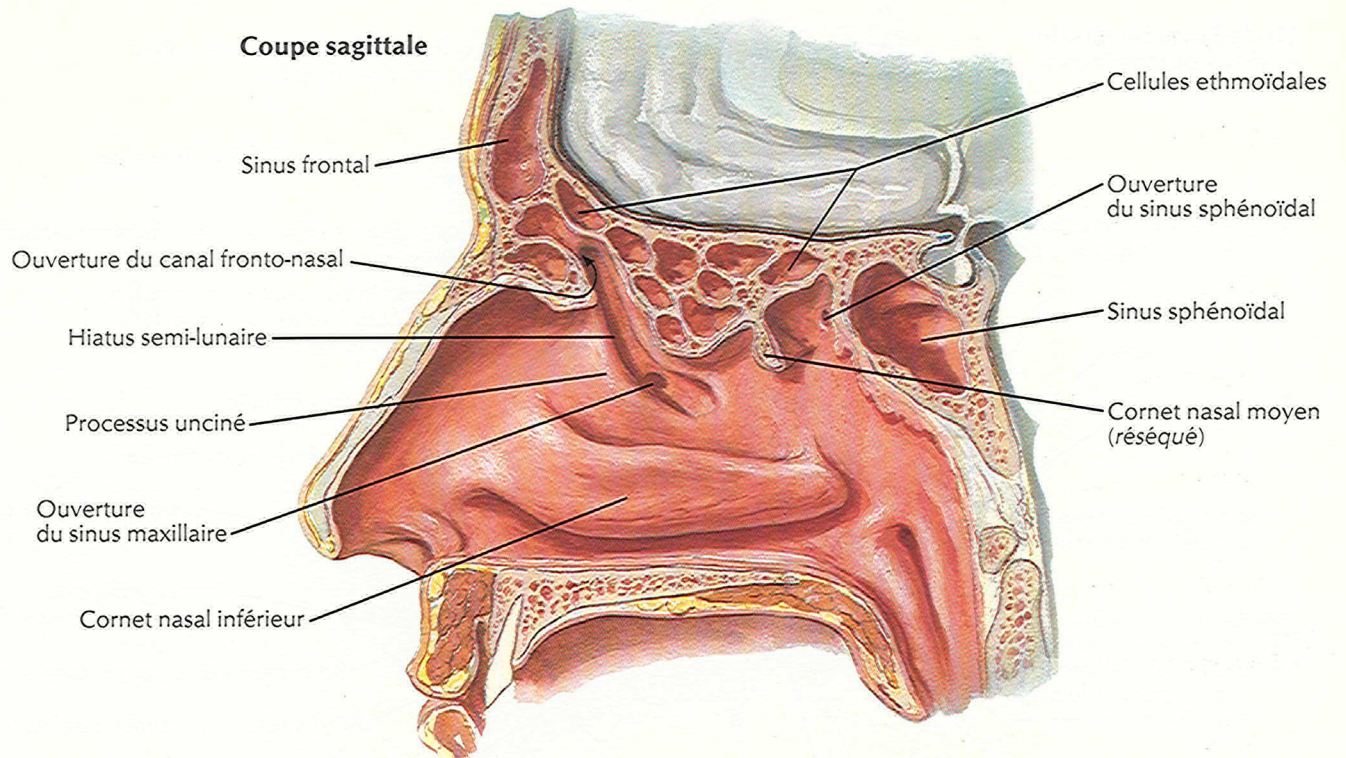
Coupe coronale



F. Netter
© Novartis

Coupe horizontale

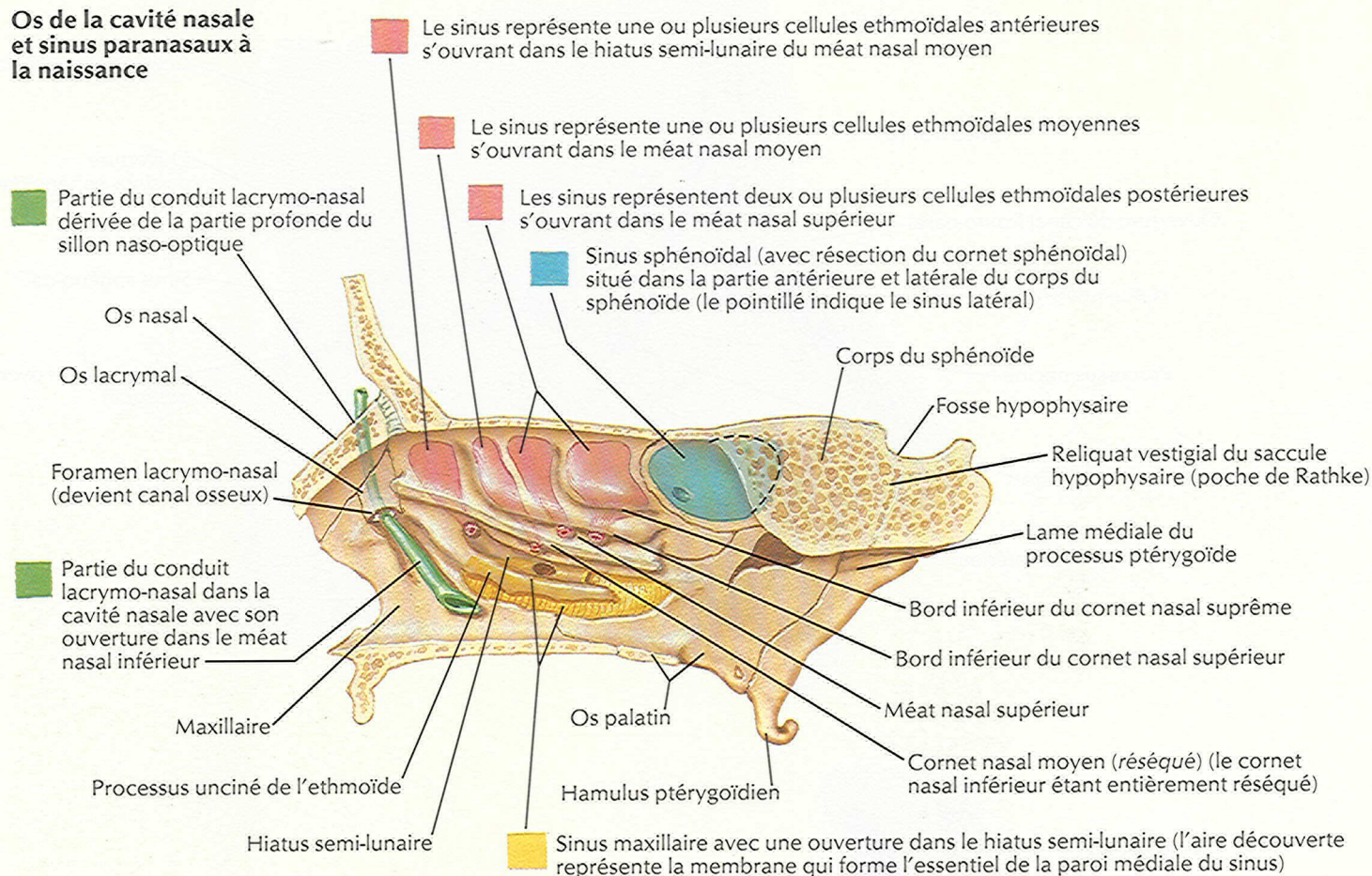




F. Netter M.D.
© Novartis

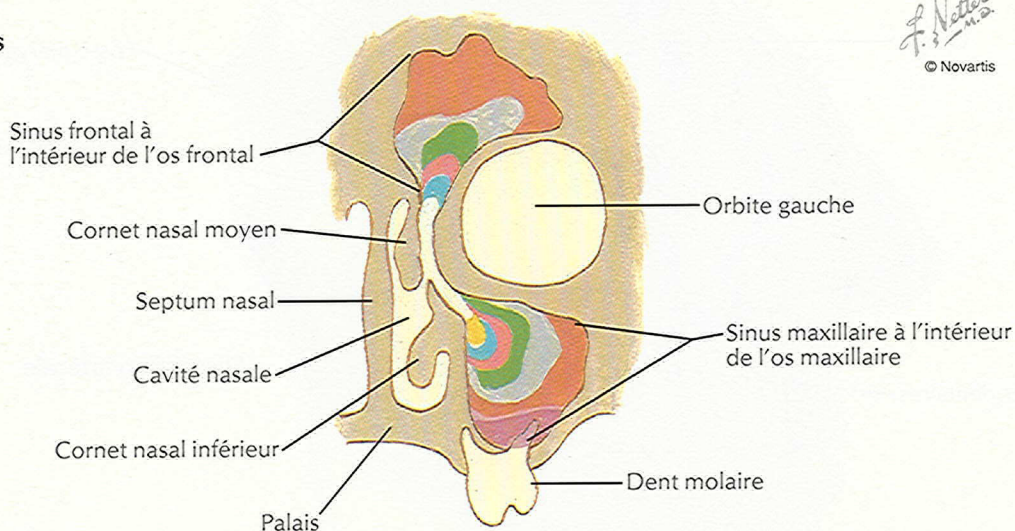
Sinus paranasaux : variations avec l'âge

Os de la cavité nasale et sinus paranasaux à la naissance

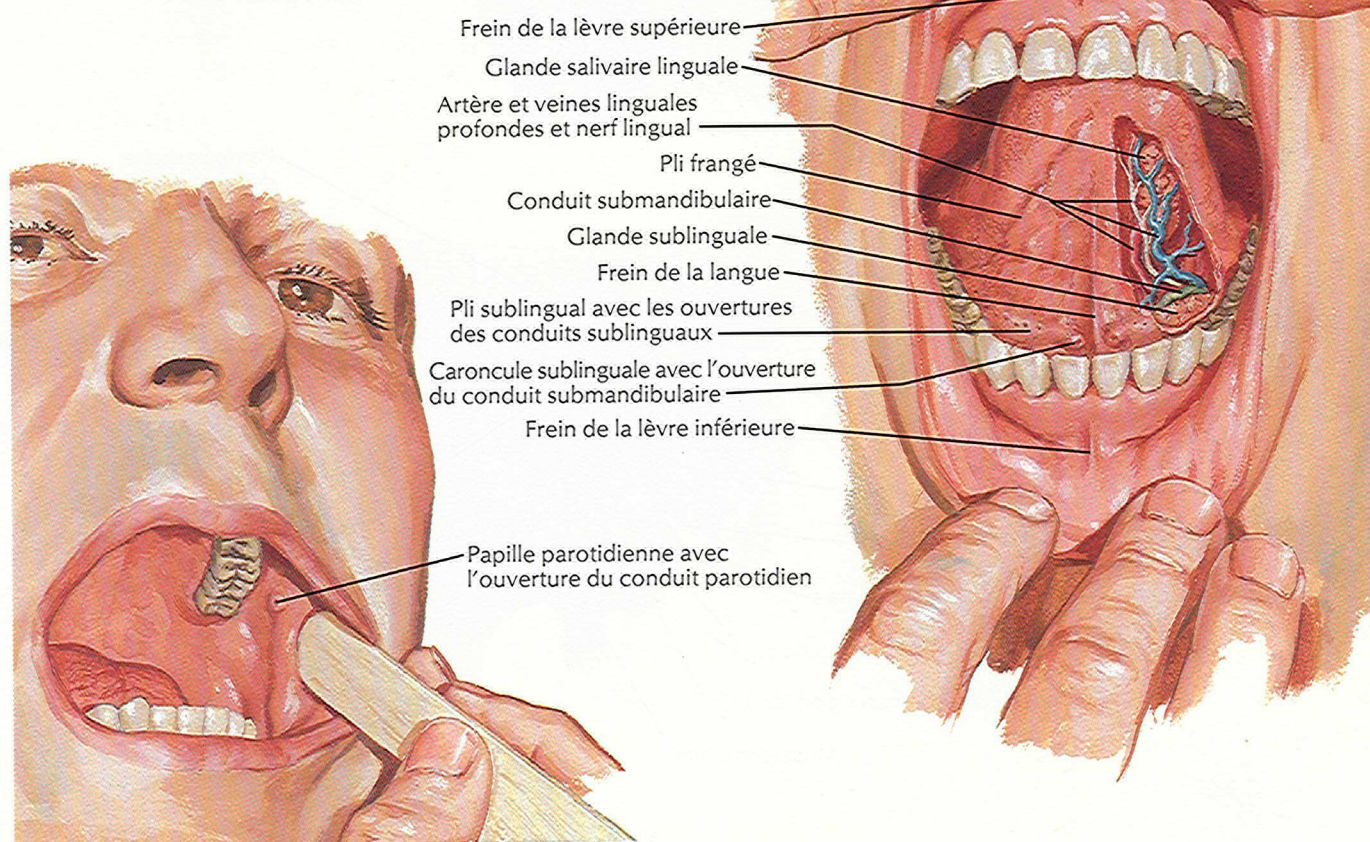
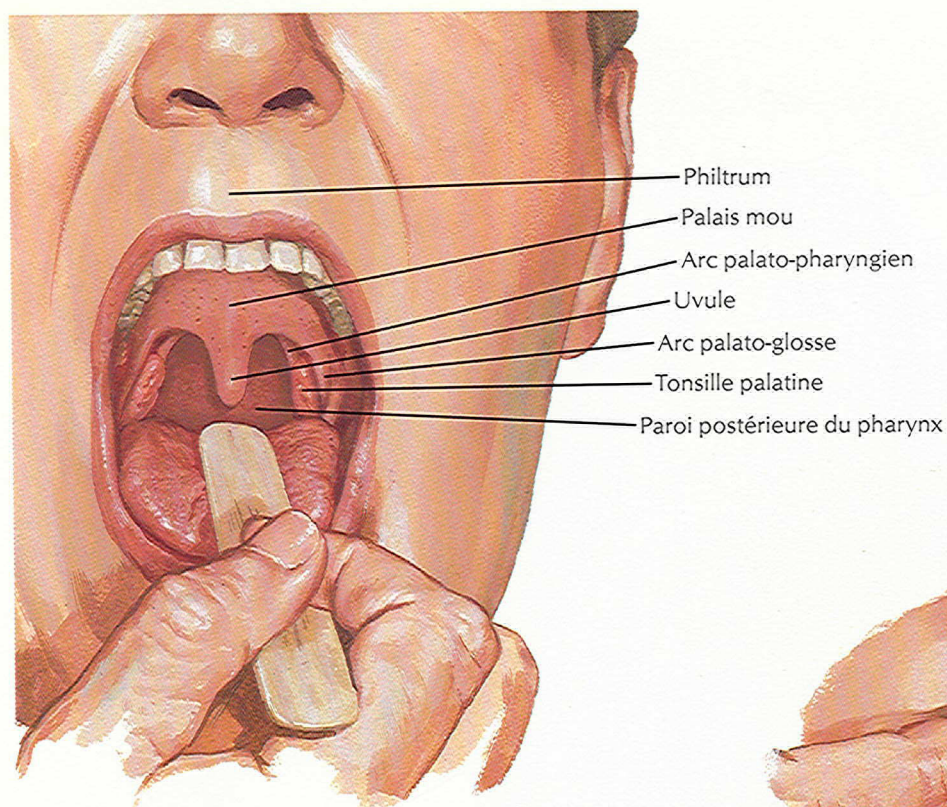


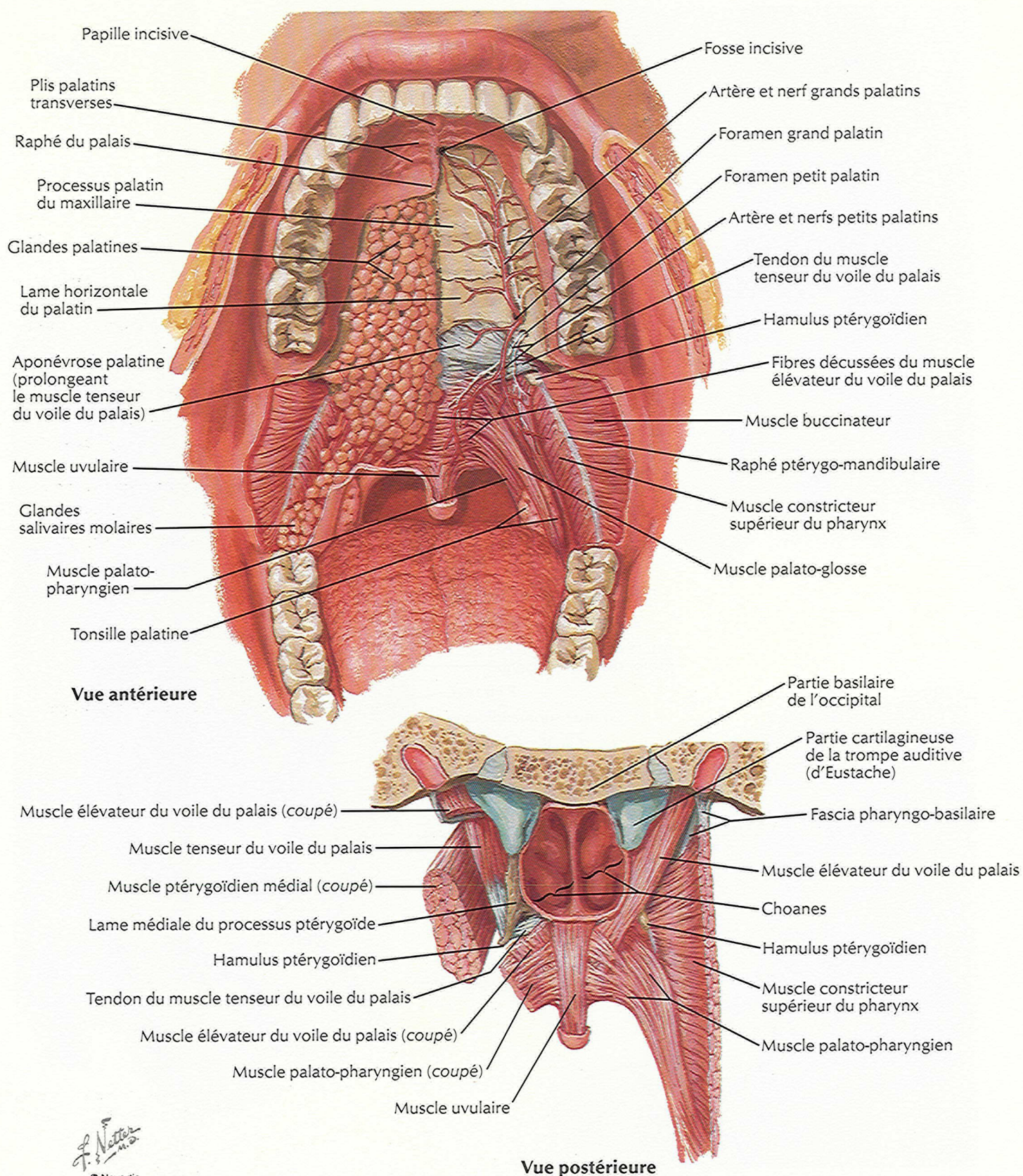
Développement des sinus frontaux et maxillaires durant la vie

- Naissance
- 1 an
- 4 ans
- 7 ans
- 12 ans
- Adulte
- Homme âgé

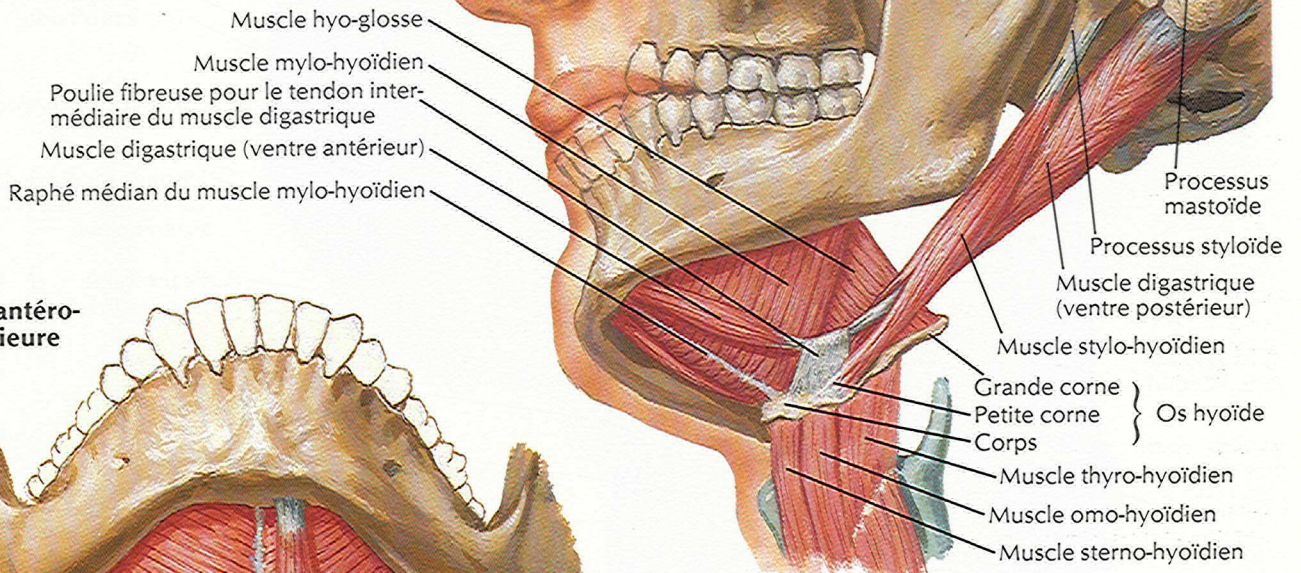


F. Natter
© Novartis

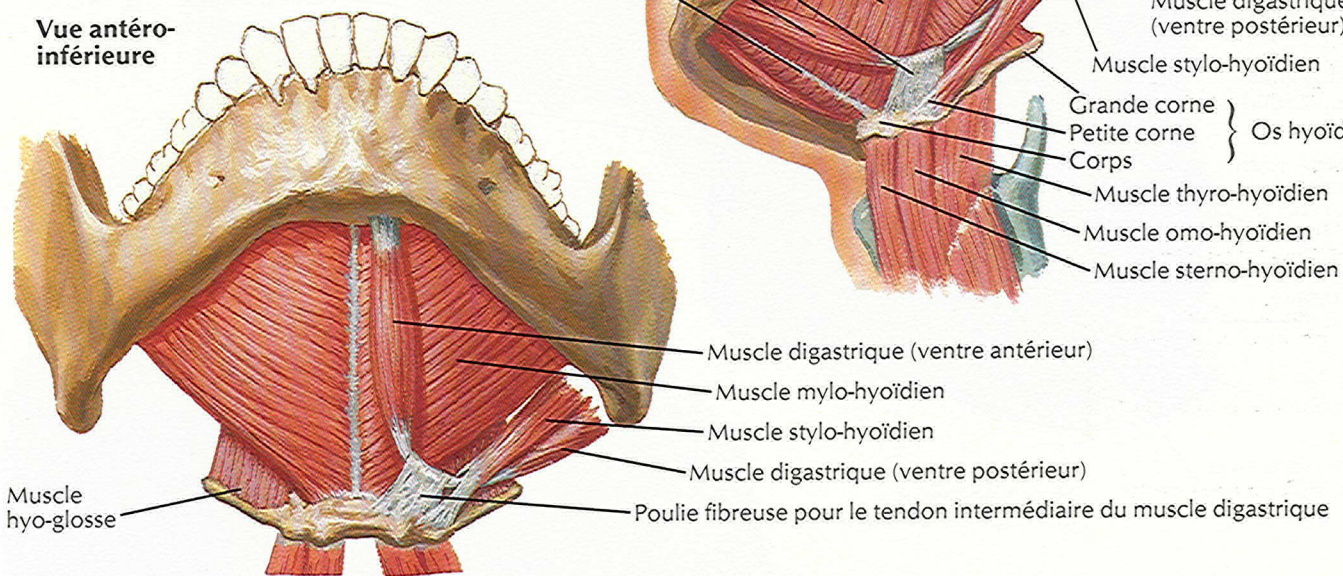




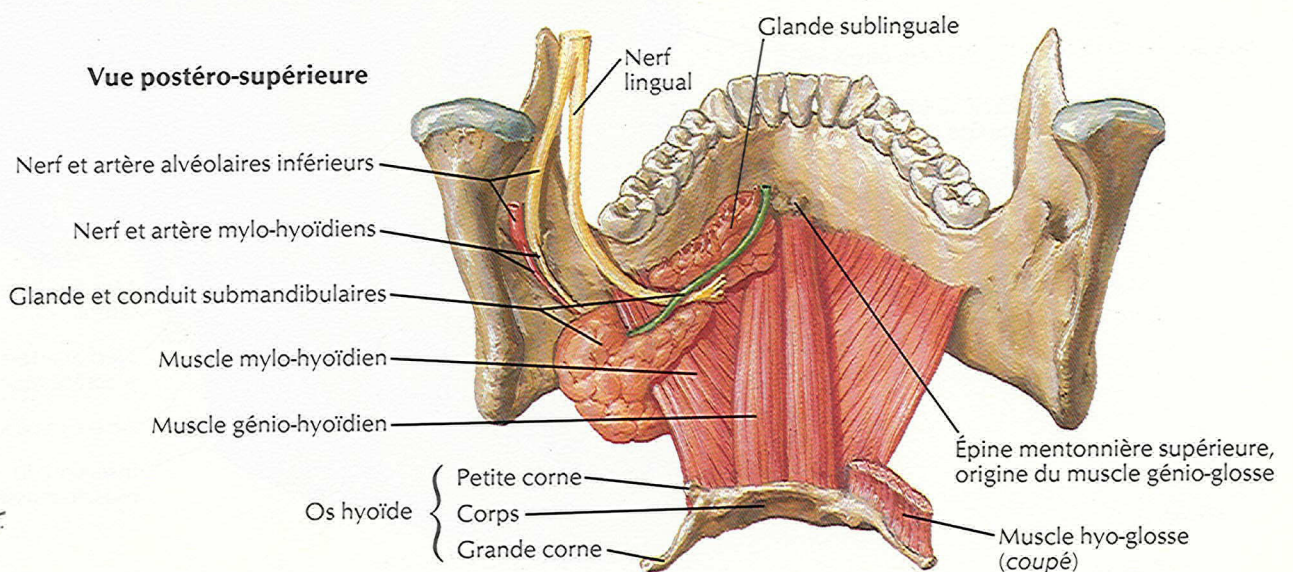
Vue latérale et légèrement inférieure



Vue antéro-inférieure

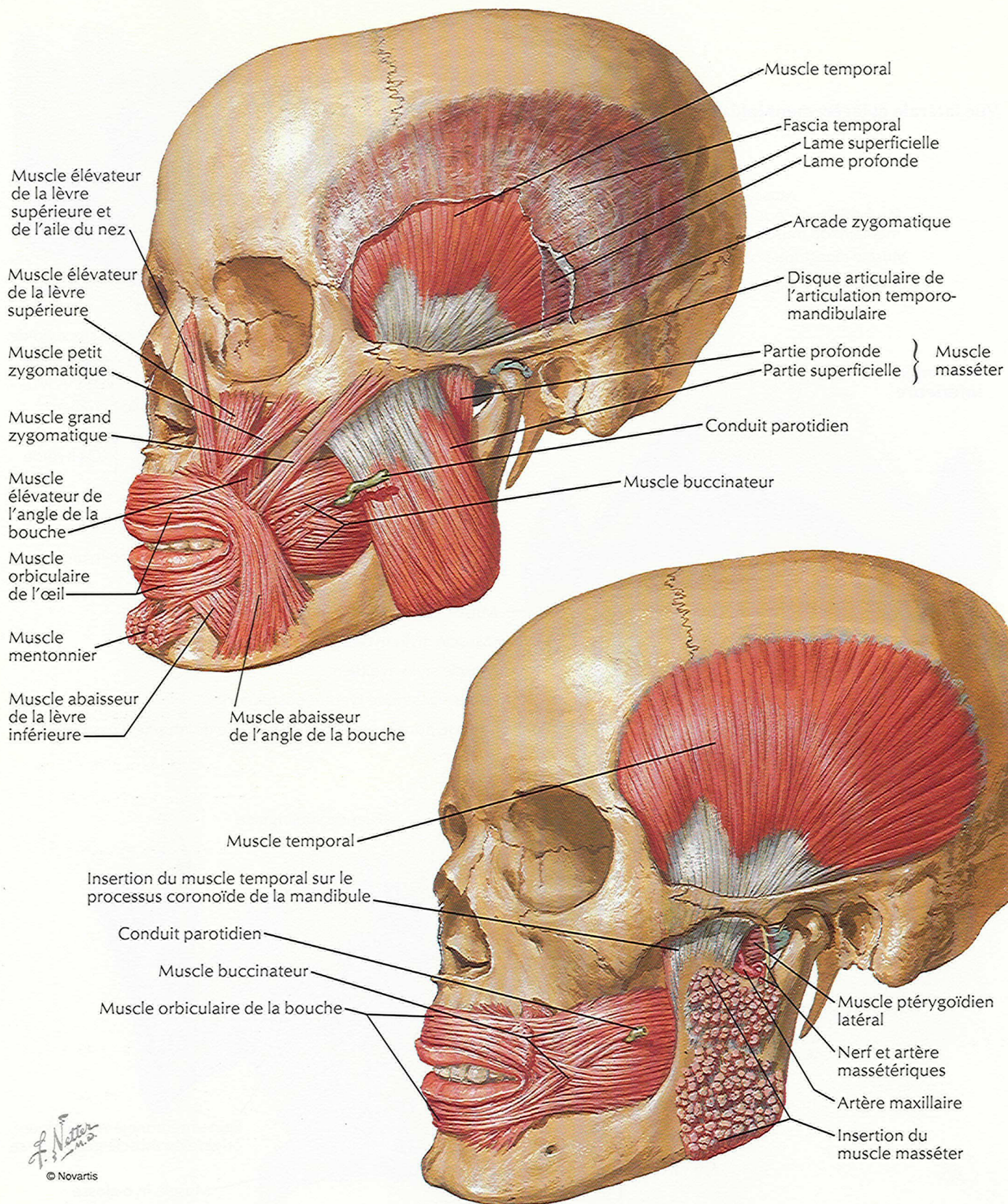


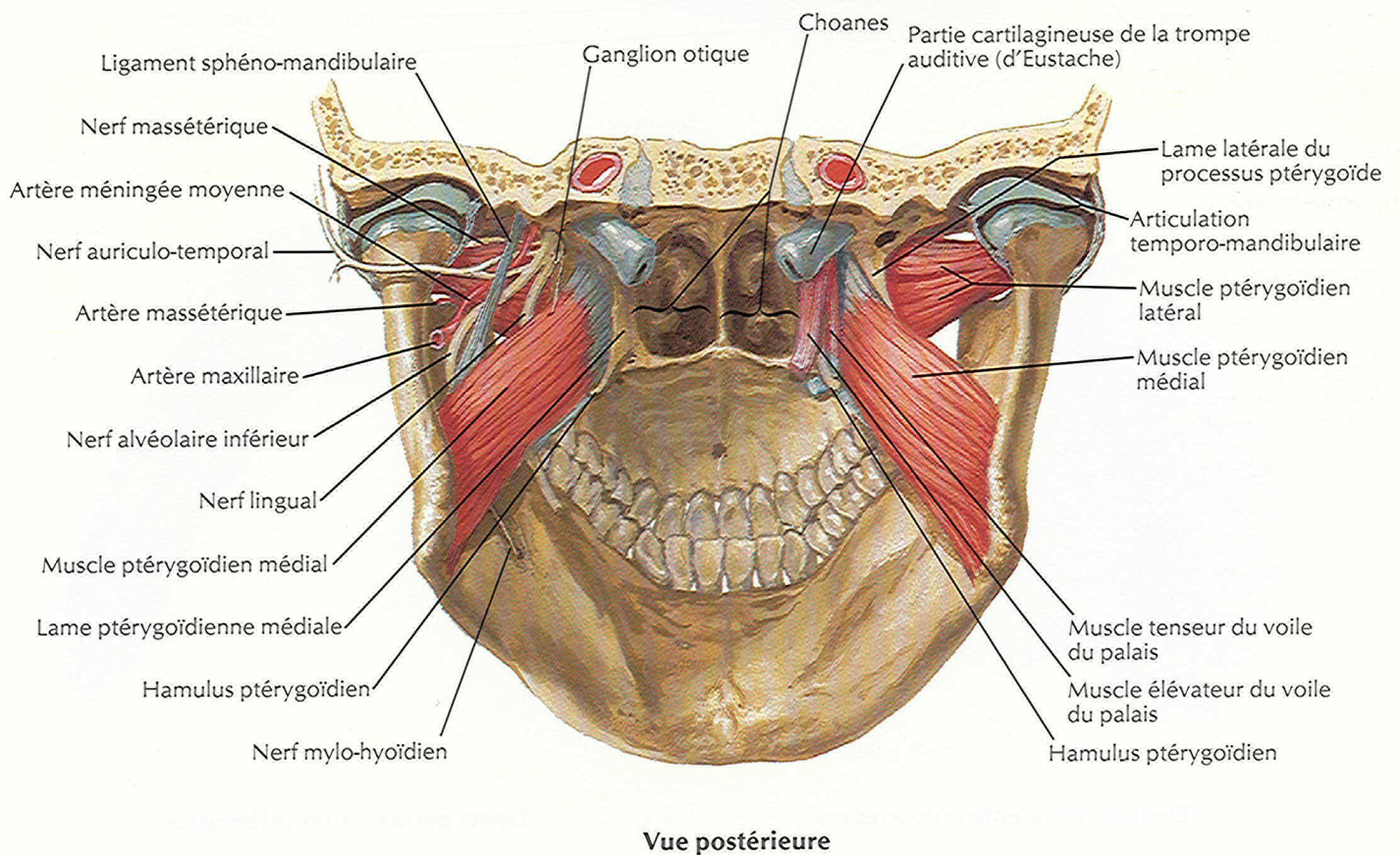
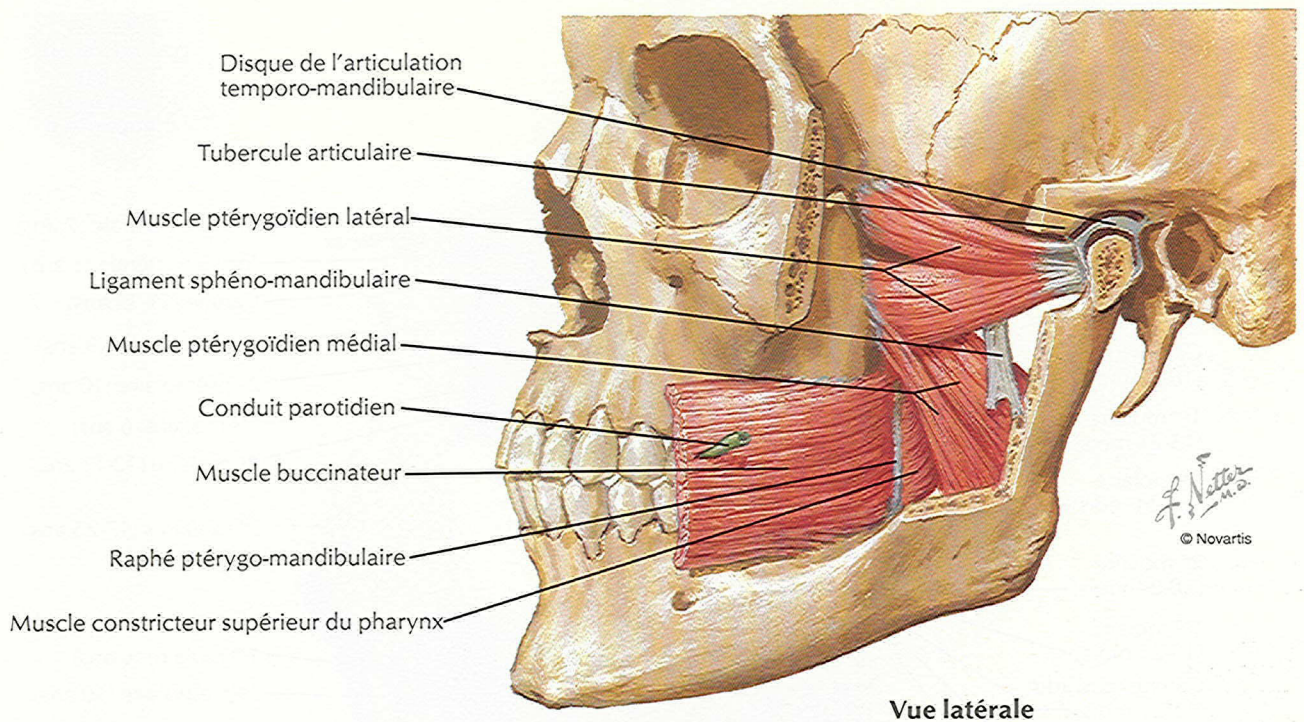
Vue postéro-supérieure

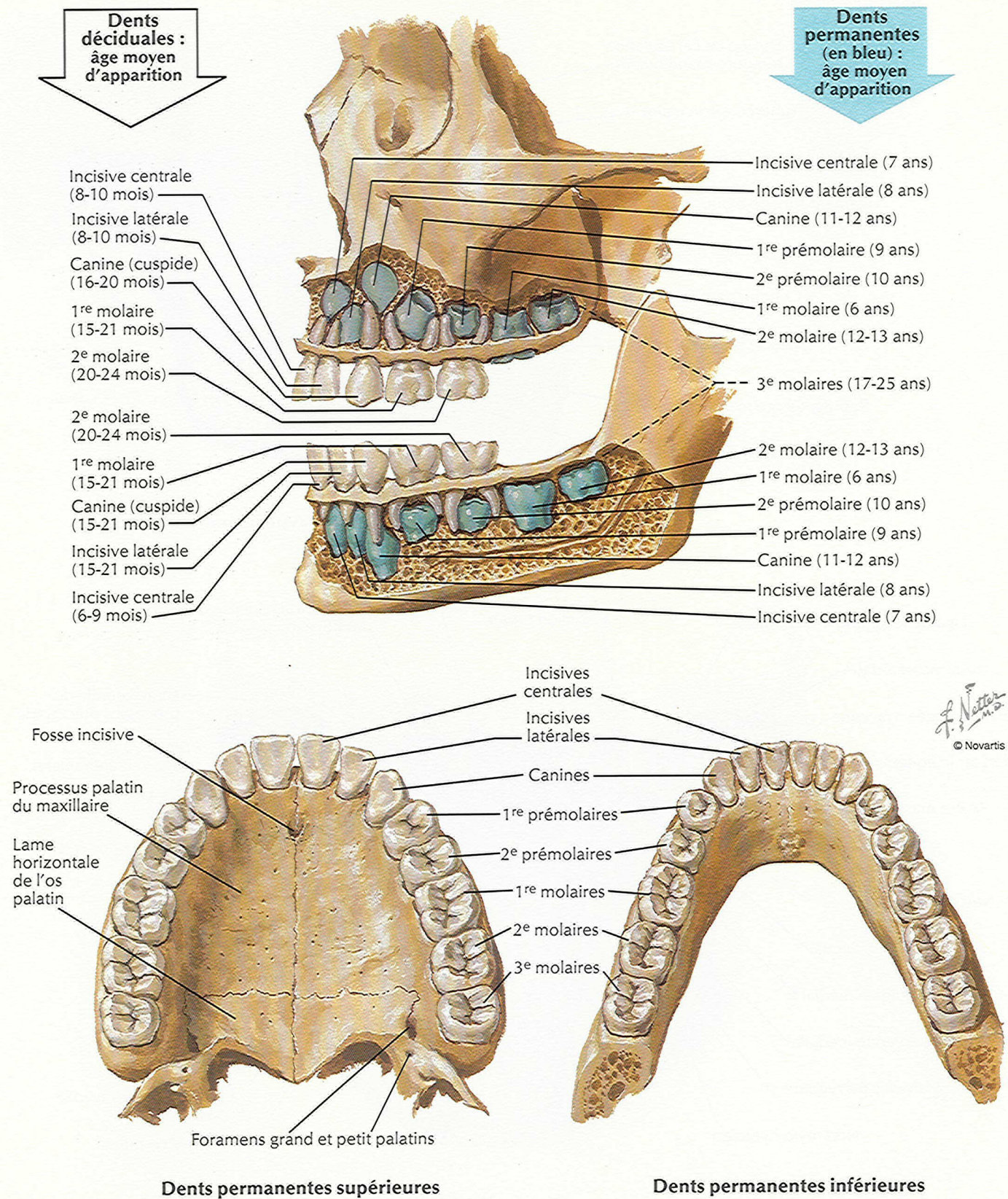


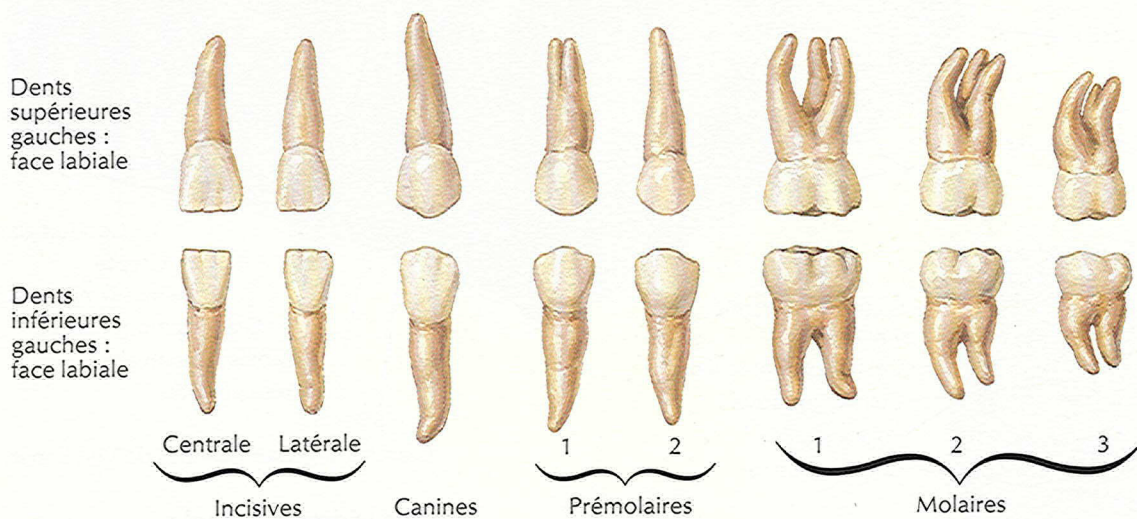
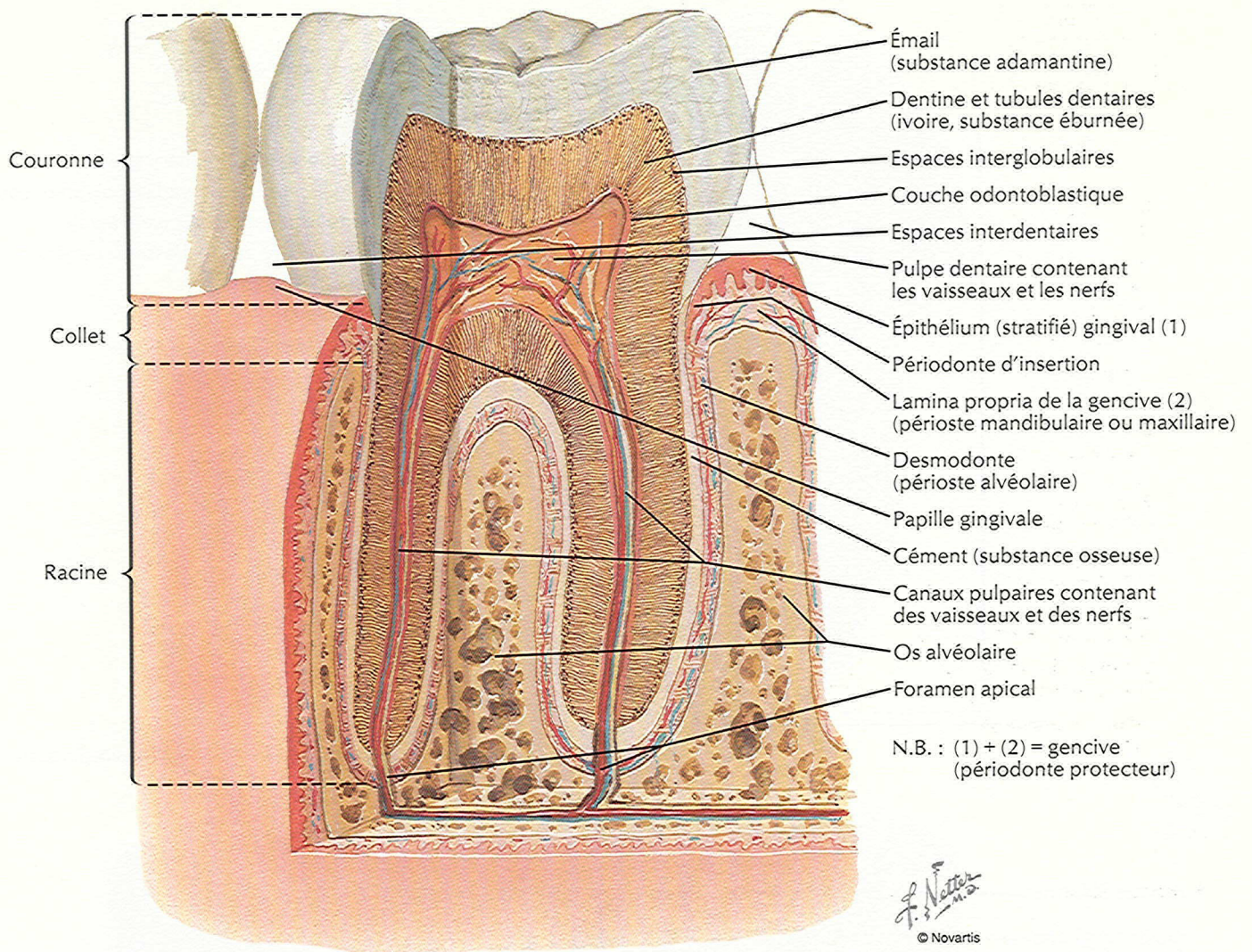
MUSCLES de la mastication

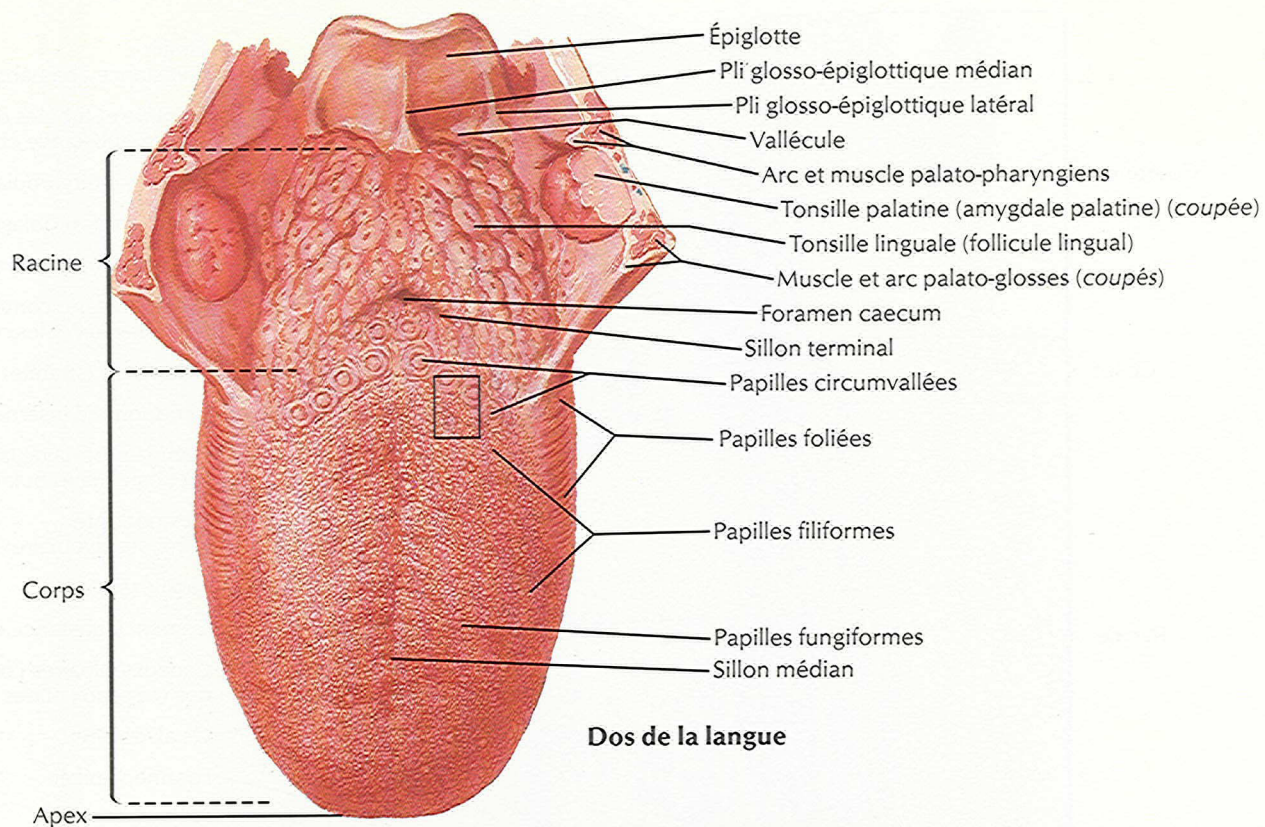
POUR LES MUSCLES DE LA FACE, VOIR AUSSI LES PLANCHES 20, 21



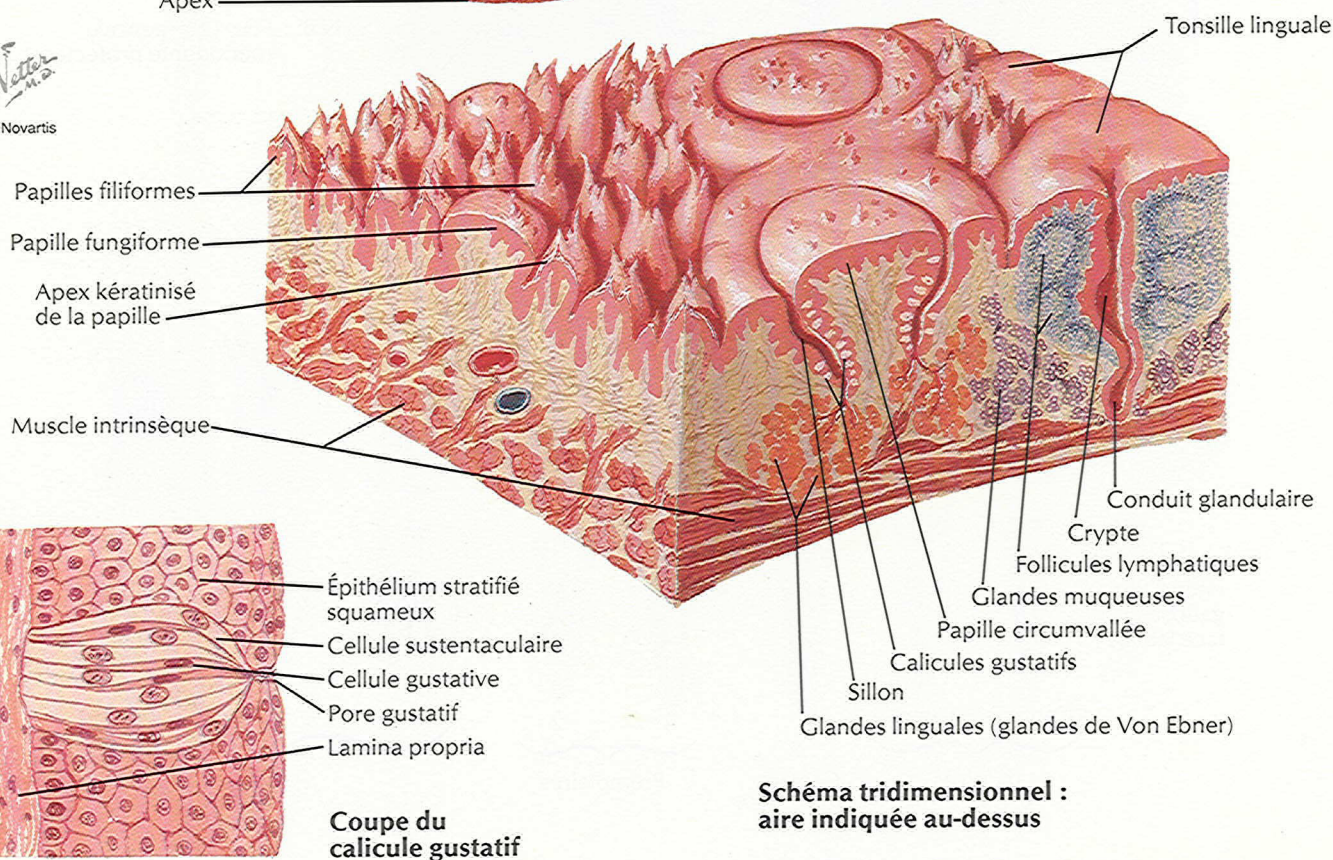


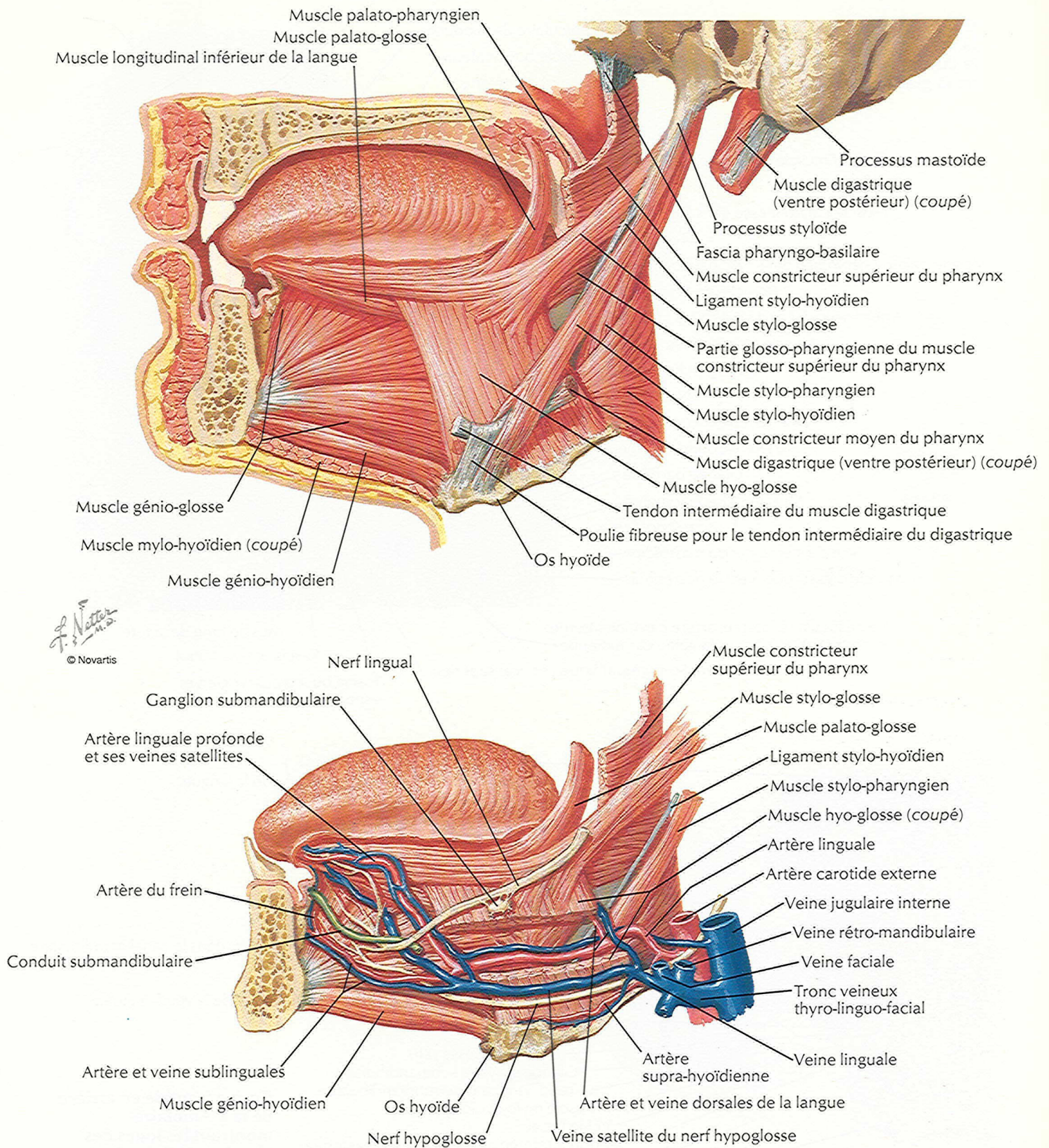






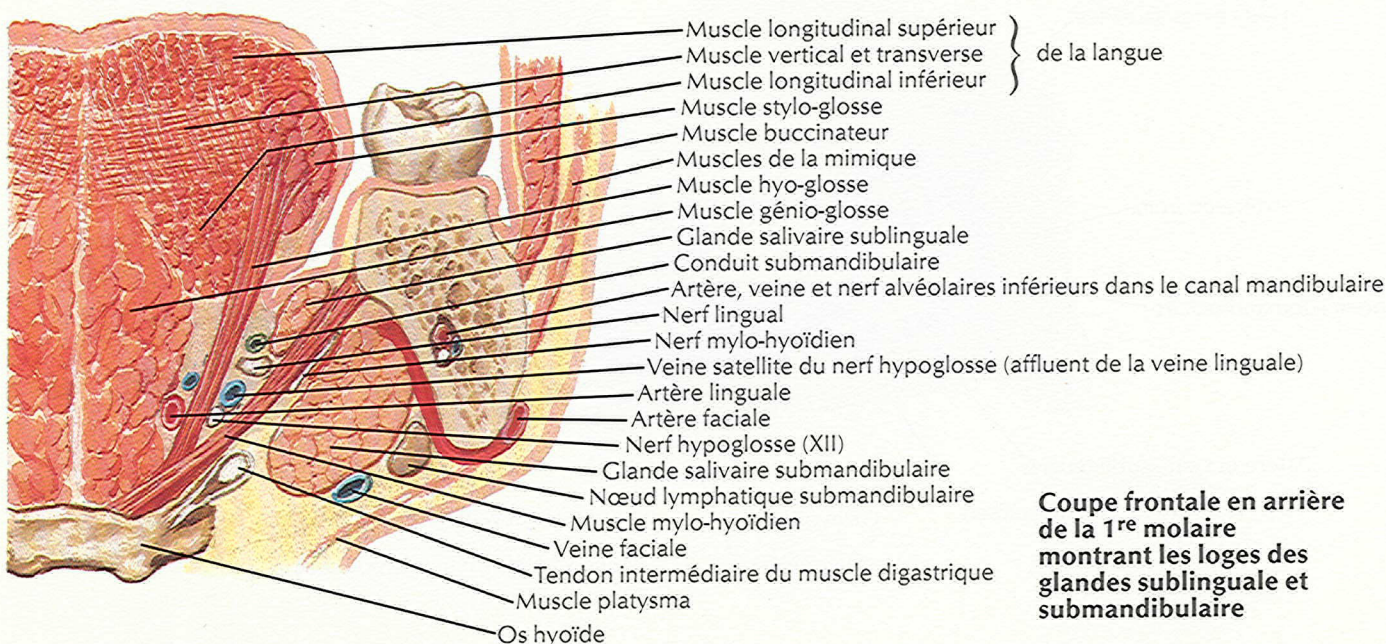
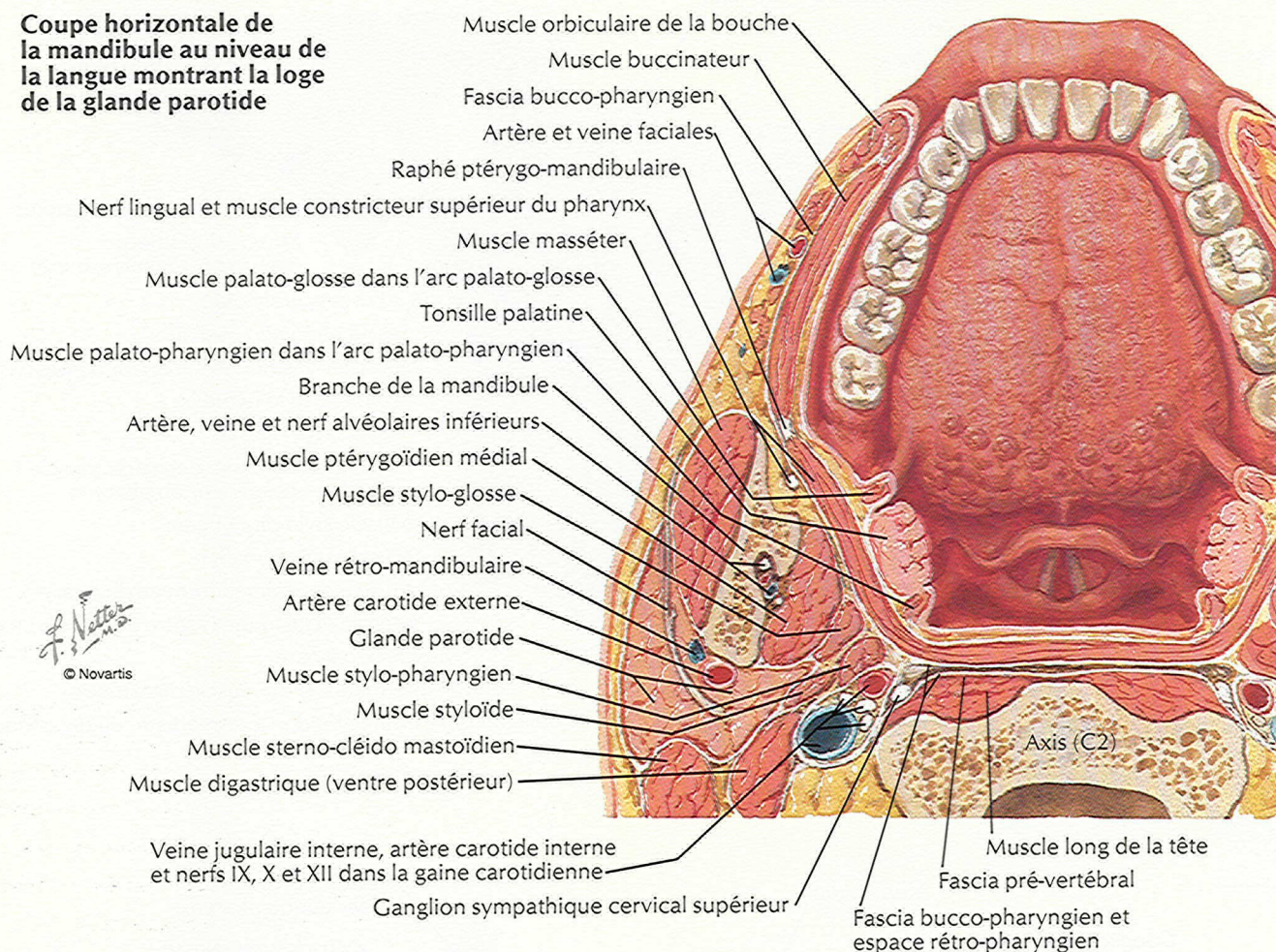
F. Netter
© Novartis



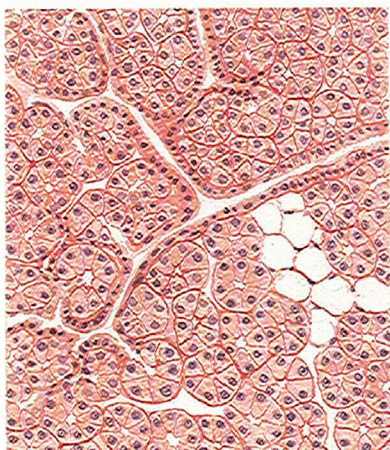
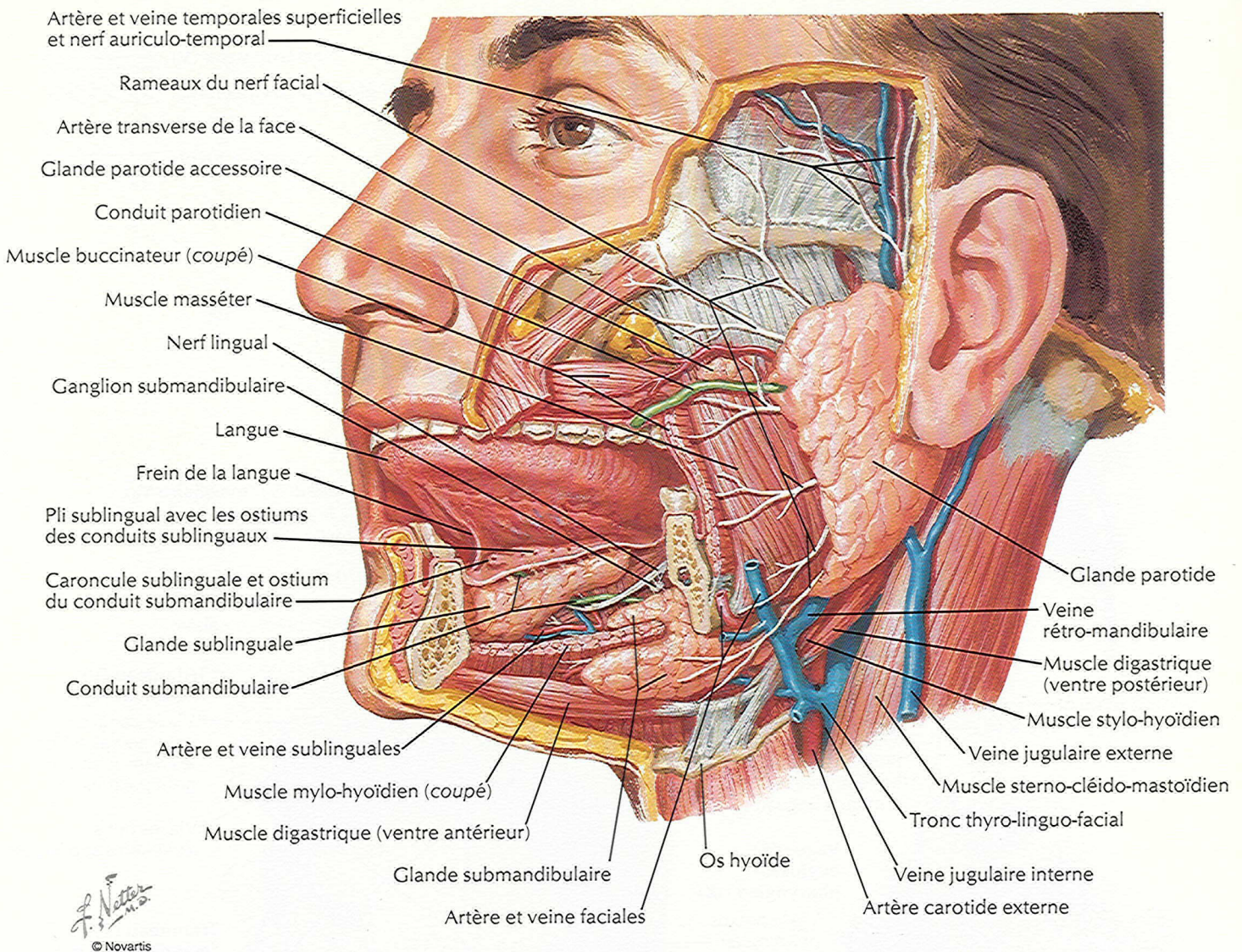


Langue et glandes salivaires : coupes

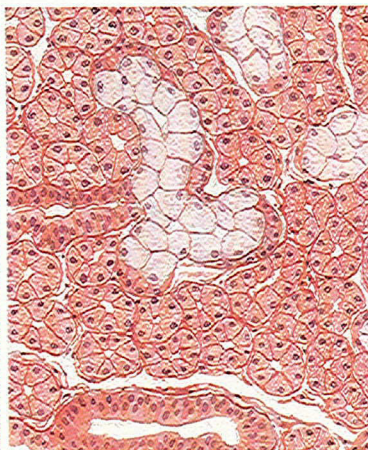
Coupe horizontale de la mandibule au niveau de la langue montrant la loge de la glande parotide



Coupe frontale en arrière de la 1^{re} molaire montrant les loges des glandes sublinguale et submandibulaire



Glande parotide
(séreuse en totalité)



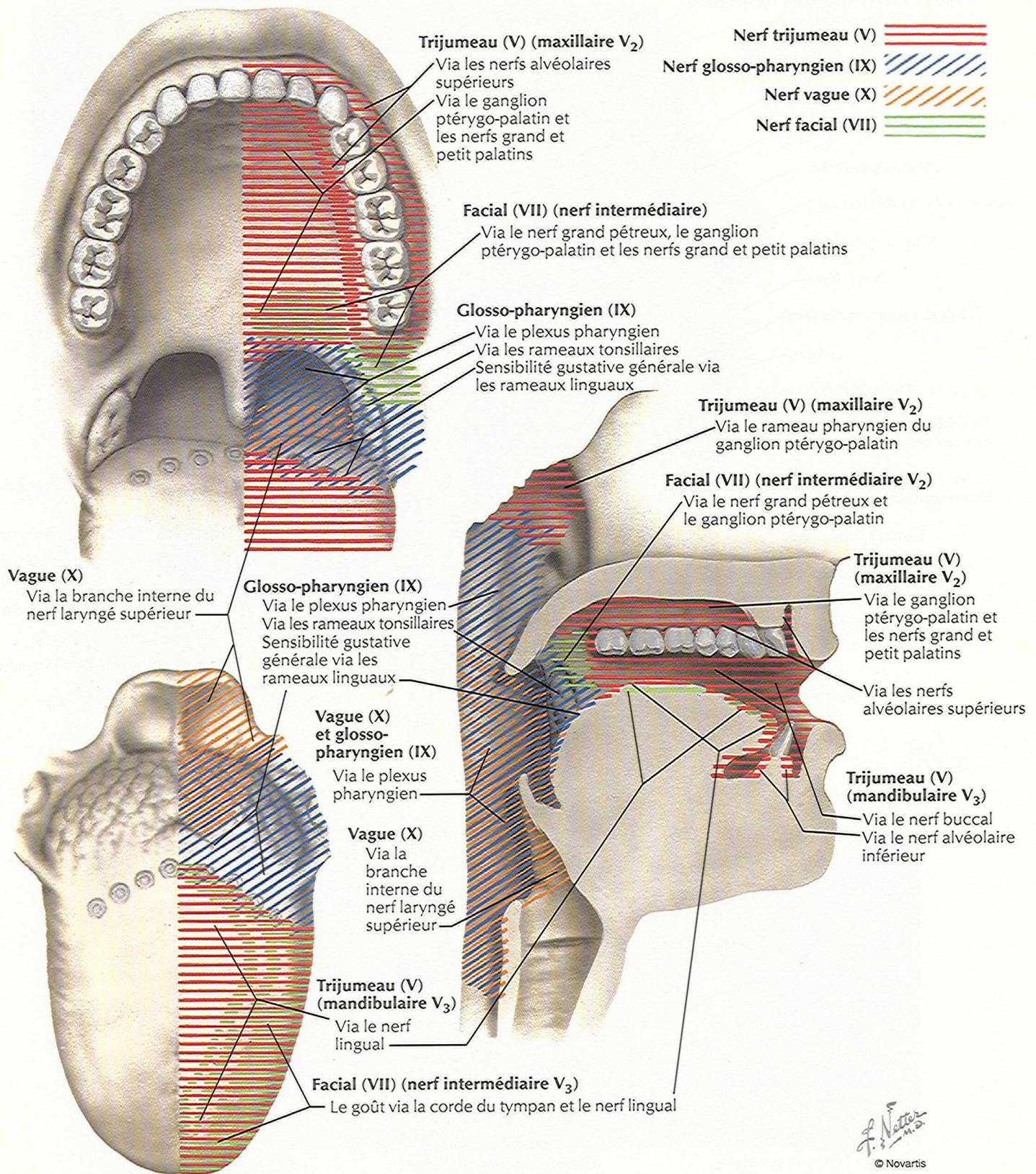
Glande submandibulaire
(en majorité séreuse,
partiellement muqueuse)



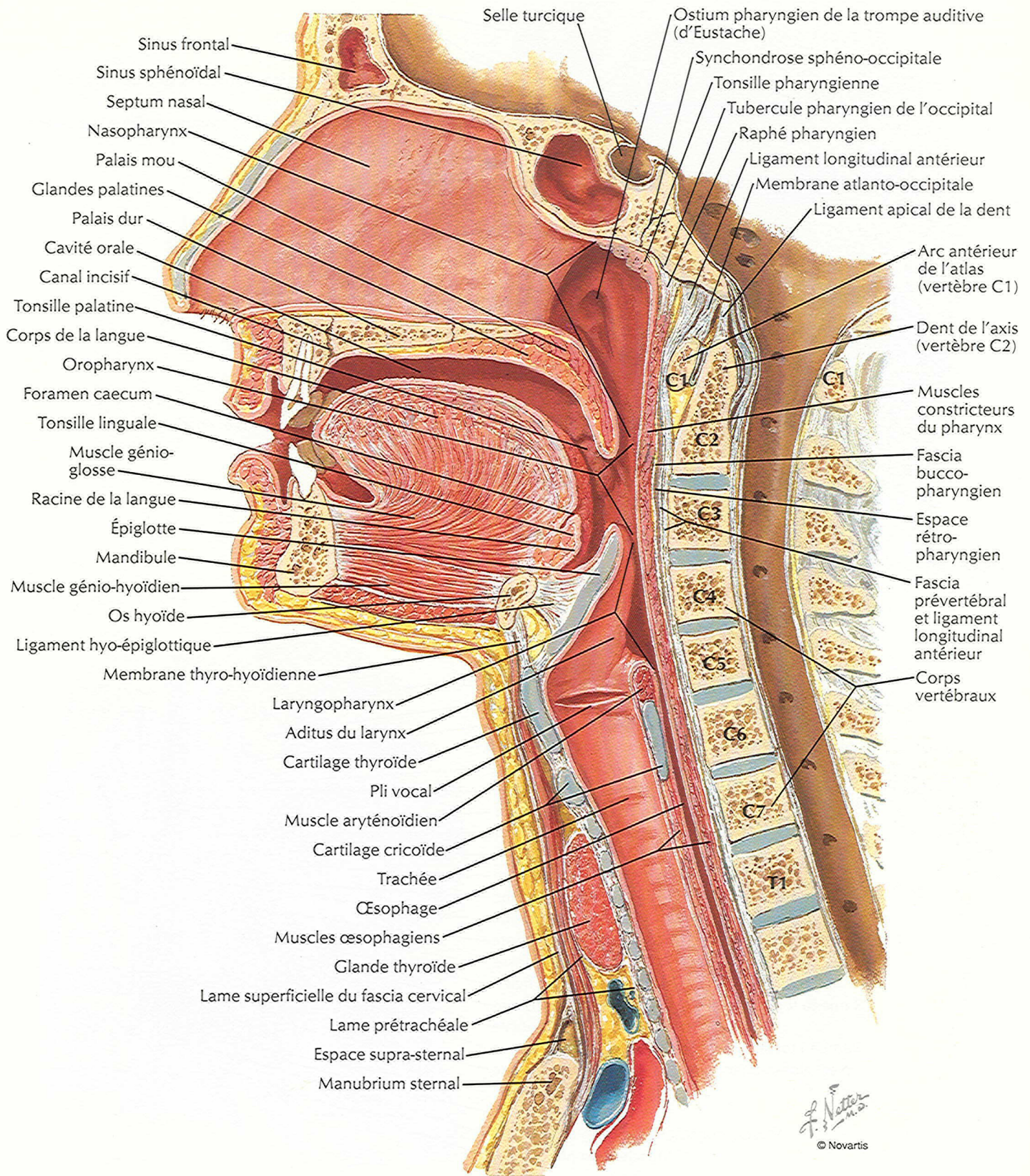
Glande sublinguale
(presque entièrement muqueuse)

Innervation afférente de la bouche et du pharynx

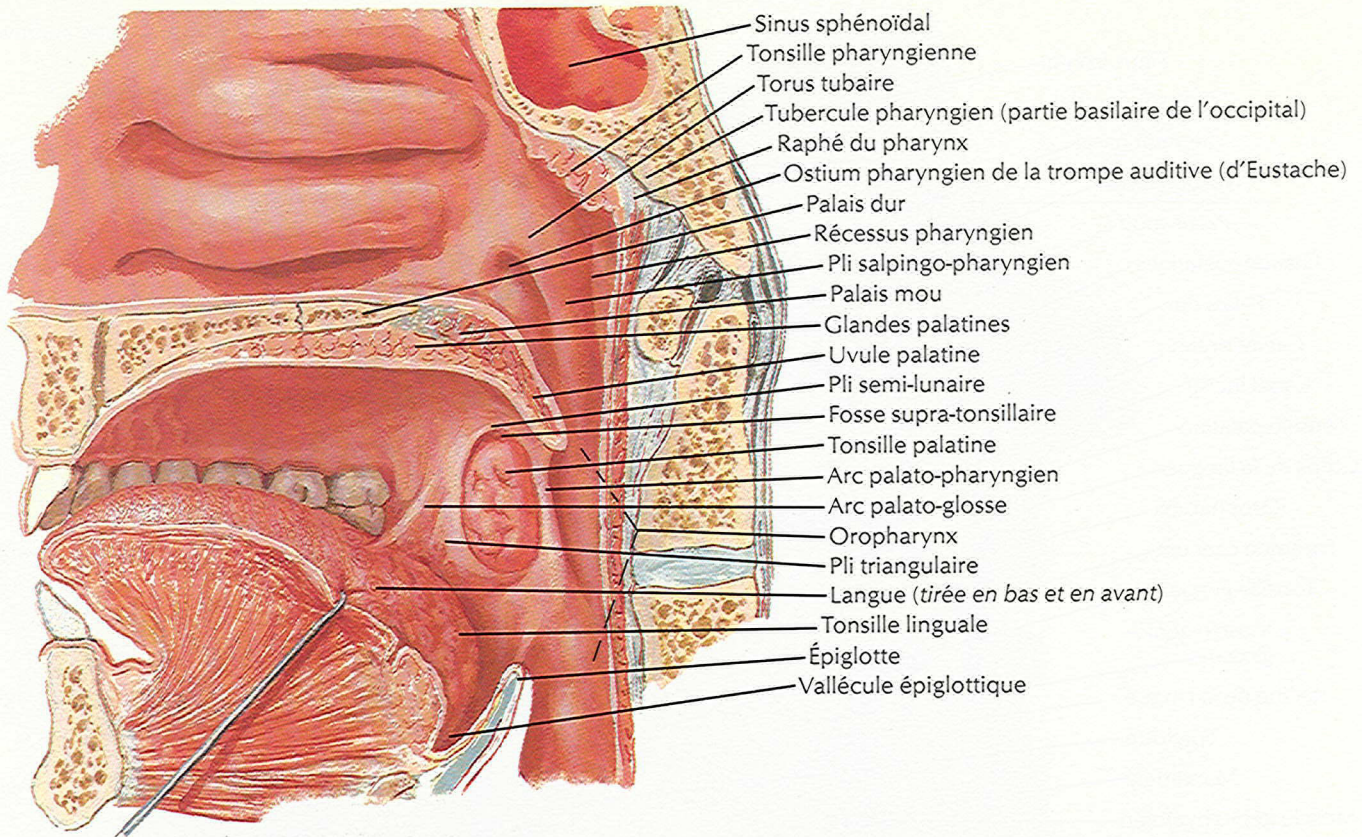
VOIR AUSSI LES PLANCHES 41, 46, 53, 58, 116, 117, 119, 127, 129



Pharynx : coupe médiane

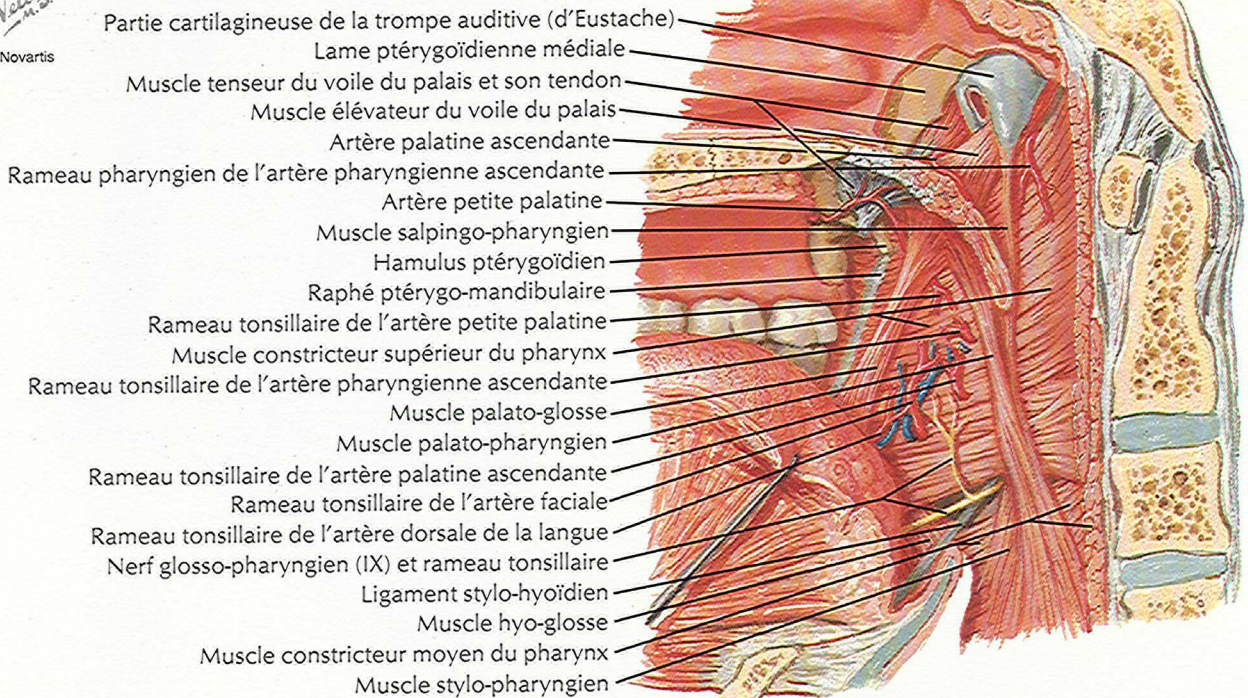


Vue médiale Coupe médiane (sagittale)

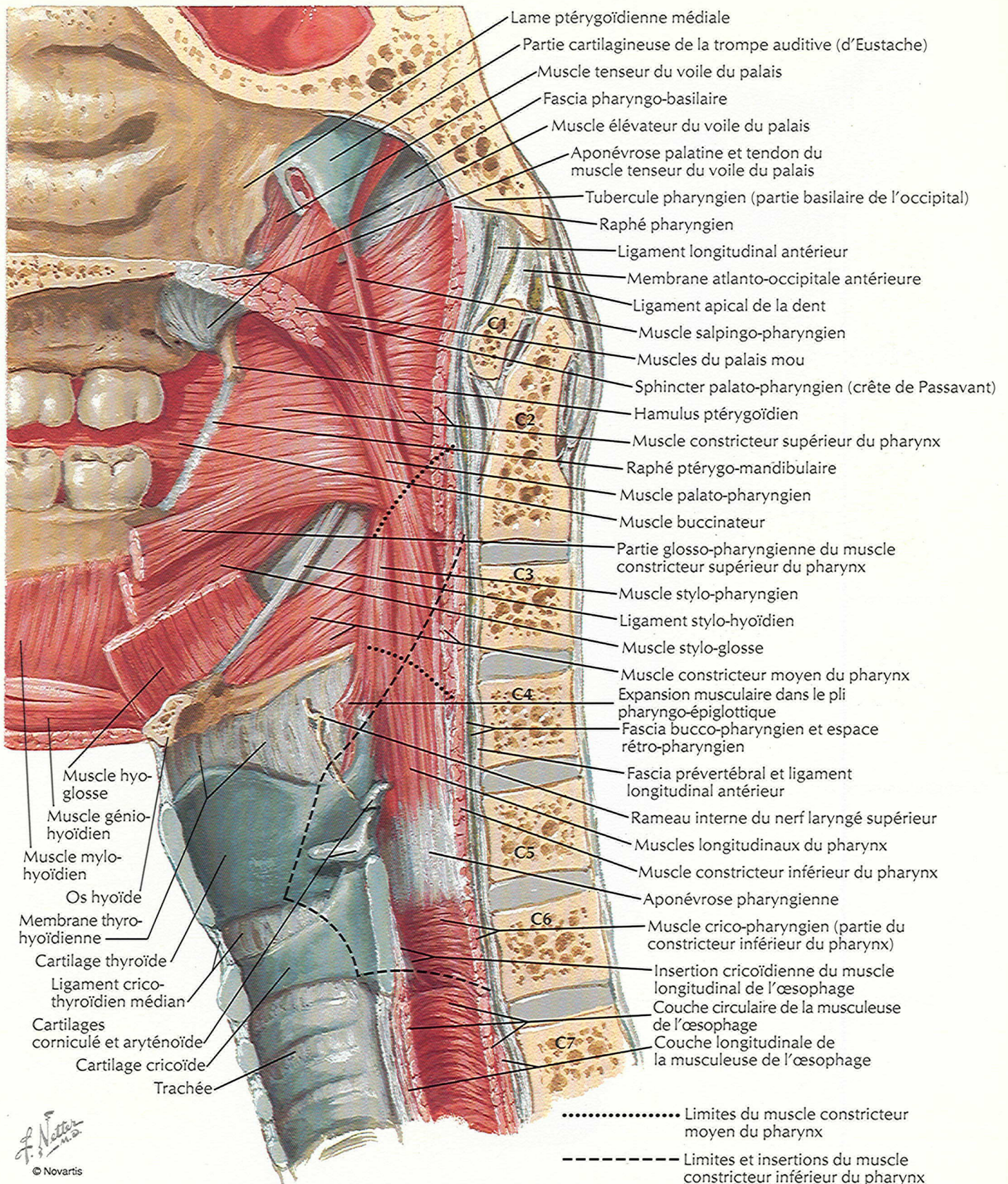


Après ablation de la muqueuse pharyngienne

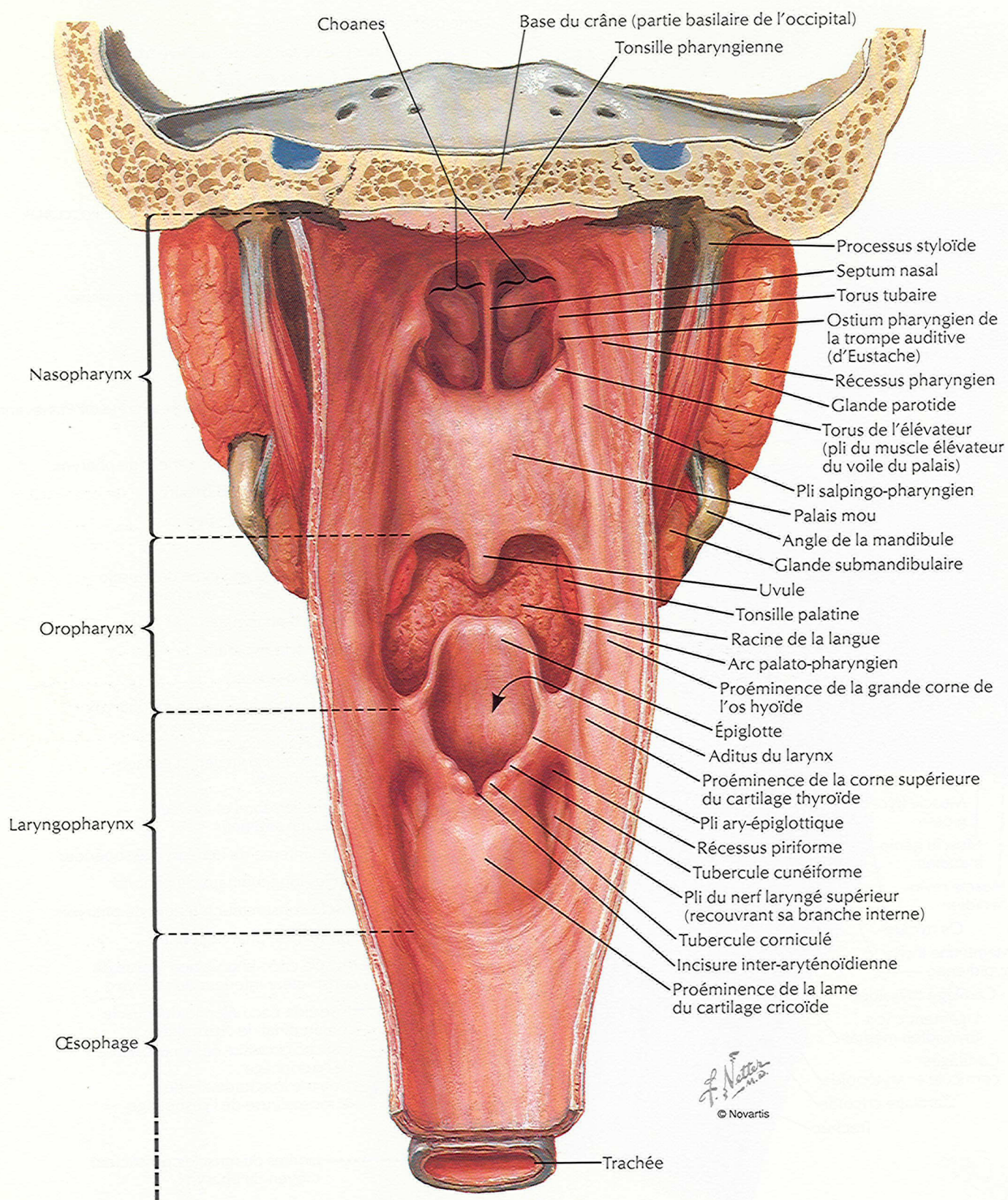
F. Netter
M.D.
© Novartis



Muscles du pharynx : coupe médiane (sagittale)

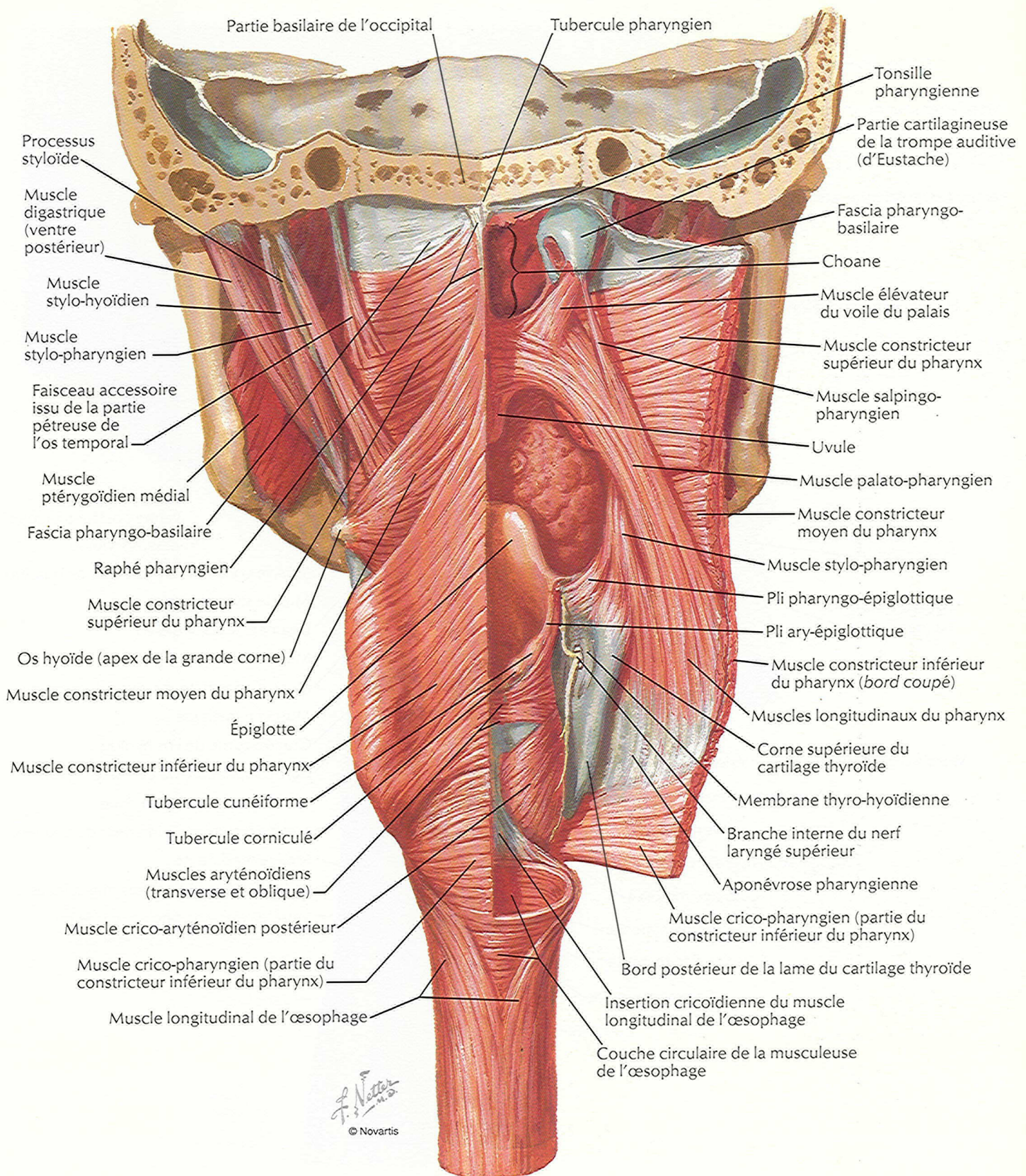


Pharynx ouvert : vue postérieure

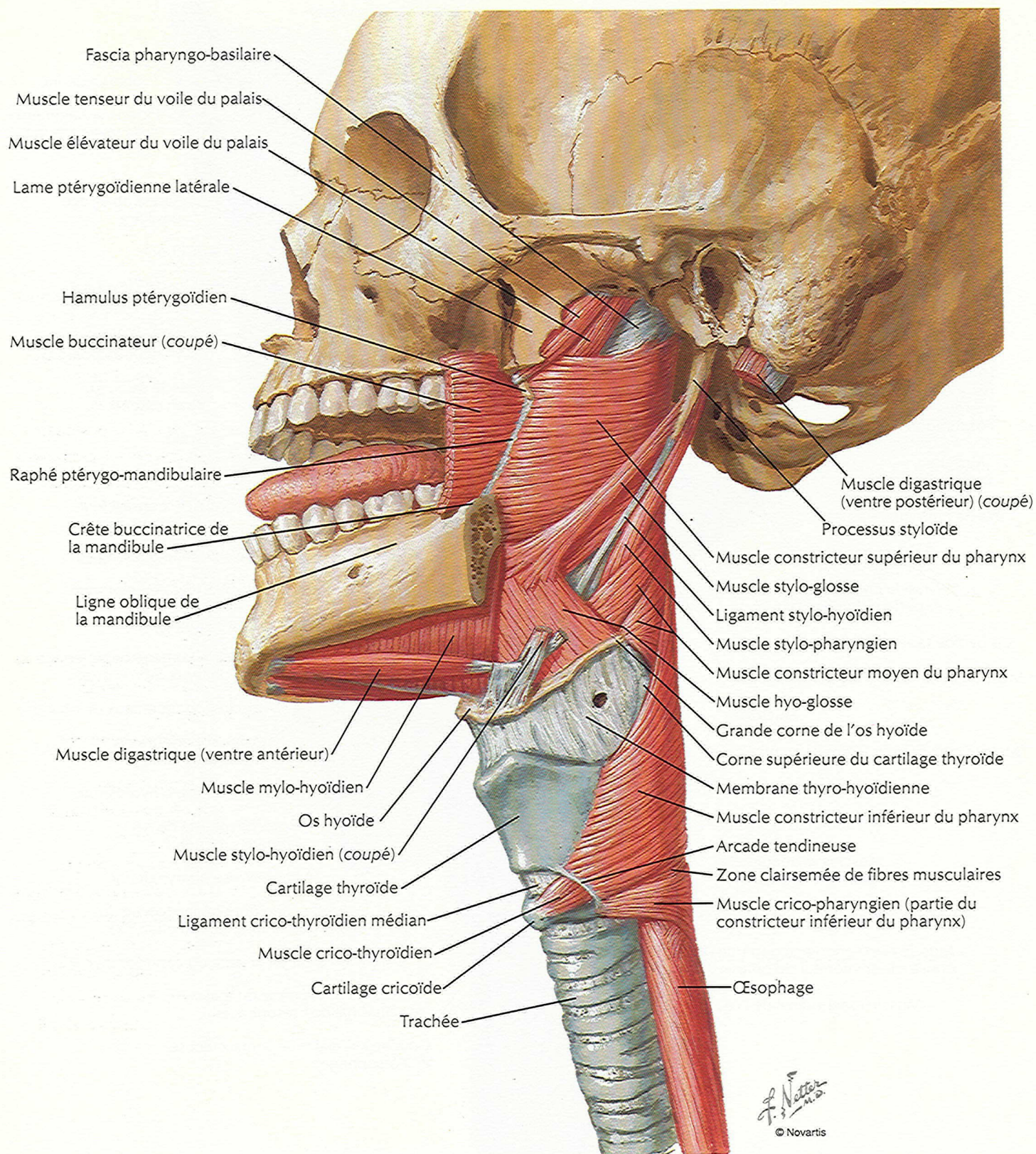


Muscles du pharynx ouvert partiellement : vue postérieure

VOIR AUSSI LA PLANCHE 223

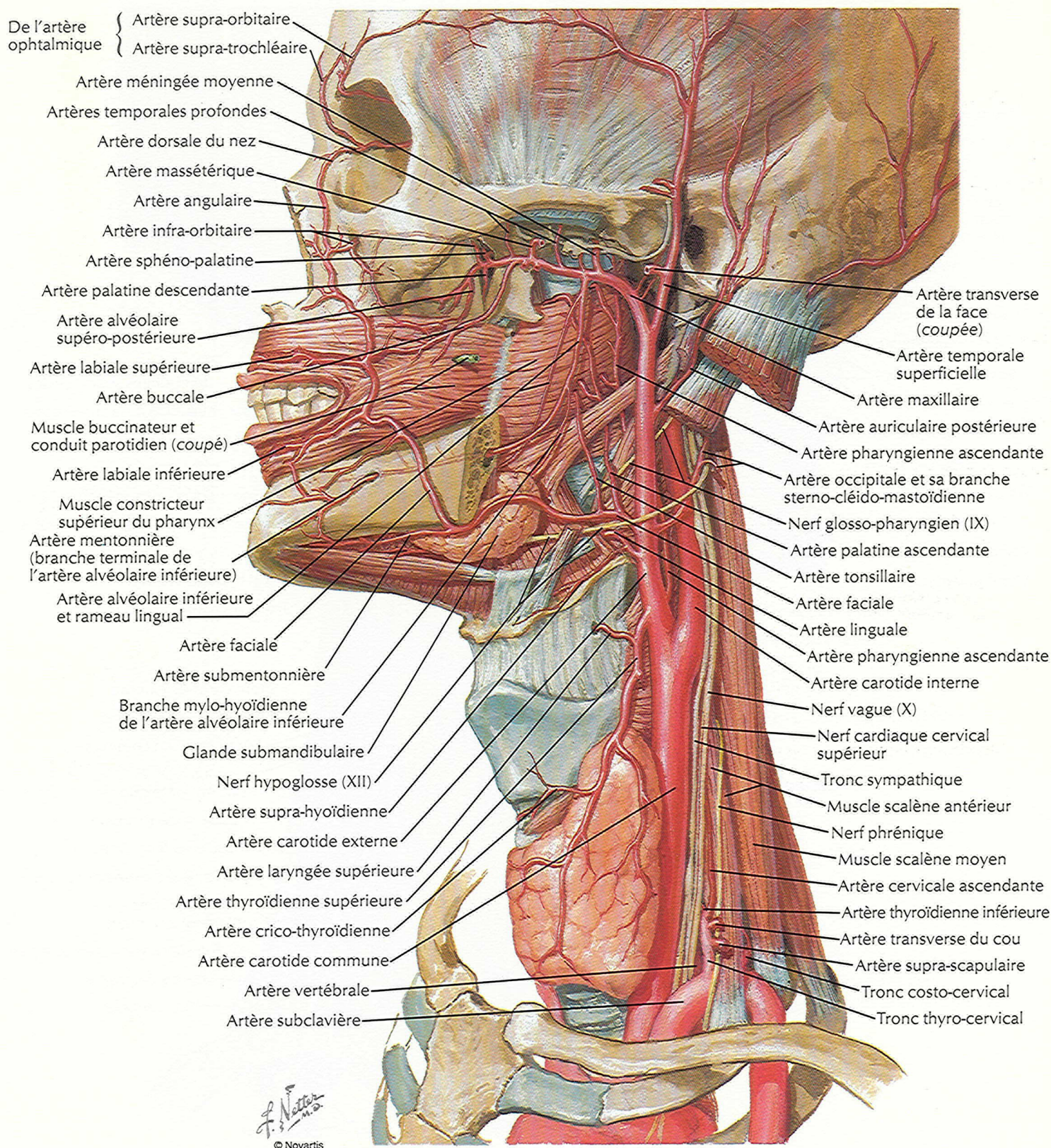


Muscles du pharynx : vue latérale



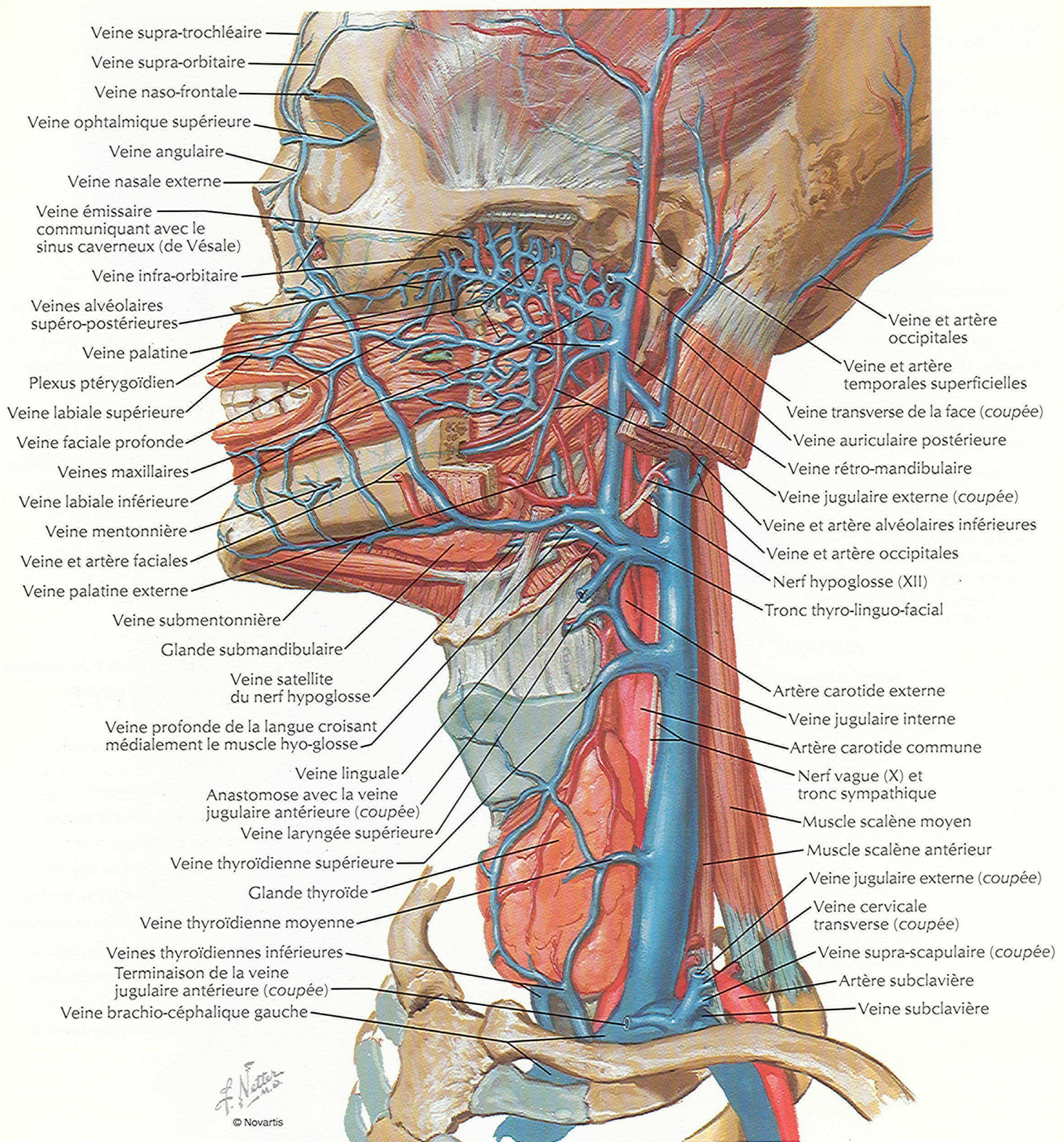
Artères des régions orale et pharyngienne

VOIR AUSSI LES PLANCHES 29, 35



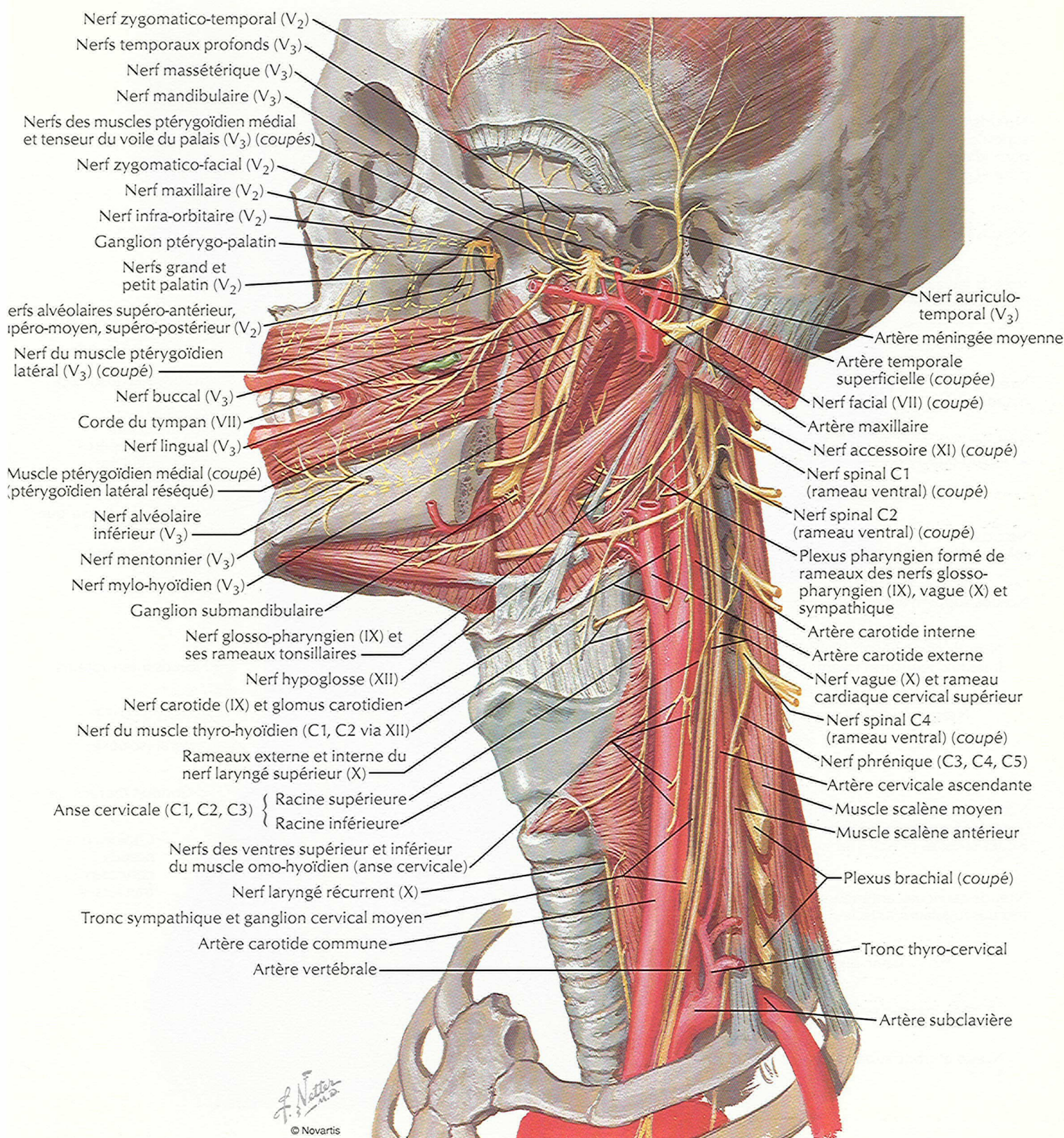
Veines des régions orale et pharyngienne

VOIR AUSSI LES PLANCHES 17, 26, 98



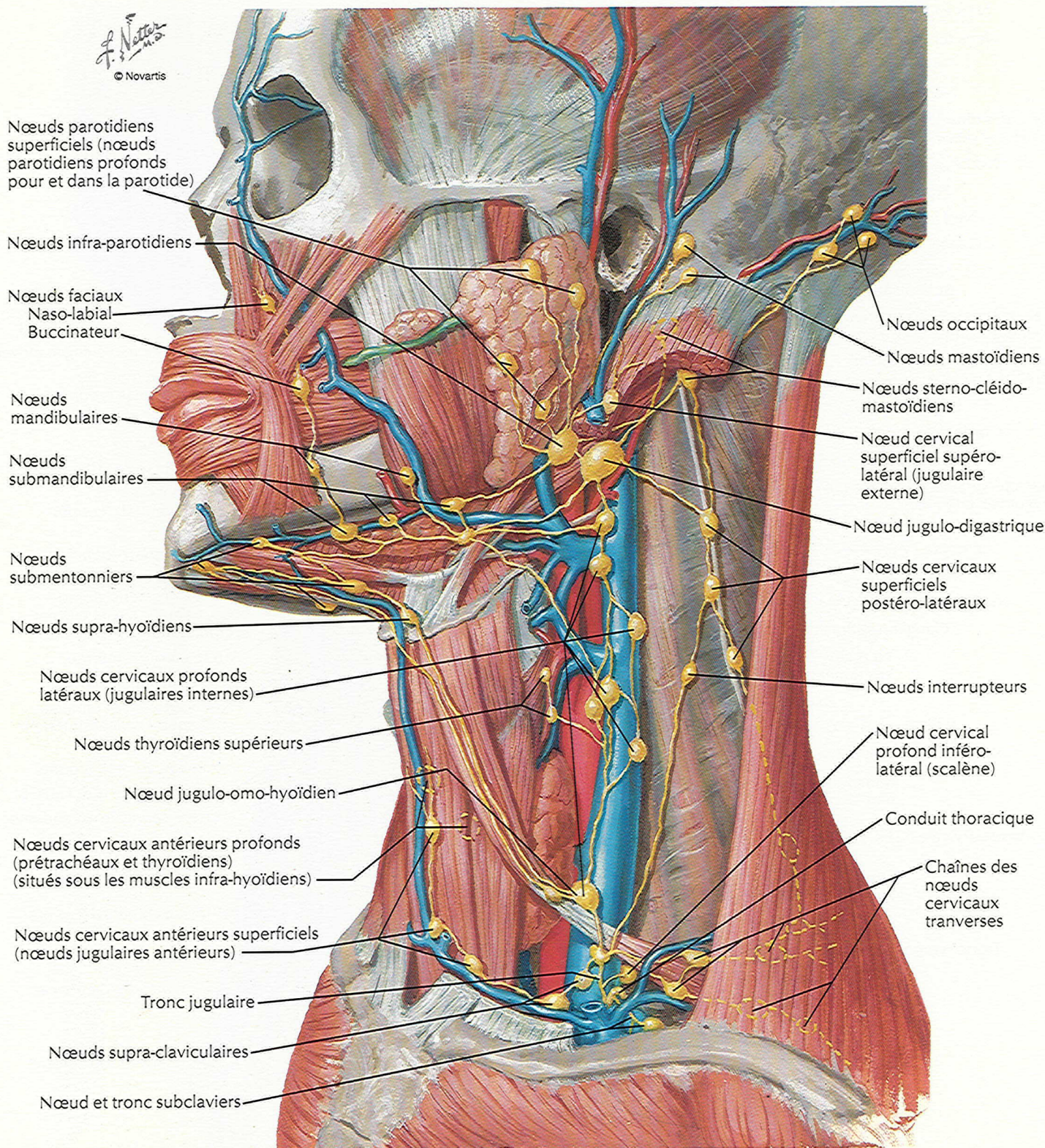
Nerfs des régions orale et pharyngienne

VOIR AUSSI LES PLANCHES 19, 40, 41, 116, 119, 120

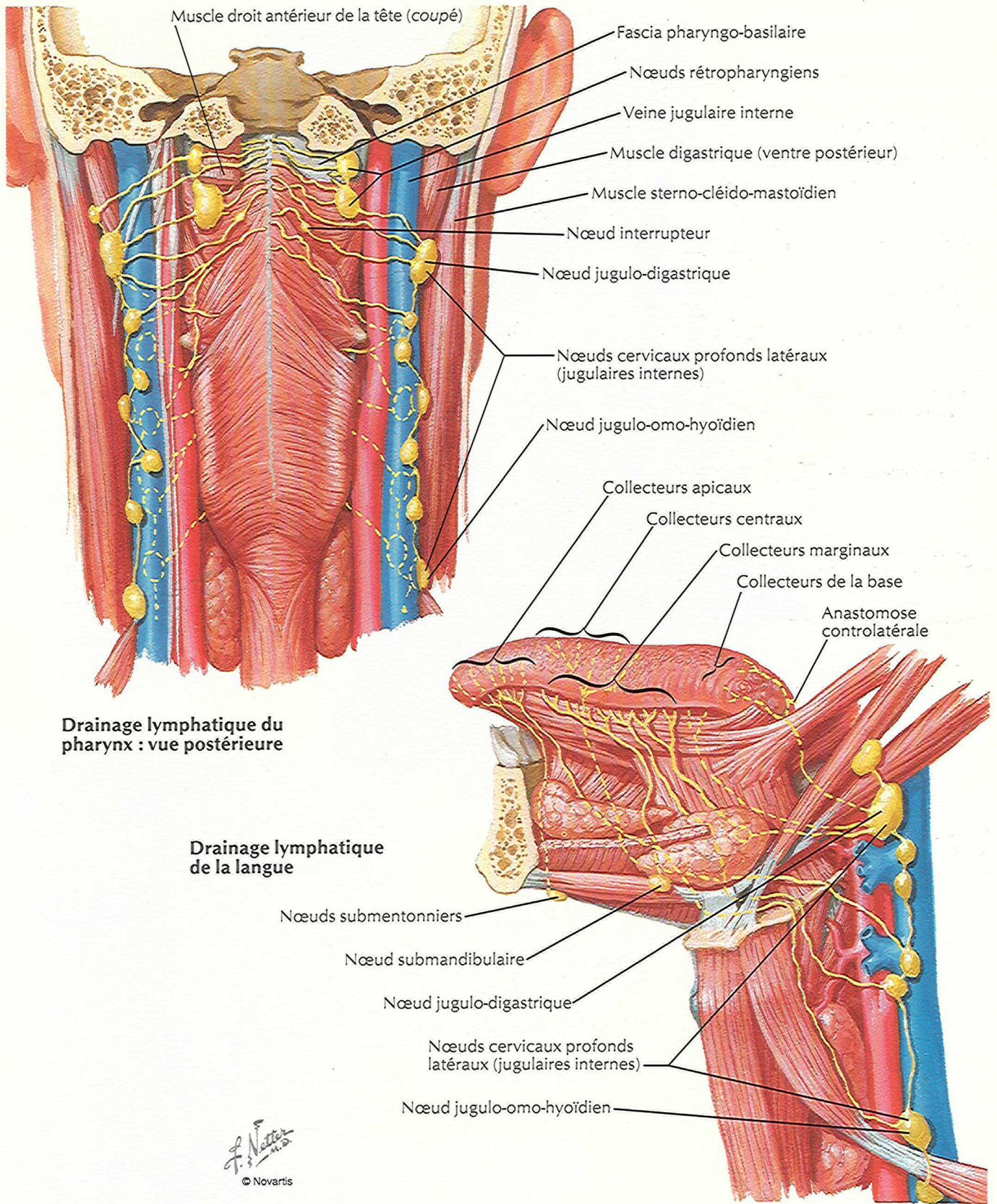


Vaisseaux et nœuds lymphatiques de la tête et du cou

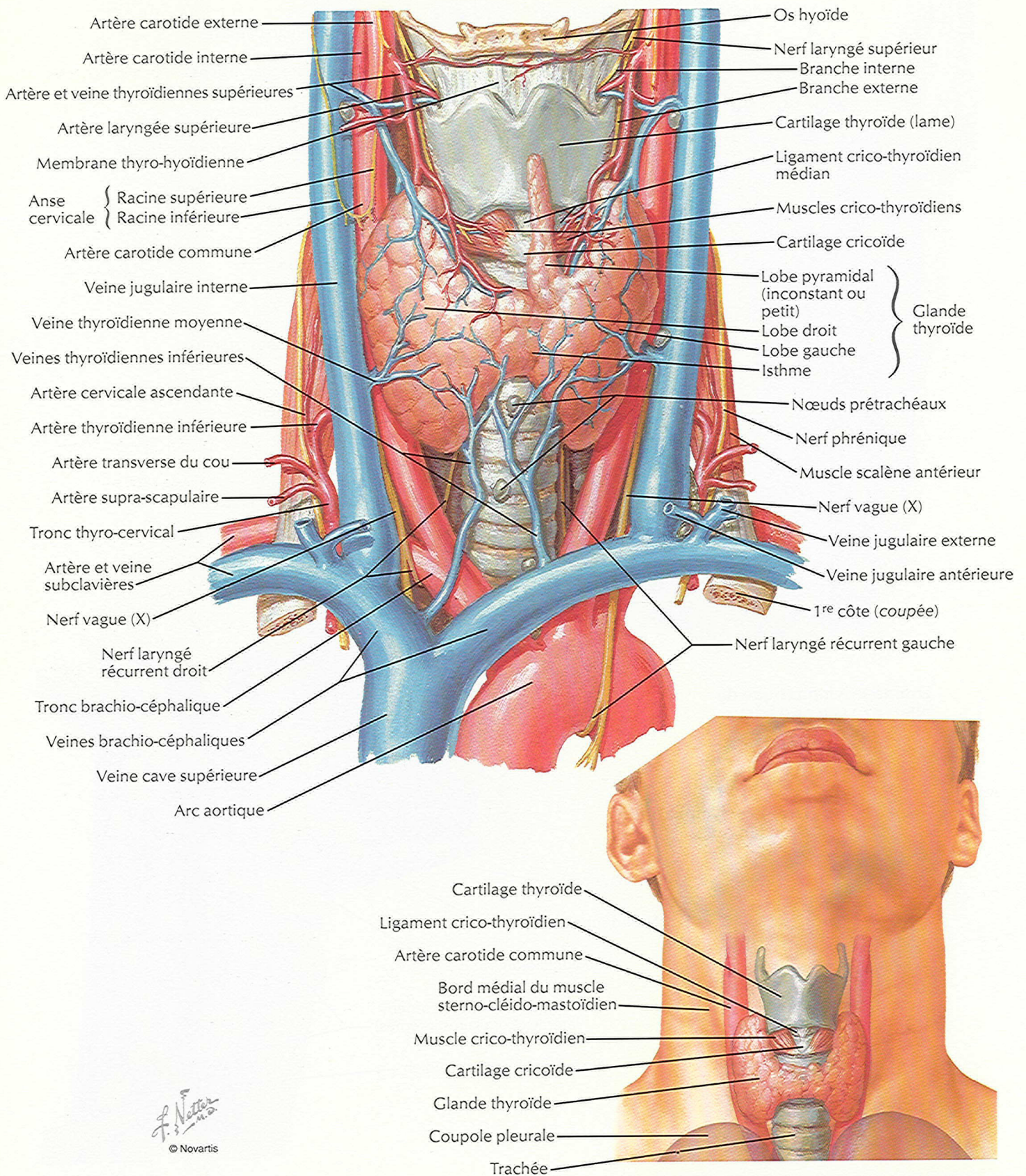
VOIR AUSSI LA PLANCHE 197



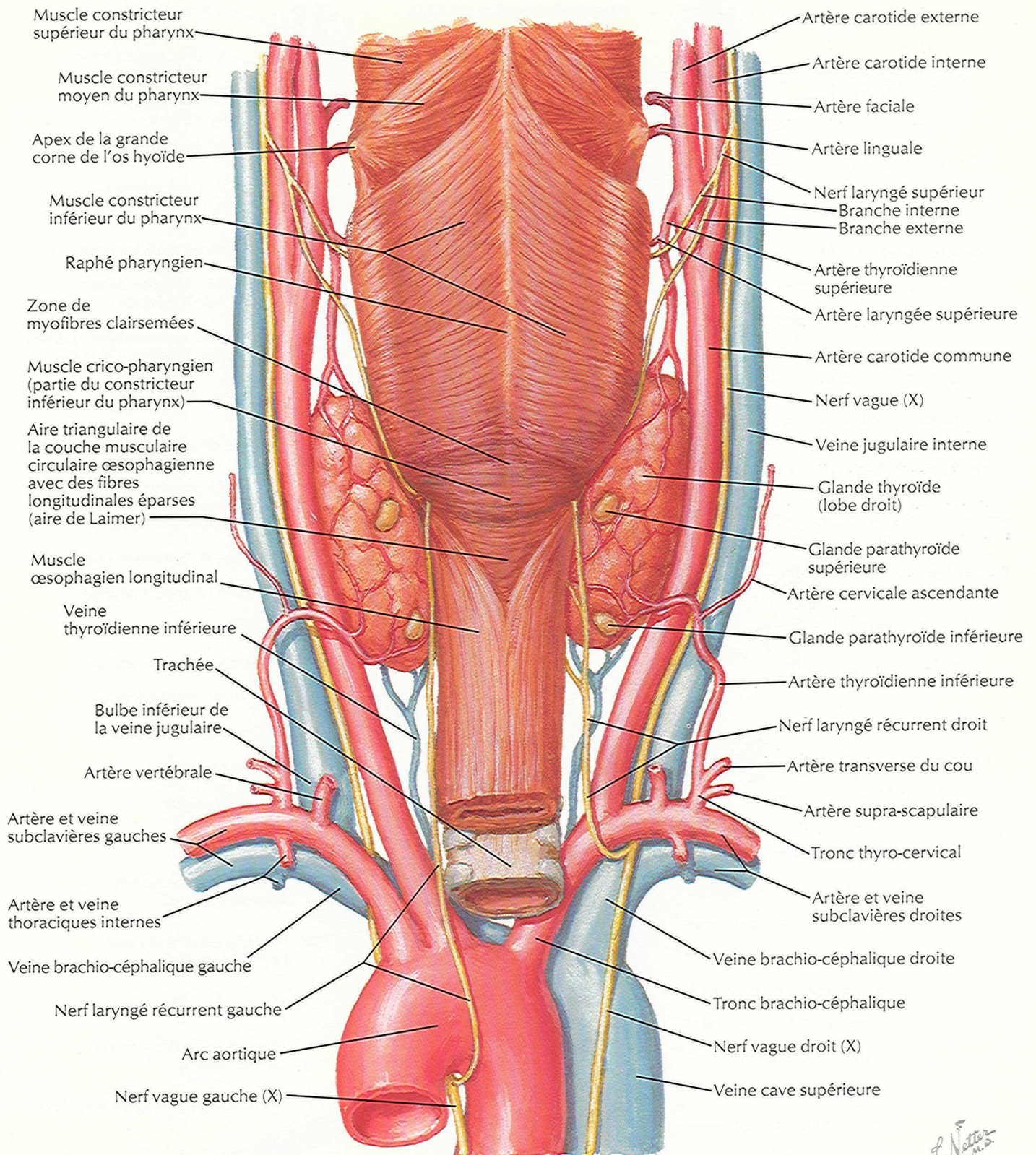
Vaisseaux et nœuds lymphatiques du pharynx et de la langue



Glande thyroïde : vue antérieure



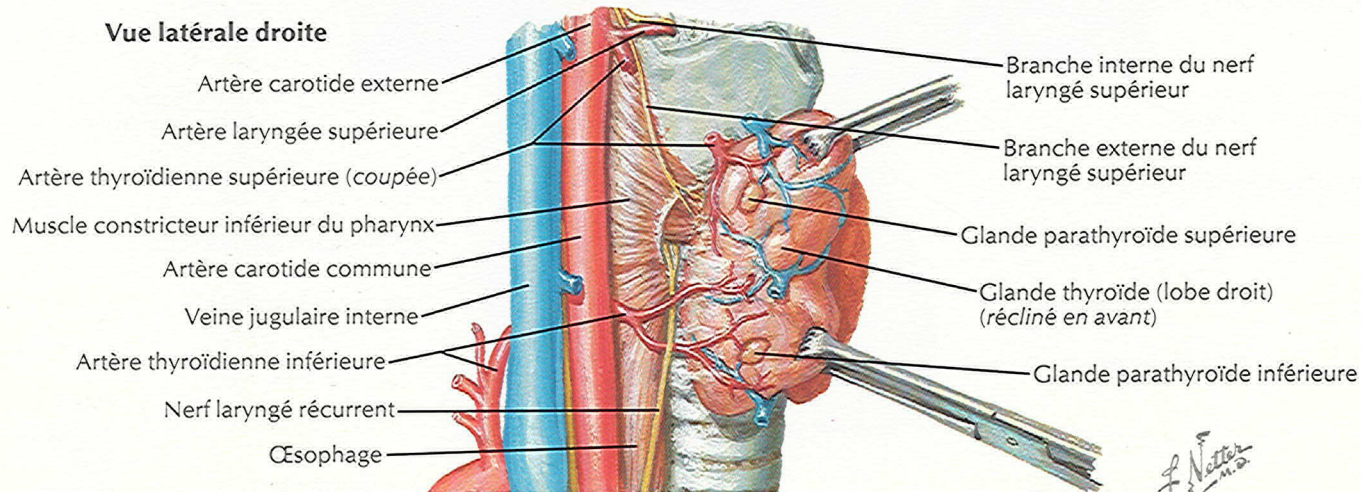
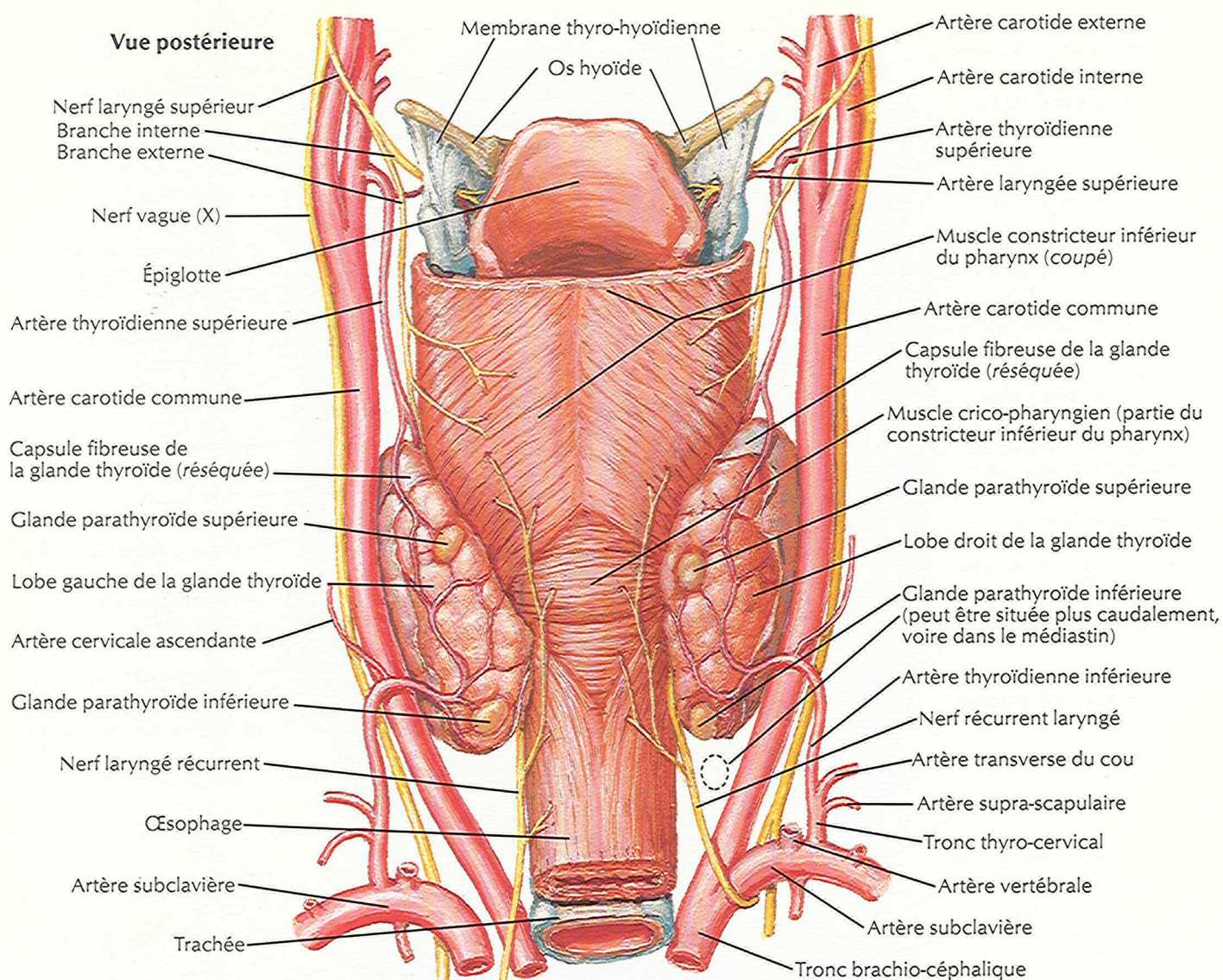
Glande thyroïde et pharynx : vue postérieure



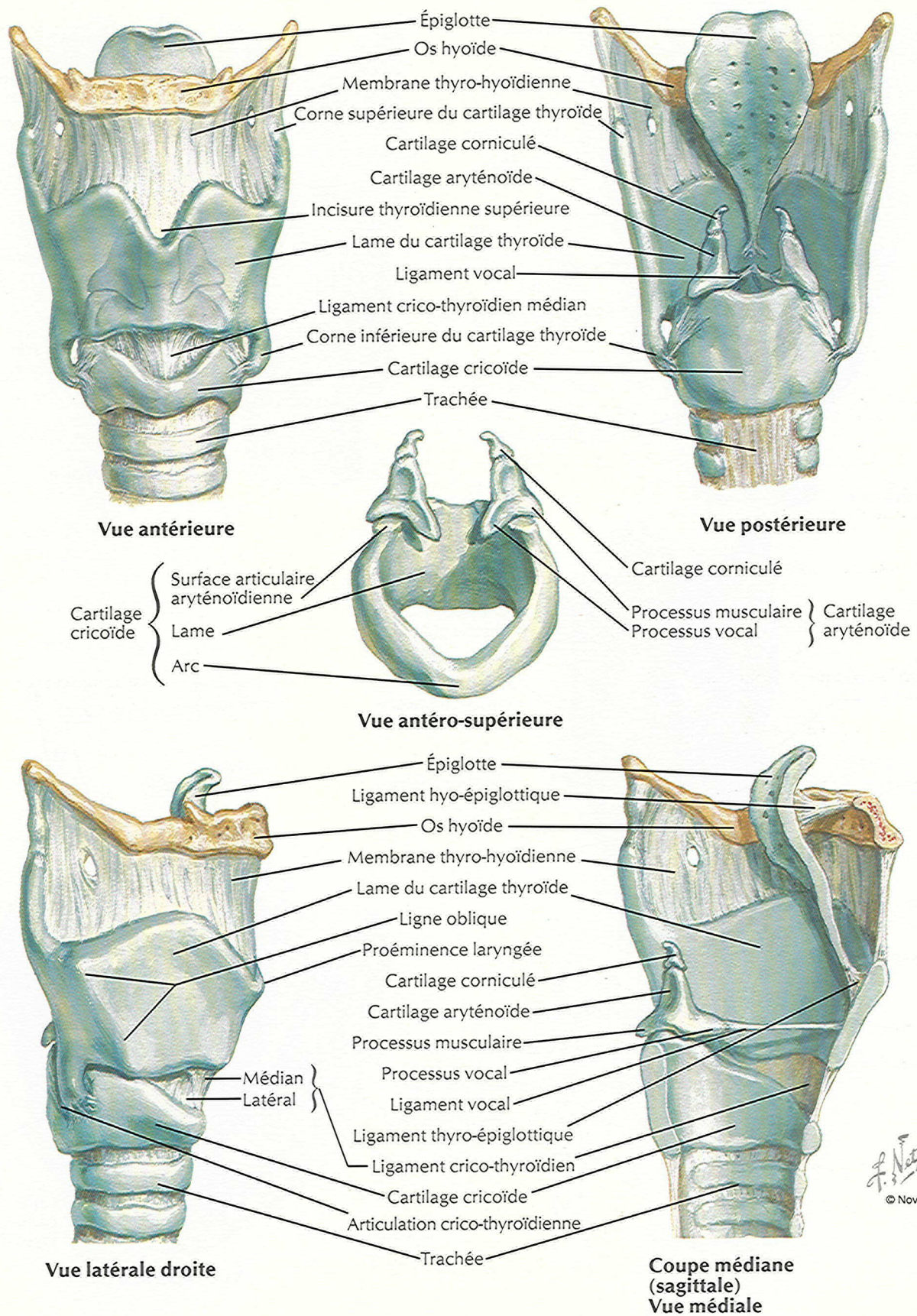
F. Netter M.D.
© Novartis

Glandes parathyroïdes

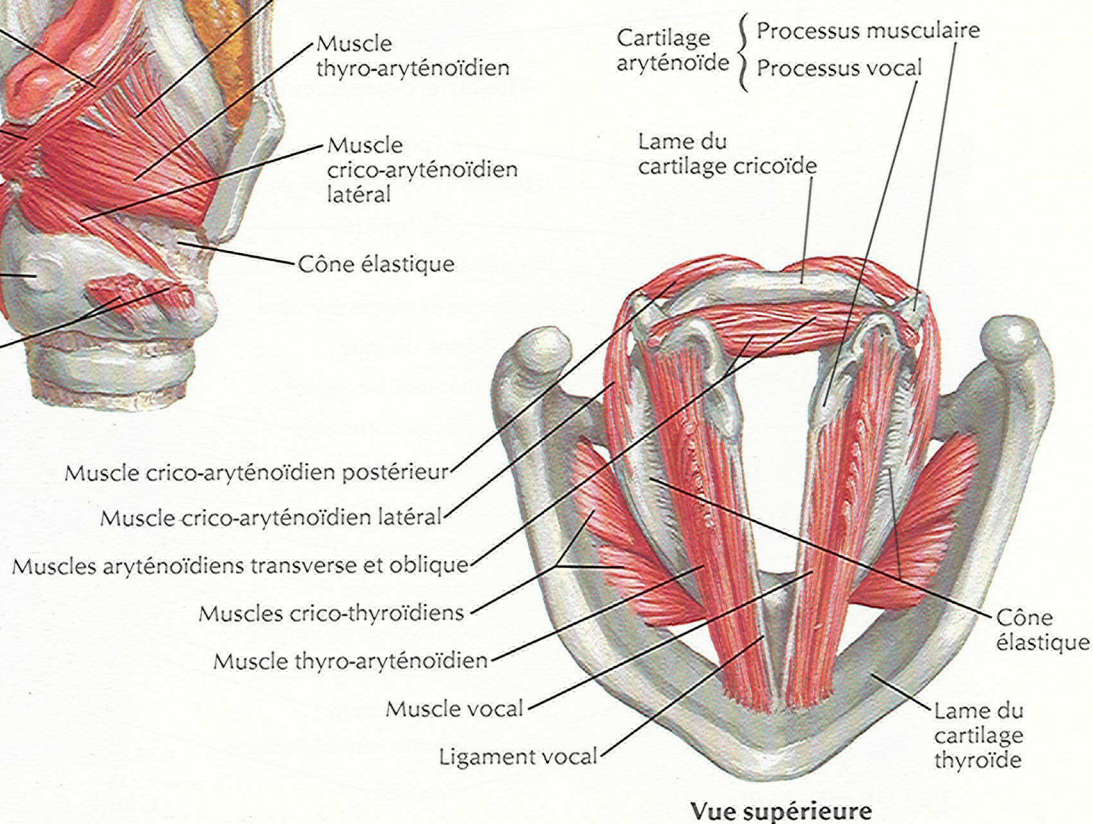
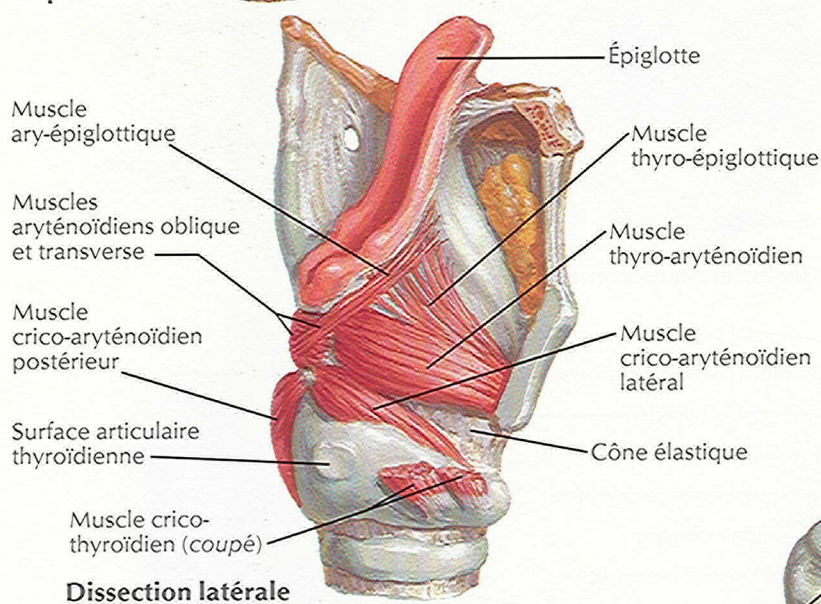
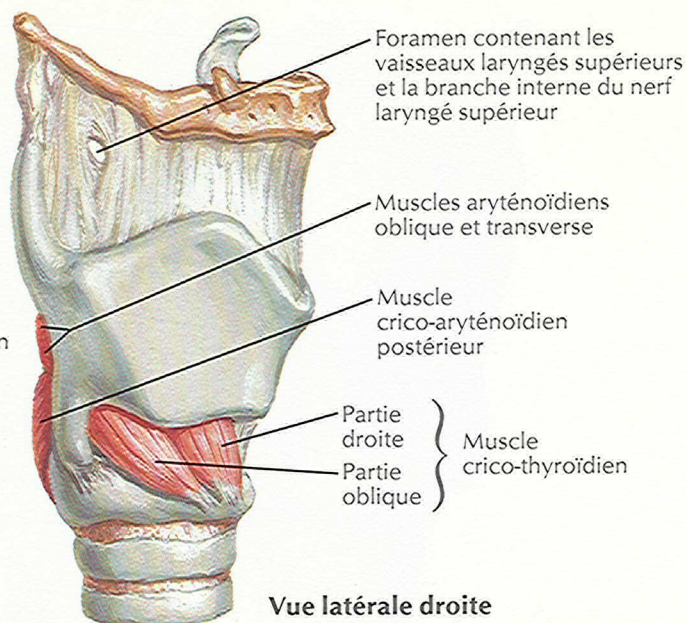
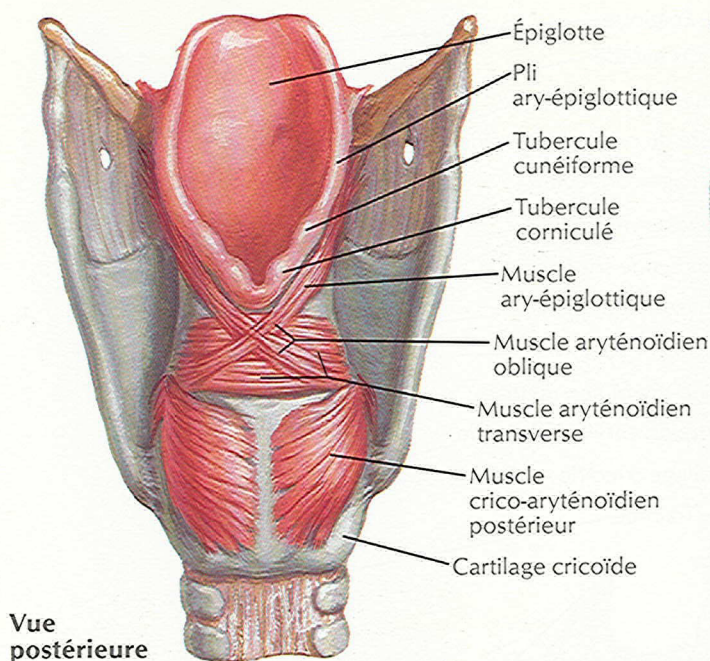
VOIR AUSSI LA PLANCHE 74



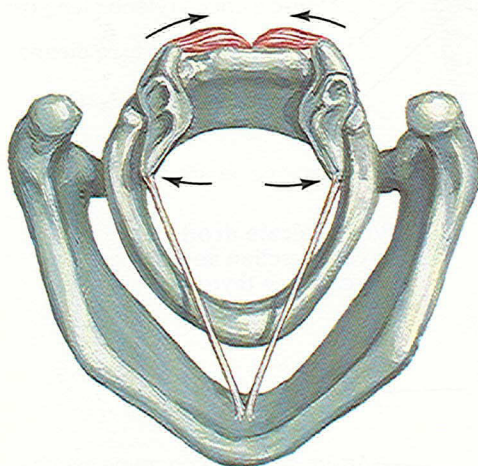
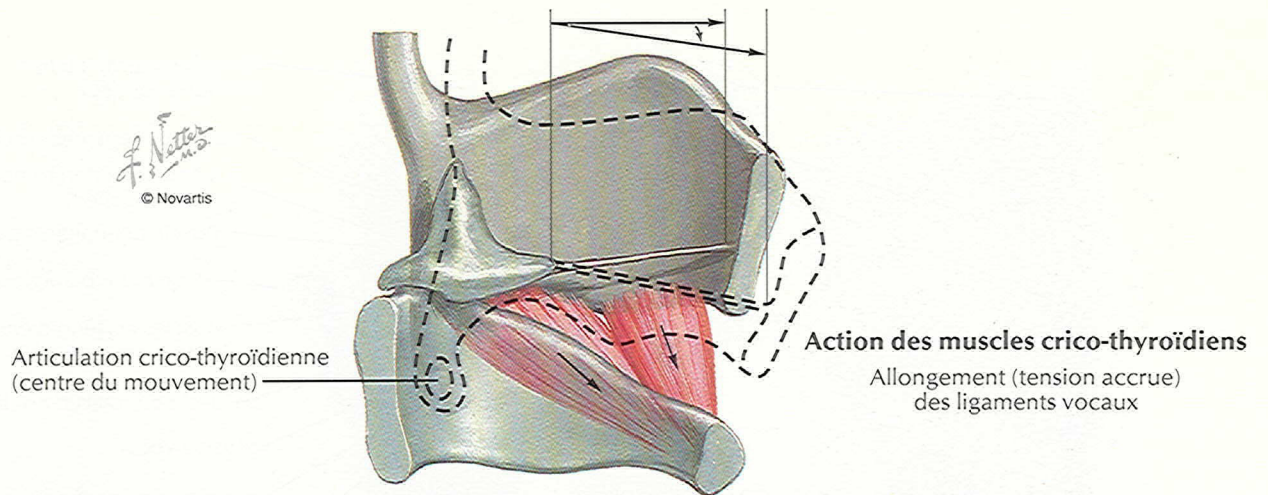
F. Netter
M.D.
© Novartis



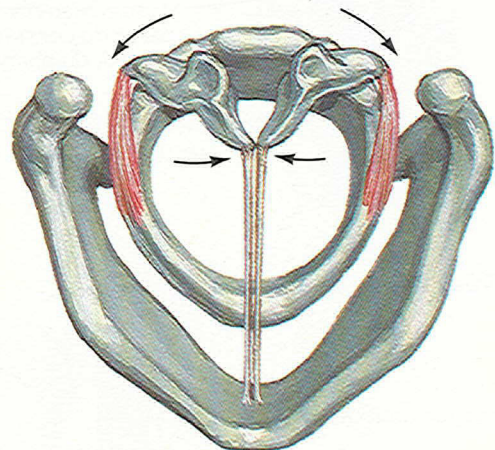
Muscles intrinsèques du larynx



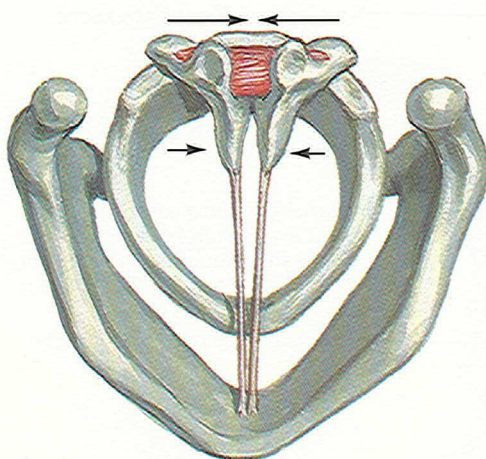
Action des muscles intrinsèques du larynx



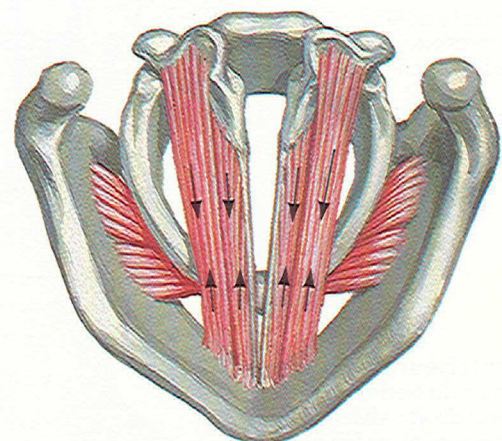
**Action des muscles
crico-aryténoïdiens postérieurs**
Abduction des ligaments vocaux



**Action des muscles
crico-aryténoïdiens latéraux**
Adduction des ligaments vocaux



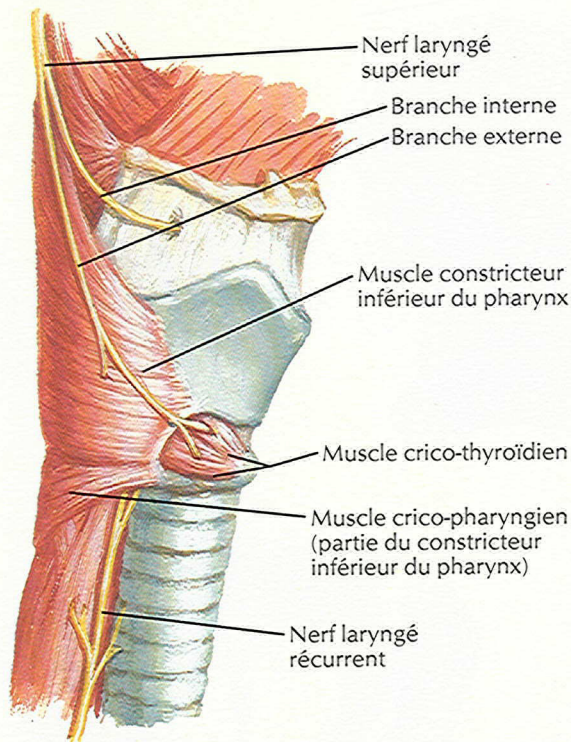
**Action du muscle
aryténoïdien transverse**
Adduction des ligaments vocaux



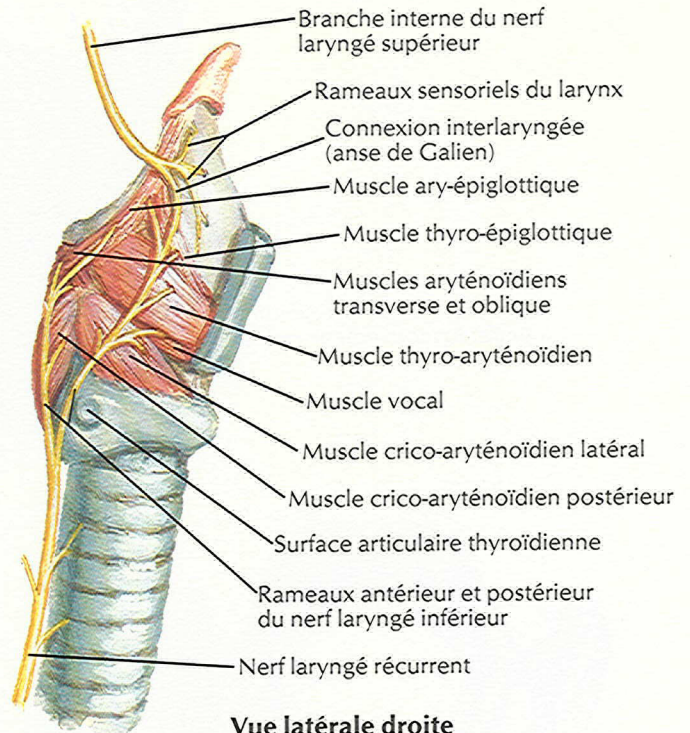
**Action des muscles
vocaux et thyro-aryténoïdiens**
Raccourcissement (relâchement) des ligaments vocaux

Nerfs du larynx

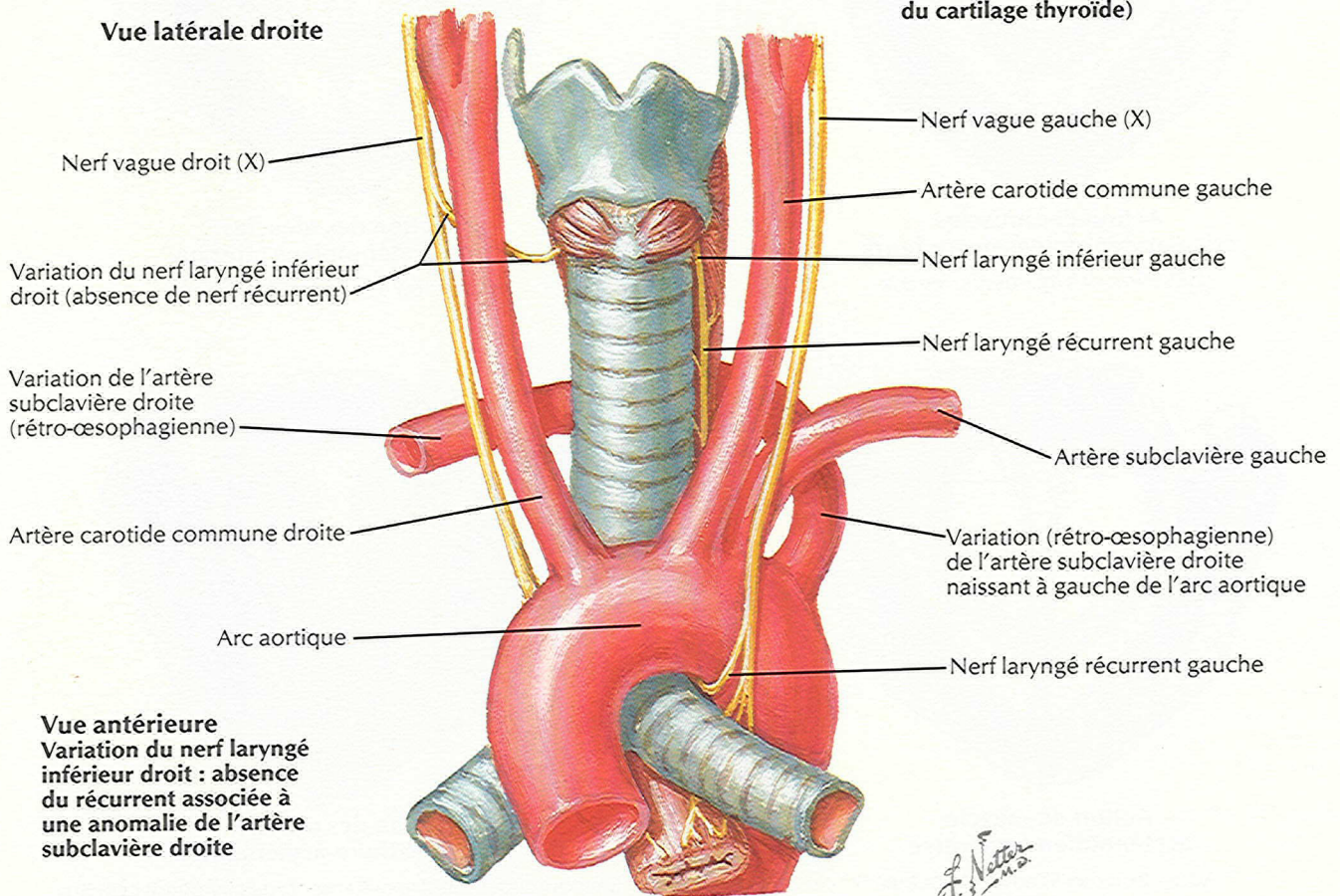
VOIR AUSSI LES PLANCHES 68, 69, 70, 223



Vue latérale droite

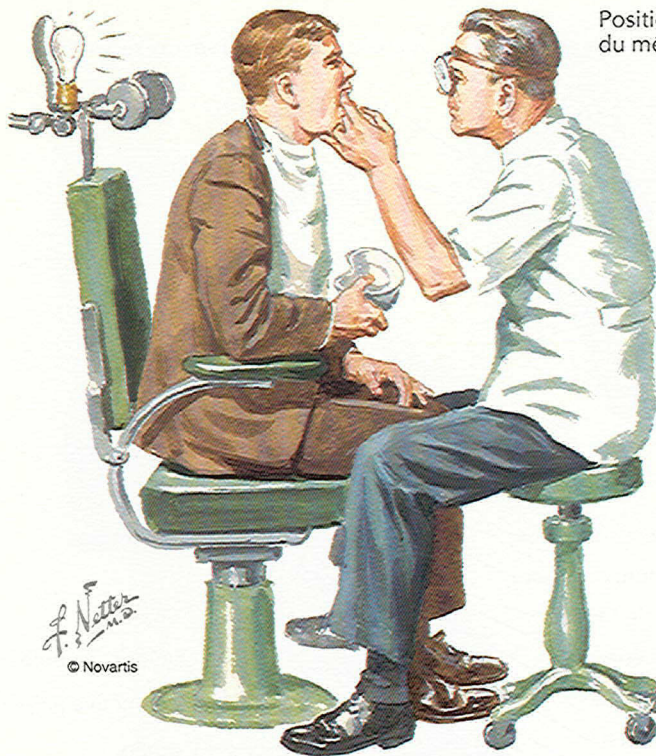


**Vue latérale droite
(avec résection de la lame
du cartilage thyroïde)**



Vue antérieure
Variation du nerf laryngé inférieur droit : absence du récurrent associée à une anomalie de l'artère subclavière droite

F. Netter
M.D.
© Novartis

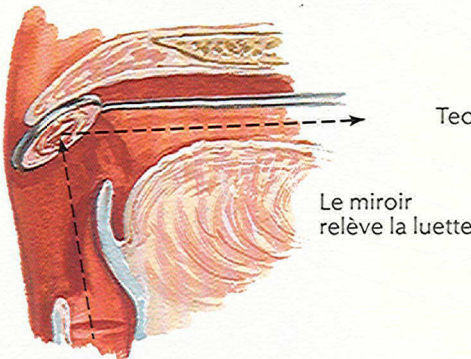


Positions du patient et du médecin



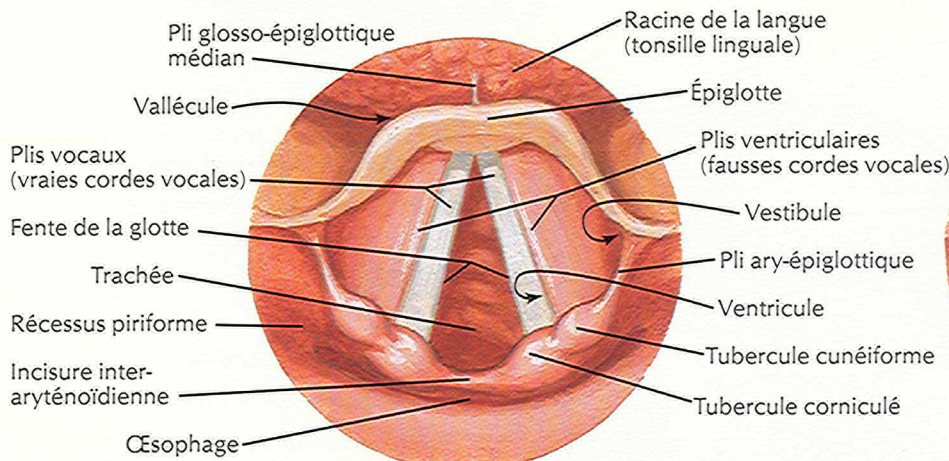
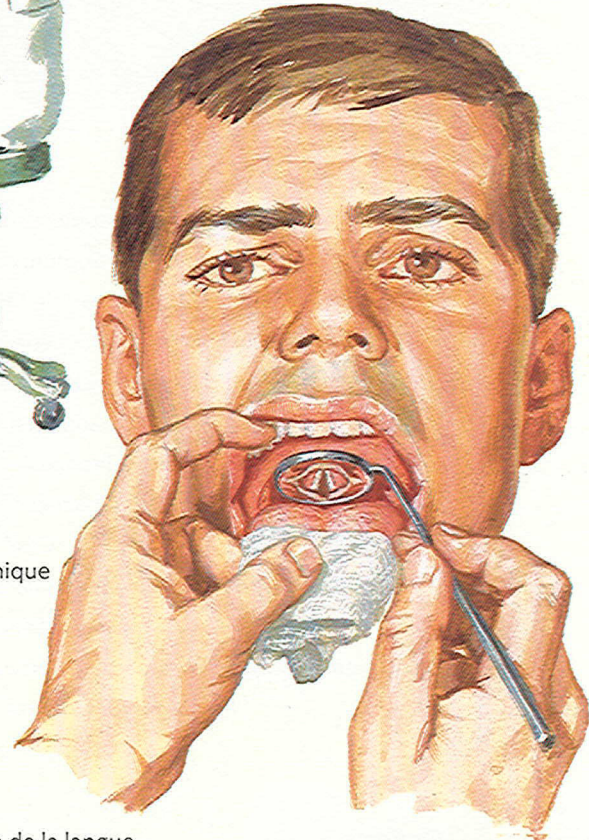
Miroir chauffé au-dessus d'une flamme d'alcool pour éviter la buée ; le miroir est ensuite testé sur le dos de la main du médecin

F. Netter
© Novartis

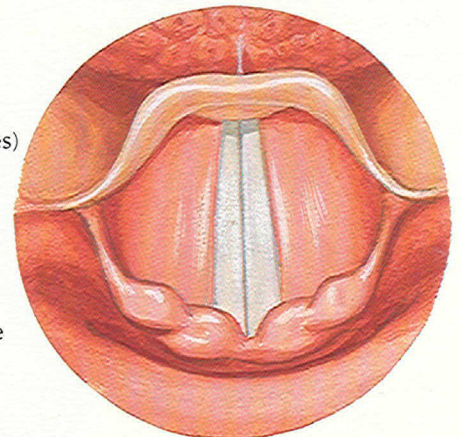


Technique

Le miroir relève la luette



Larynx normal : inspiration



Larynx normal : phonation

Paupières

Conjonctive palpébrale supérieure : glandes tarsales (de Meibomius) transparaissantes

Vus à travers la cornée { Pupille
Iris

Limbe de la cornée (jonction cornéo-sclérale)

Conjonctive bulbaire sur la sclère

Fornix conjonctival inférieur

Conjonctive palpébrale inférieure : glandes tarsales transparaissantes

Papille et point lacrymaux supérieurs

Pli semi-lunaire

Caroncule lacrymale dans le lac lacrymal

Papille et point lacrymaux inférieurs

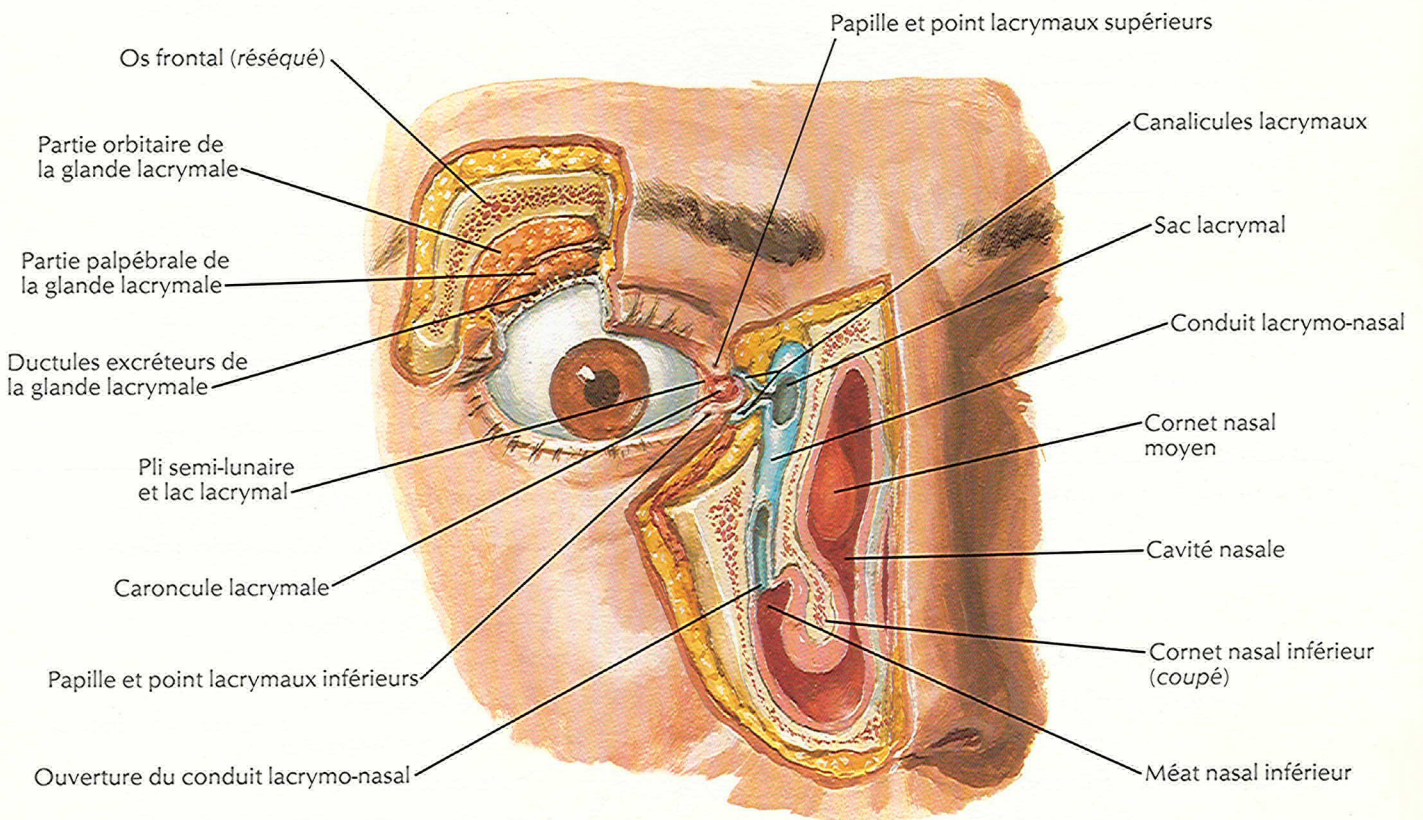
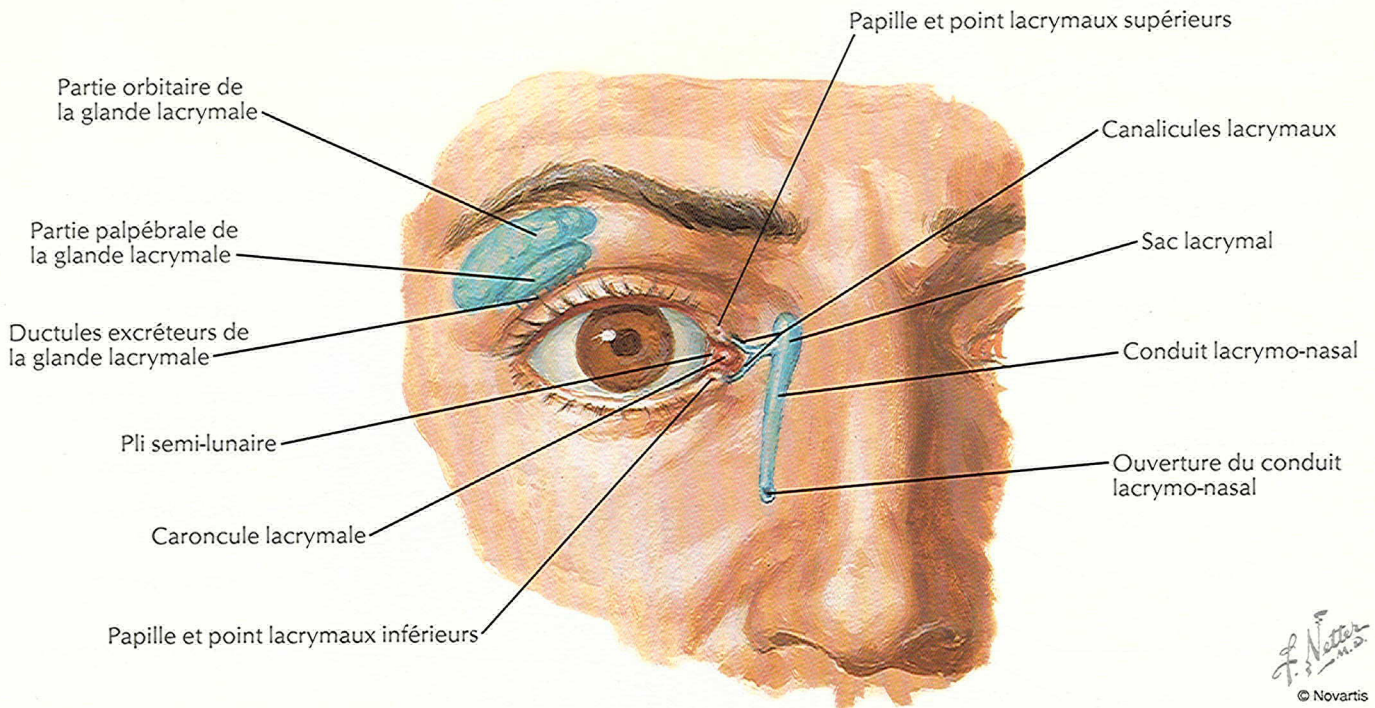
Muscle élévateur de la paupière supérieure
Septum orbitaire
Muscle (lisse) tarsal supérieur (de Müller)
Fornix conjonctival supérieur
Muscle orbiculaire de l'œil (partie palpébrale)
Tarse supérieur
Glandes tarsales (de Meibomius)
Glandes sébacées
Cils
Ostiums des glandes tarsales
Tarse inférieur
Muscle orbiculaire de l'œil (partie palpébrale)
Fornix conjonctival inférieur
Septum orbitaire

Sclère
Conjonctive bulbaire
Conjonctive palpébrale
Cornée
Cristallin
Chambre antérieure du bulbe
Iris
Chambre postérieure

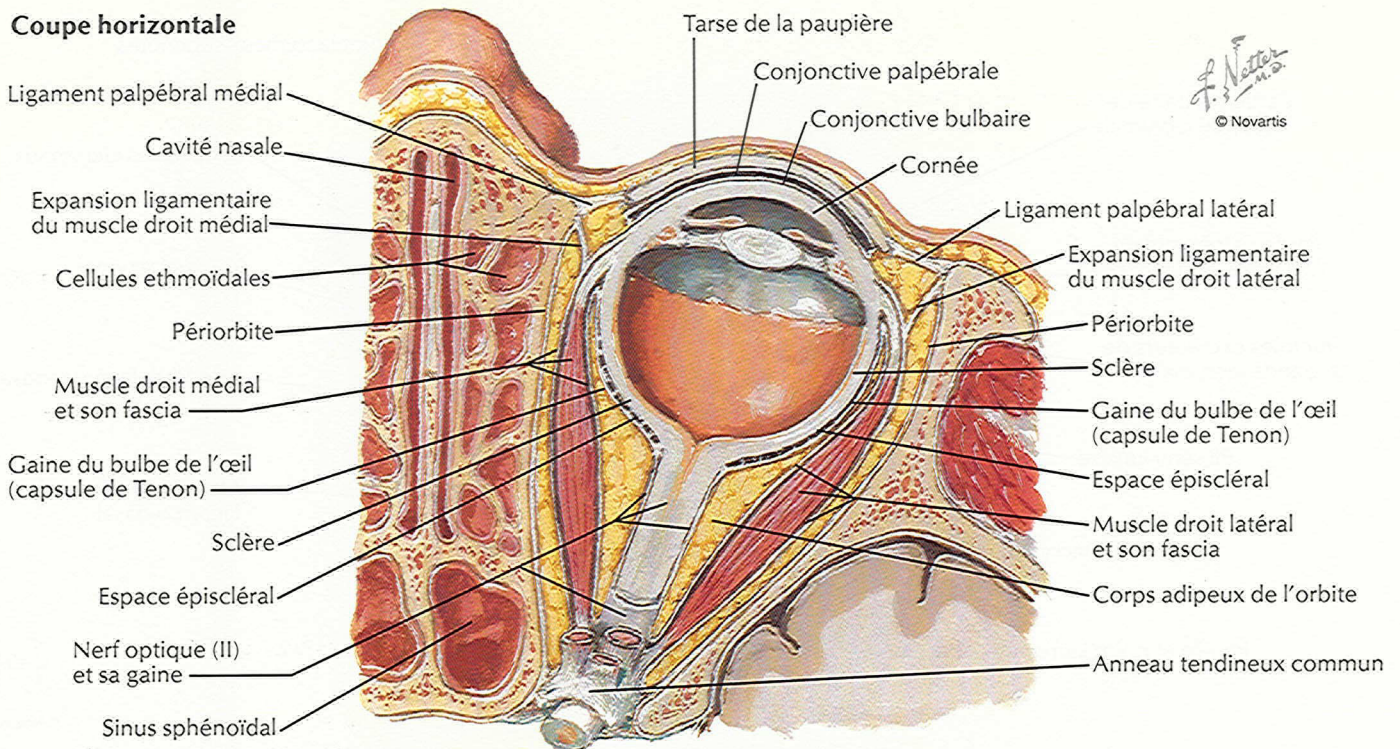
F. Netter
M.D.
© Novartis

Os frontal
Insertion du muscle élévateur de la paupière supérieure
Septum orbitaire
Tarse supérieur
Ligament palpébral latéral
Tarse inférieur
Septum orbitaire
Os zygomatique

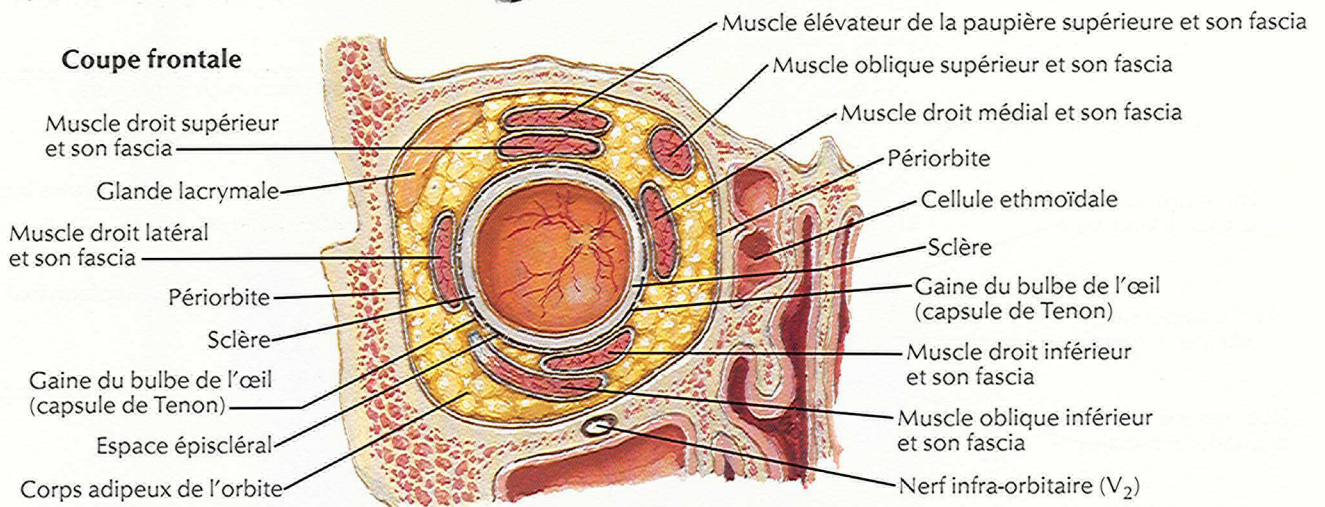
Artère et nerf supra-orbitaires
Artère et nerf supra-trochléaires
Artère dorsale du nez et nerf infra-trochléaire
Sac lacrymal
Ligament palpébral médial
Maxillaire (processus frontal)
Artère et nerf infra-orbitaires



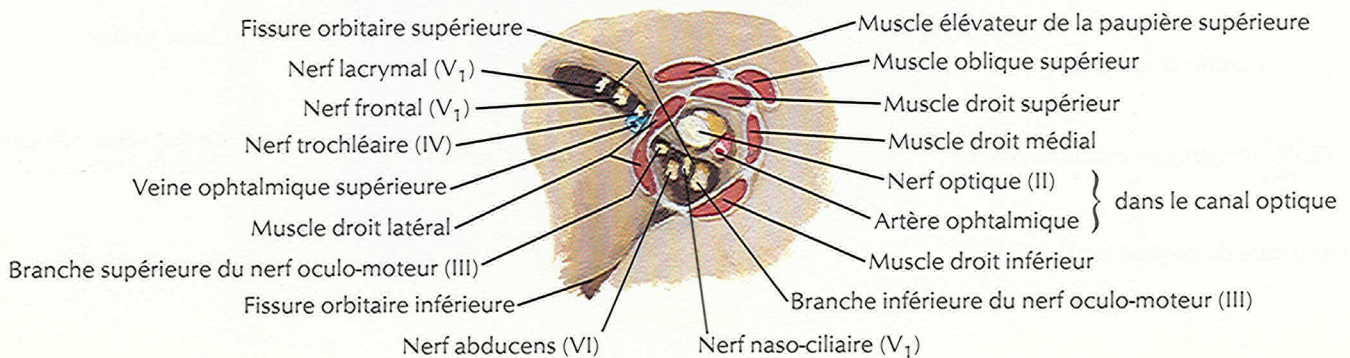
Coupe horizontale



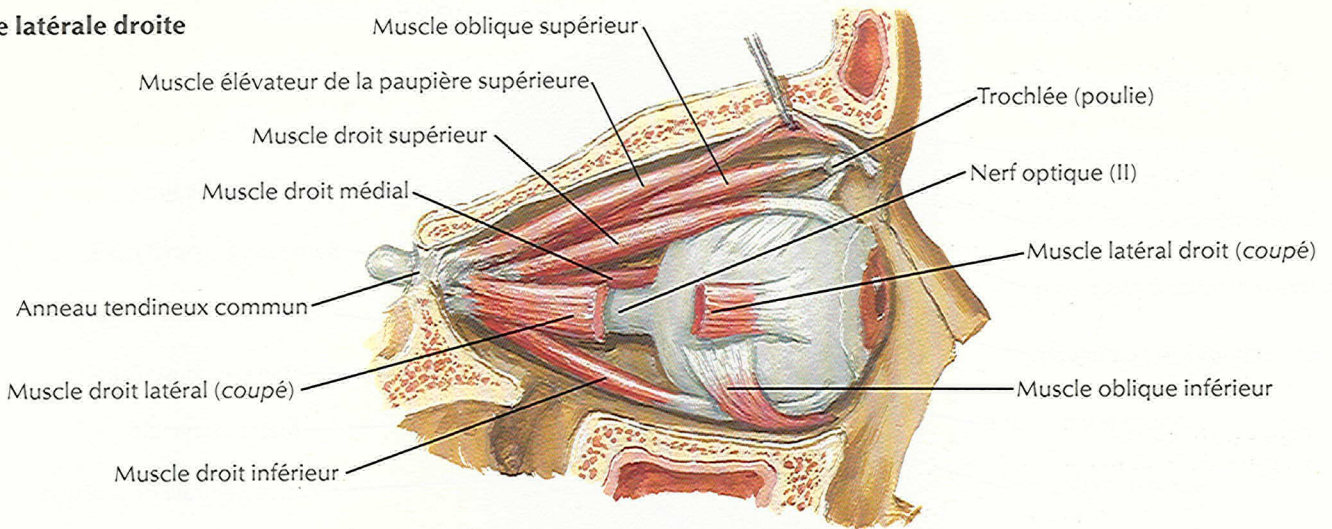
Coupe frontale



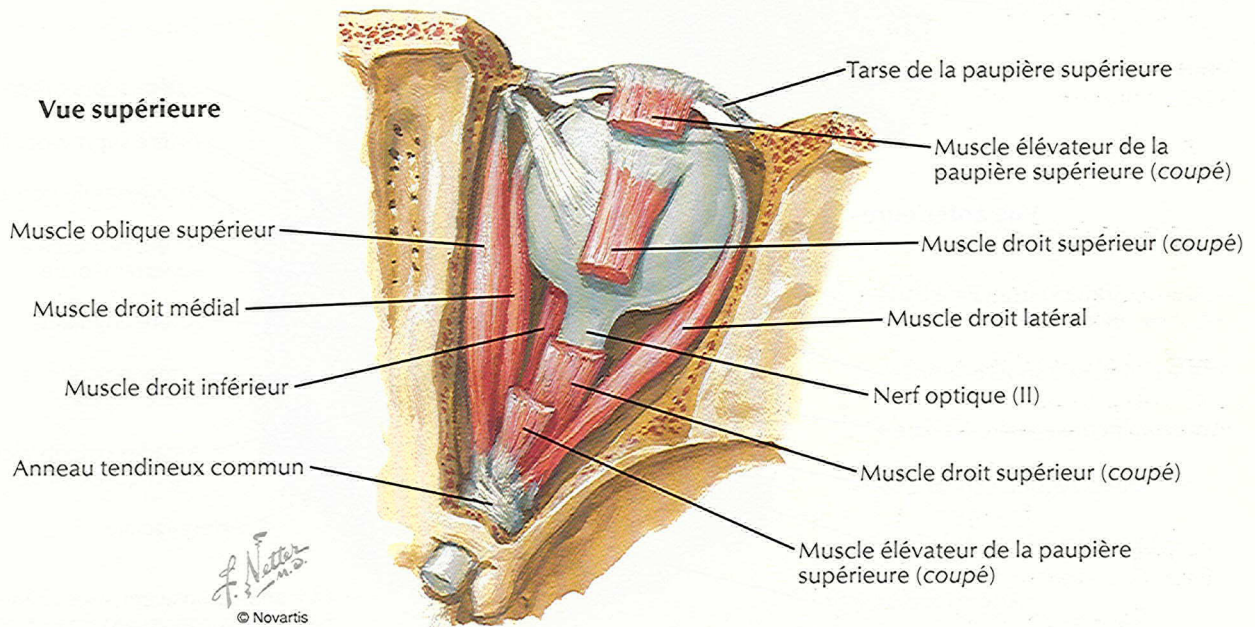
Insertions musculaires et nerfs et vaisseaux pénétrant dans l'orbite



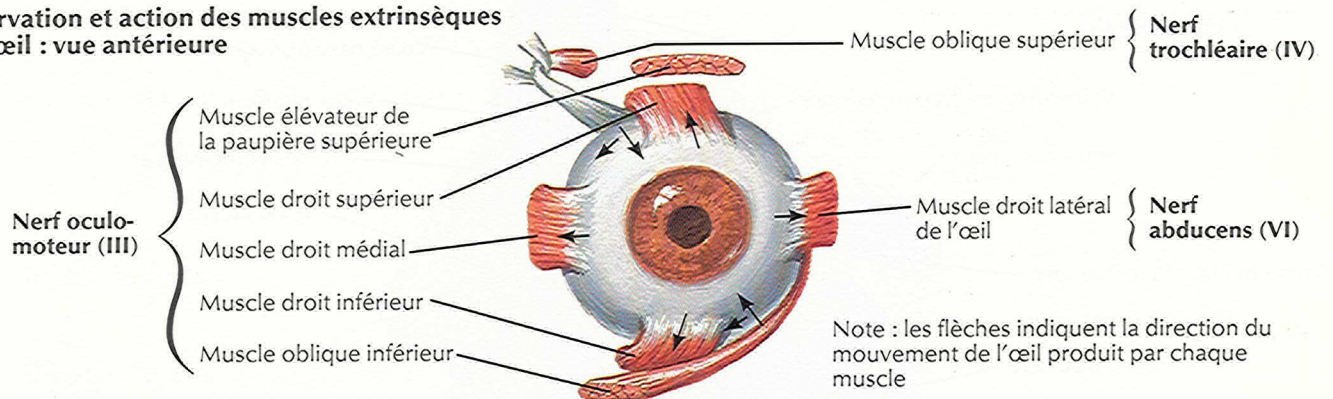
Vue latérale droite



Vue supérieure

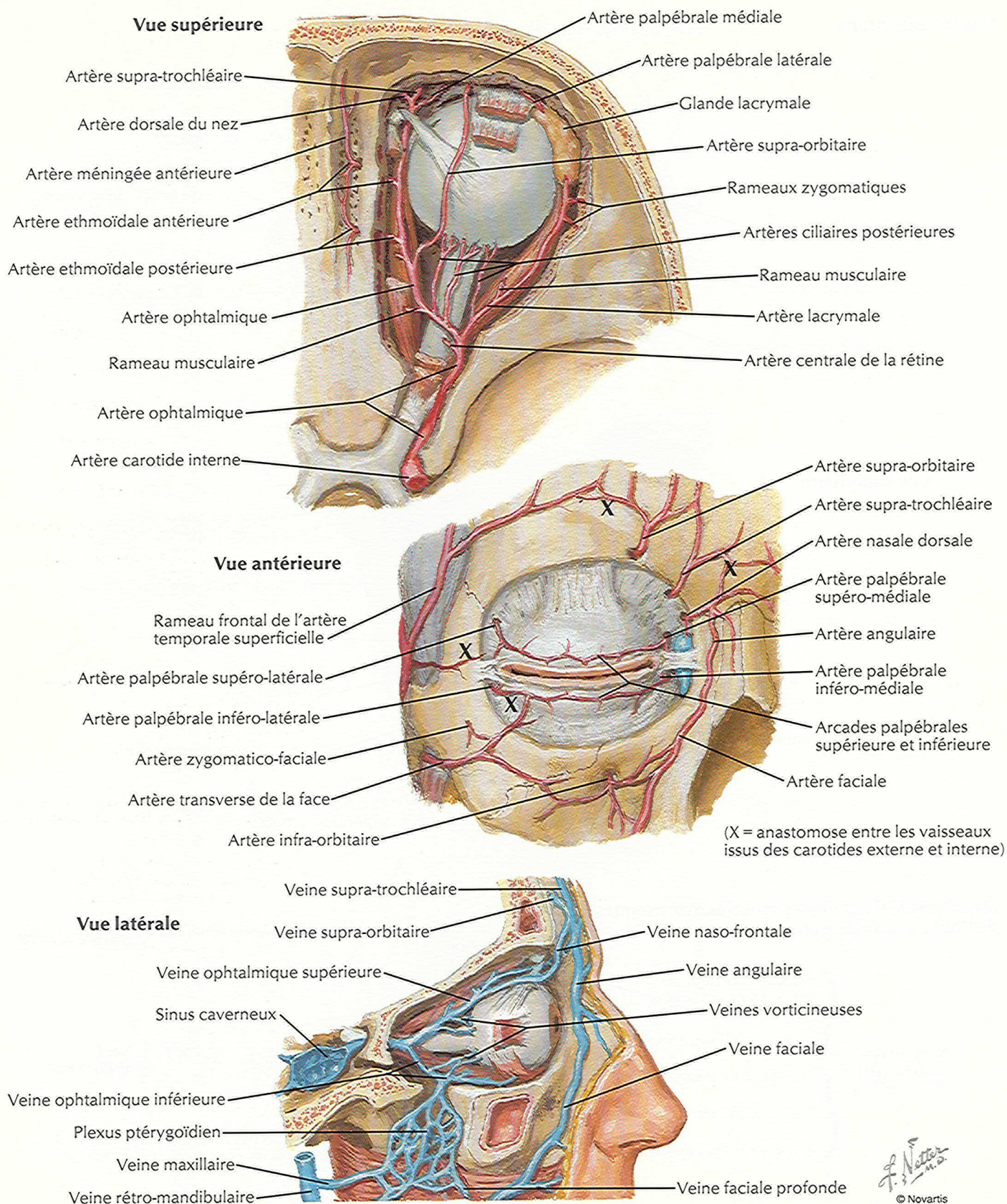


Innervation et action des muscles extrinsèques de l'œil : vue antérieure



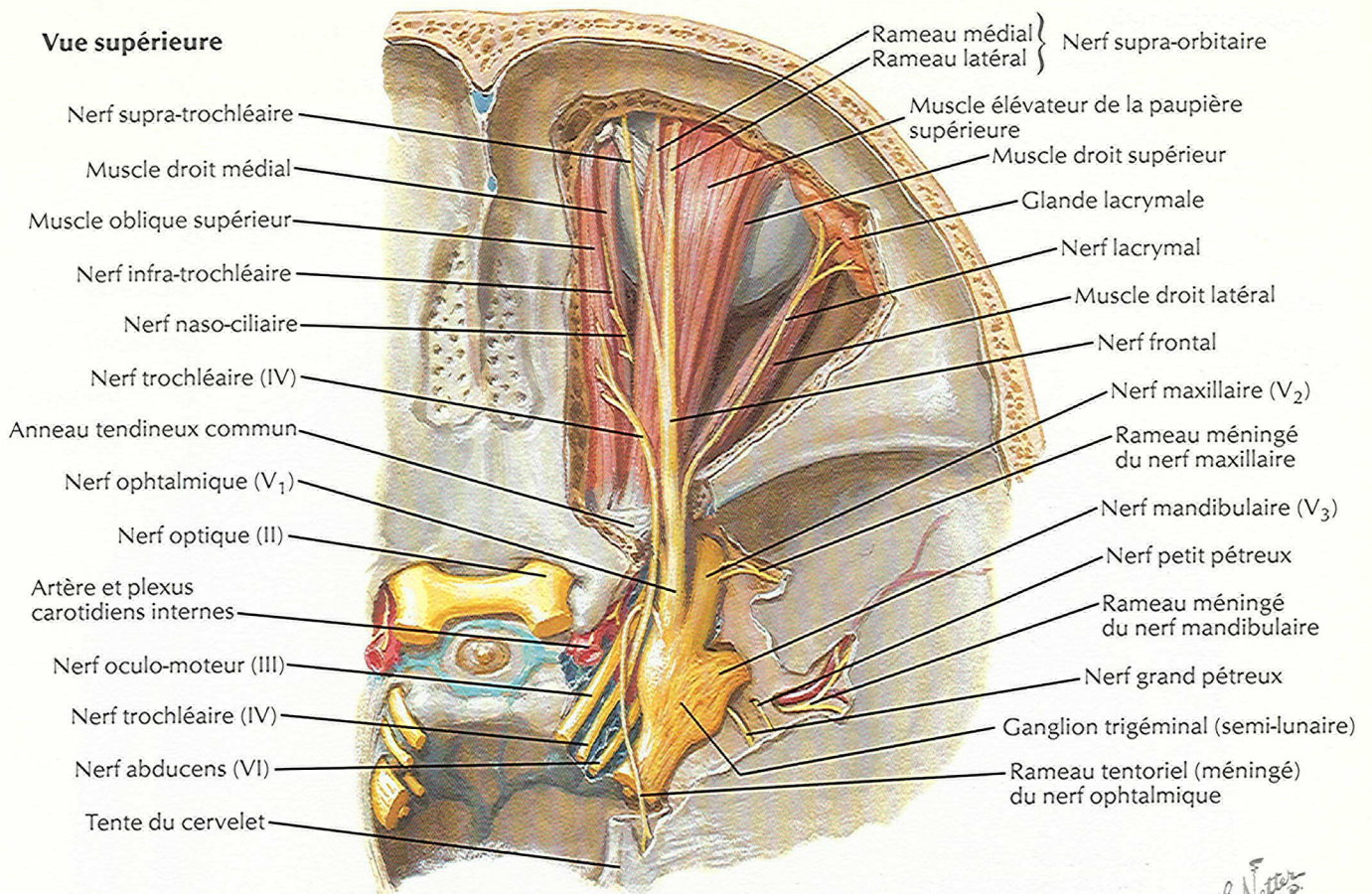
Artères et veines de l'orbite et des paupières

VOIR AUSSI LES PLANCHES 17, 98

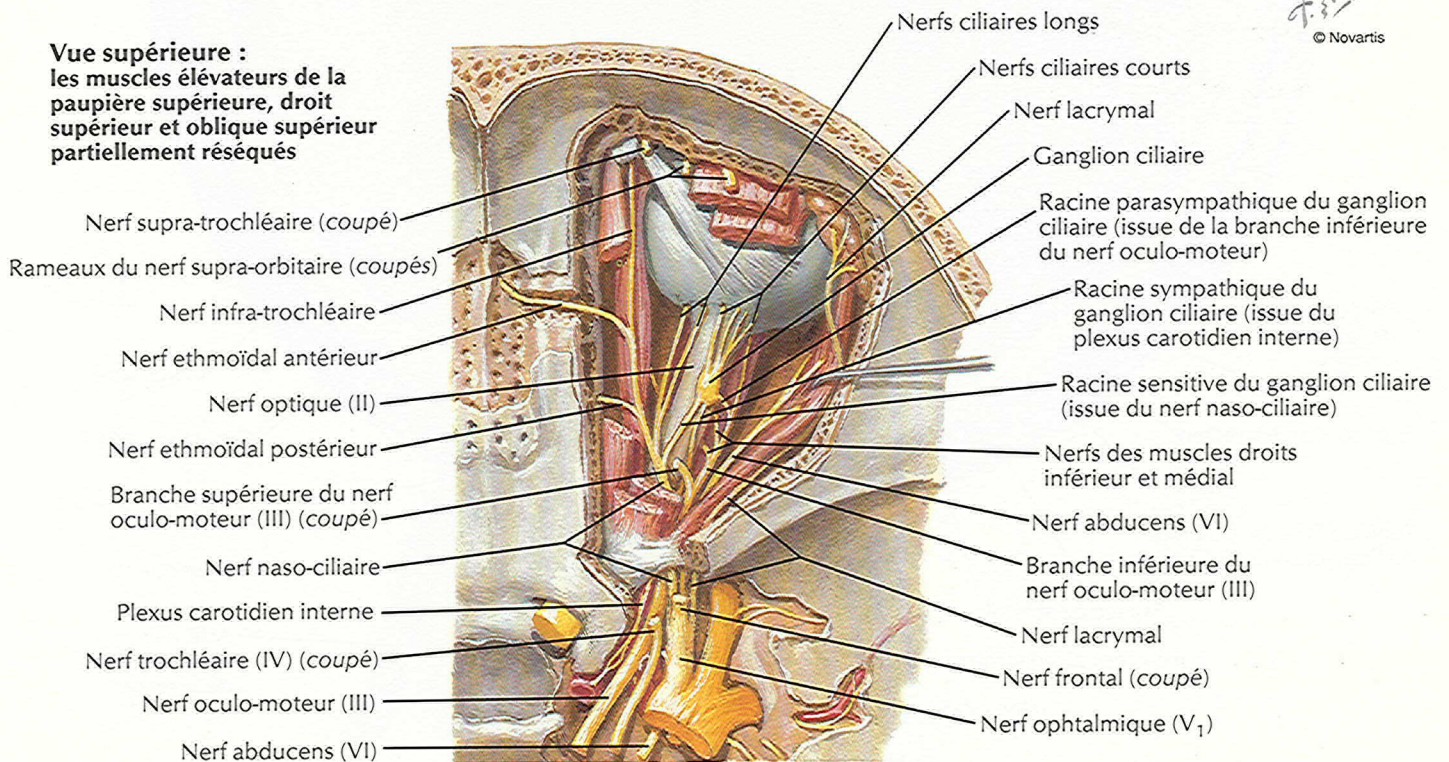


F. Netter M.D.
© Novartis

Vue supérieure



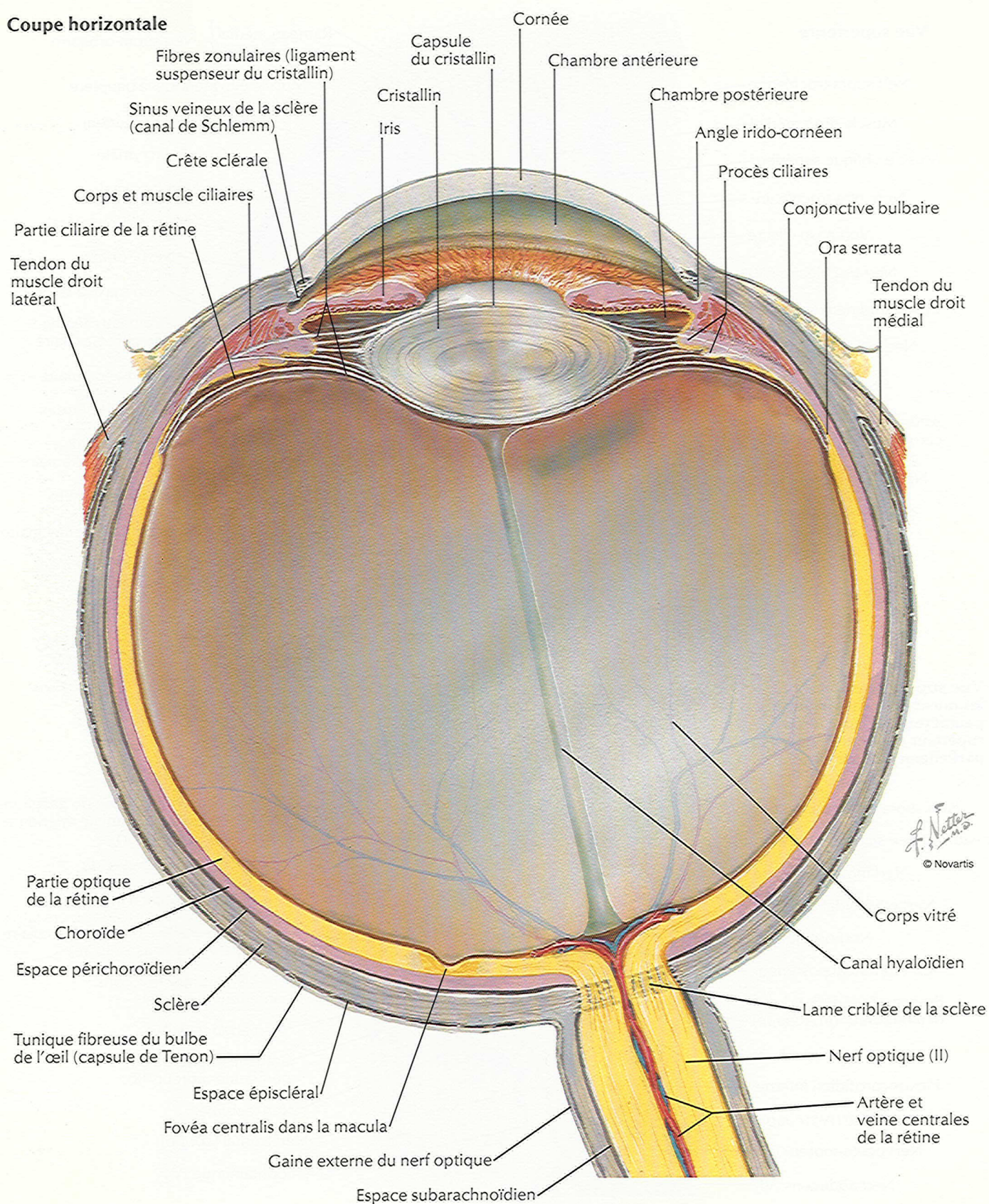
Vue supérieure : les muscles éleveurs de la paupière supérieure, droit supérieur et oblique supérieur partiellement réséqués



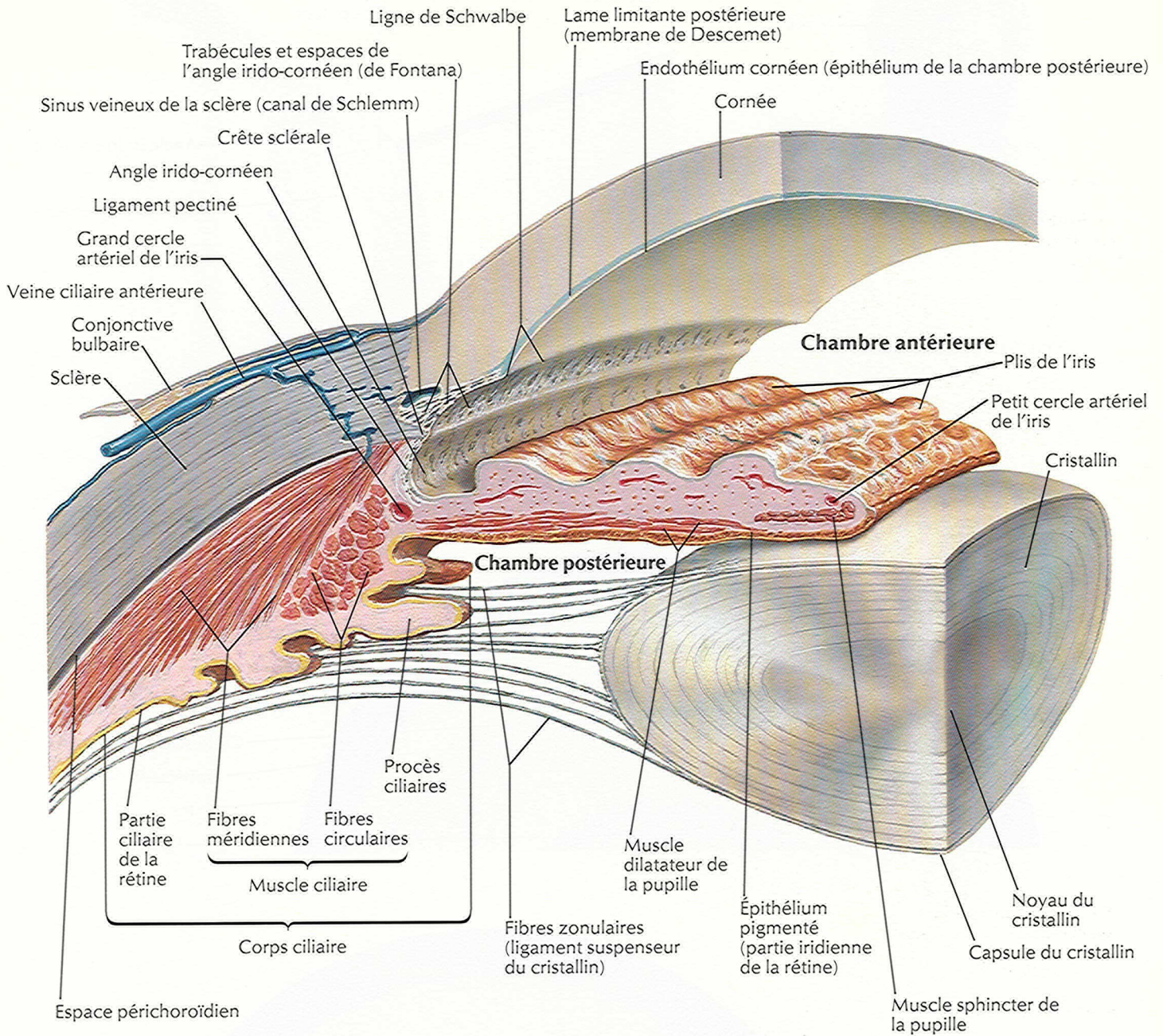
F. Netter M.D.
© Novartis

Bulbe oculaire

Coupe horizontale



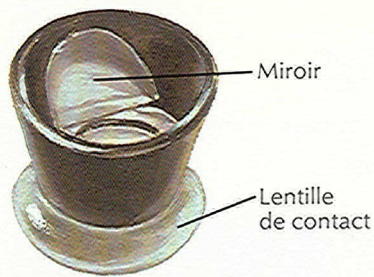
Chambres antérieure et postérieure de l'œil



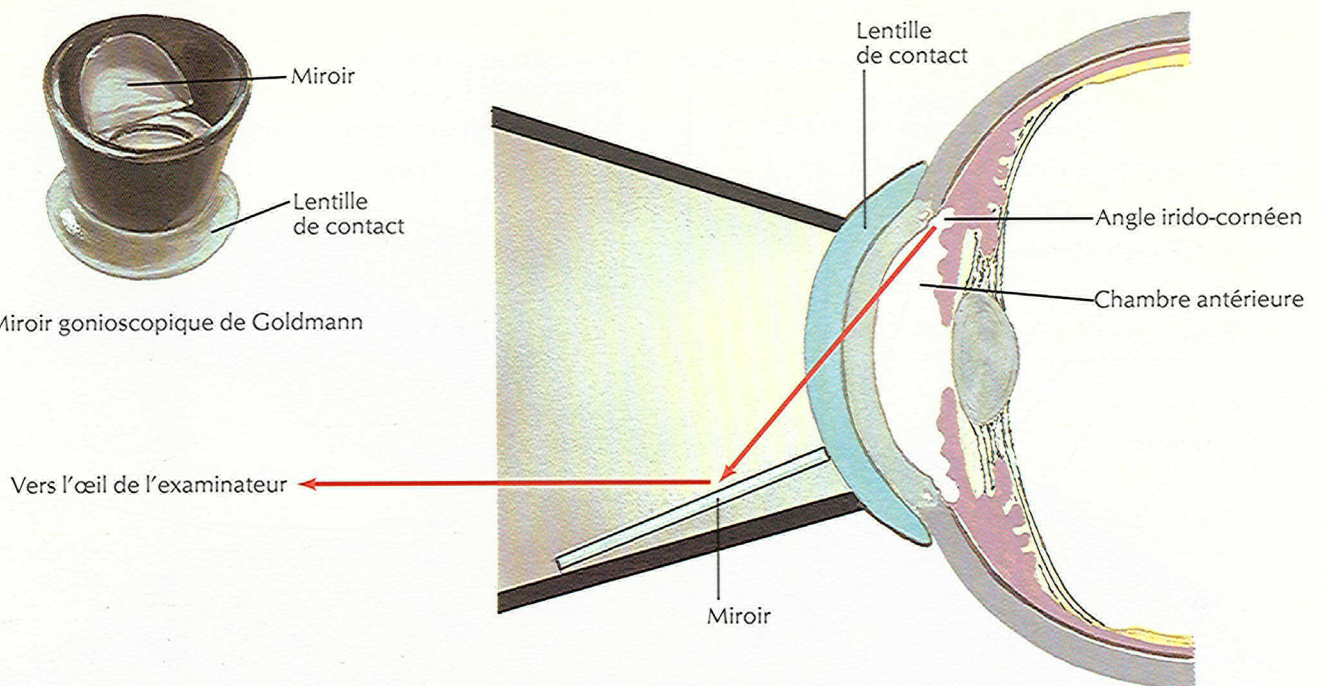
Note : par souci de clarté, il est représenté un seul plan de fibres zonulaires ; en fait, ces fibres entourent complètement l'équateur du cristallin

J. Netter M.D.
© Novartis

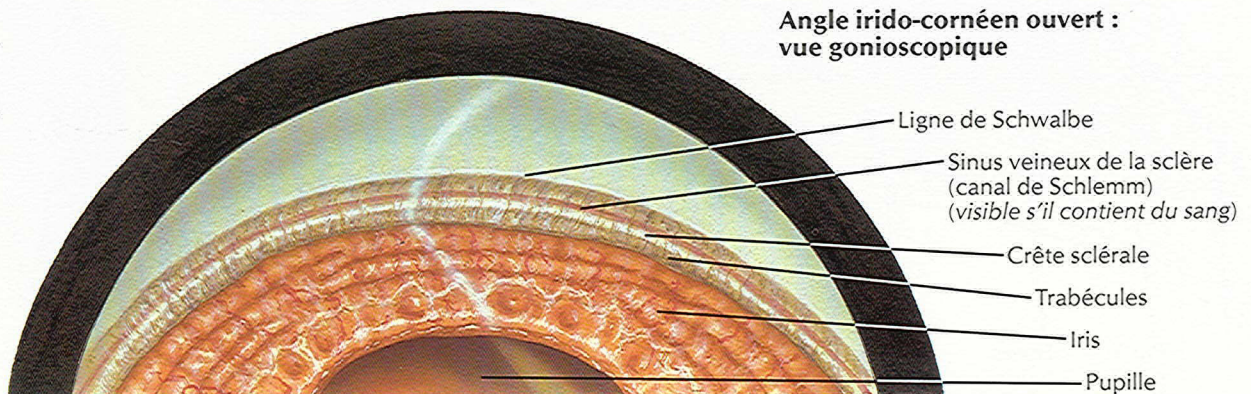
Angle irido-cornéen de la chambre antérieure de l'œil



Miroir gonioscopique de Goldman

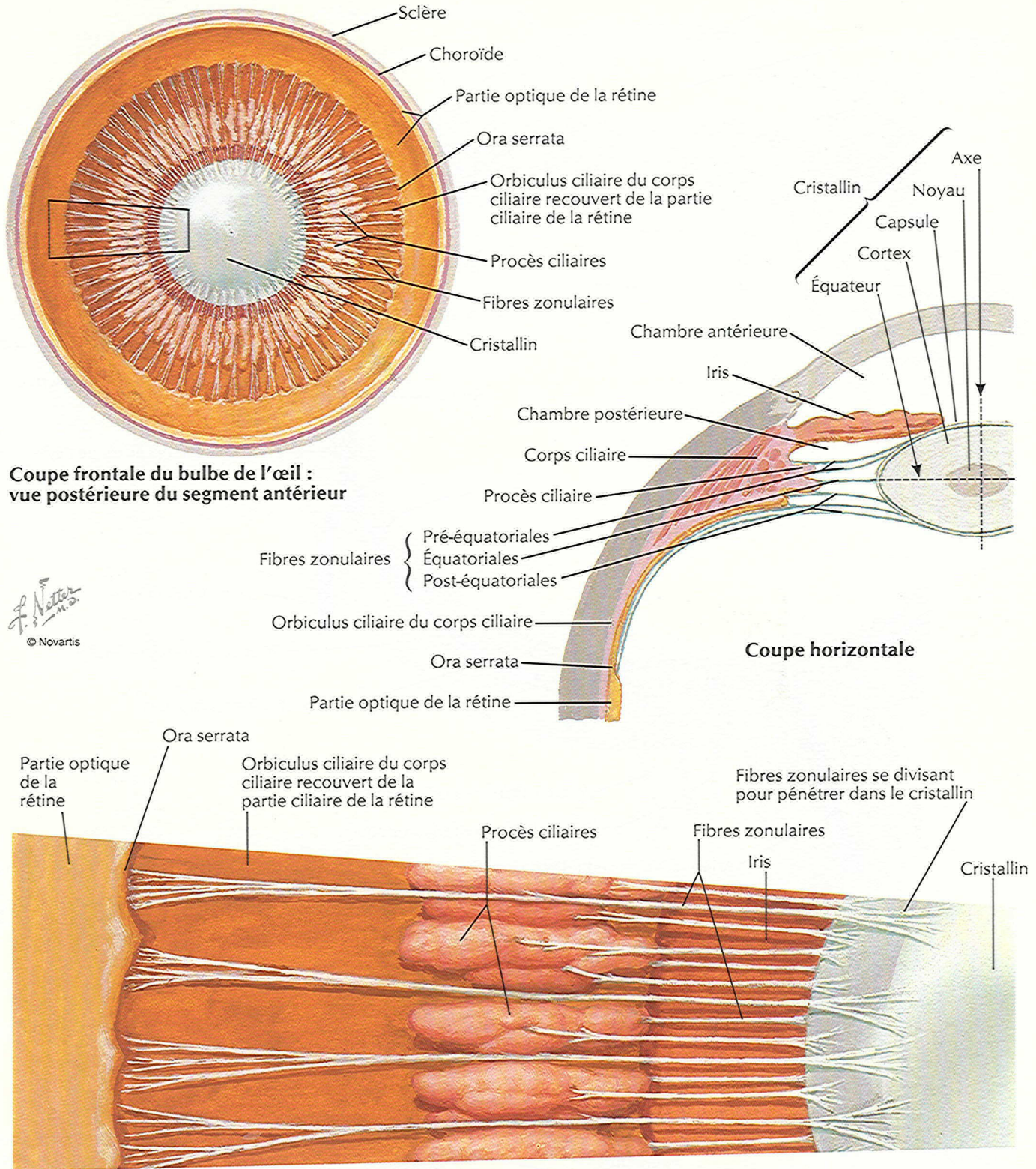


Angle irido-cornéen ouvert :
vue gonioscopique



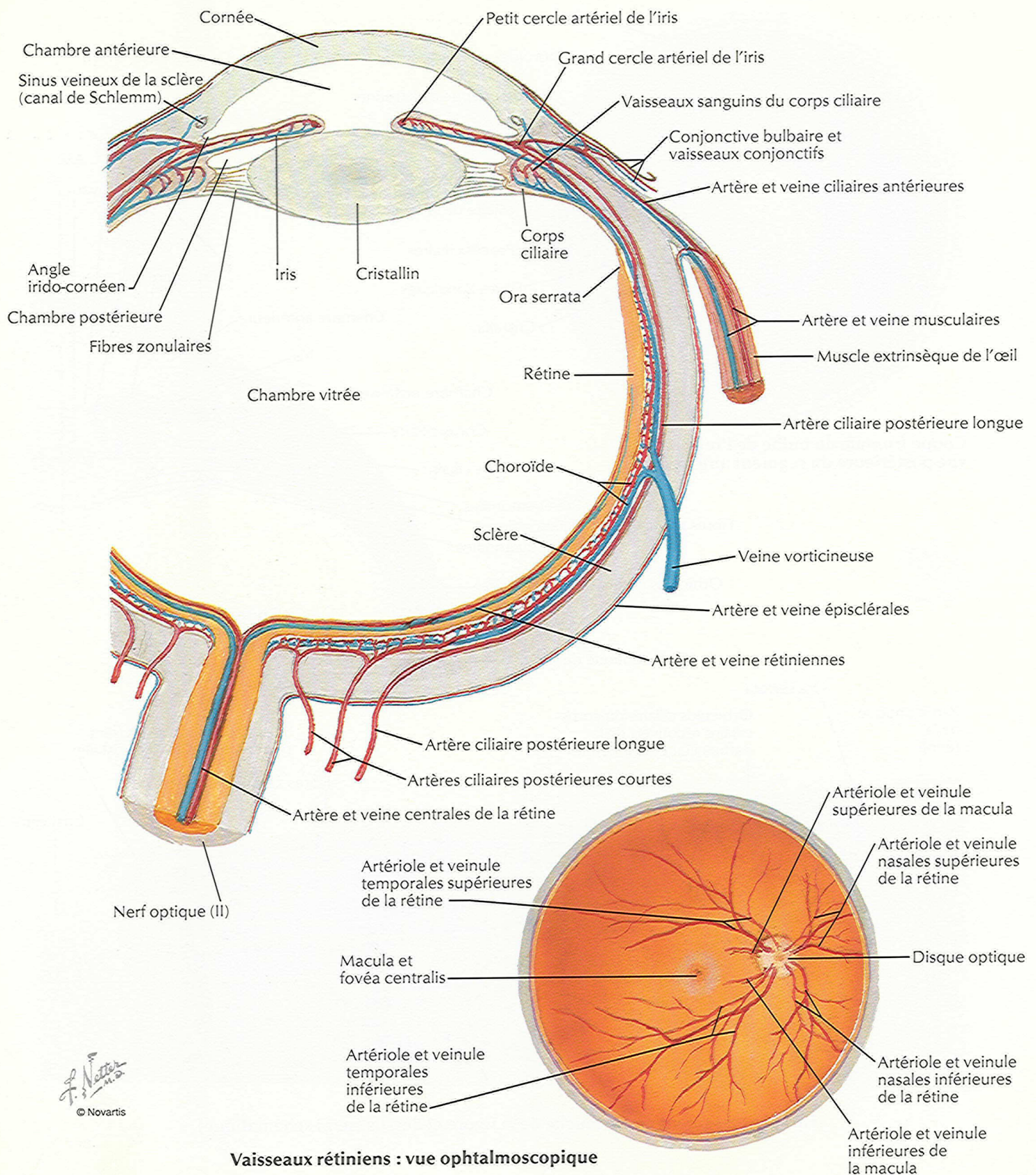
Angle fermé :
vue gonioscopique





Artères et veines intrinsèques de l'œil

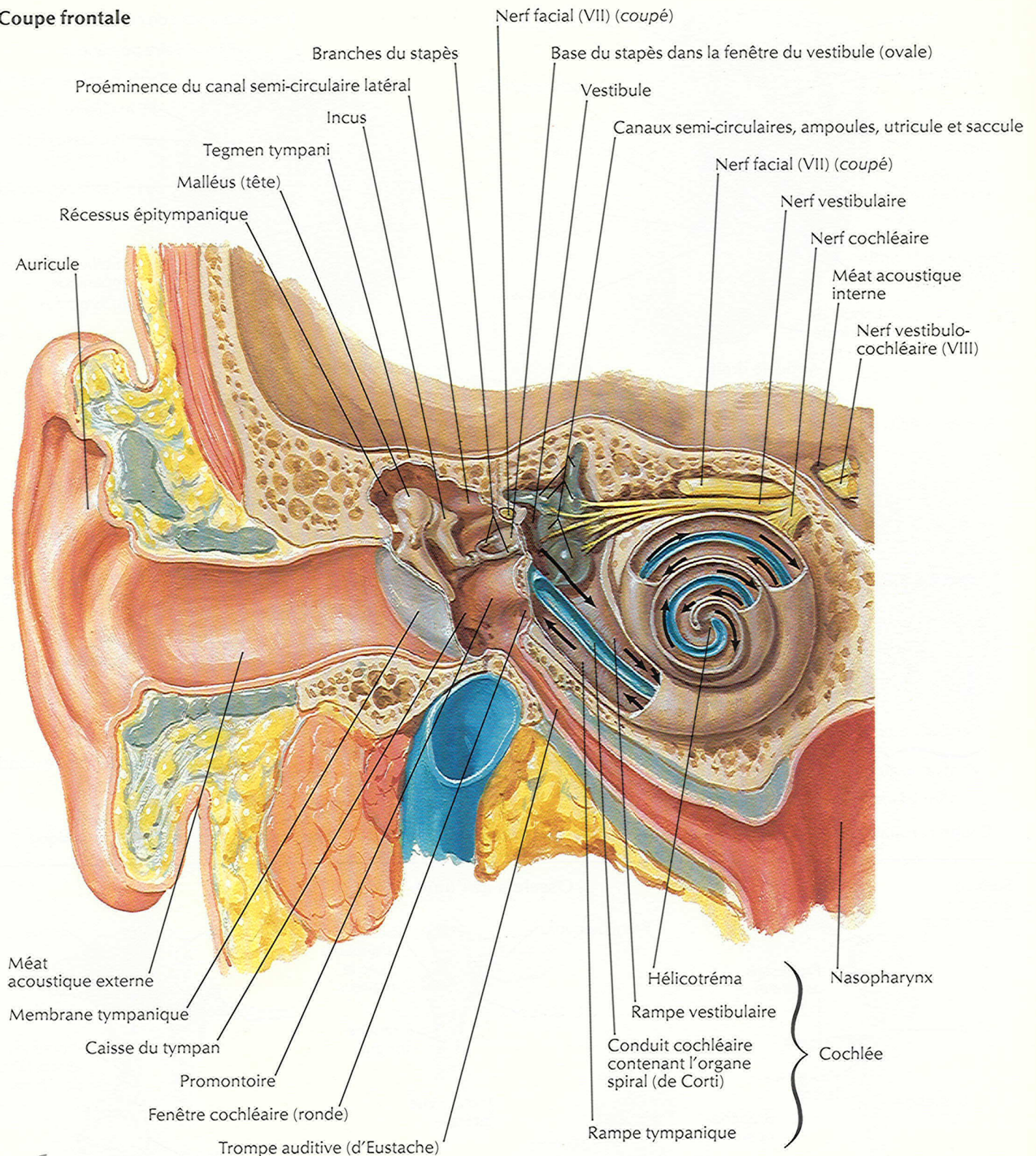
VOIR AUSSI LA PLANCHE 80



F. Netter M.D.
© Novartis

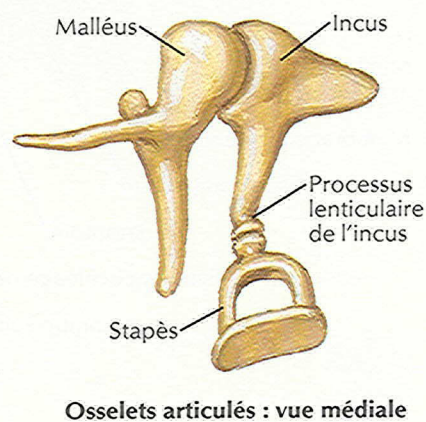
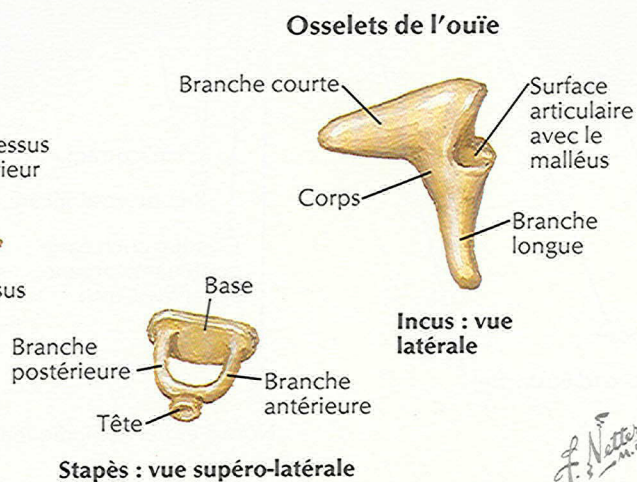
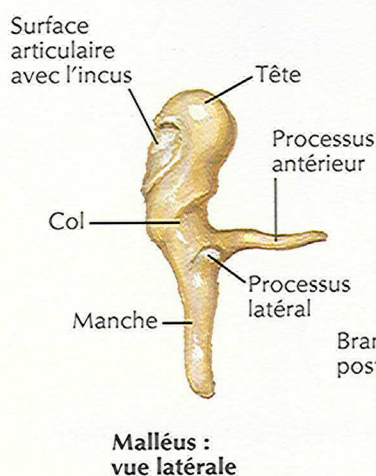
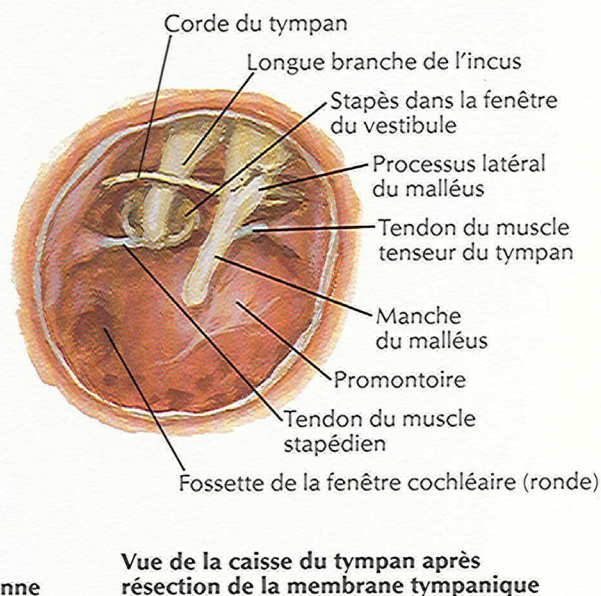
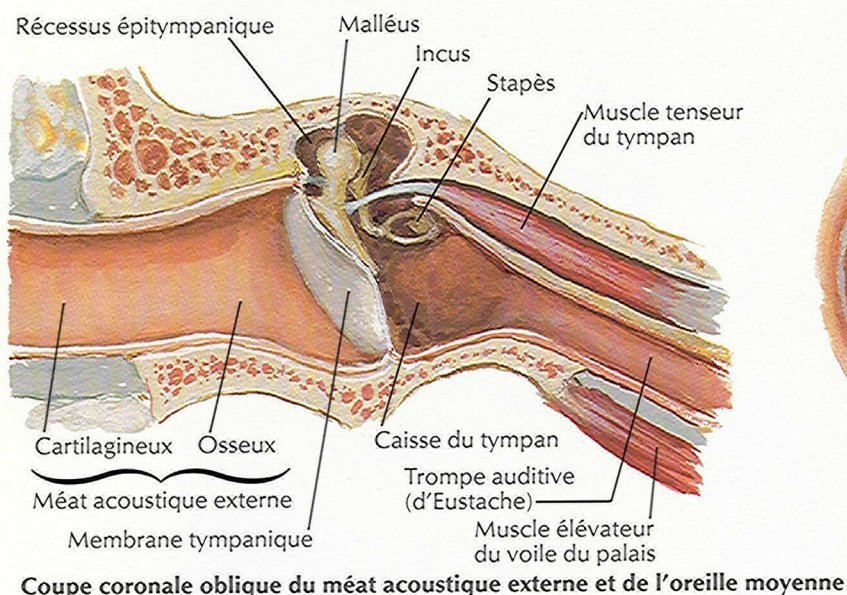
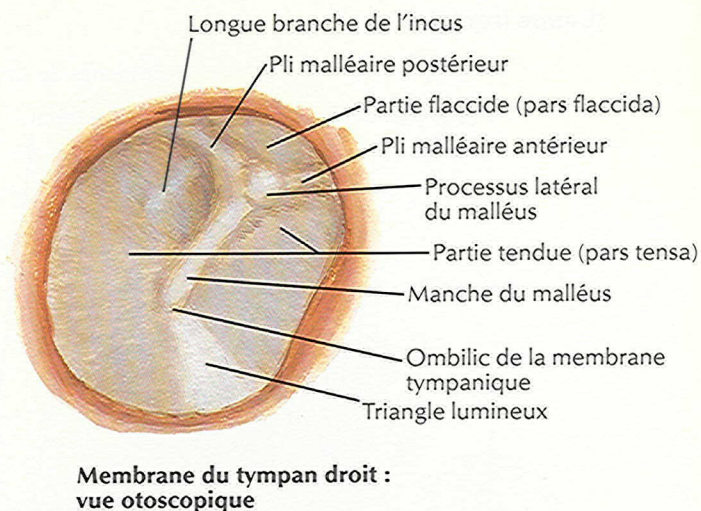
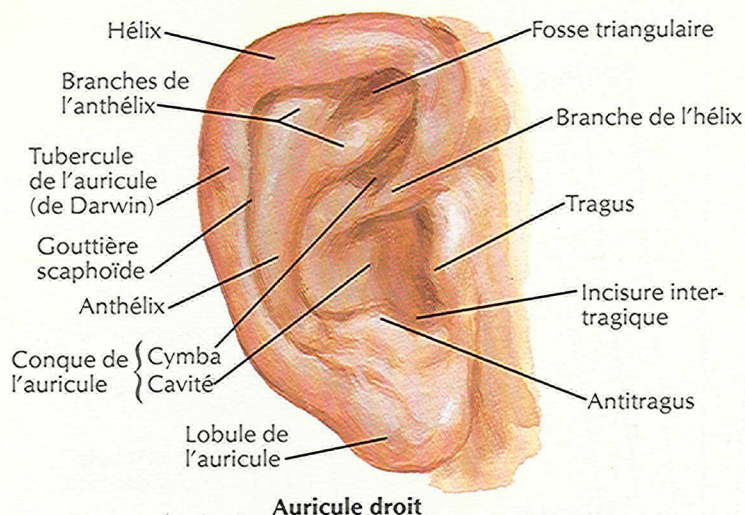
Vaisseaux rétinien : vue ophtalmoscopique

Coupe frontale



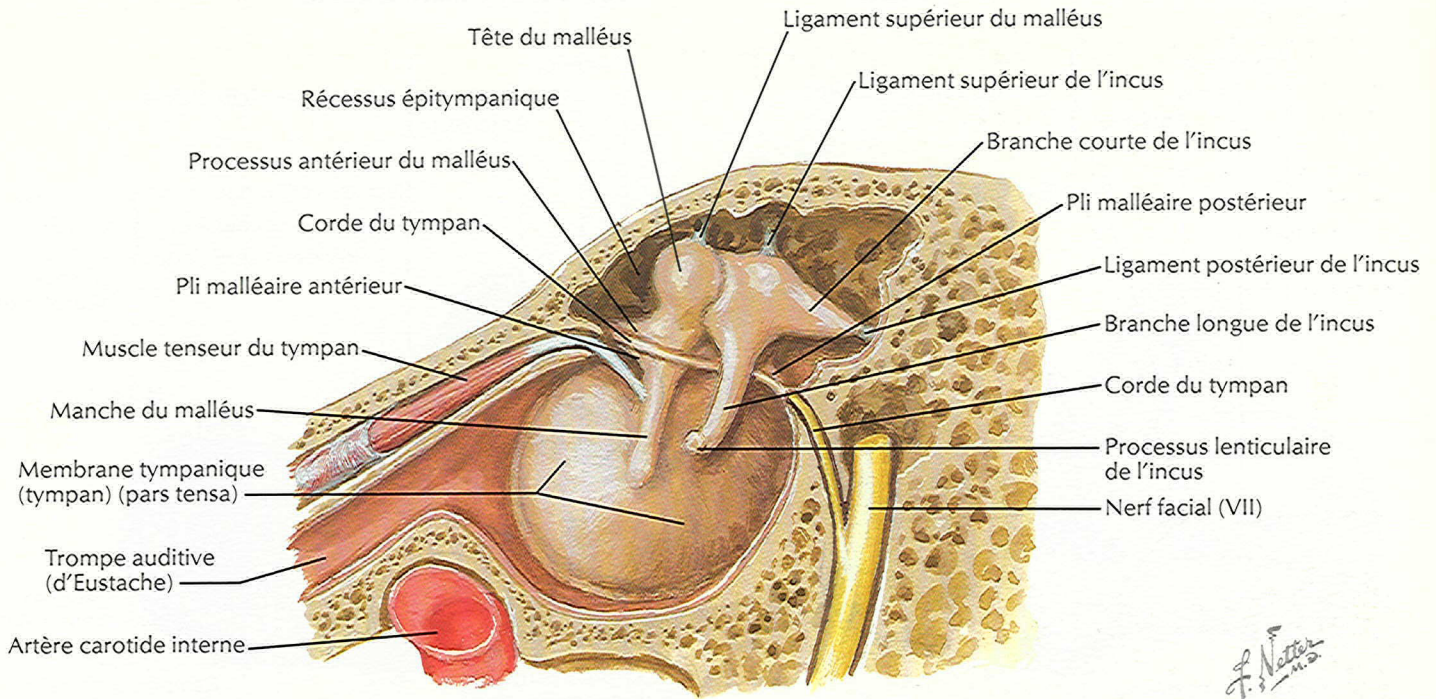
Note : les flèches indiquent le trajet de l'onde sonore

Oreille externe et caisse du tympan

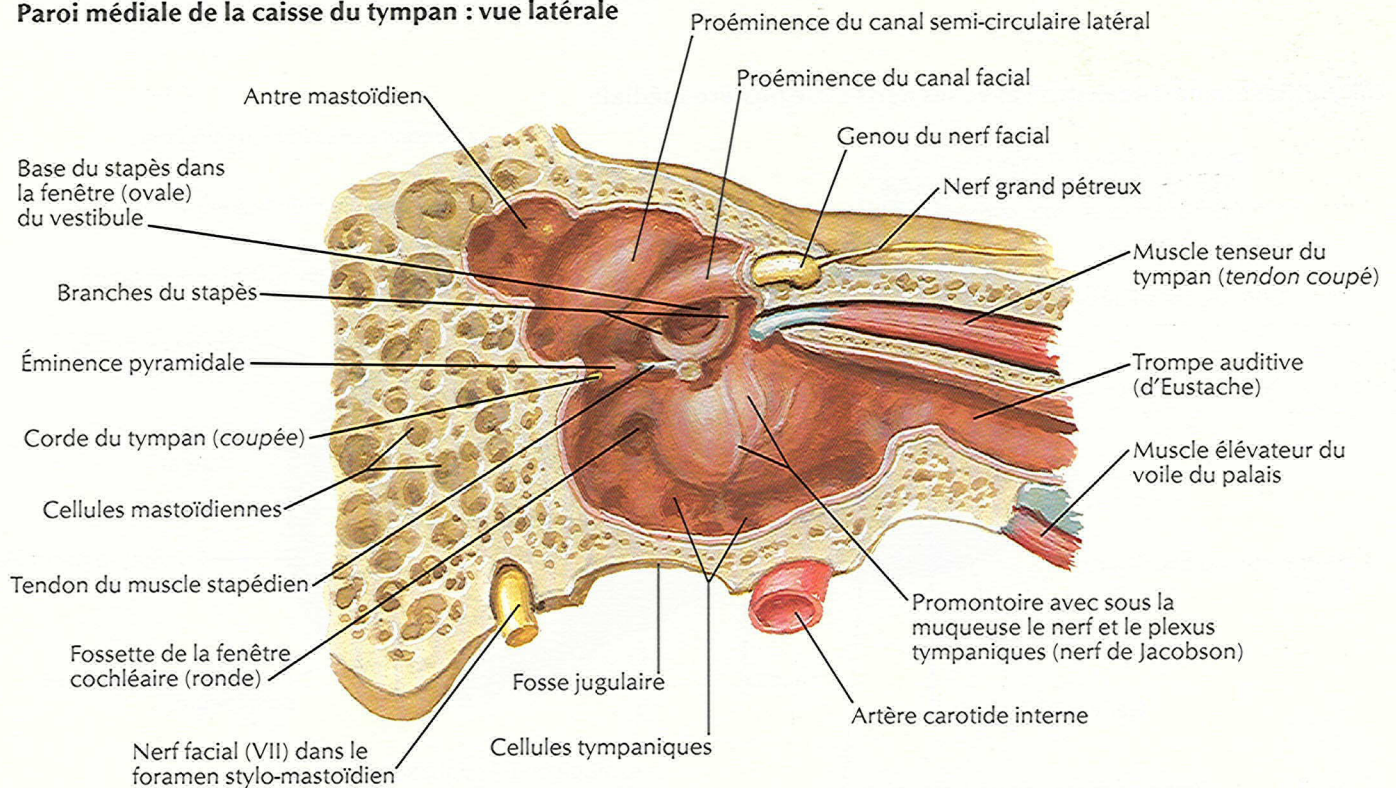


F. Natter
© Novartis

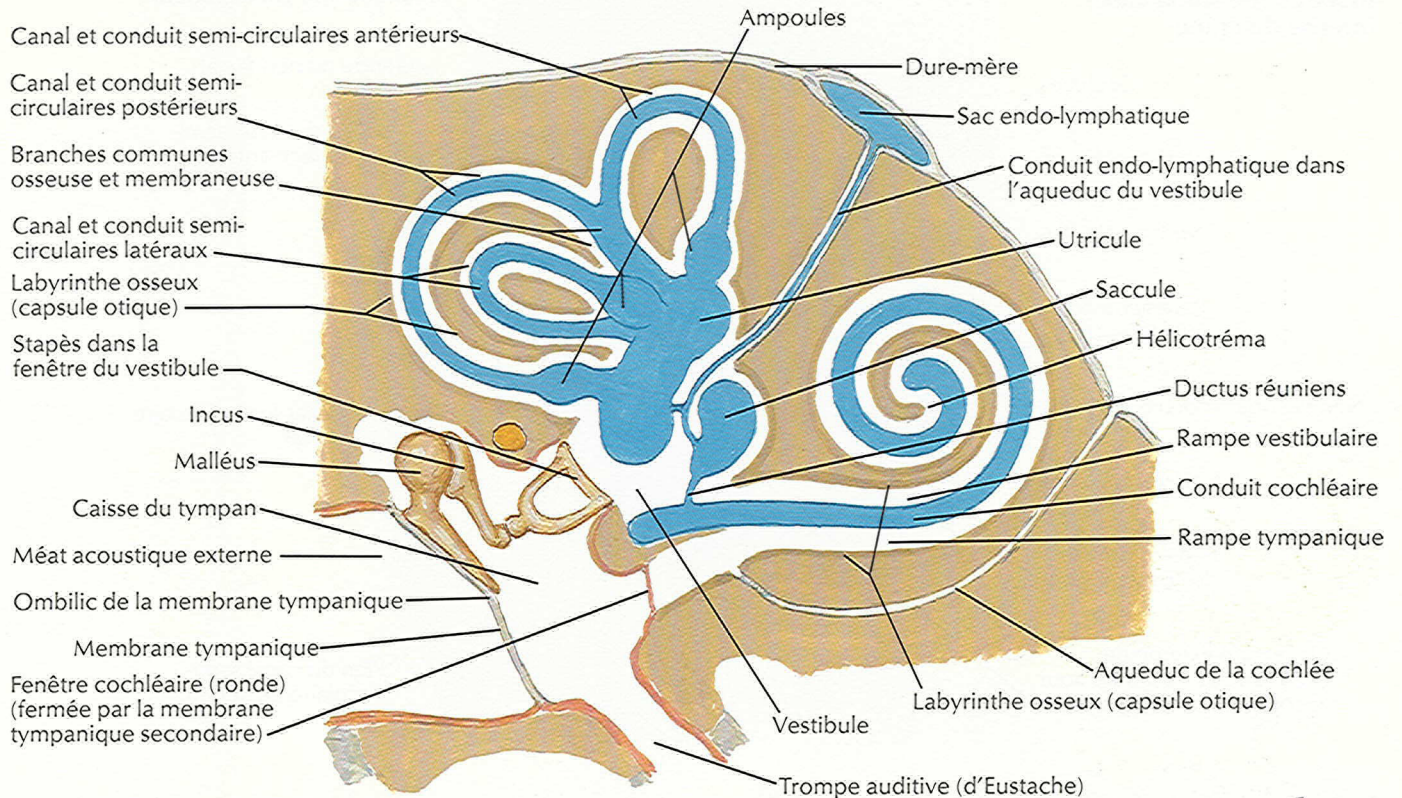
Paroi latérale de la caisse du tympan : vue médiale



Paroi médiale de la caisse du tympan : vue latérale

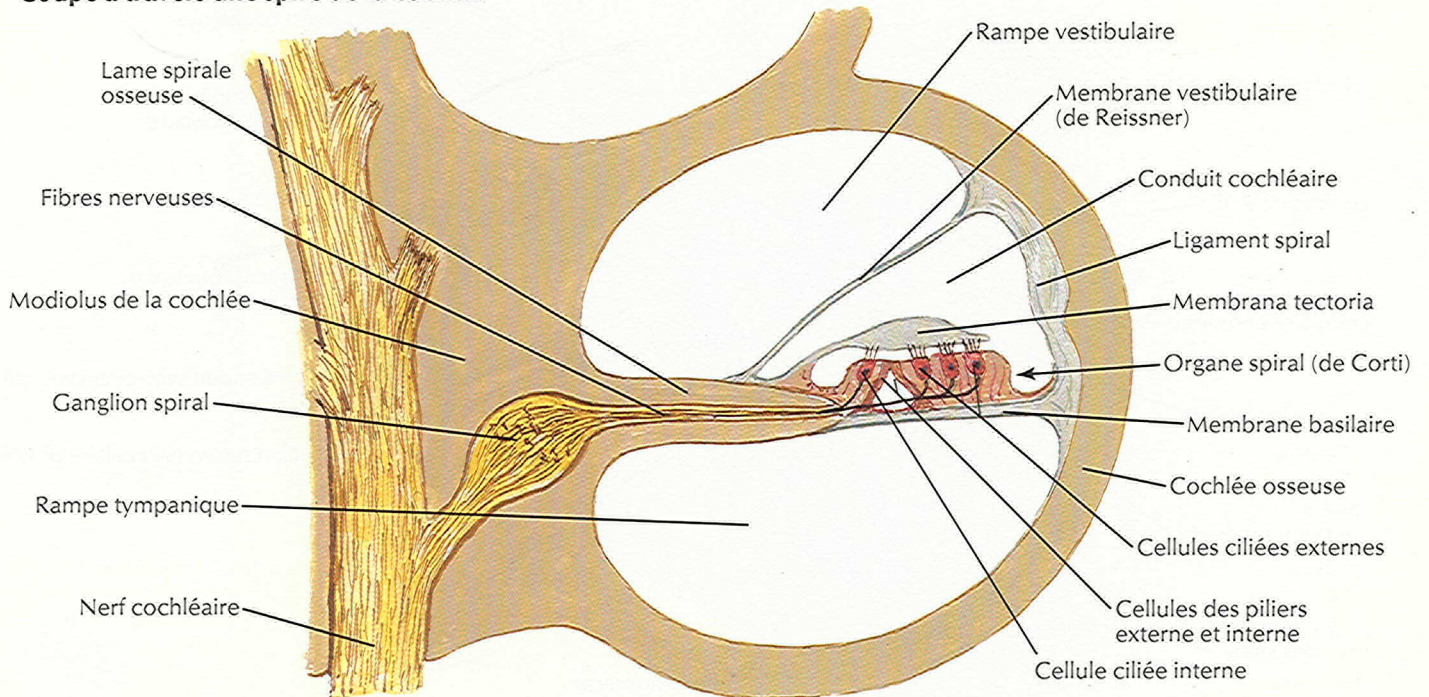


Labyrinthes osseux et membraneux : schéma



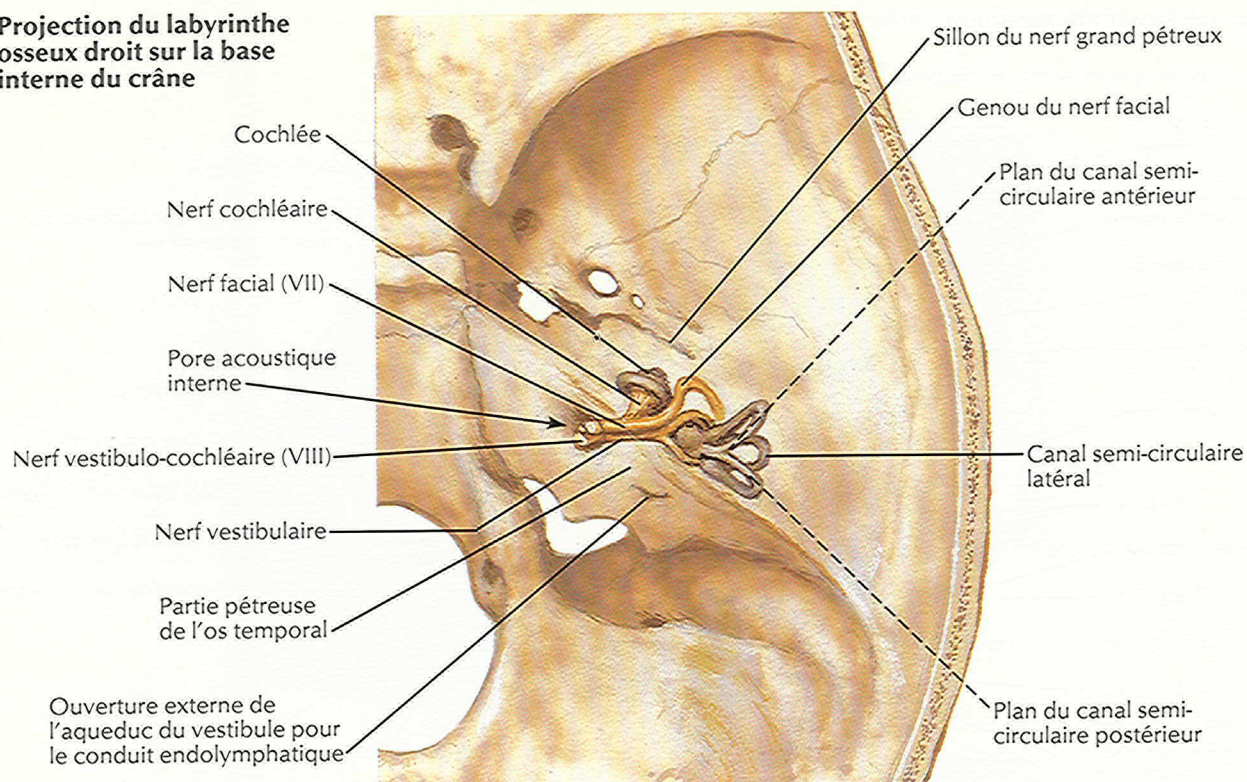
F. Netter M.D.
© Novartis

Coupe à travers une spire de la cochlée

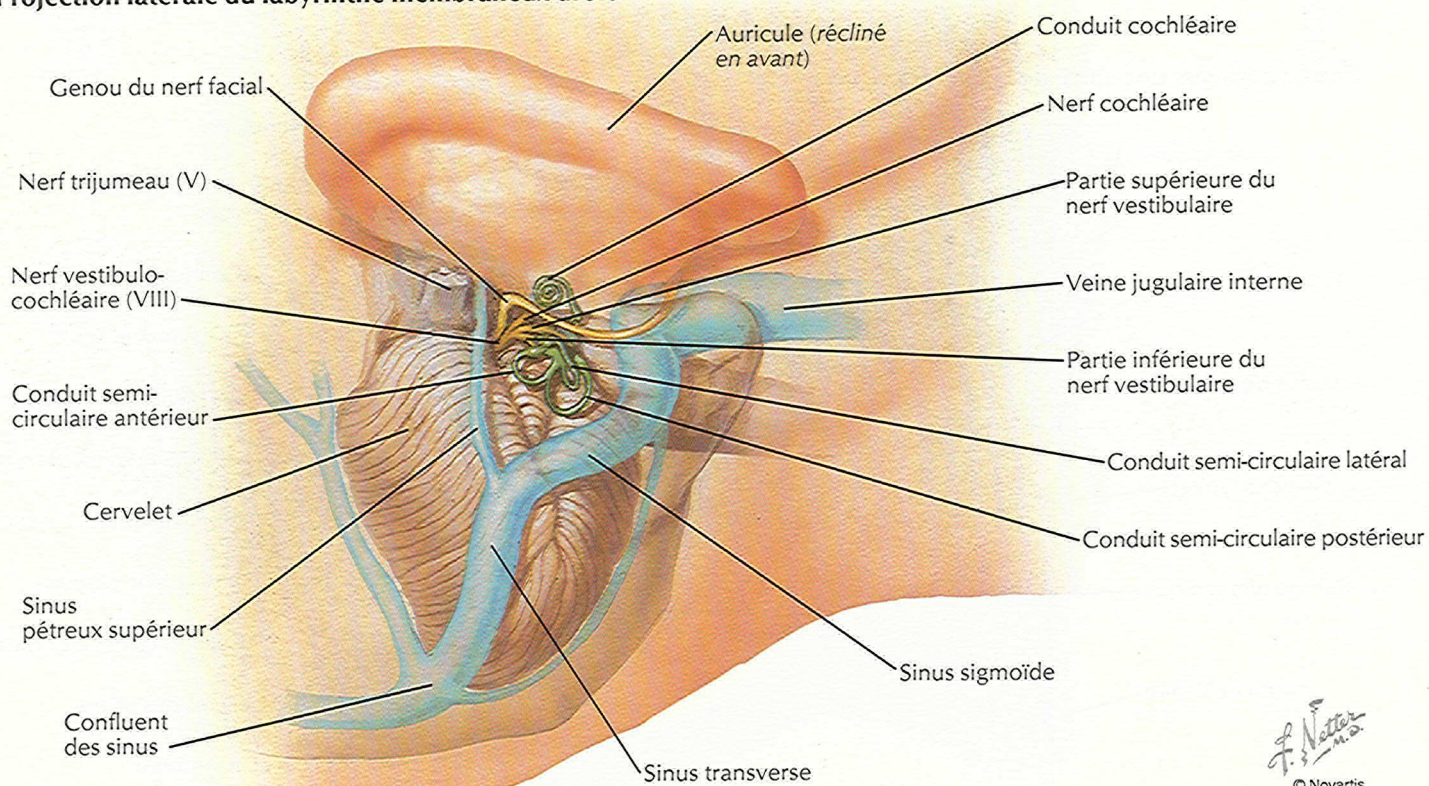


Orientation du labyrinthe dans le crâne

Projection du labyrinthe osseux droit sur la base interne du crâne

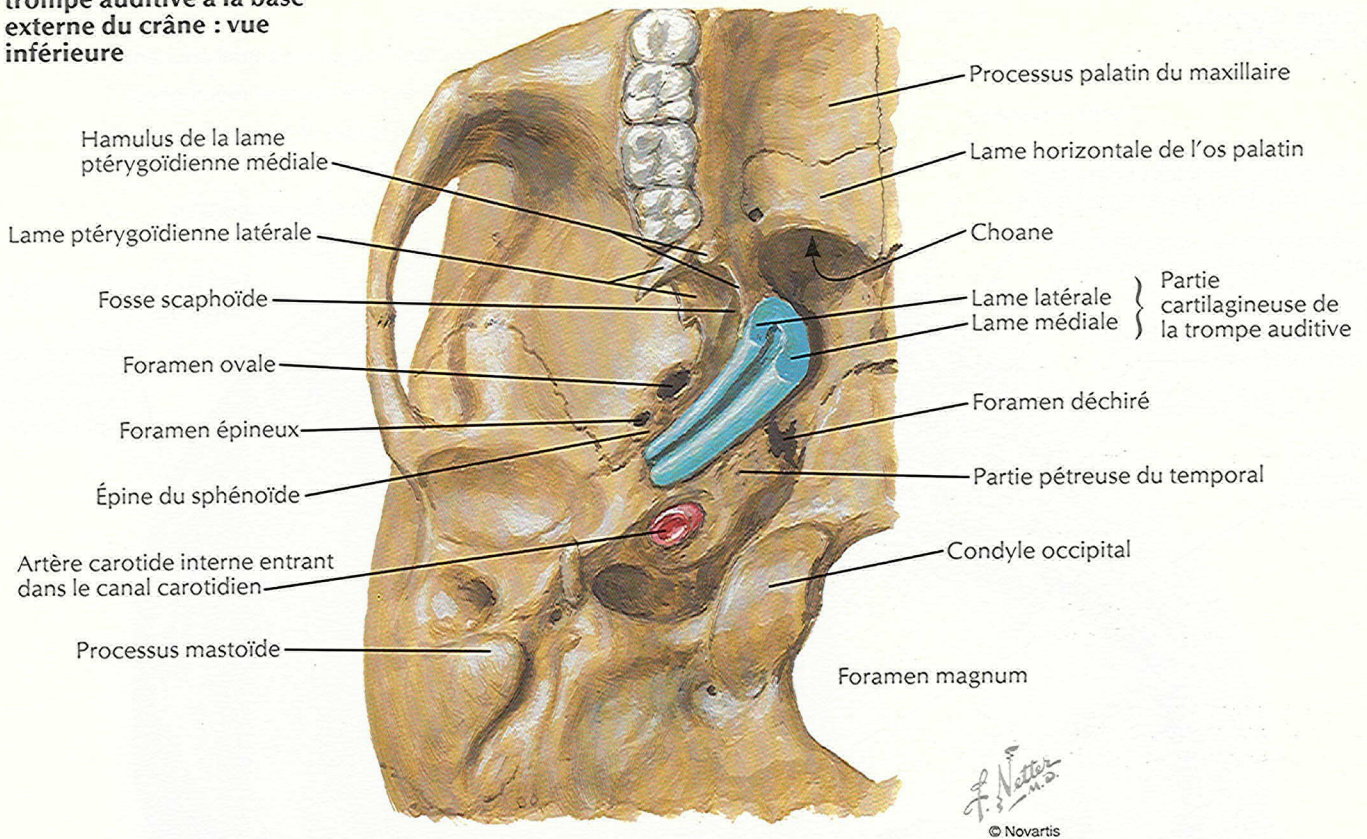


Projection latérale du labyrinthe membraneux droit

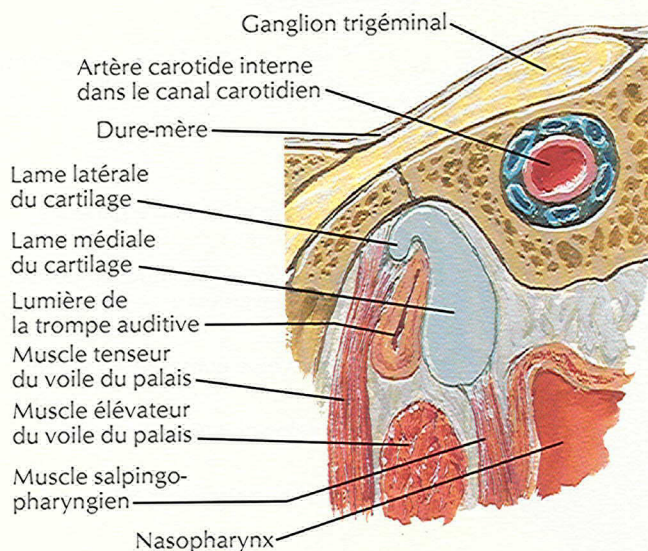


F. Natter
© Novartis

Partie cartilagineuse de la trompe auditive à la base externe du crâne : vue inférieure

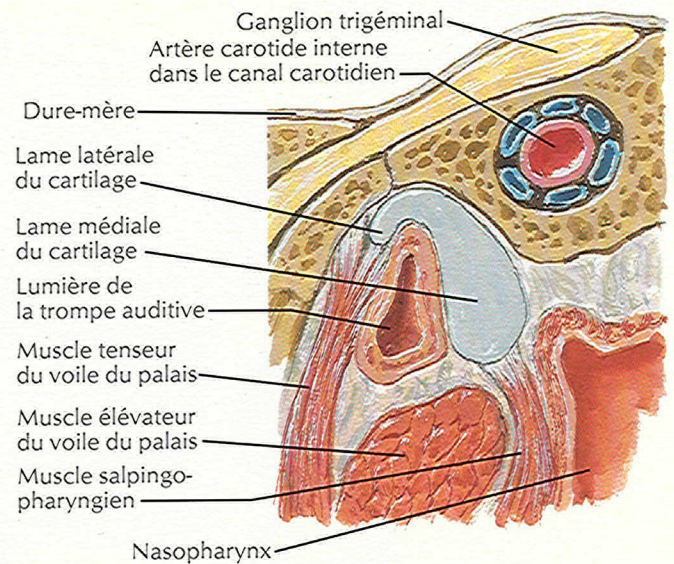


Coupe à travers la partie cartilagineuse de la trompe auditive fermée



Trompe auditive fermée par l'élasticité du cartilage, la turgescence des tissus et la contraction des muscles salpingo-pharyngiens

Coupe à travers la partie cartilagineuse de la trompe auditive ouverte



Lumière ouverte principalement quand l'insertion du muscle tenseur du voile du palais attire la paroi de la trompe latéralement pendant la déglutition

VOIR AUSSI LA PLANCHE 17

Coupe coronale et dissection

Veines diploïques

Sinus sagittal supérieur

Veine émissaire

Collatérales frontales et pariétales de la veine temporale superficielle

Rameaux frontal et pariétal de l'artère temporale superficielle

Fossette granulaire contenant une granulation arachnoïdienne

Lacune veineuse

Sinus sagittal inférieur

Granulation arachnoïdienne

Veine cérébrale parcourant l'espace subdural pour entrer dans le sinus

Dure-mère (couches périostées et méningées)

Espace épidural (siège de l'hématome épidural)

Arachnoïde

Espace subarachnoïdien

Pie-mère

Artère et veine méningées moyennes

Artère et veines temporales profondes, moyennes et superficielles

Veines thalamo-striées supérieures et choroïdiennes, veines cérébrales internes, et plexus choroïde du ventricule latéral

Veines diploïques et émissaires du crâne

Veine diploïque frontale

Veine diploïque temporale antérieure

Veine émissaire pariétale

Veine diploïque temporale postérieure

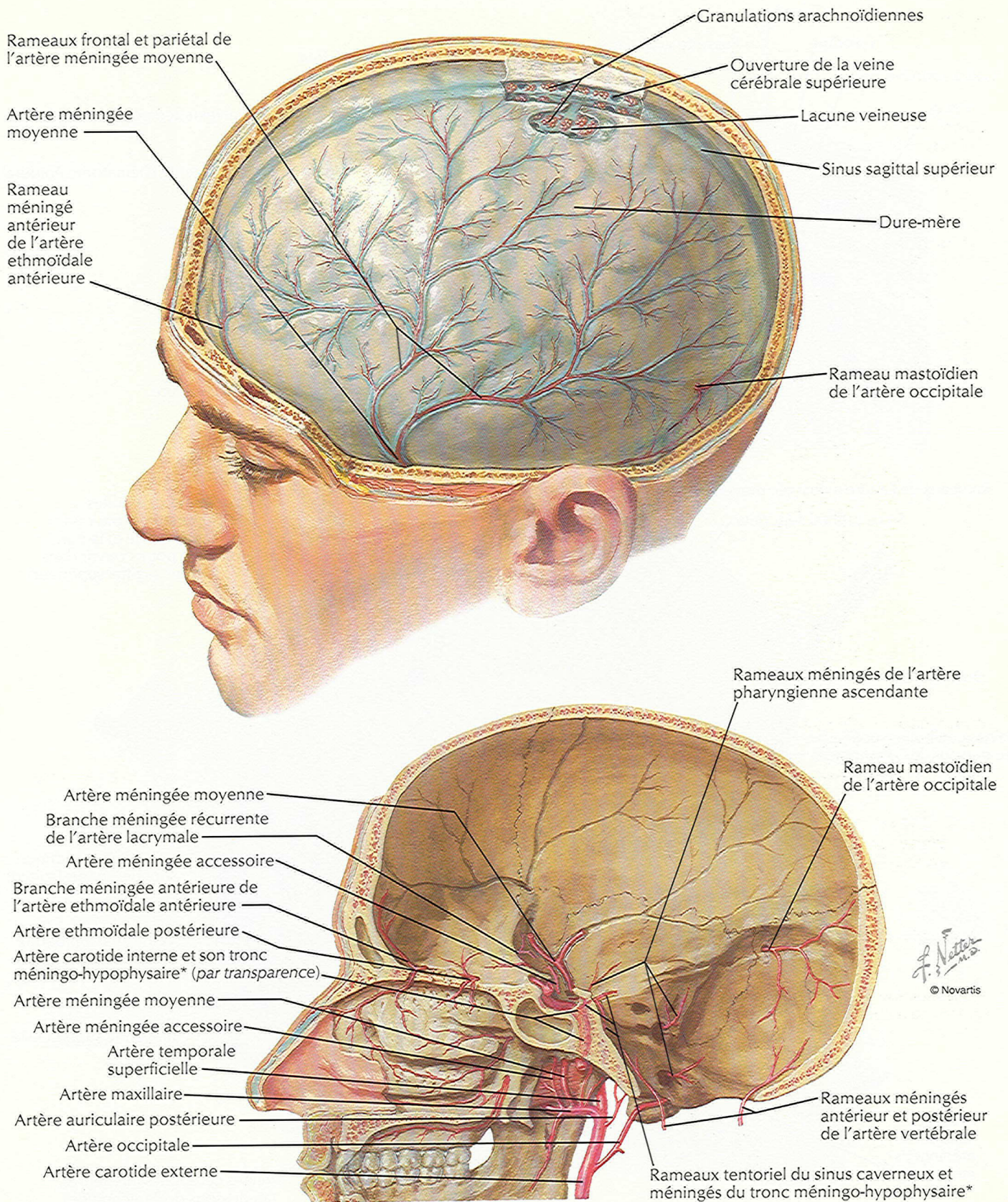
Veine émissaire occipitale

Veine diploïque occipitale

Veine émissaire mastoïdienne

Veines cérébrales moyenne profonde et moyenne superficielle

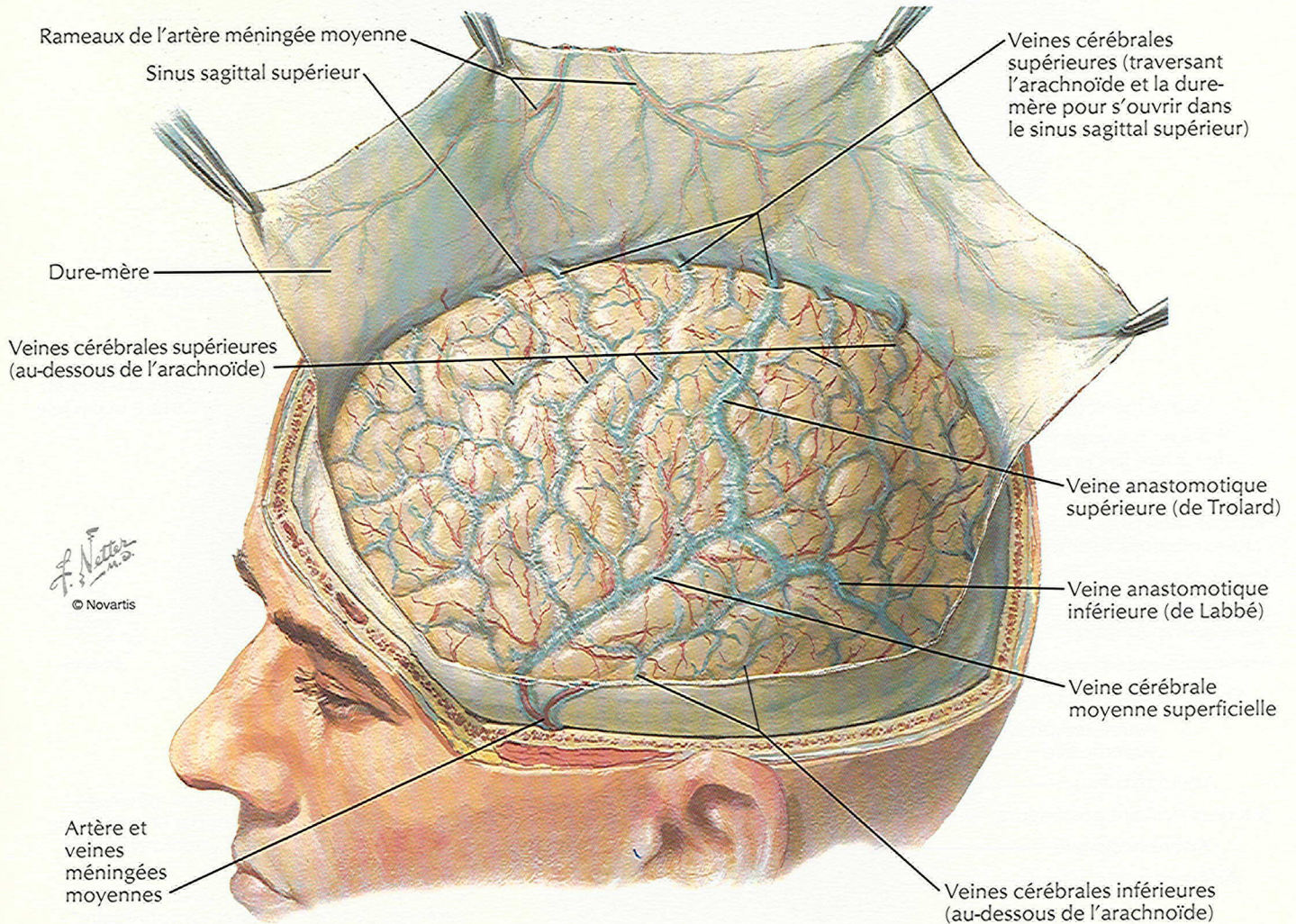
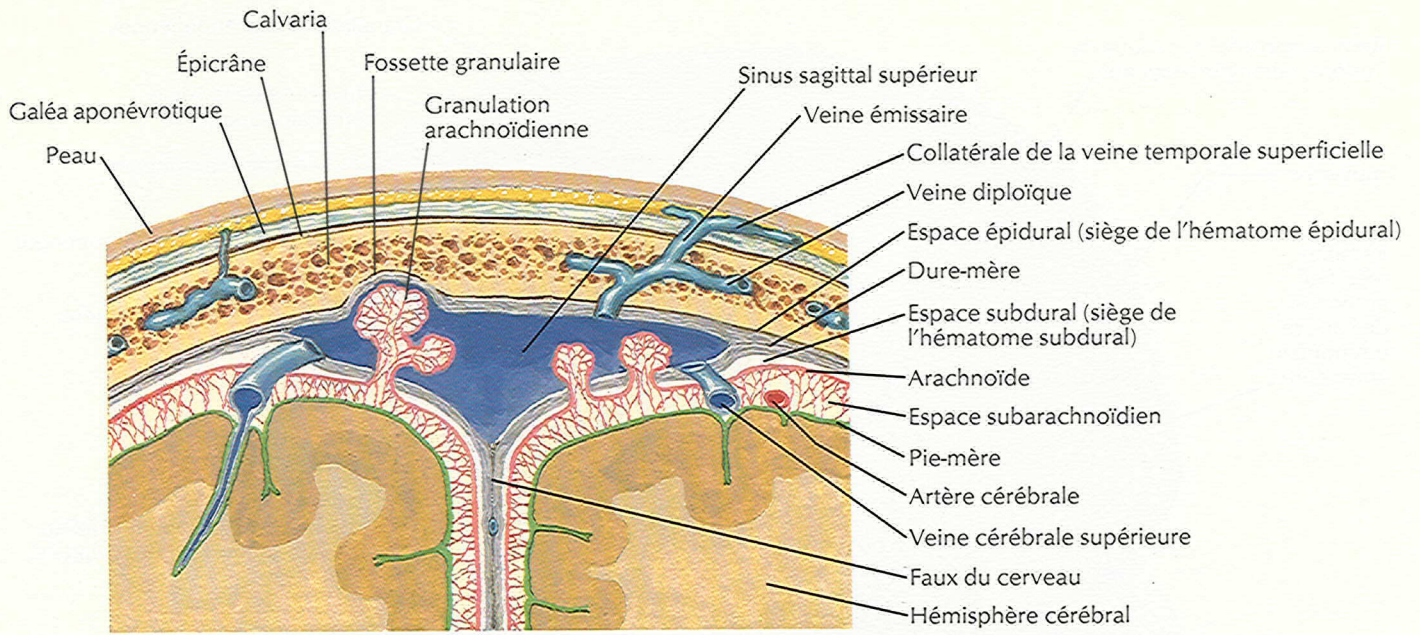
F. Netter M.D.
© Novartis



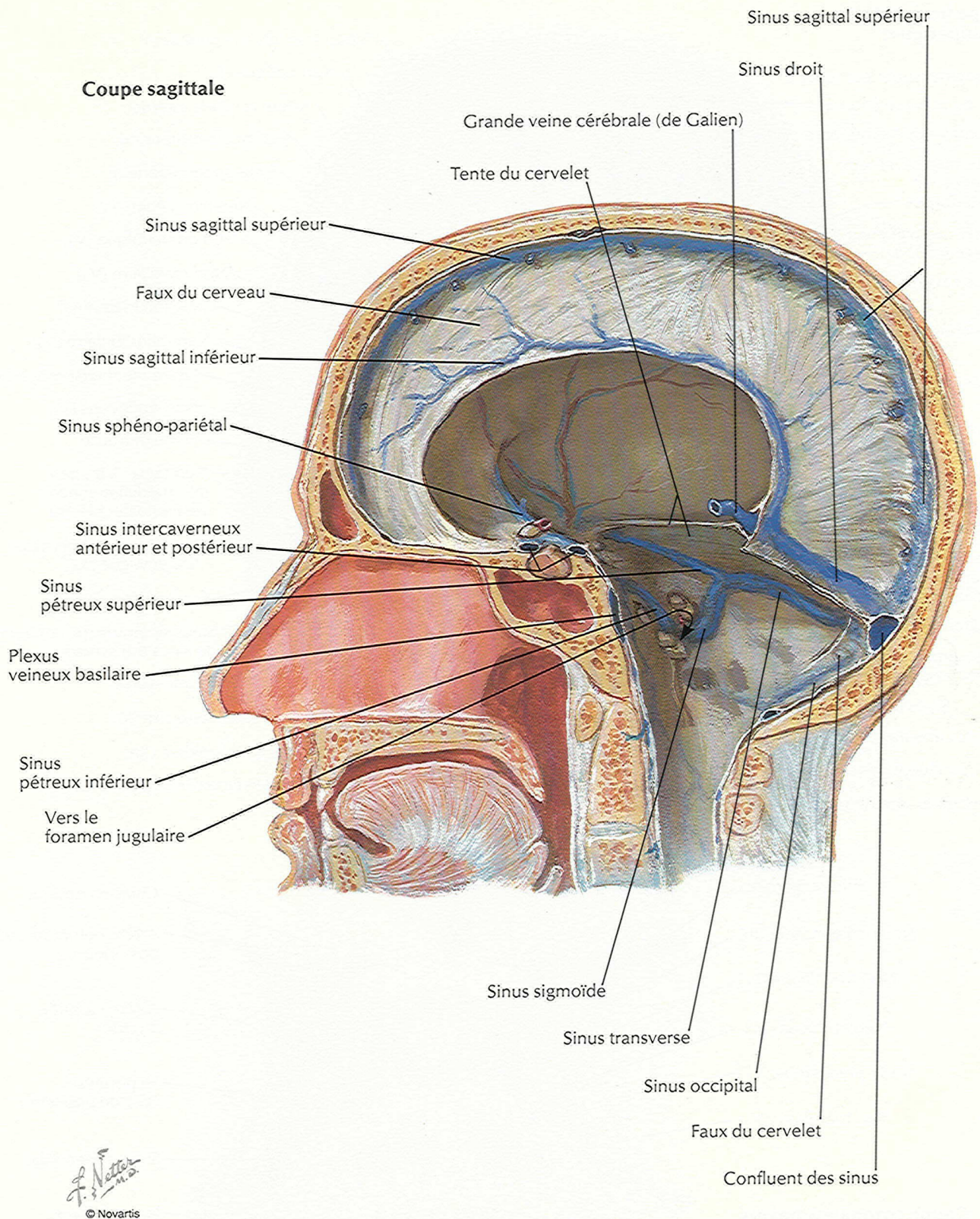
* Variation : plus fréquemment, ces branches naissent directement de l'artère carotide interne

Méninges et veines cérébrales superficielles

POUR LES VEINES PROFONDES DU CERVEAU, VOIR LA PLANCHE 138



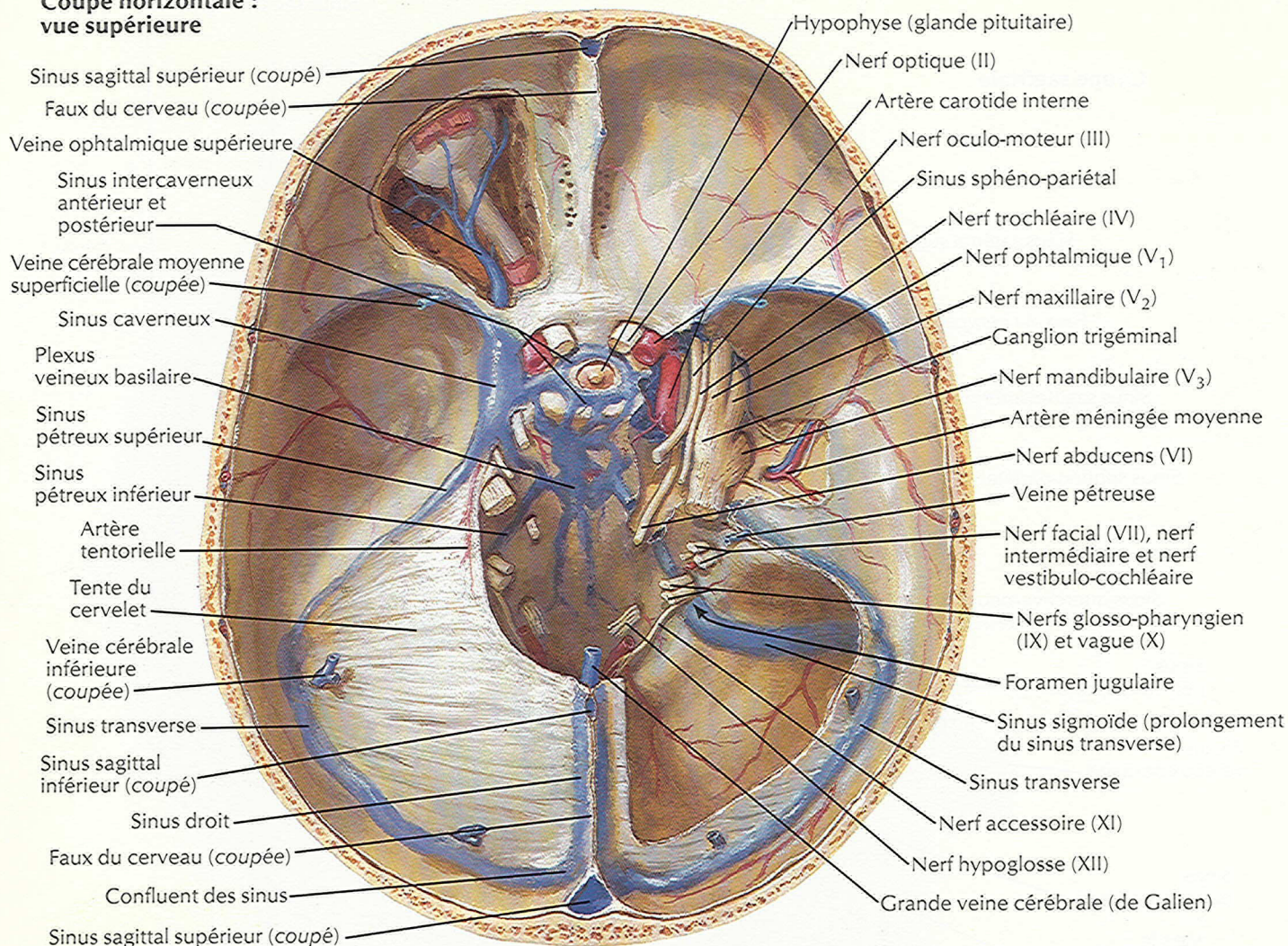
F. Netter
© Novartis



Sinus veineux de la dure-mère (suite)

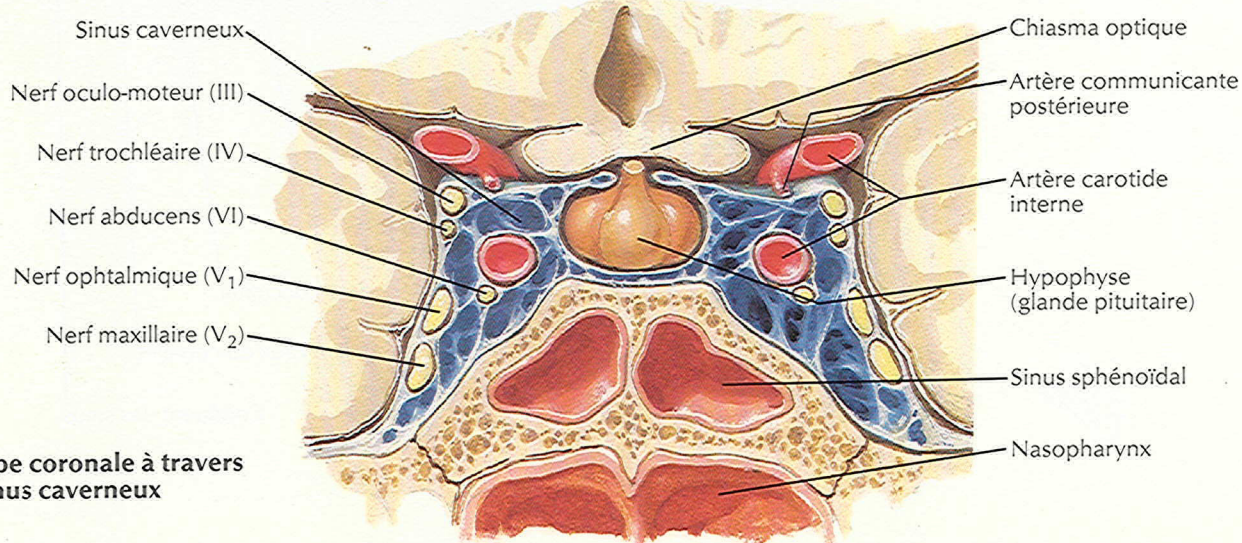
VOIR AUSSI LA PLANCHE 80

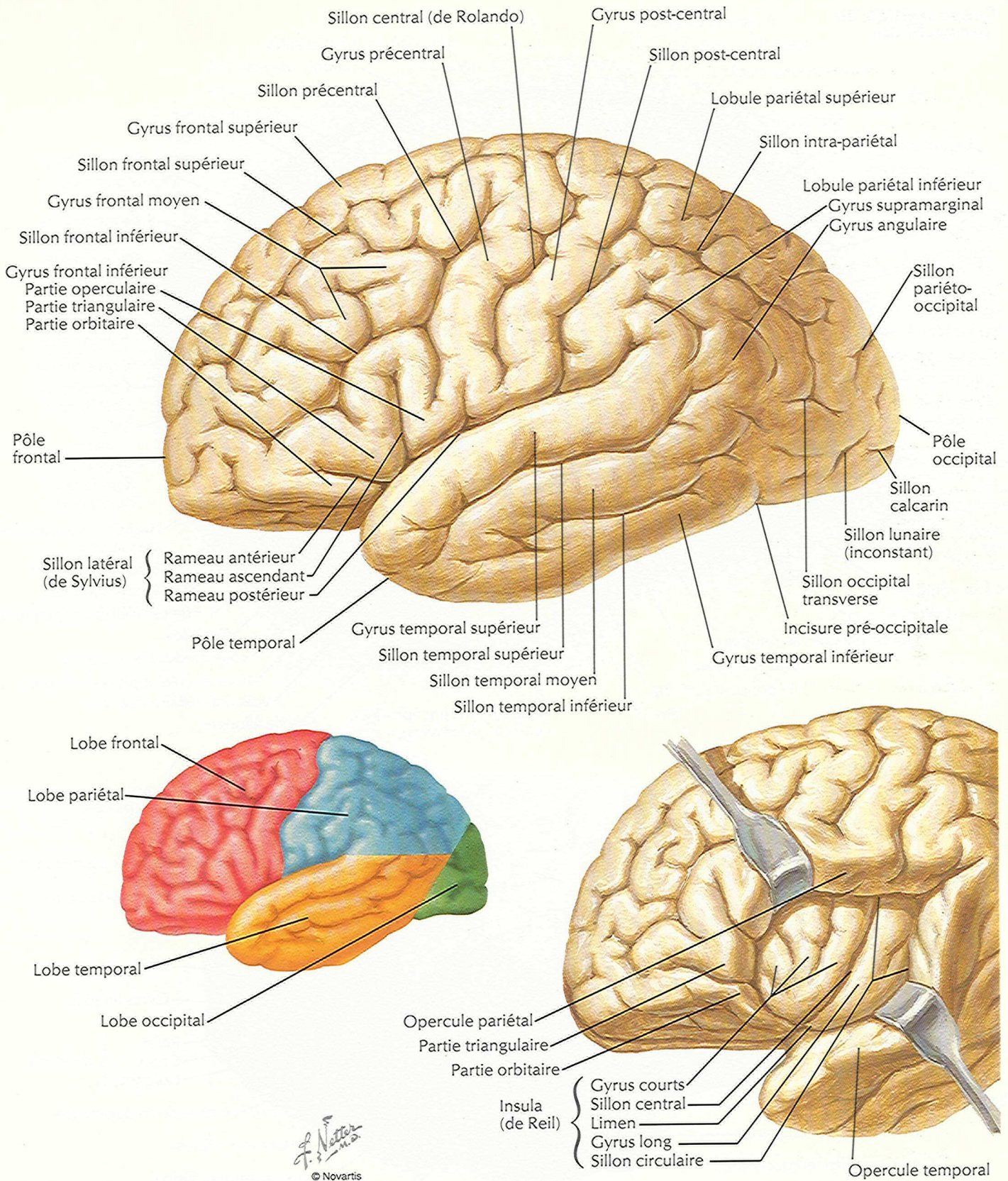
Coupe horizontale : vue supérieure



F. Netter
© Novartis

Coupe coronale à travers le sinus caverneux

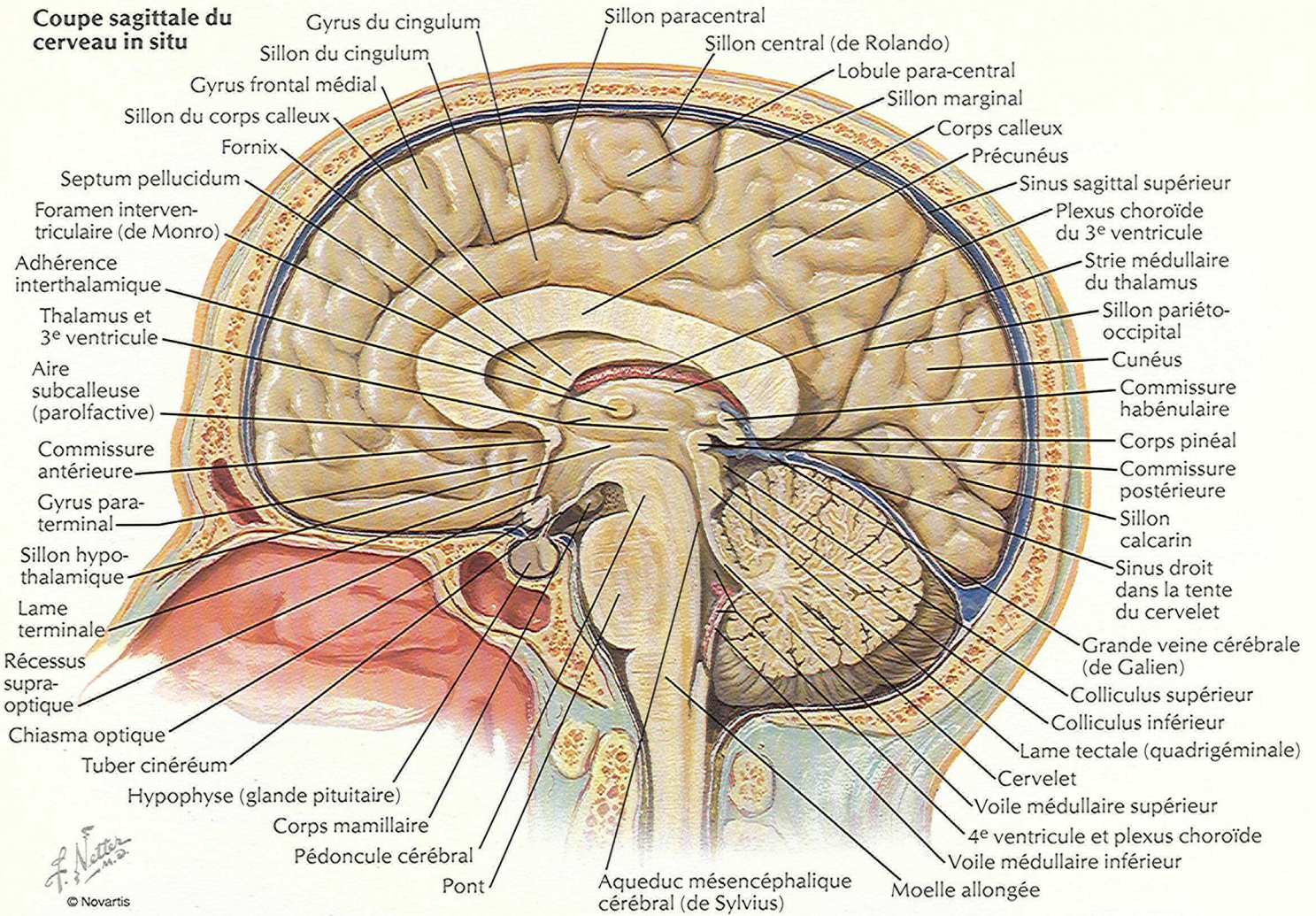




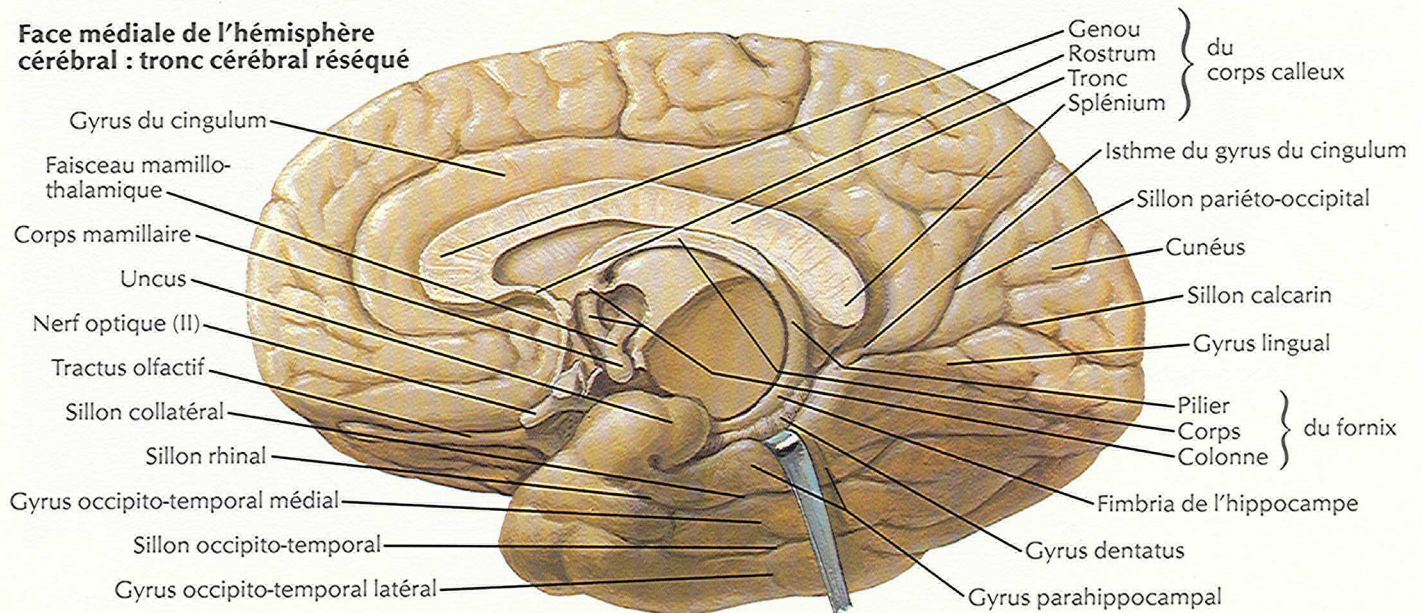
Cerveau : vues médiales

POUR L'HYPOPHYSE, VOIR LA PLANCHE 140

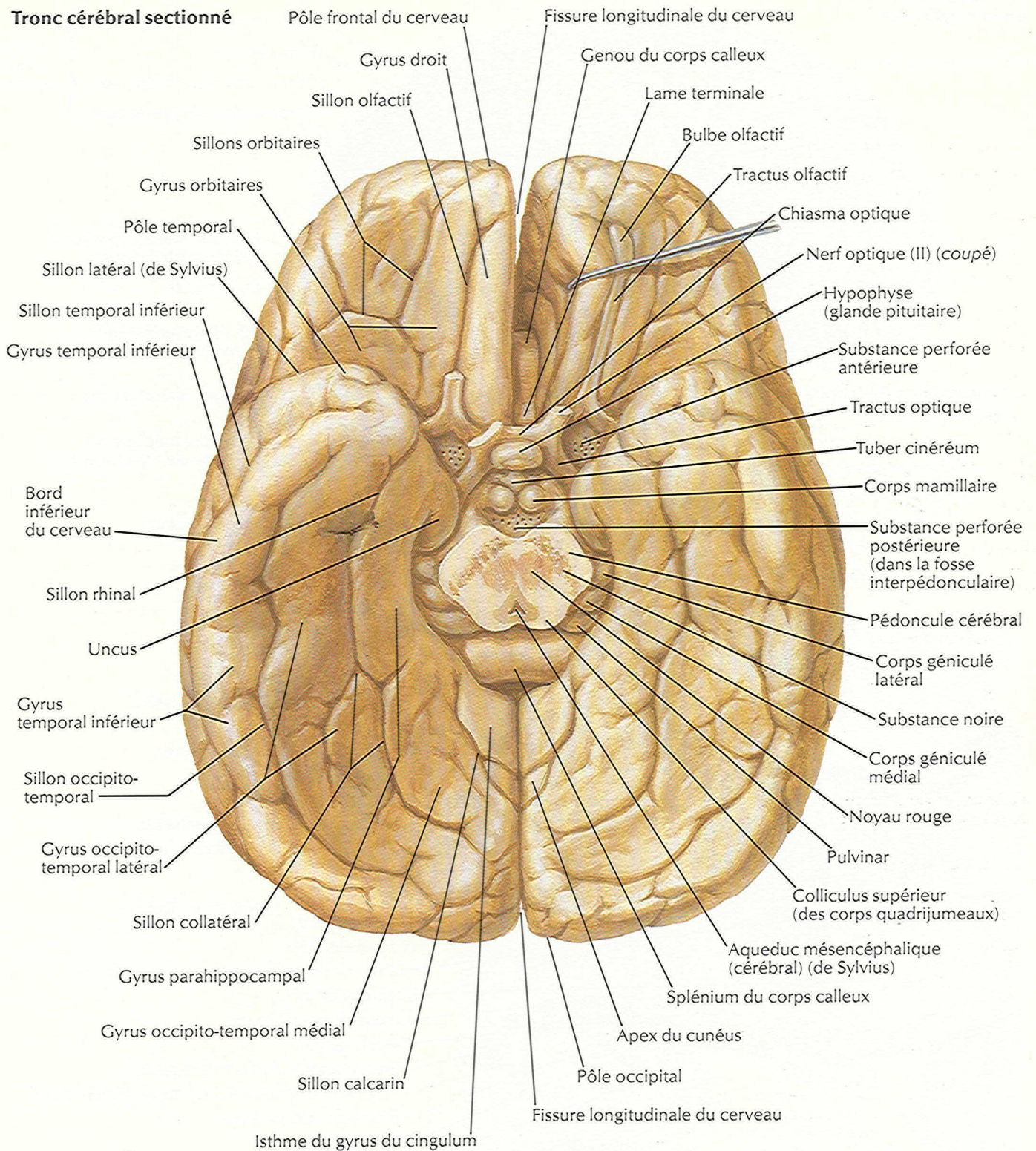
Coupe sagittale du cerveau in situ



Face médiale de l'hémisphère cérébral : tronc cérébral réséqué



Tronc cérébral sectionné

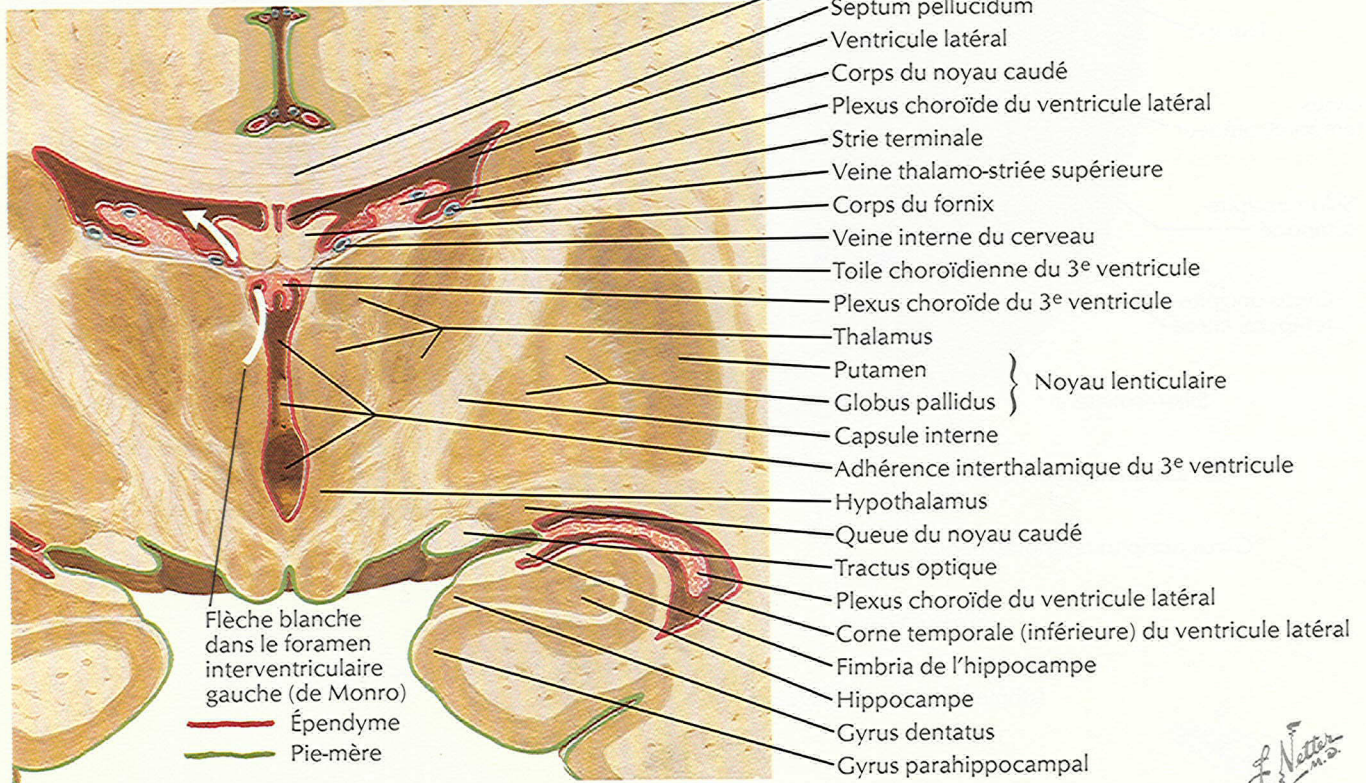
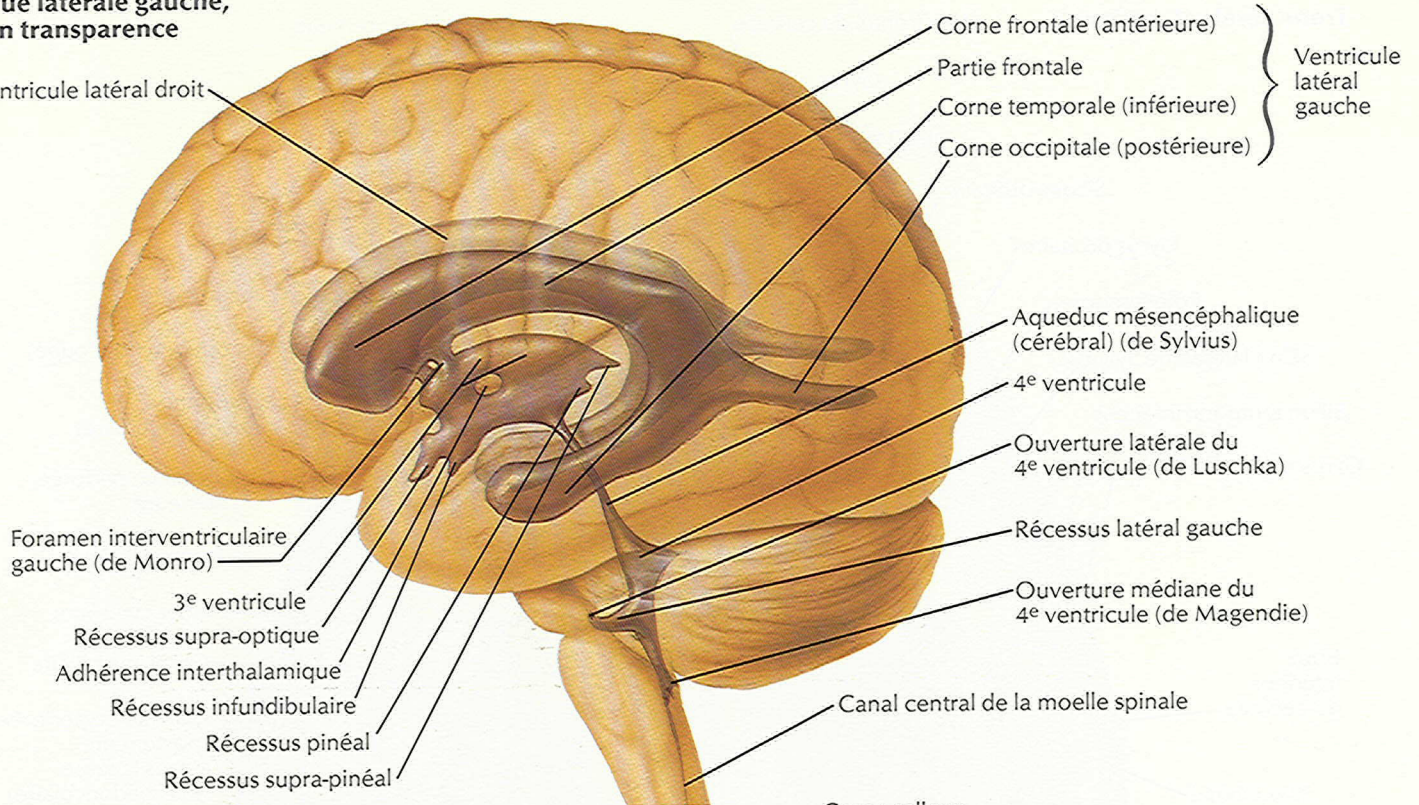


F. Netter M.D.
© Novartis

Ventricules de l'encéphale

Vue latérale gauche, en transparence

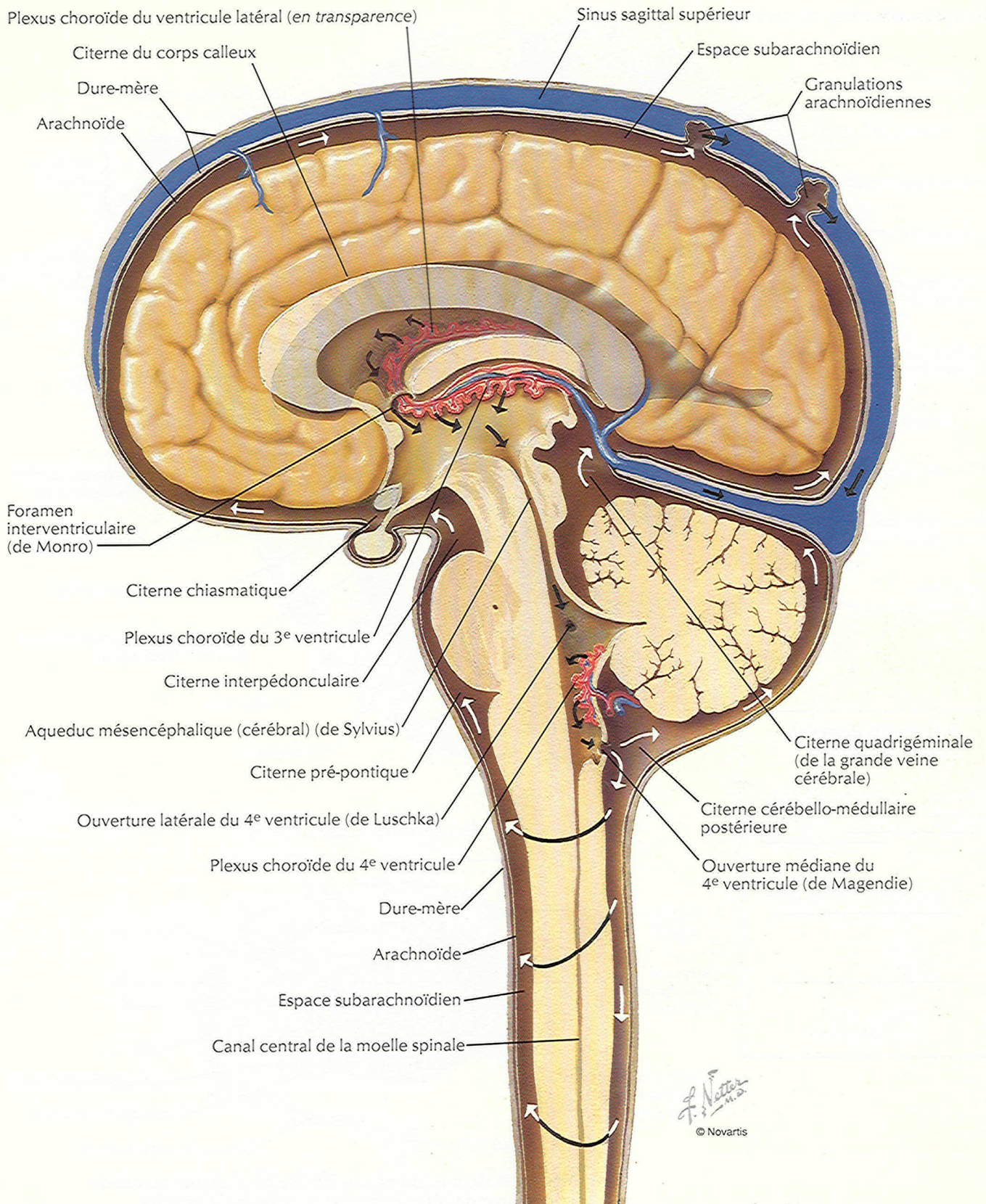
Ventricule latéral droit



Coupe frontale du cerveau : vue postérieure

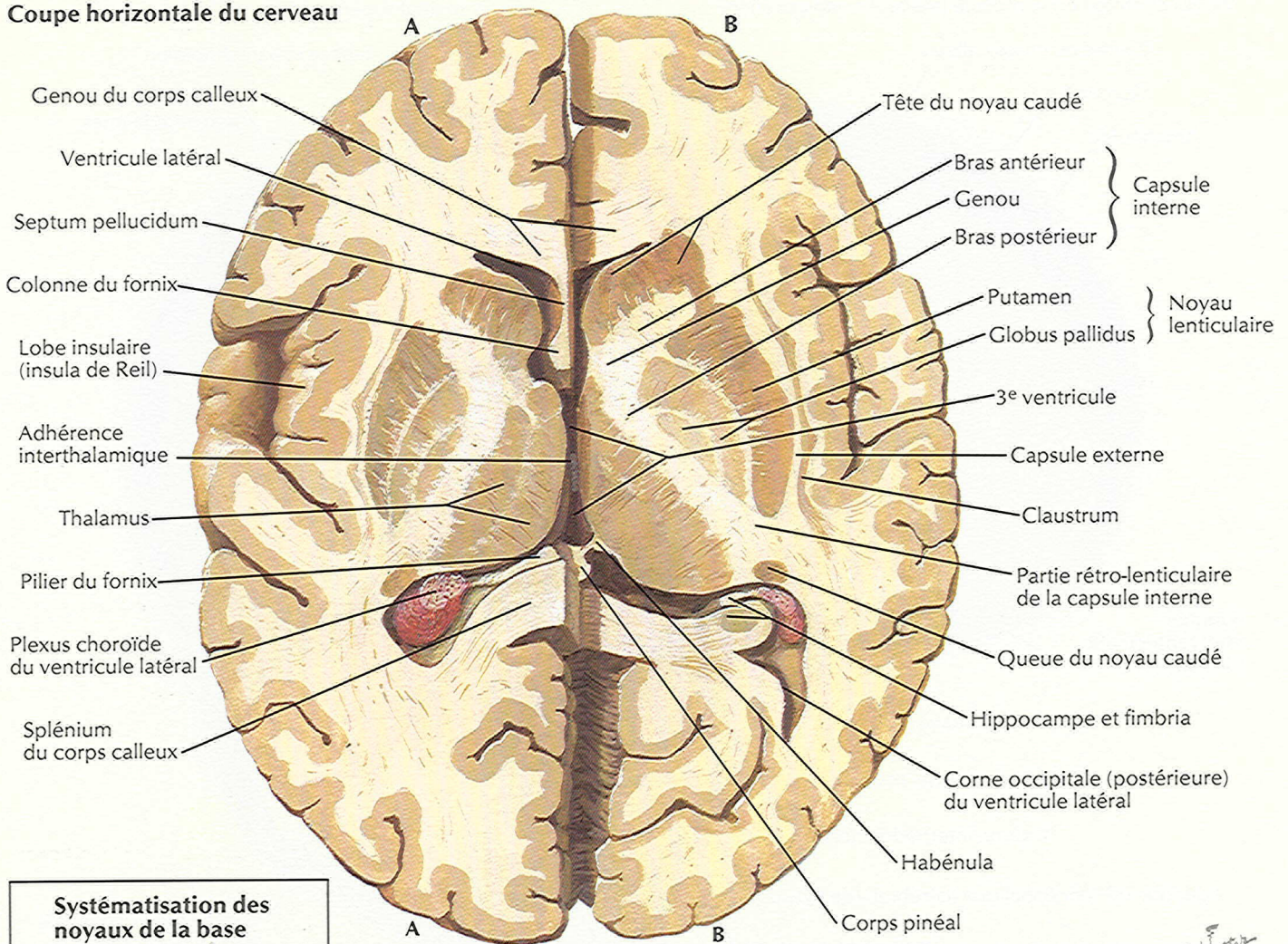
F. Netter M.D.
© Novartis

Circulation du liquide cérébro-spinal

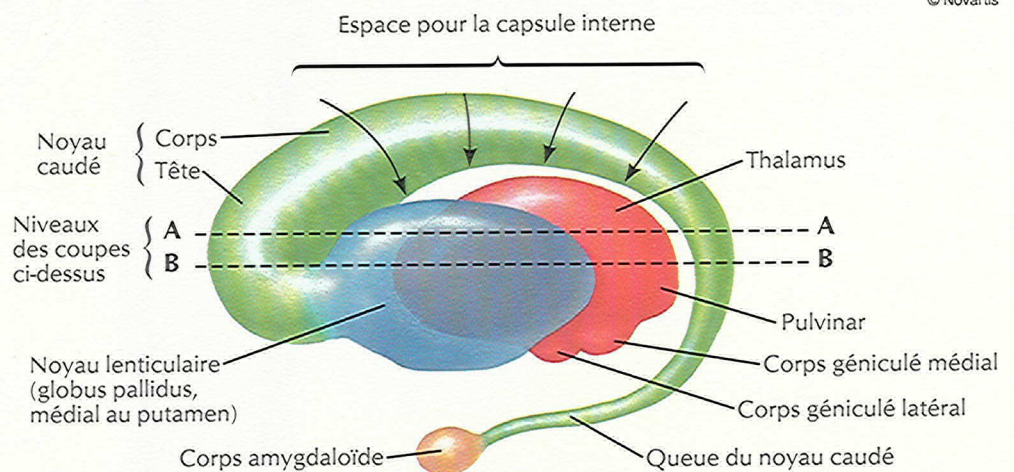
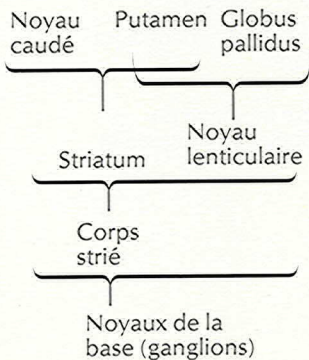


Noyaux de la base (ganglions)

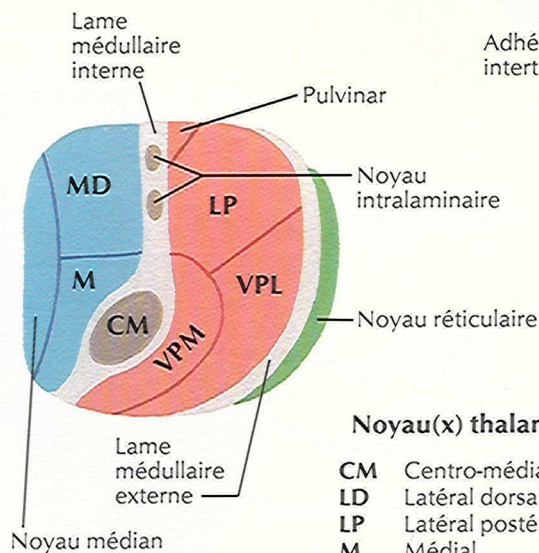
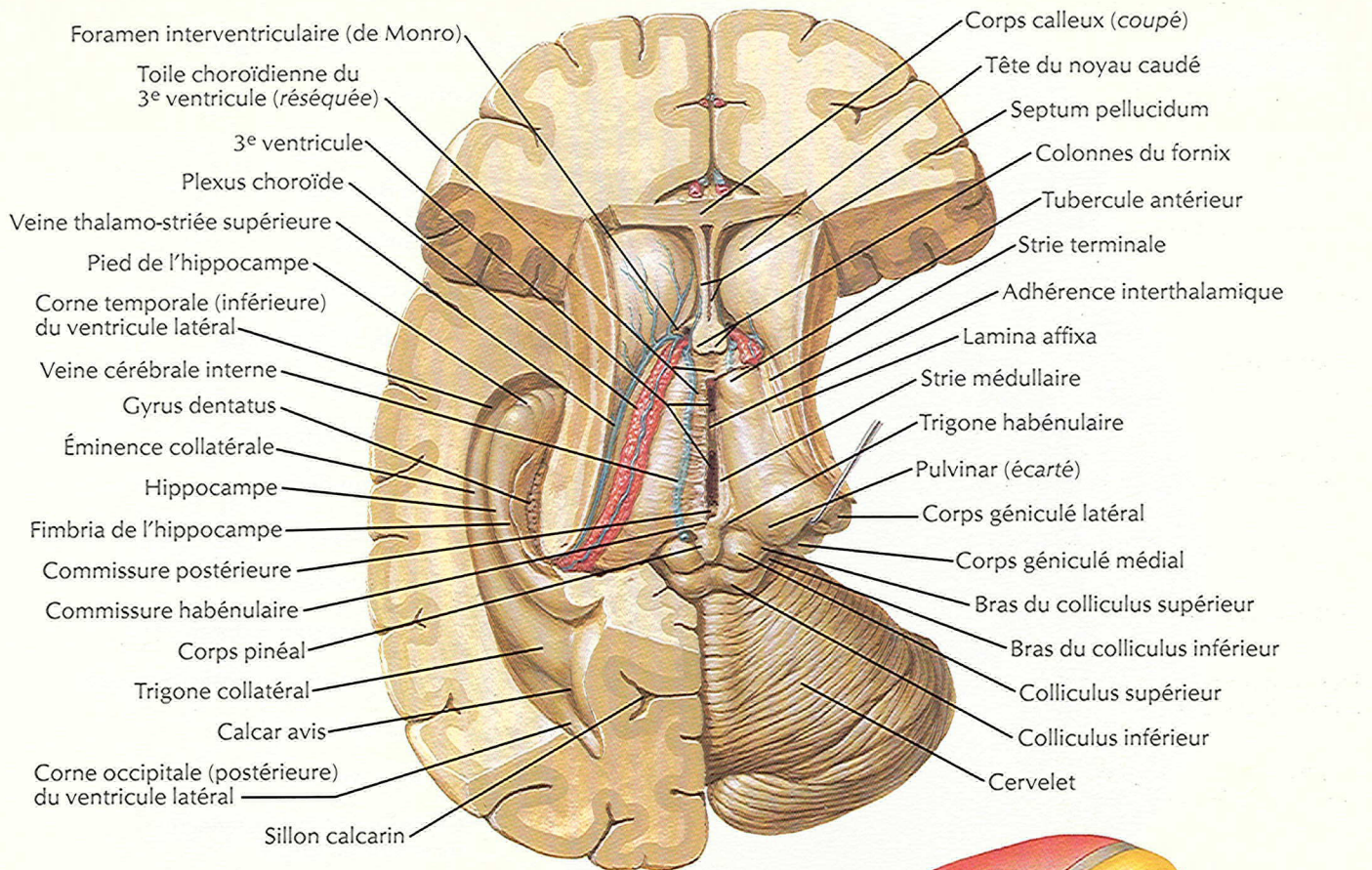
Coupe horizontale du cerveau



Systématisation des noyaux de la base



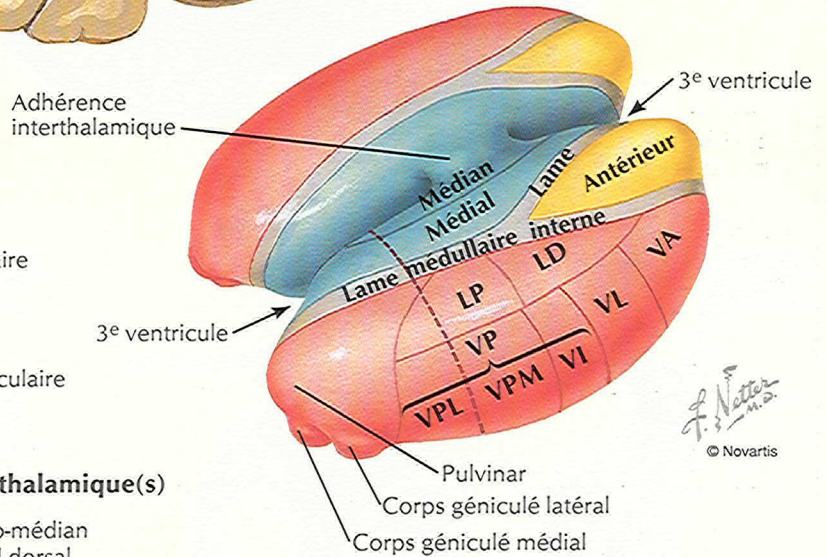
Rapports du thalamus, du noyau lenticulaire, du noyau caudé et du corps amygdaloïde (schéma) : vue latérale gauche



Coupe schématique à travers le thalamus
(au niveau du pointillé de la figure de droite)

Noyau(x) thalamique(s)

CM	Centro-médian
LD	Latéral dorsal
LP	Latéral postérieur
M	Médial
MD	Médial dorsal
VA	Ventral antérieur
VI	Ventral intermédiaire
VL	Ventral latéral
VP	Ventral postérieur
VPL	Ventral postéro-latéral
VPM	Ventral postéro-médial

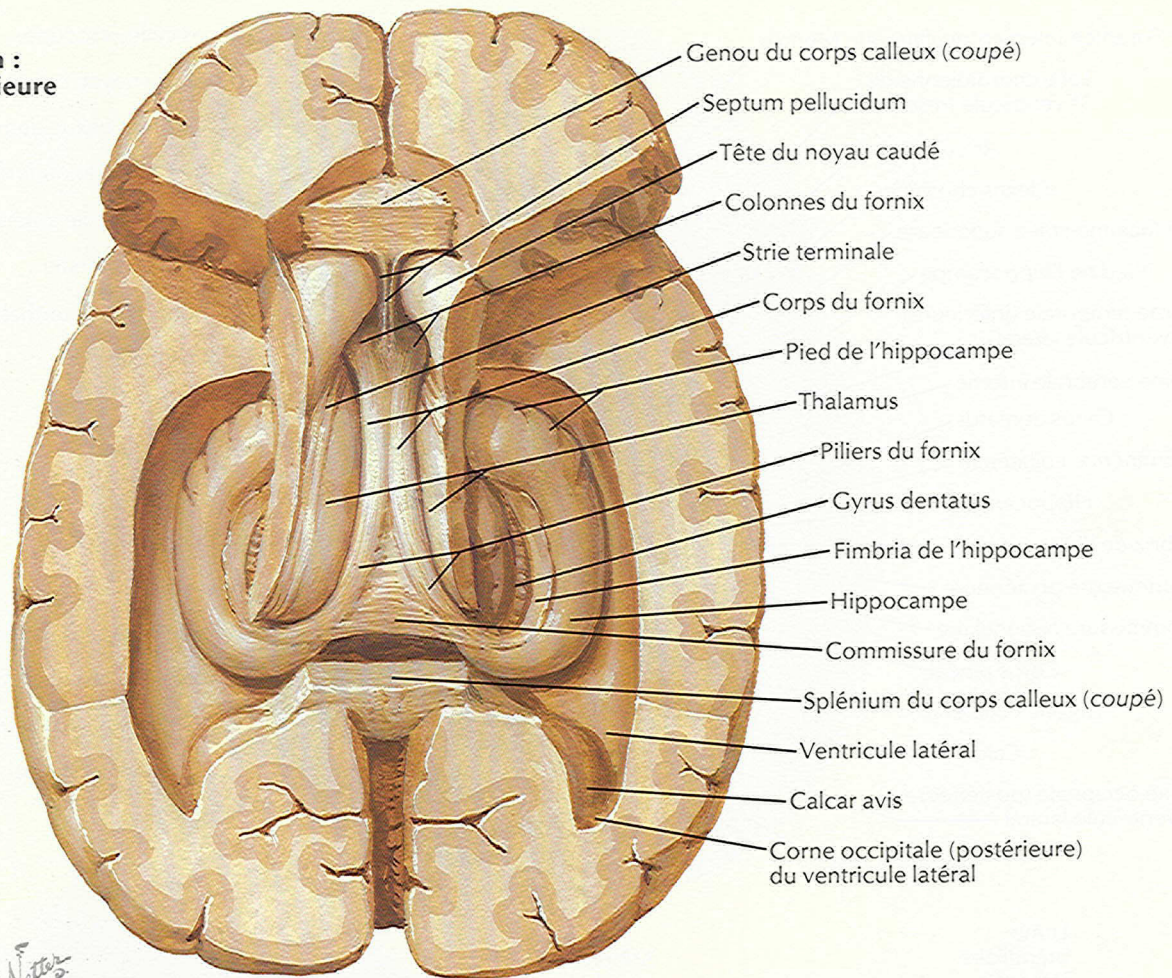


Représentation schématique du thalamus
(après résection de la lame médullaire externe et des noyaux réticulaires)

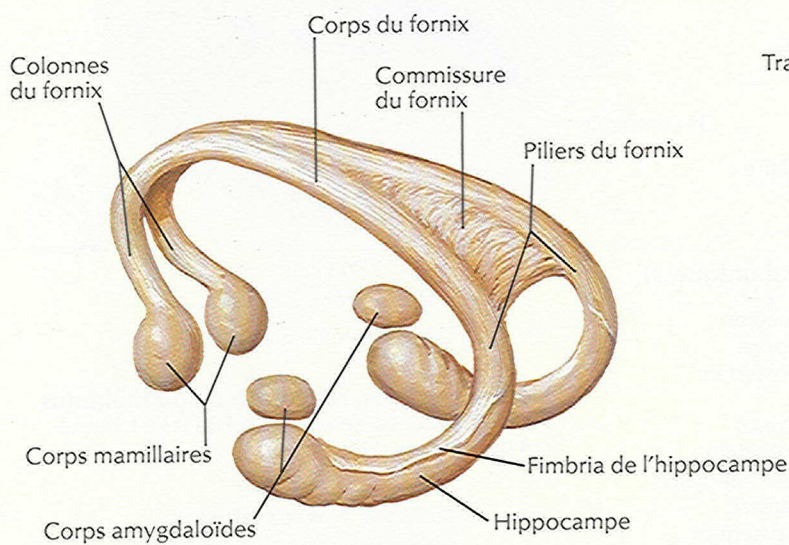
■	Noyaux latéraux
■	Noyaux médiaux
■	Noyaux antérieurs

Hippocampe et fornix

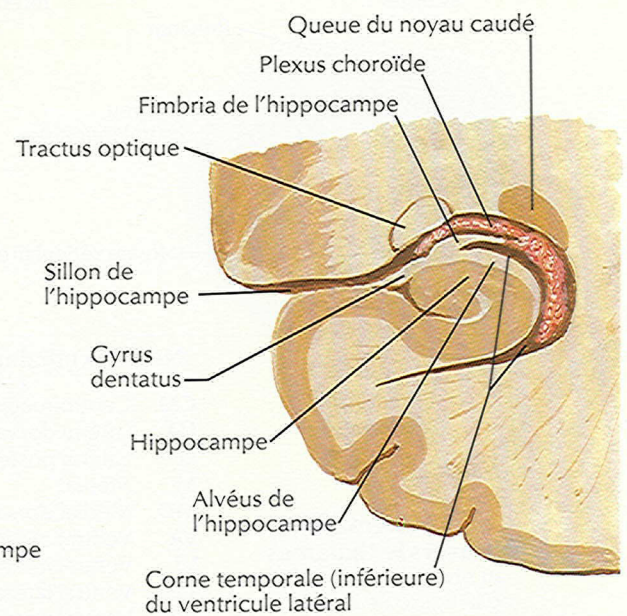
Dissection :
vue supérieure



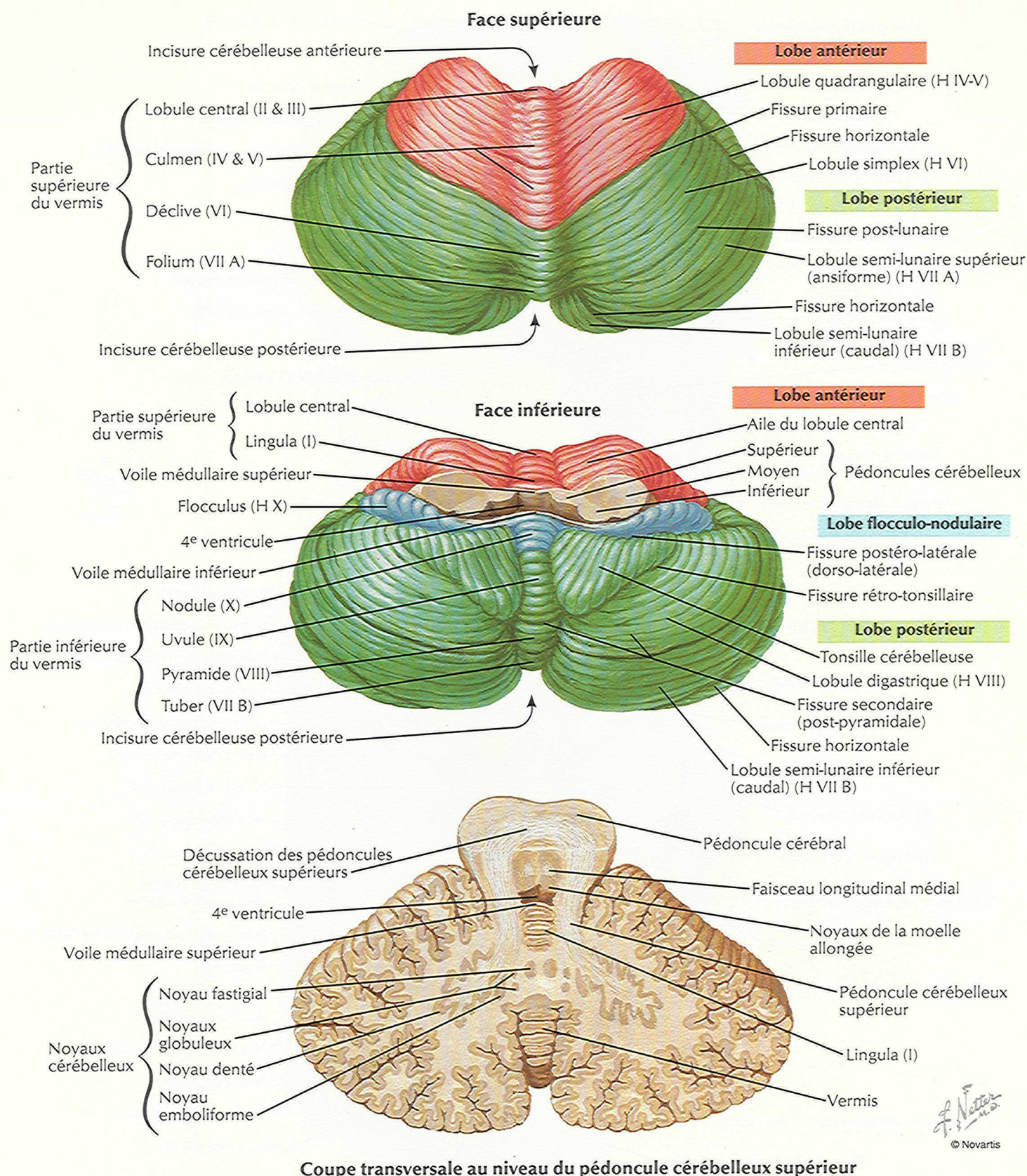
F. Natter
© Novartis



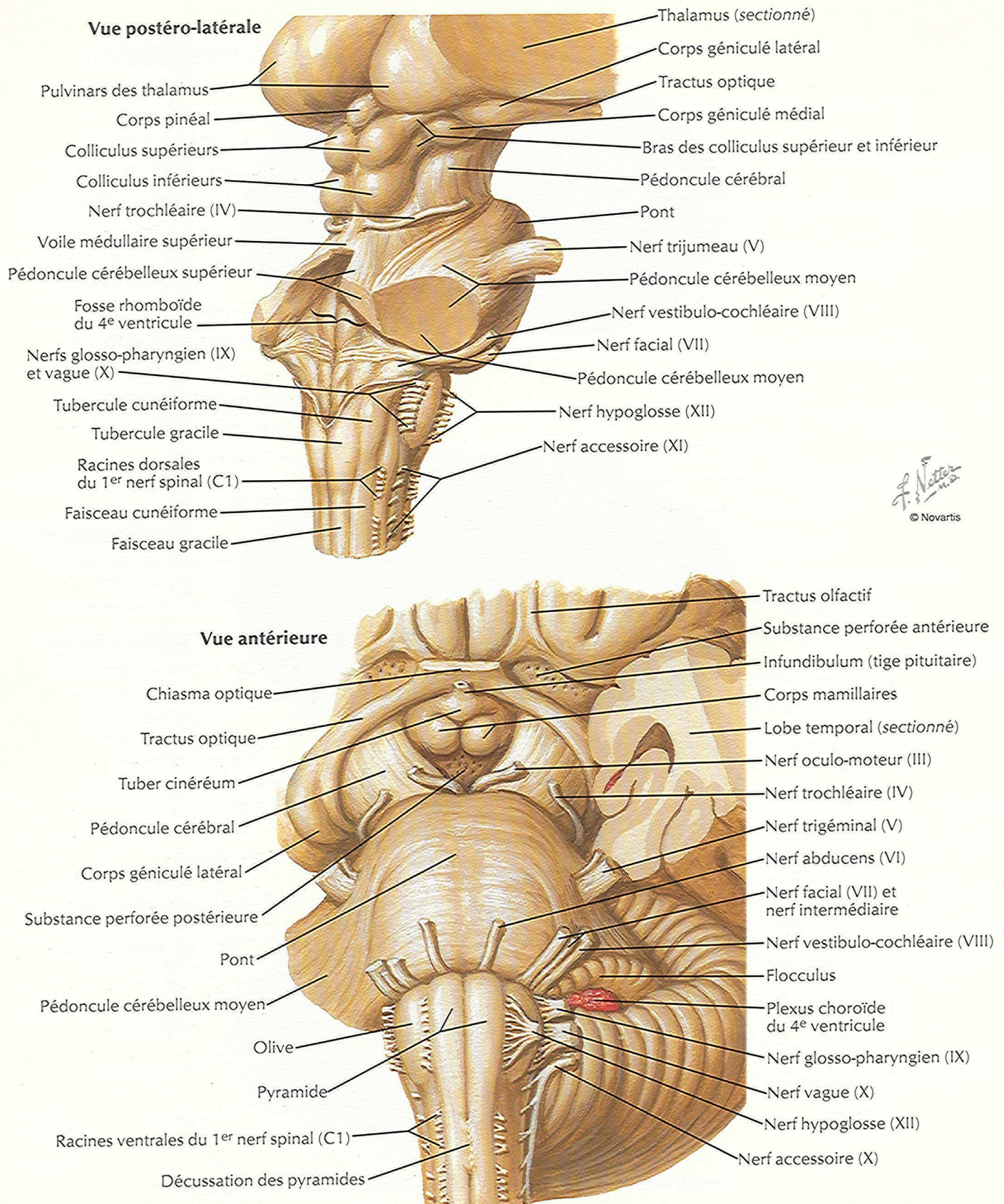
Fornix : schéma



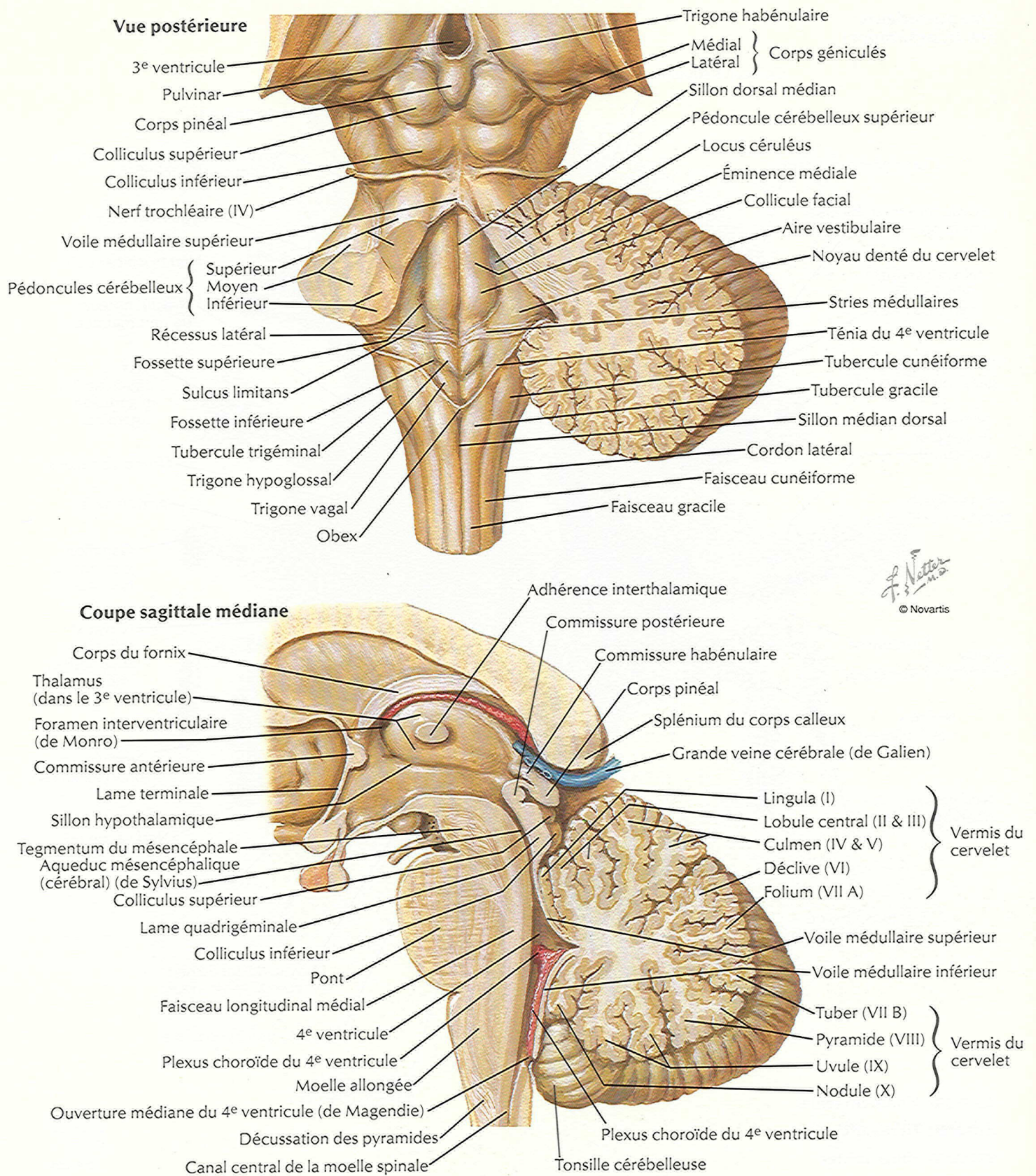
Coupe frontale : vue postérieure



Tronc cérébral

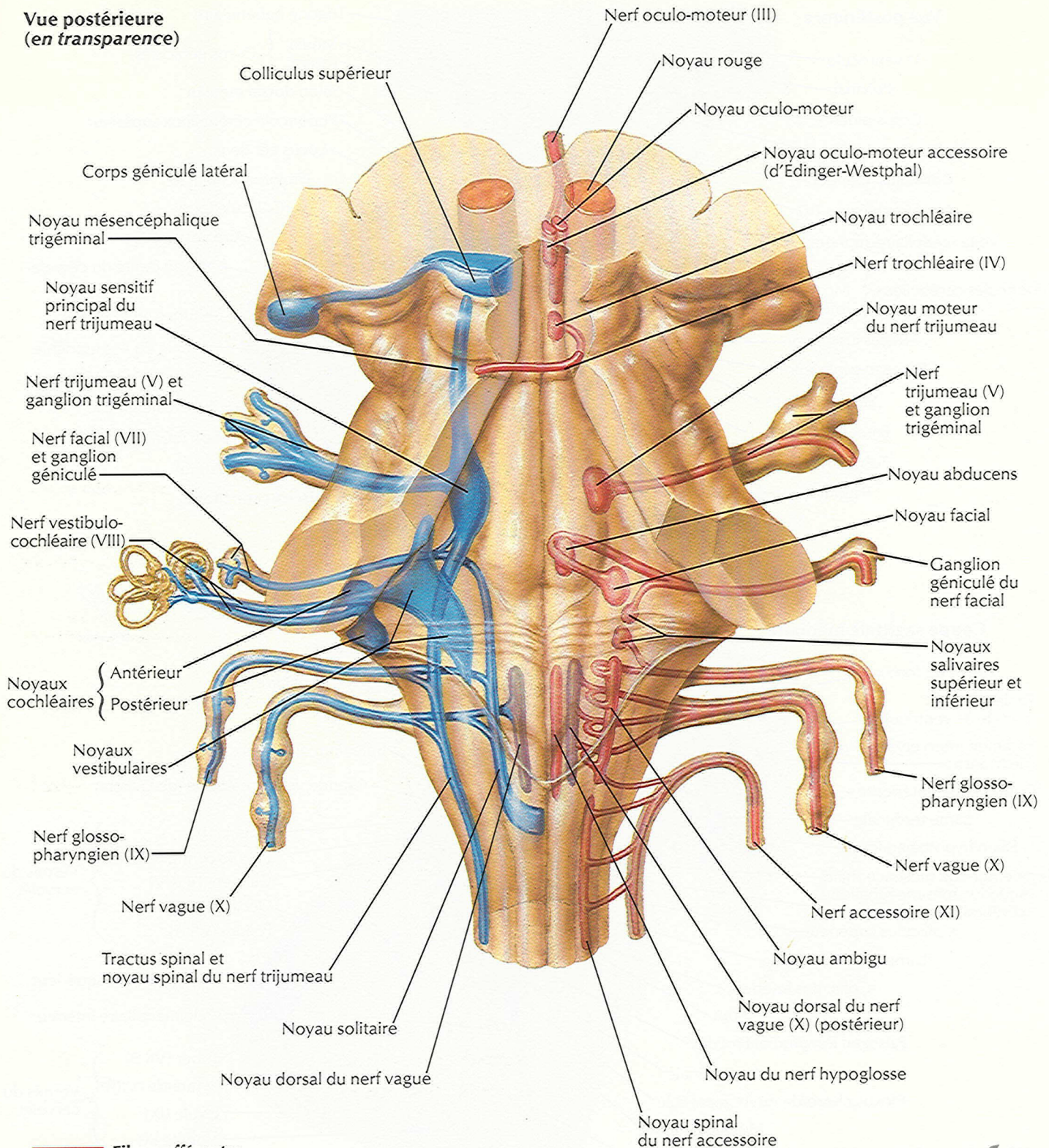


F. Netter M.D.
© Novartis



Noyaux des nerfs crâniens dans le tronc cérébral : schéma

Vue postérieure
(en transparence)

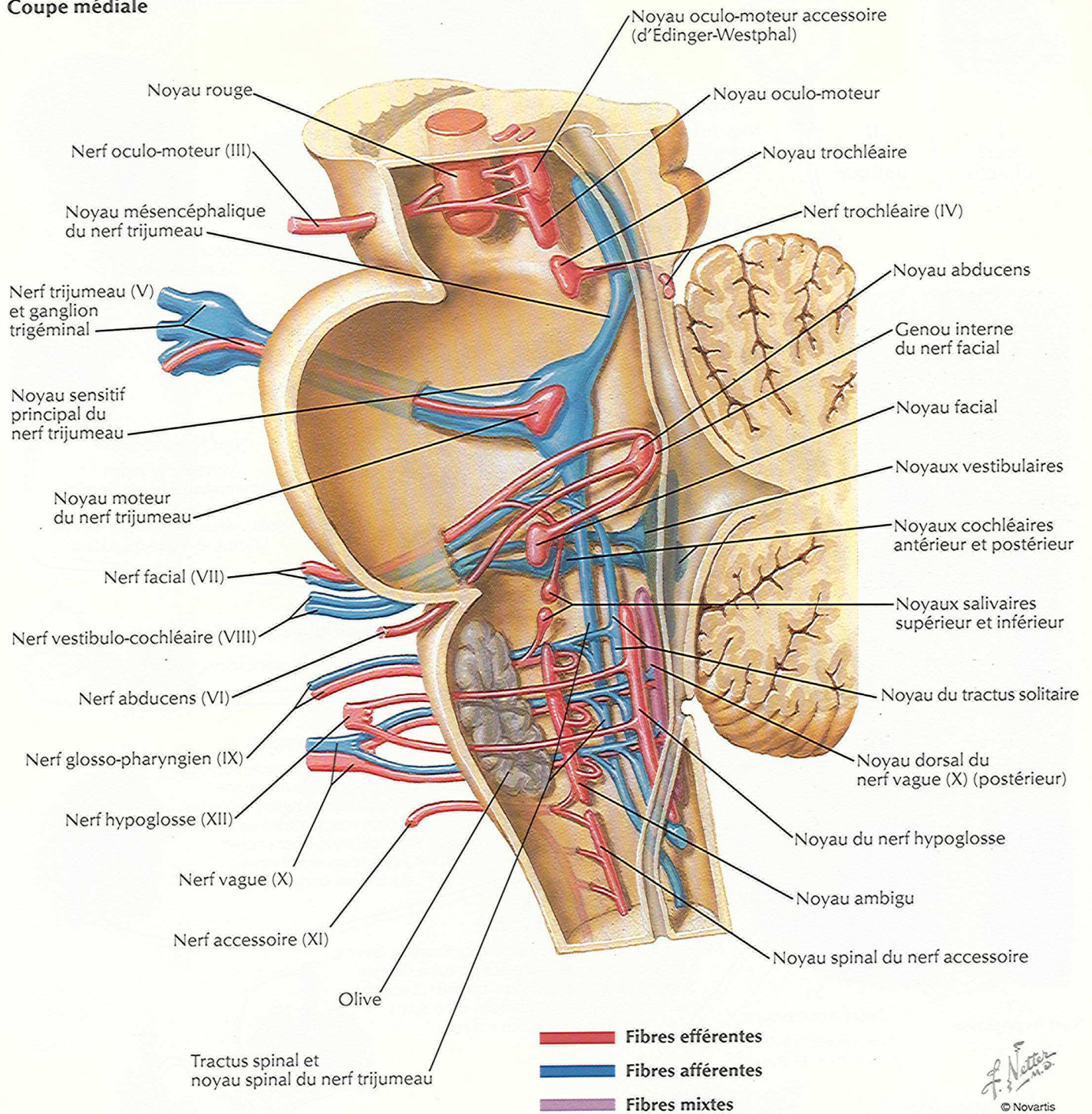


- Fibres efférentes
- Fibres afférentes
- Fibres mixtes

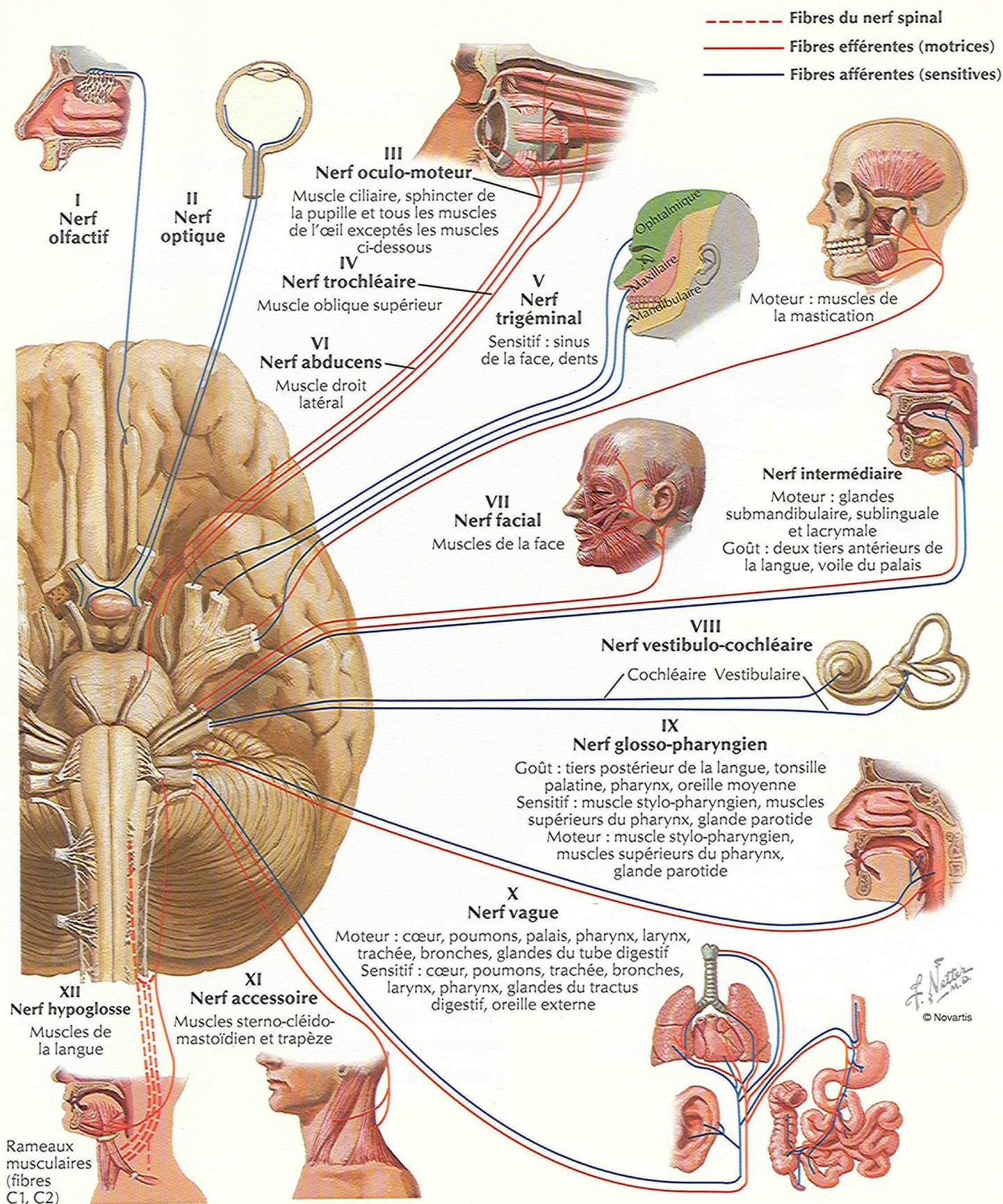
F. Netter M.D.
© Novartis

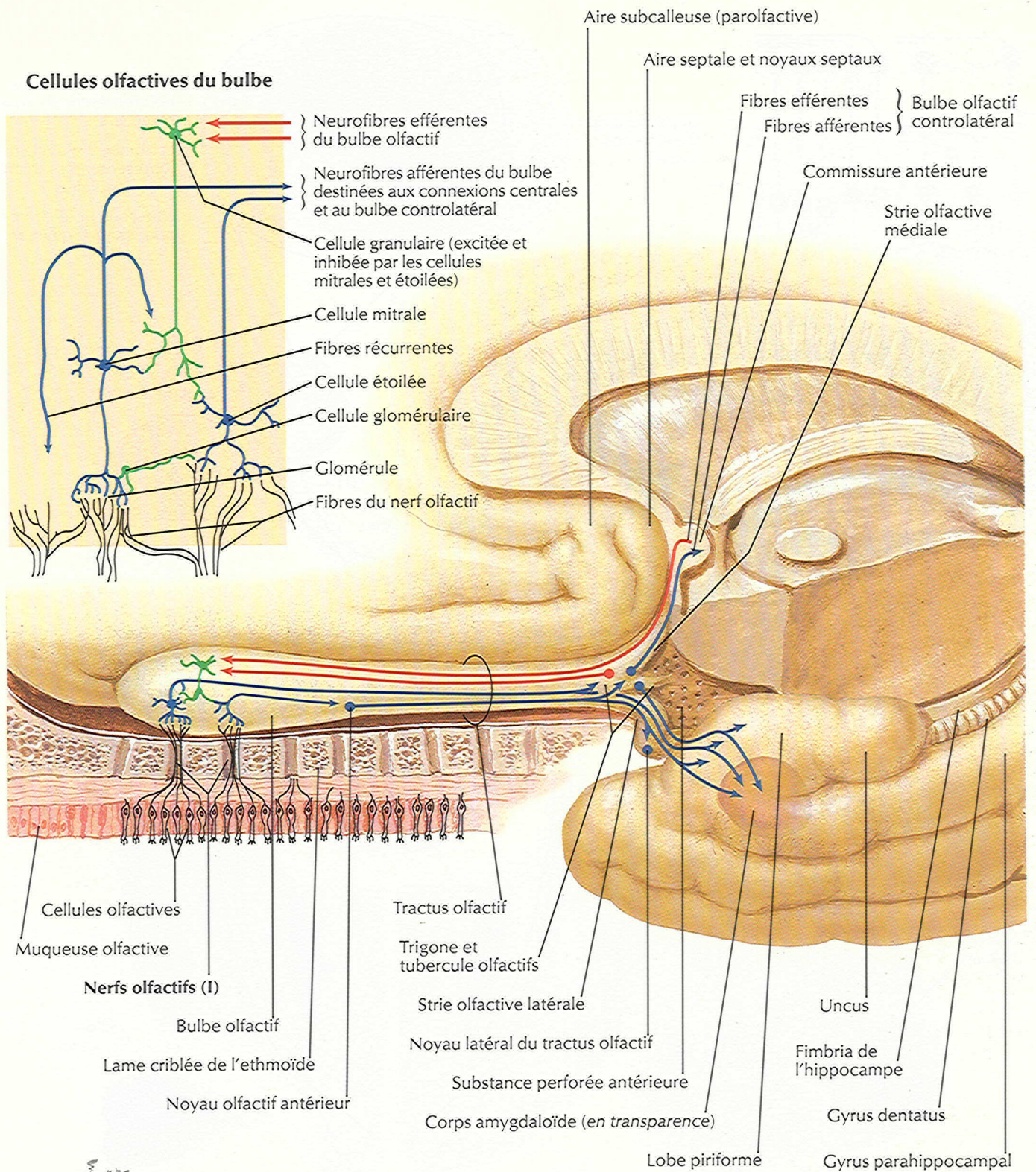
Noyaux des nerfs crâniens dans le tronc cérébral : schéma (suite)

Coupe médiale



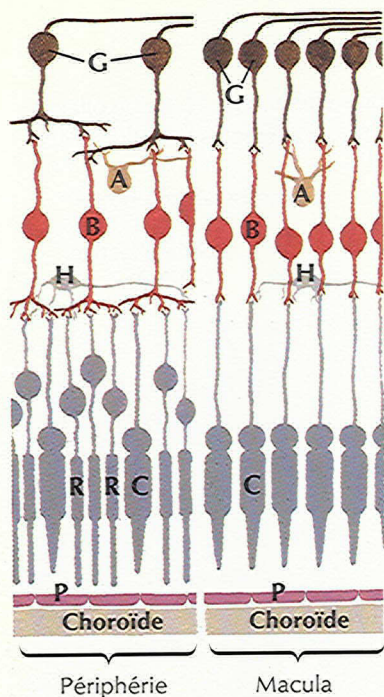
Nerfs crâniens (distribution motrice et sensitive) : schéma





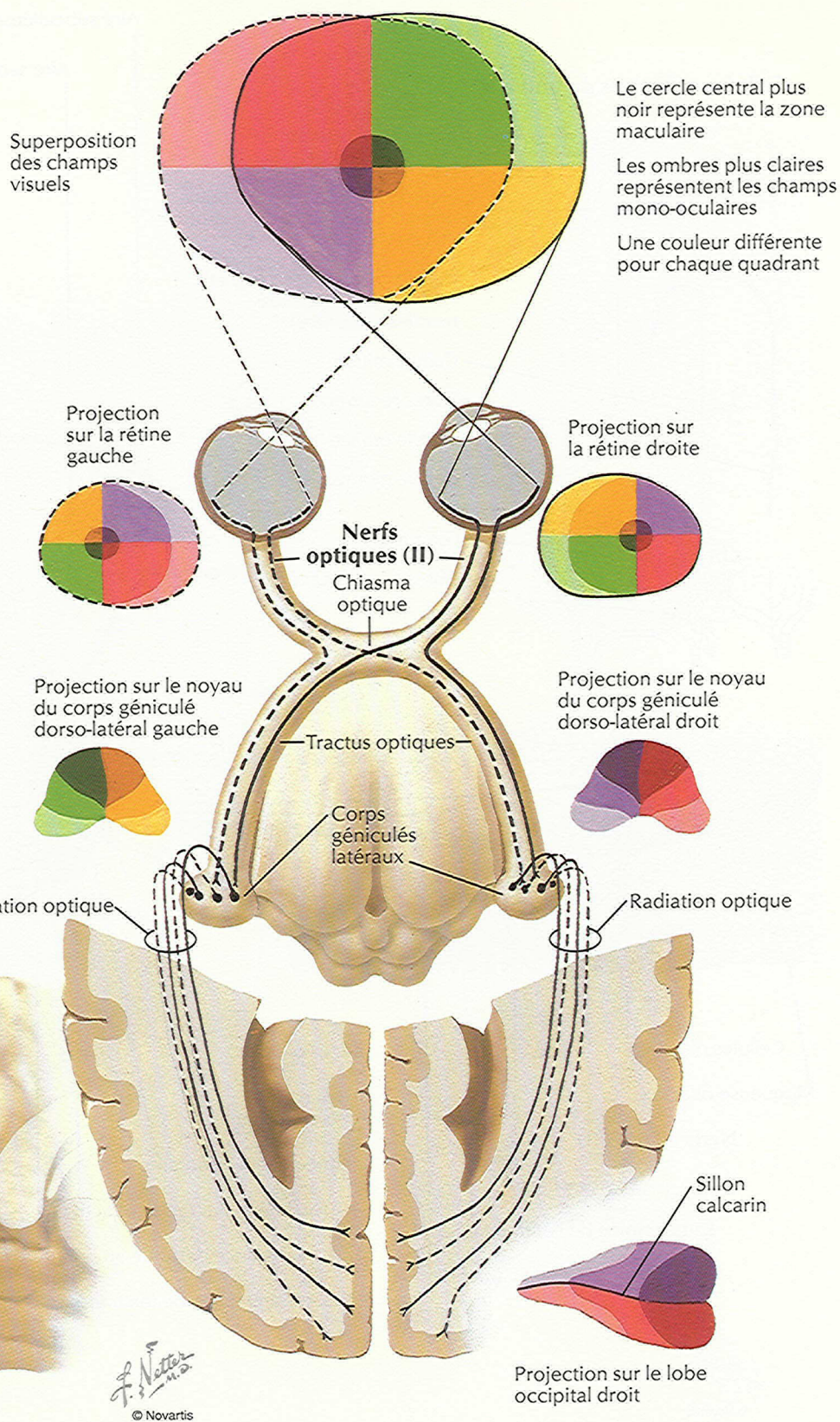
F. Natter
© Novartis

Nerf optique (II) (voie visuelle) : schéma



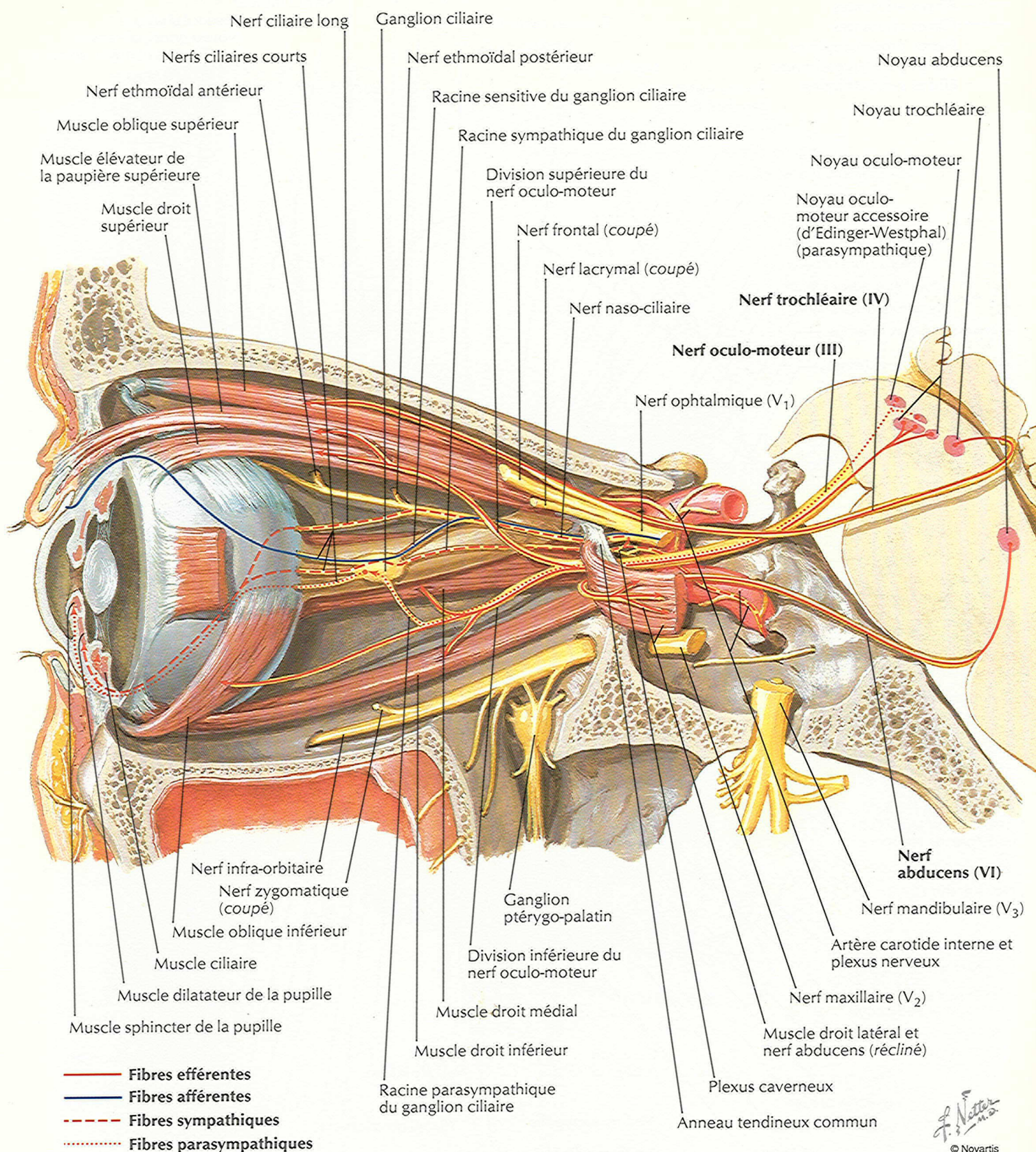
Structure de la rétine : schéma

- A Cellules amacrines
- B Cellules bi-polaires
- C Cônes
- G Cellules ganglionnaires
- H Cellules horizontales
- P Cellules pigmentaires
- R Bâtonnets



Nerfs oculo-moteur (III), trochléaire (IV) et abducens (VI) : schéma

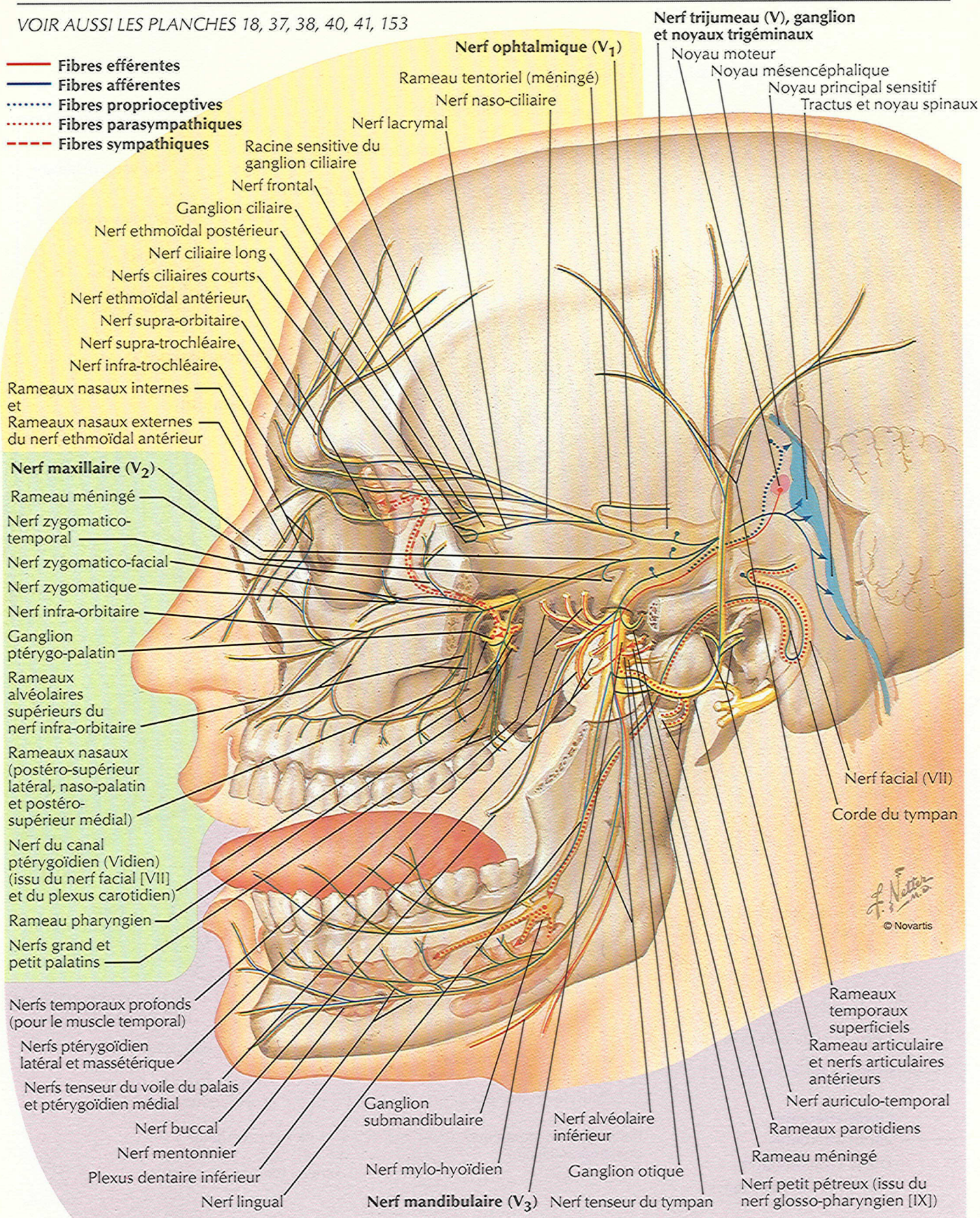
VOIR AUSSI LES PLANCHES 81, 126, 153



F. Netter M.D.
© Novartis

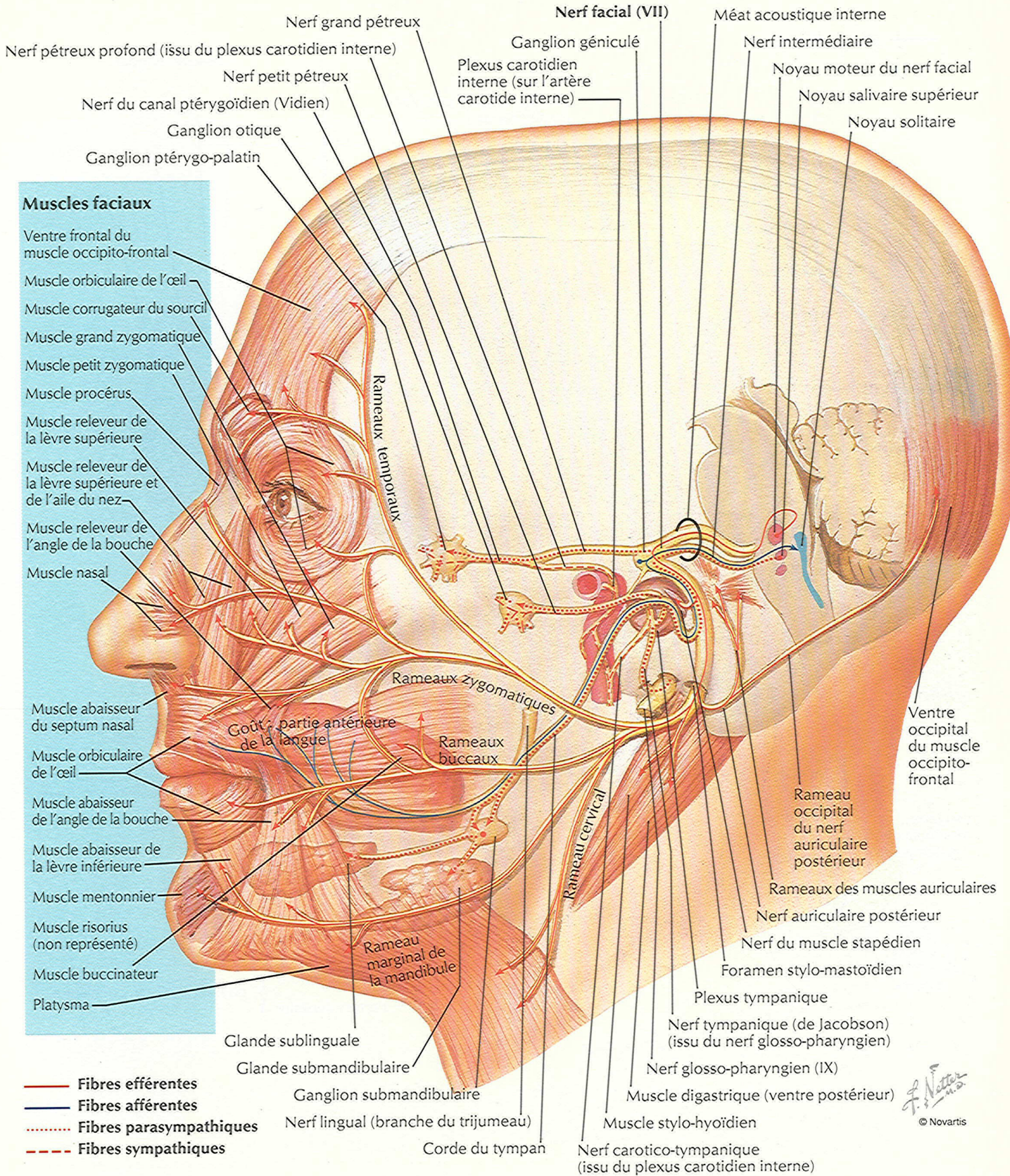
Nerf trijumeau (V) : schema

VOIR AUSSI LES PLANCHES 18, 37, 38, 40, 41, 153

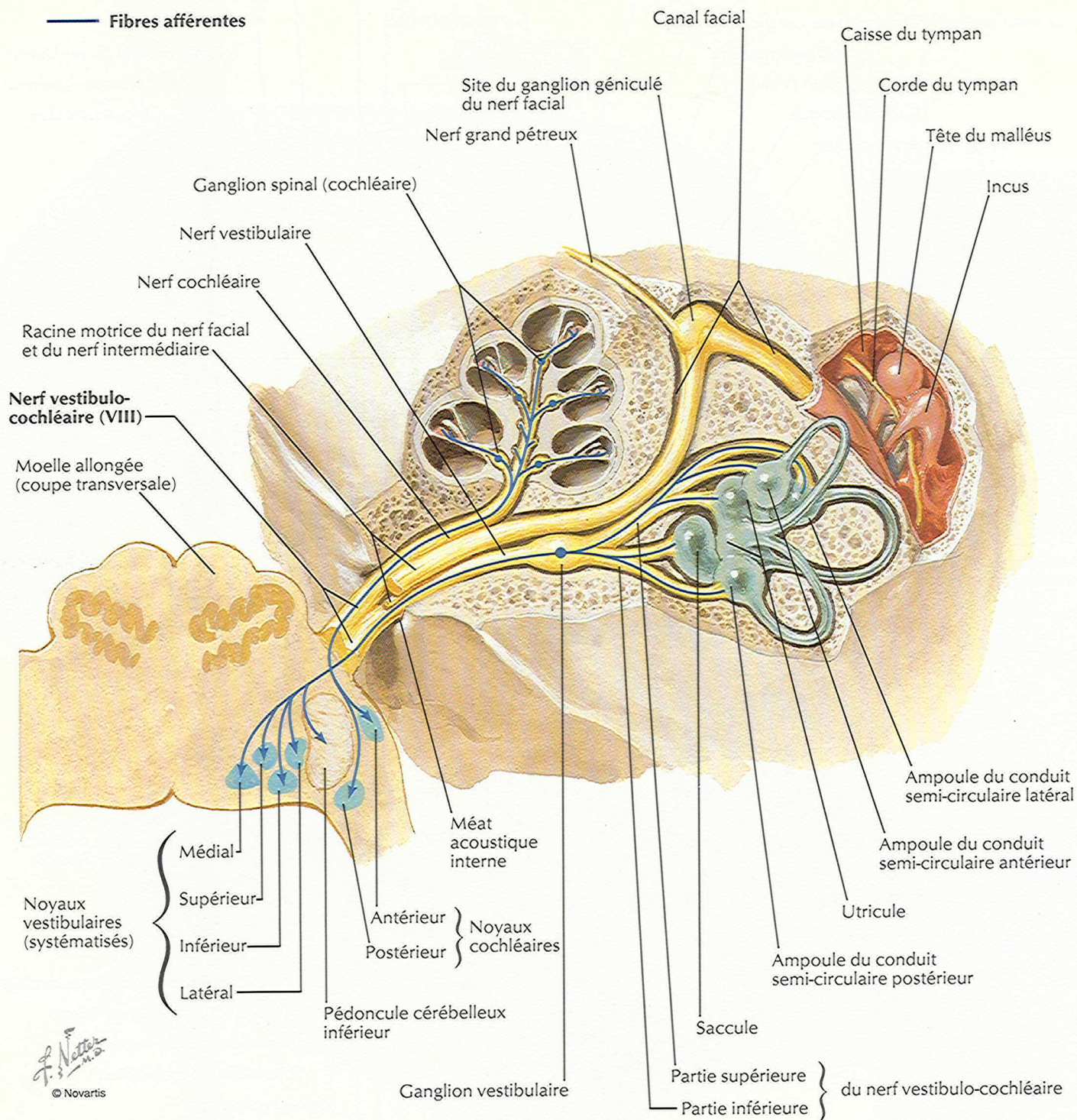


Nerf facial (VII) : schéma

VOIR AUSSI LES PLANCHES 19, 153

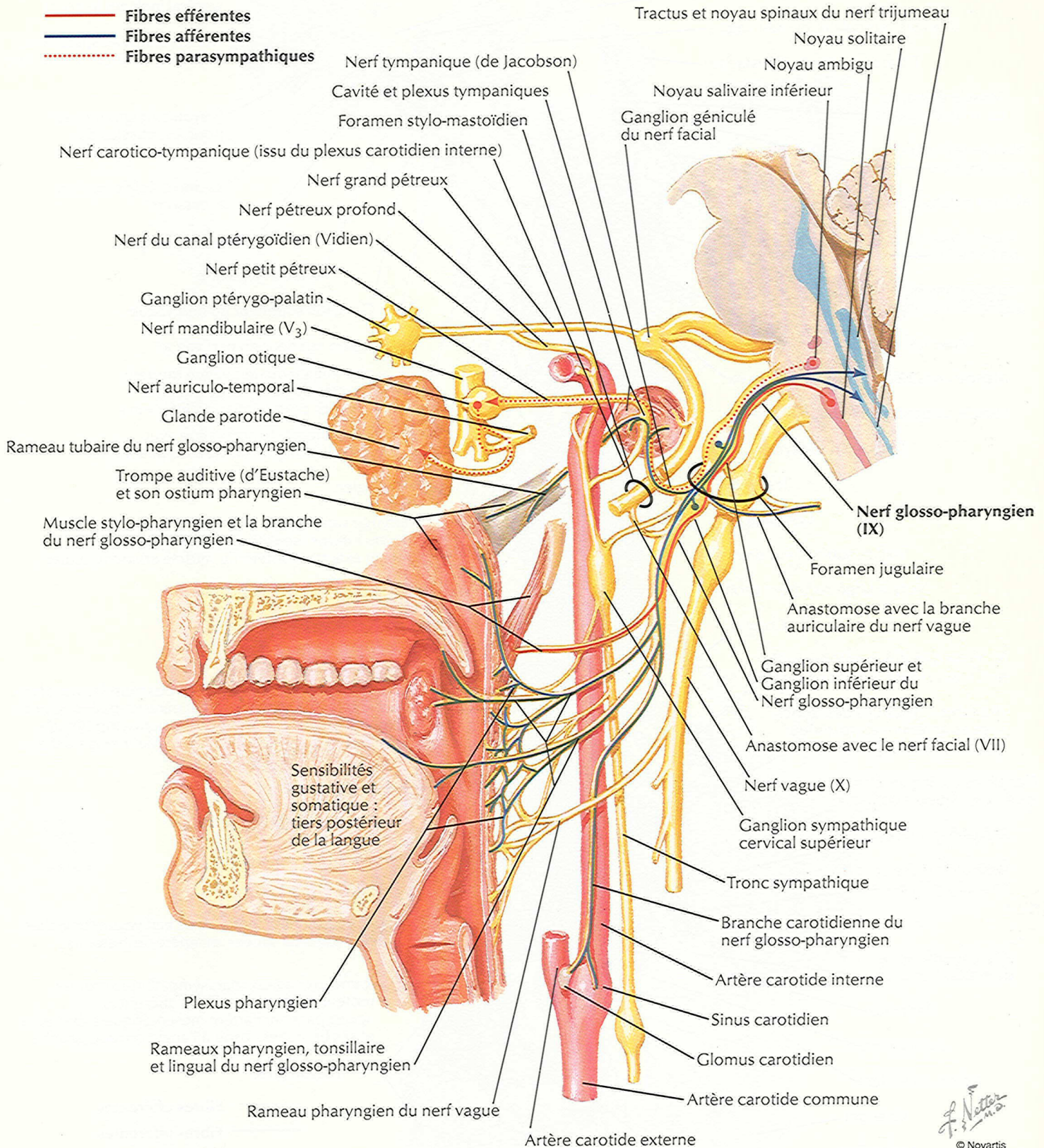


Nerf vestibulo-cochléaire (VIII) : schéma



Nerf glosso-pharyngien (IX) : schéma

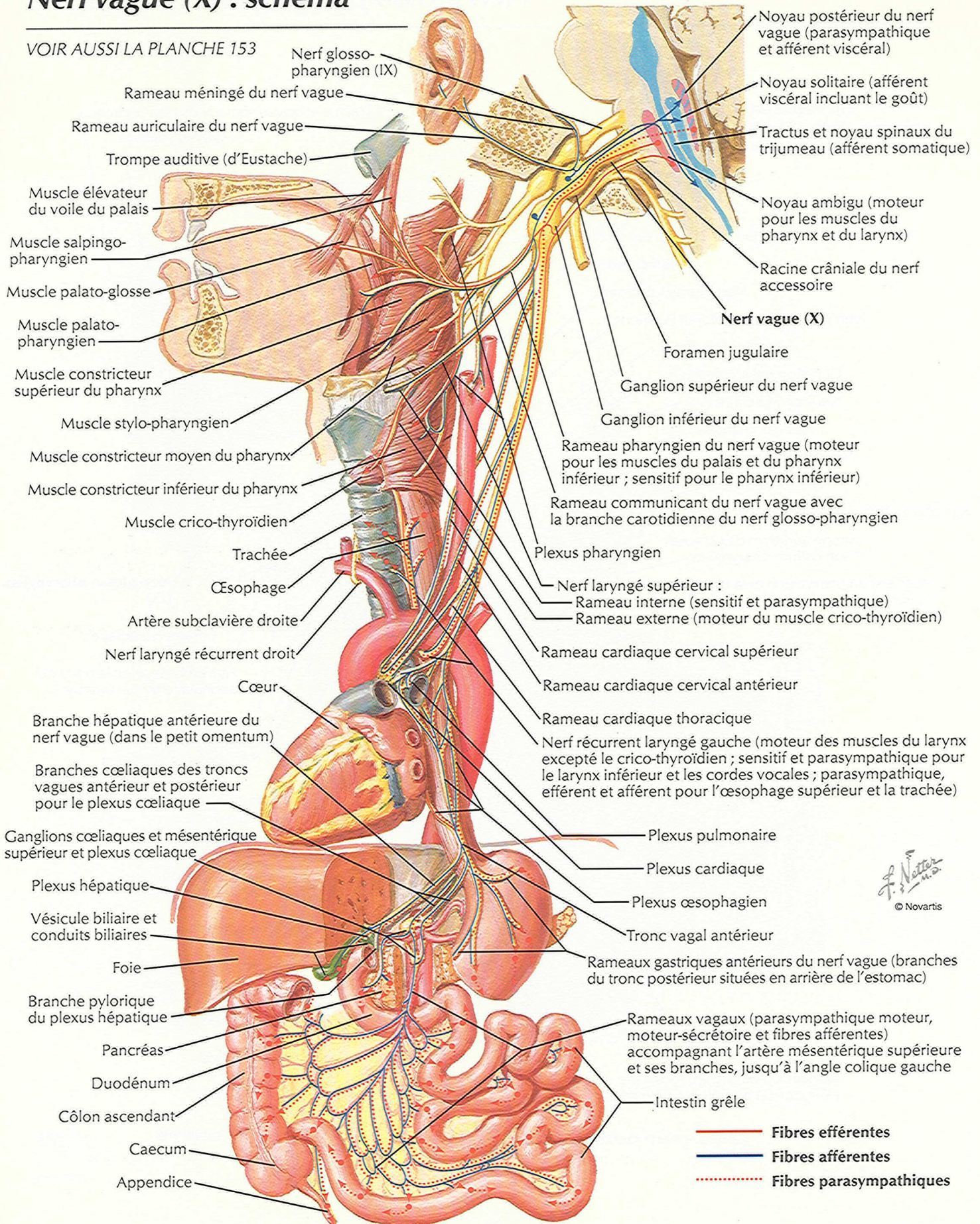
VOIR AUSSI LA PLANCHE 153



F. Netter M.D.
© Novartis

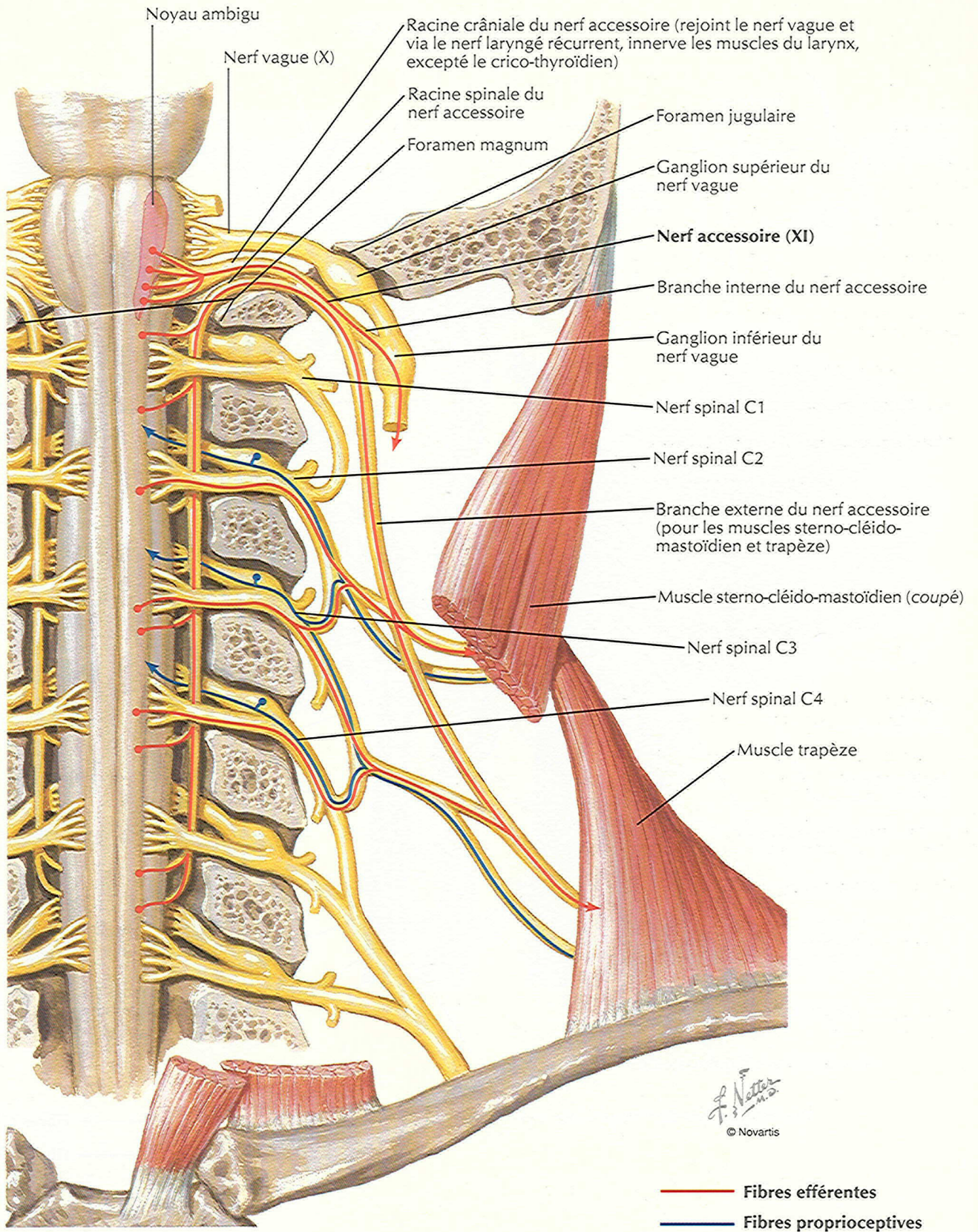
Nerf vague (X) : schéma

VOIR AUSSI LA PLANCHE 153



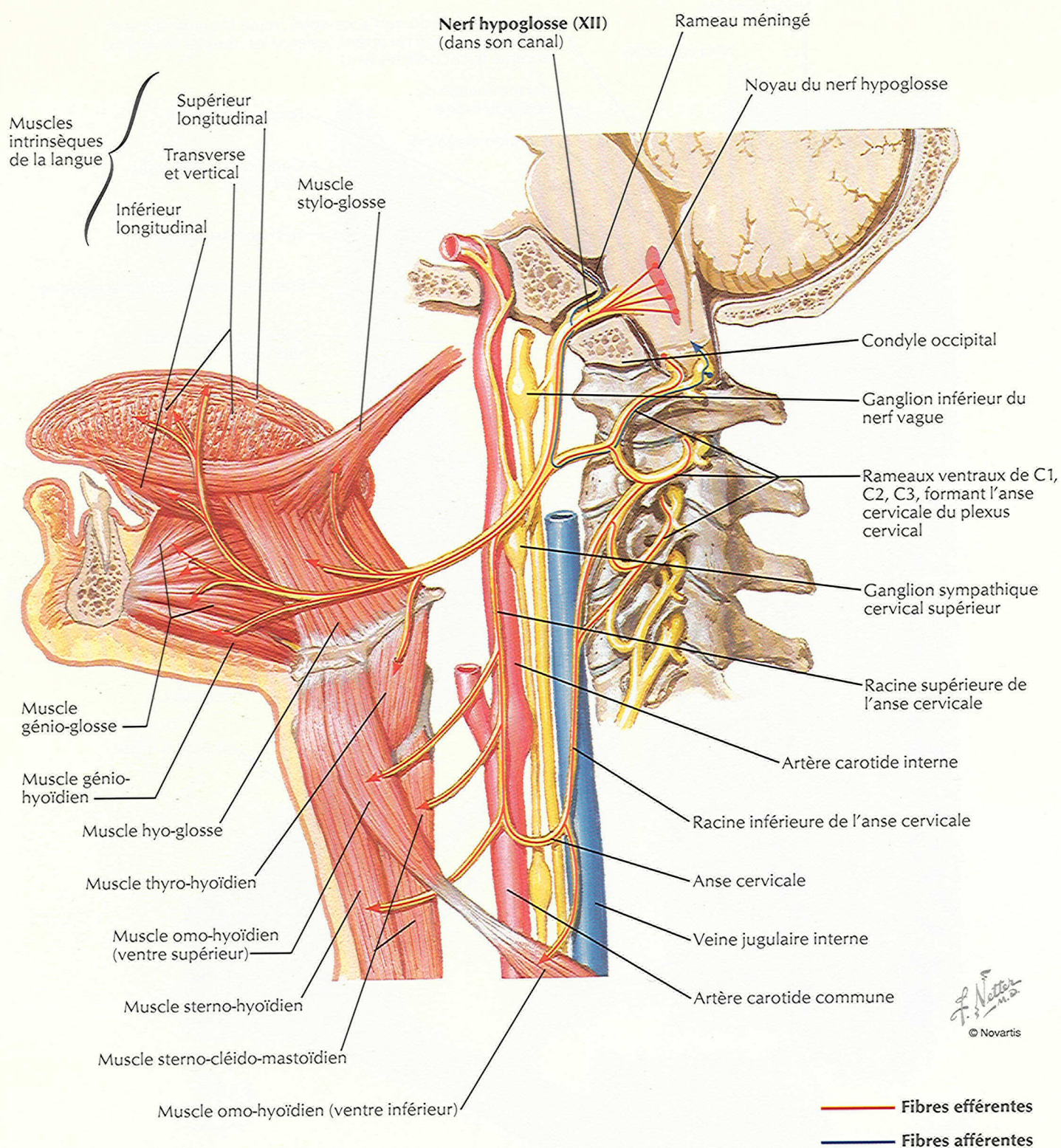
Nerf accessoire (XI) : schéma

VOIR AUSSI LA PLANCHE 27



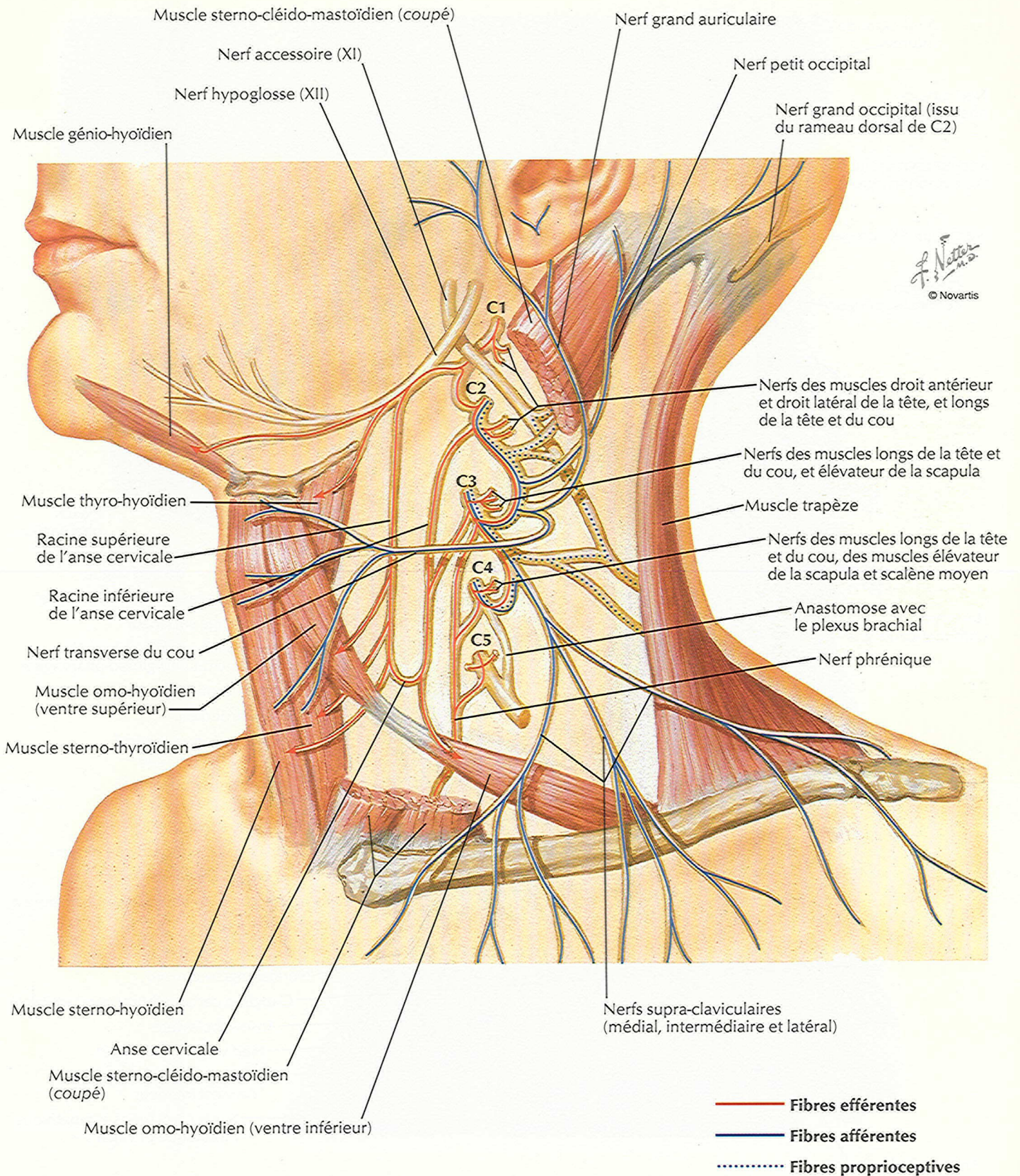
Nerf hypoglosse (XII) : schéma

VOIR AUSSI LA PLANCHE 27



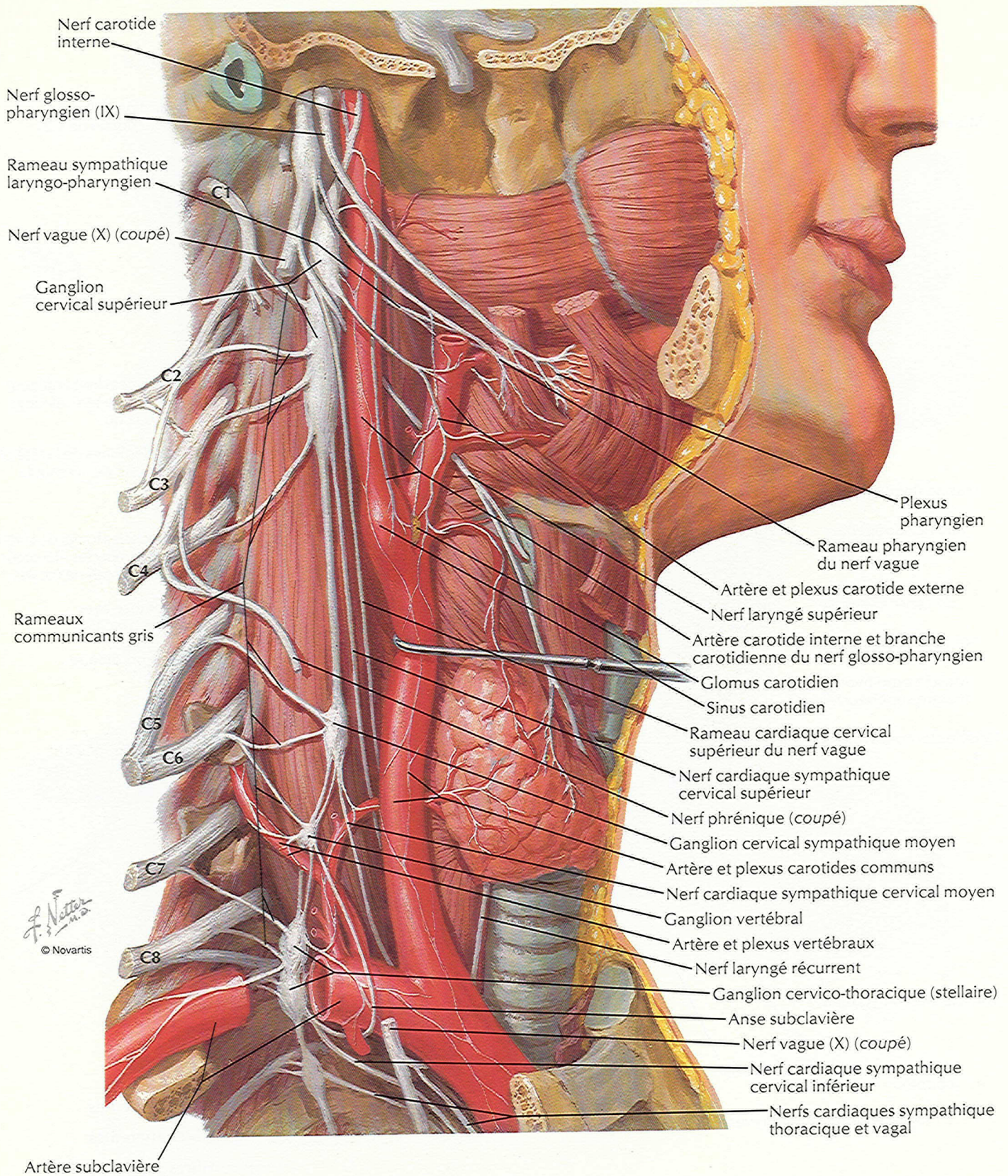
Plexus cervical : schéma

VOIR AUSSI LA PLANCHE 27



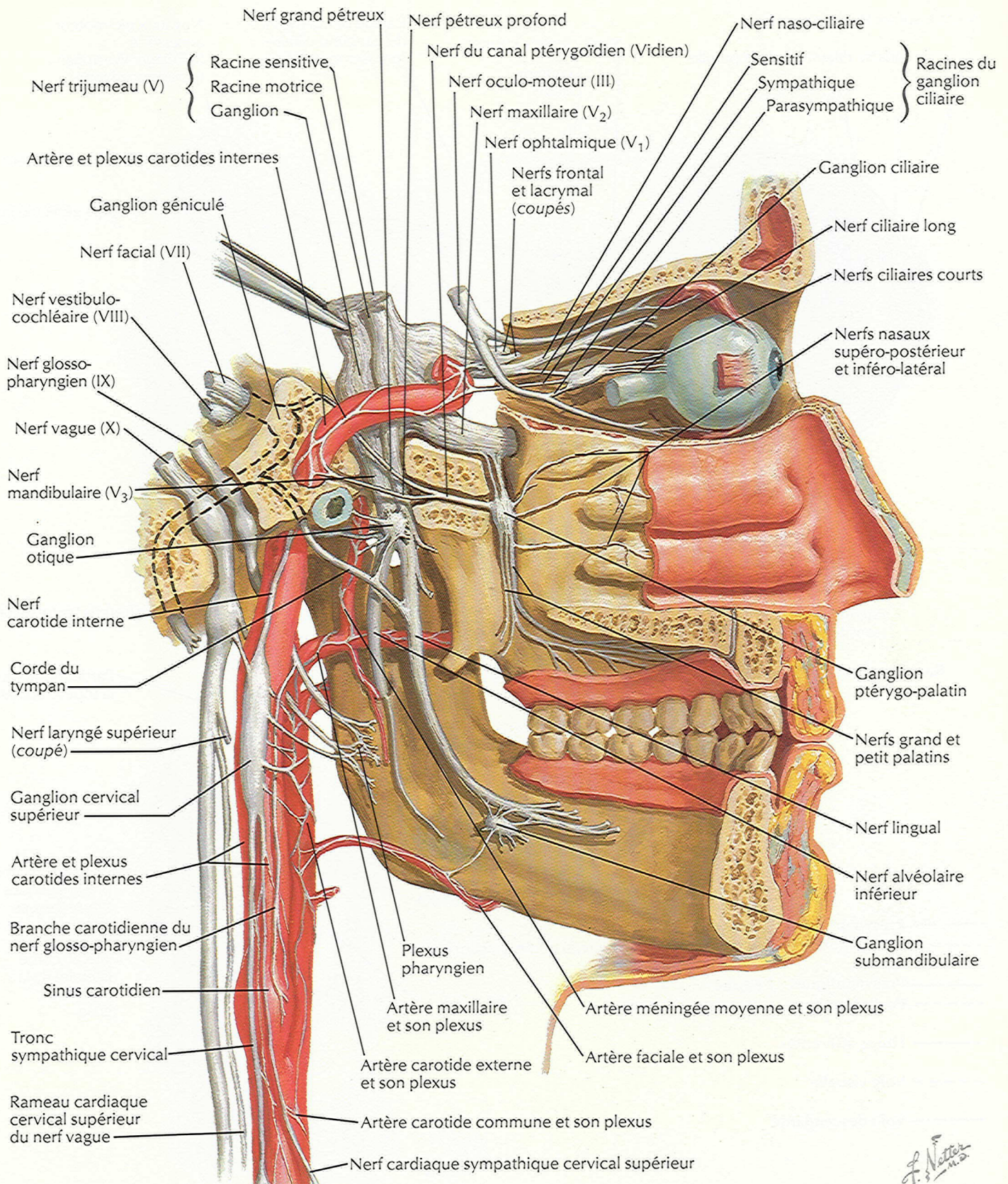
Nerfs autonomes du cou

VOIR AUSSI LES PLANCHES 65, 119, 120, 152, 198, 214, 228, 300



Nerfs autonomes de la tête

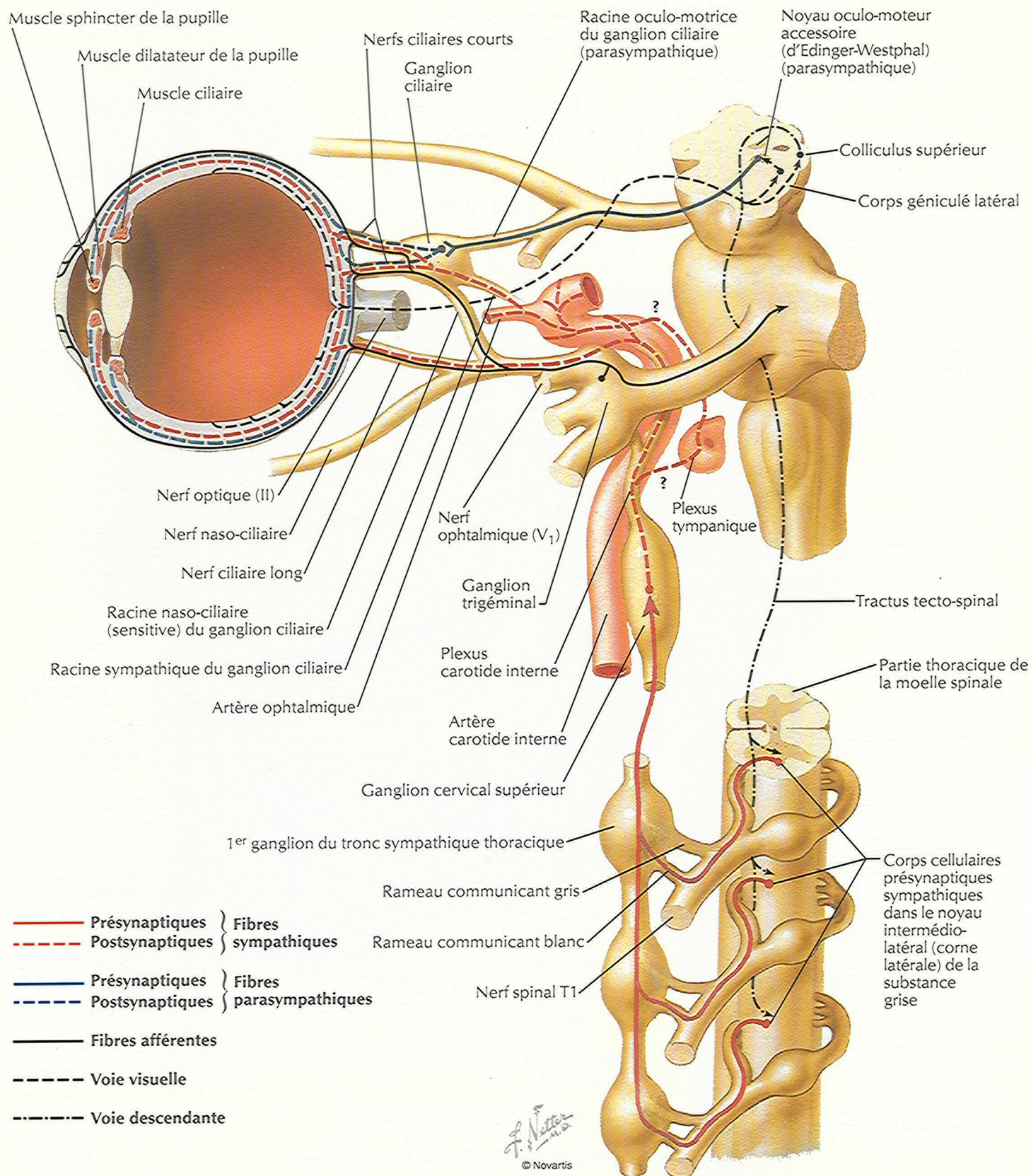
VOIR AUSSI LES PLANCHES 39, 40, 41, 81, 115, 126, 127, 128, 152

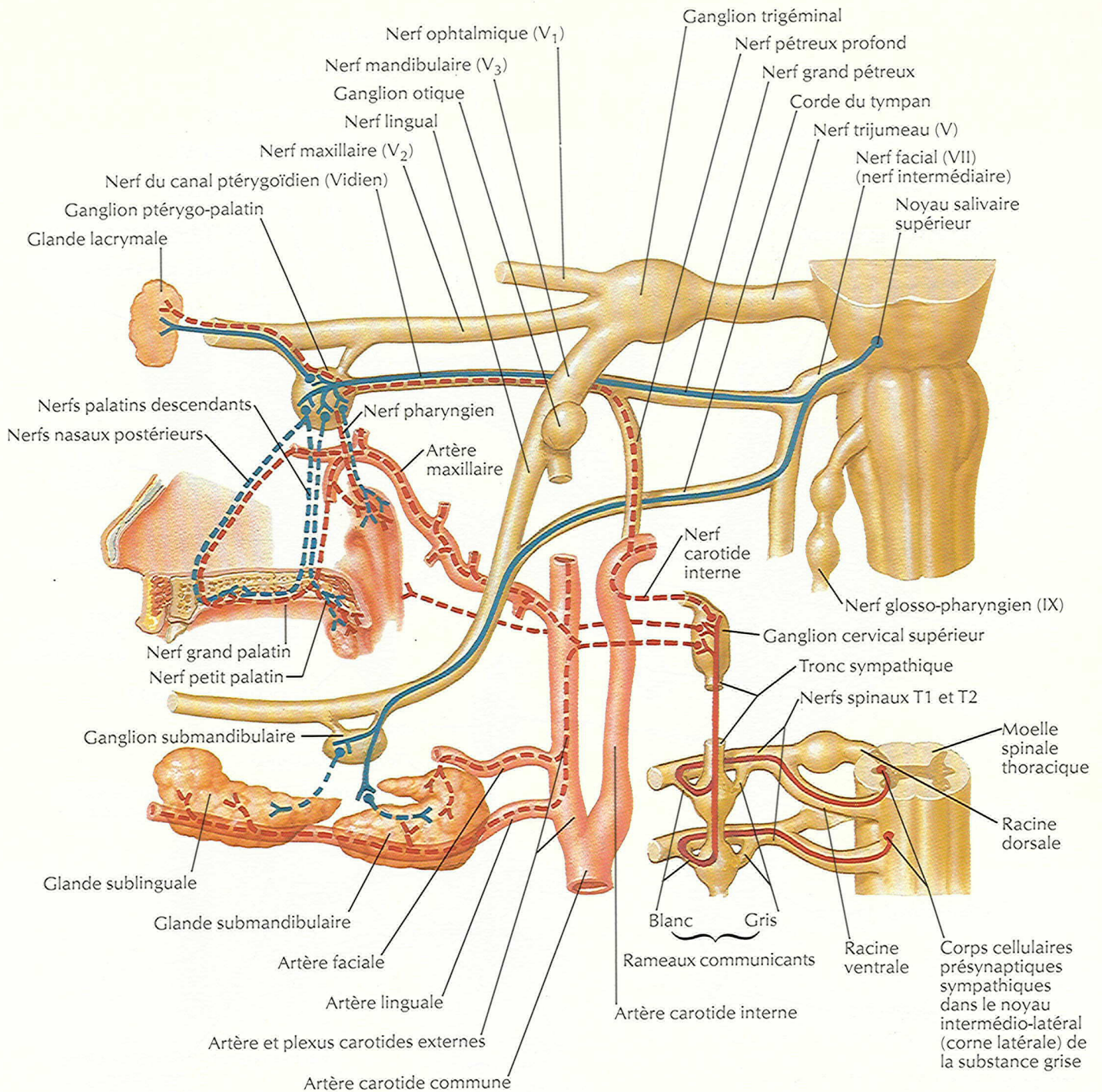


F. Netter
M.D.
© Novartis

Ganglion ciliaire : schema

VOIR AUSSI LA PLANCHE 153



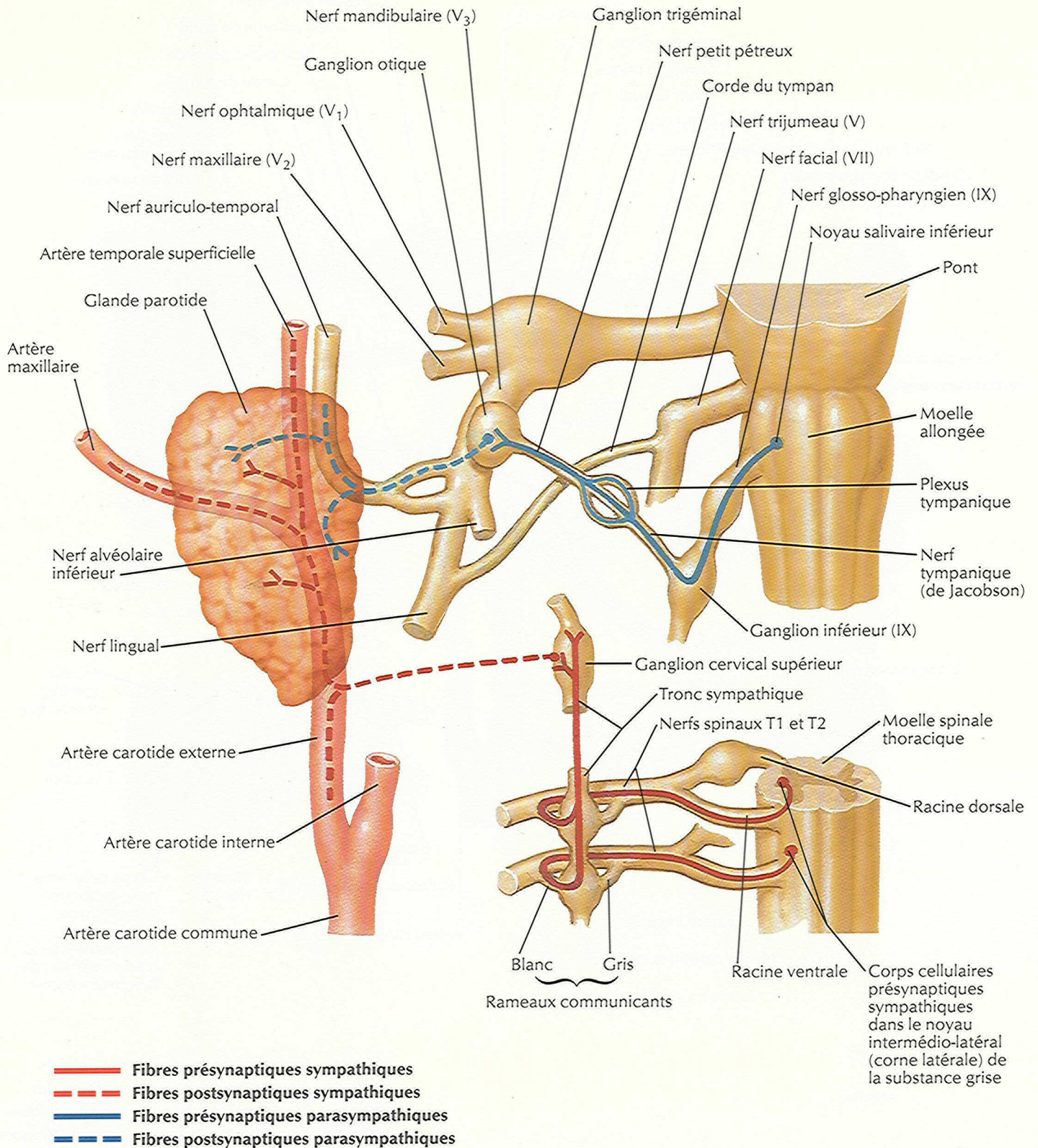


F. Netter
© Novartis

- Fibres présynaptiques sympathiques
- Fibres postsynaptiques sympathiques
- Fibres présynaptiques parasympathiques
- Fibres postsynaptiques parasympathiques

Ganglion otique : schema

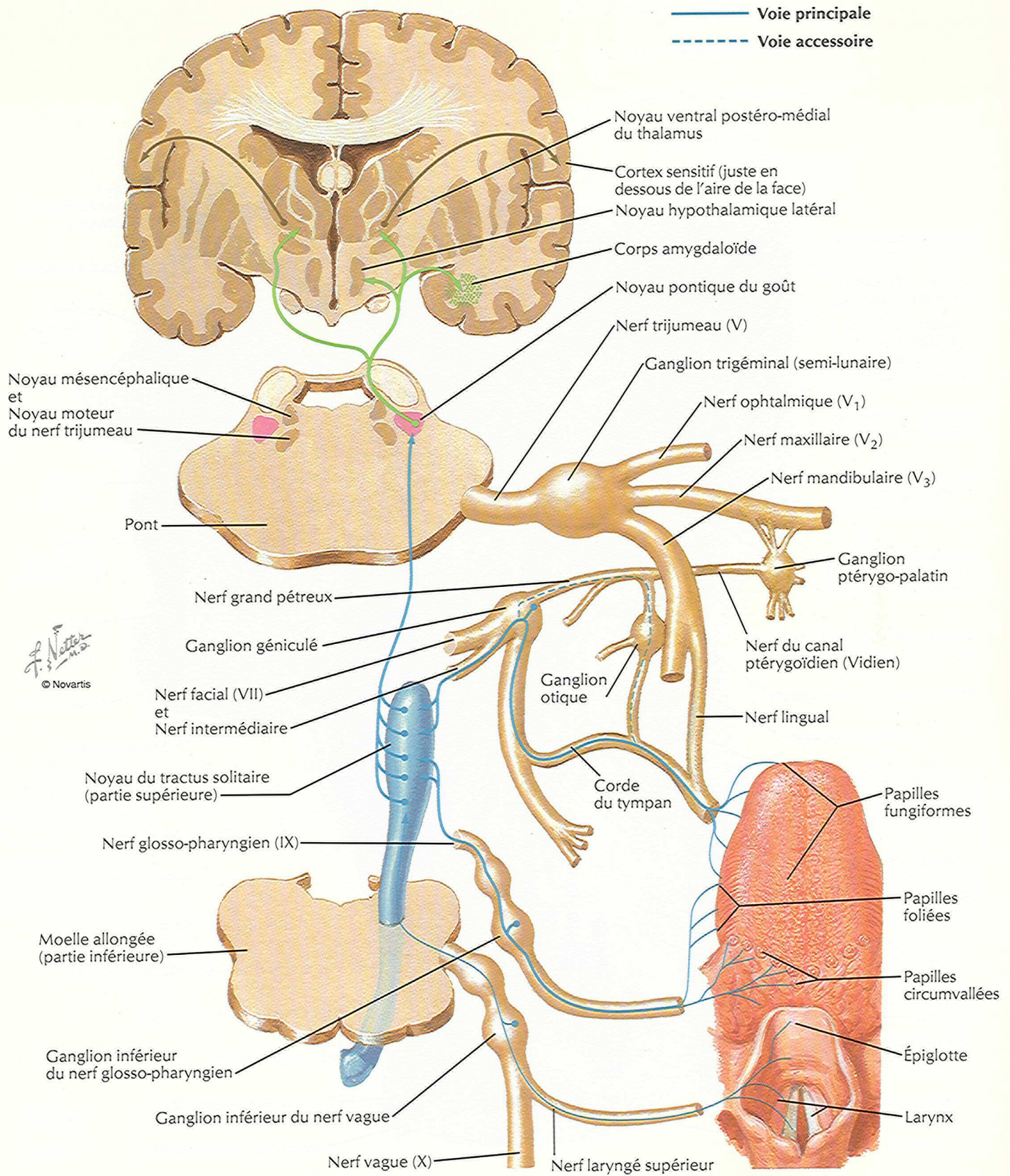
VOIR AUSSI LA PLANCHE 153



F. Netter M.D.
© Novartis

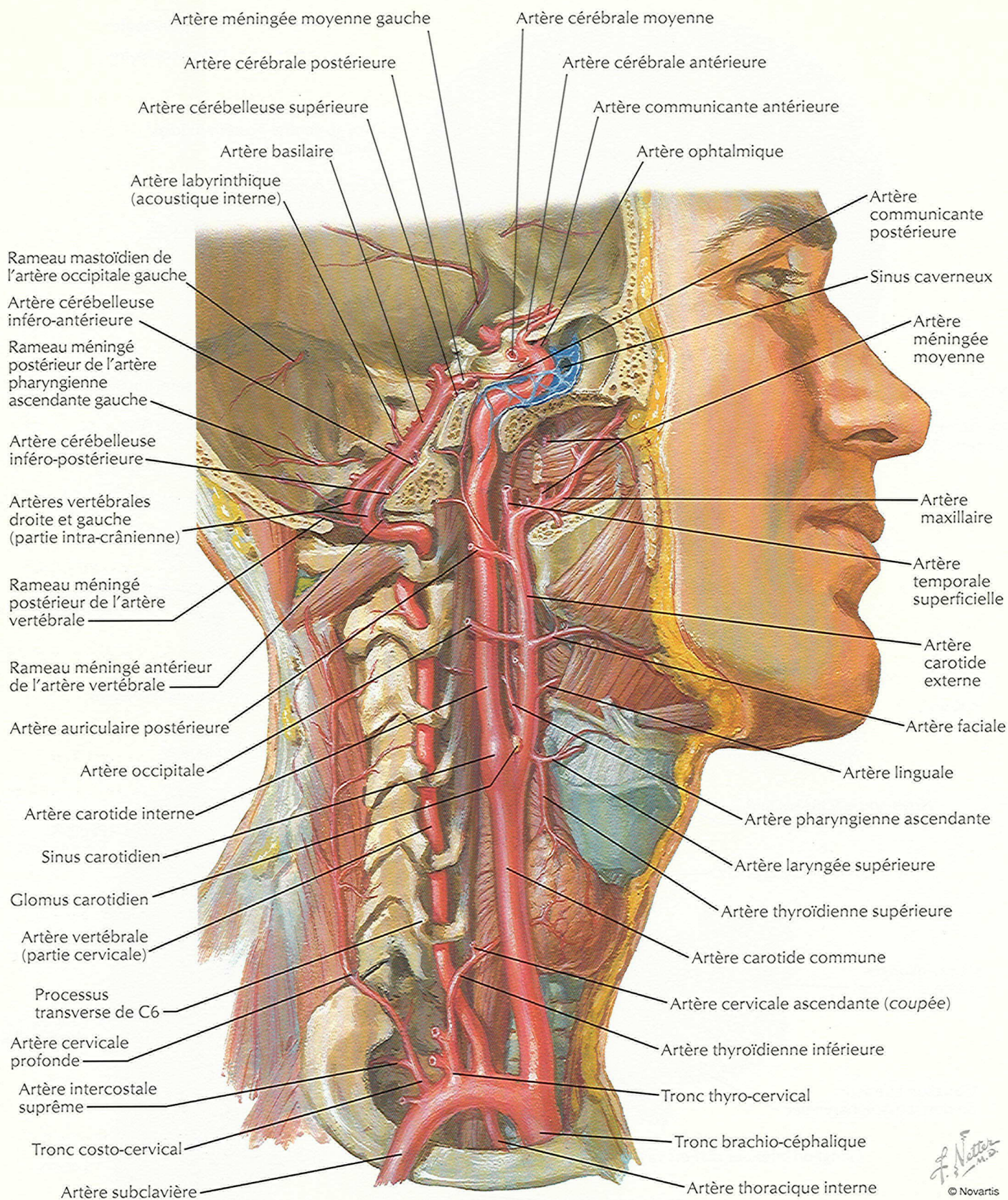
Voies gustatives : schéma

VOIR AUSSI LES PLANCHES 41, 89, 117, 119, 120



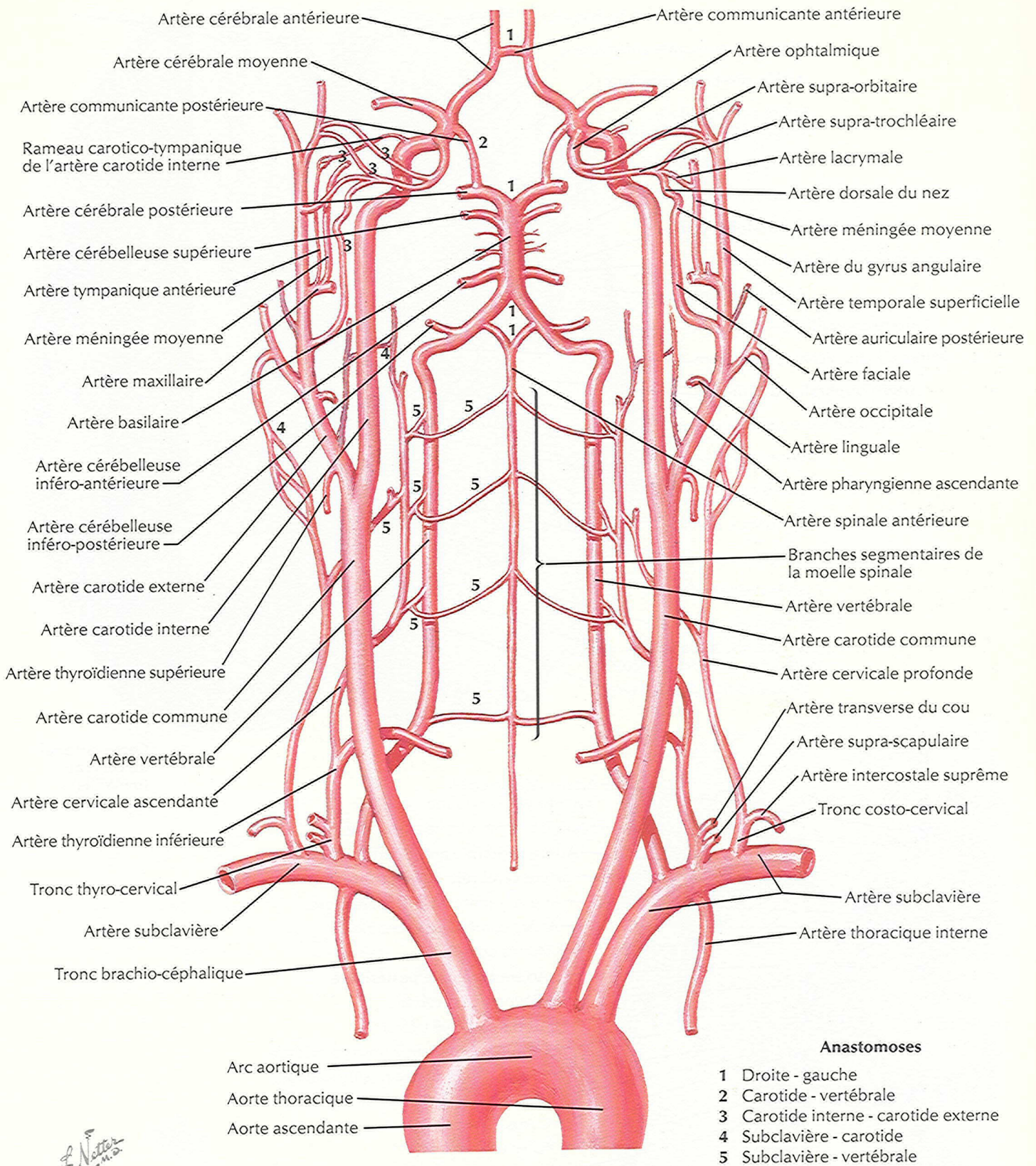
Arteres destinees au cerveau et aux meninges

VOIR AUSSI LES PLANCHES 28, 29

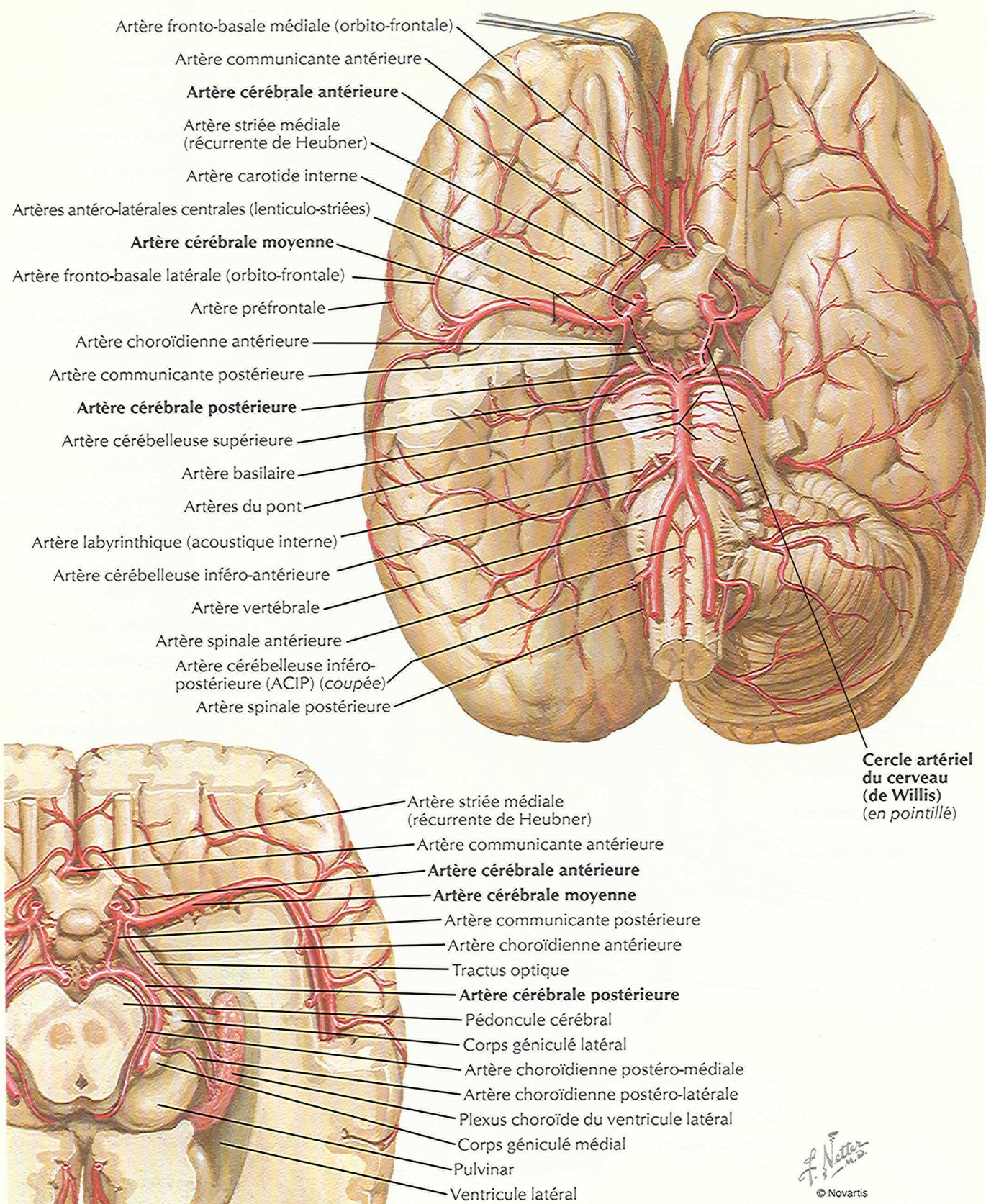


F. Netter
© Novartis

Artères destinées au cerveau : schéma



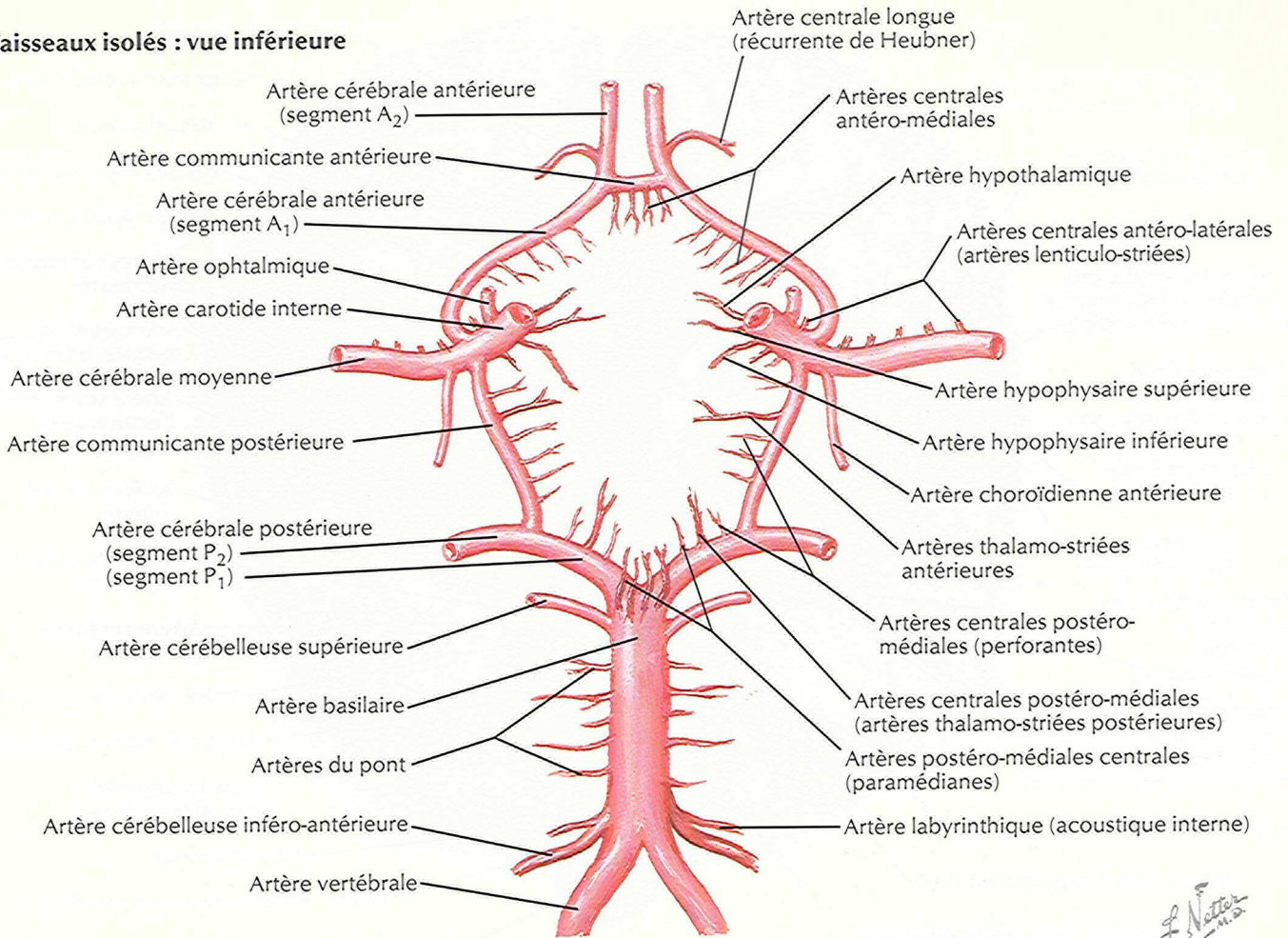
Artères de l'encéphale : vues inférieures



Cercle artériel du cerveau (de Willis)

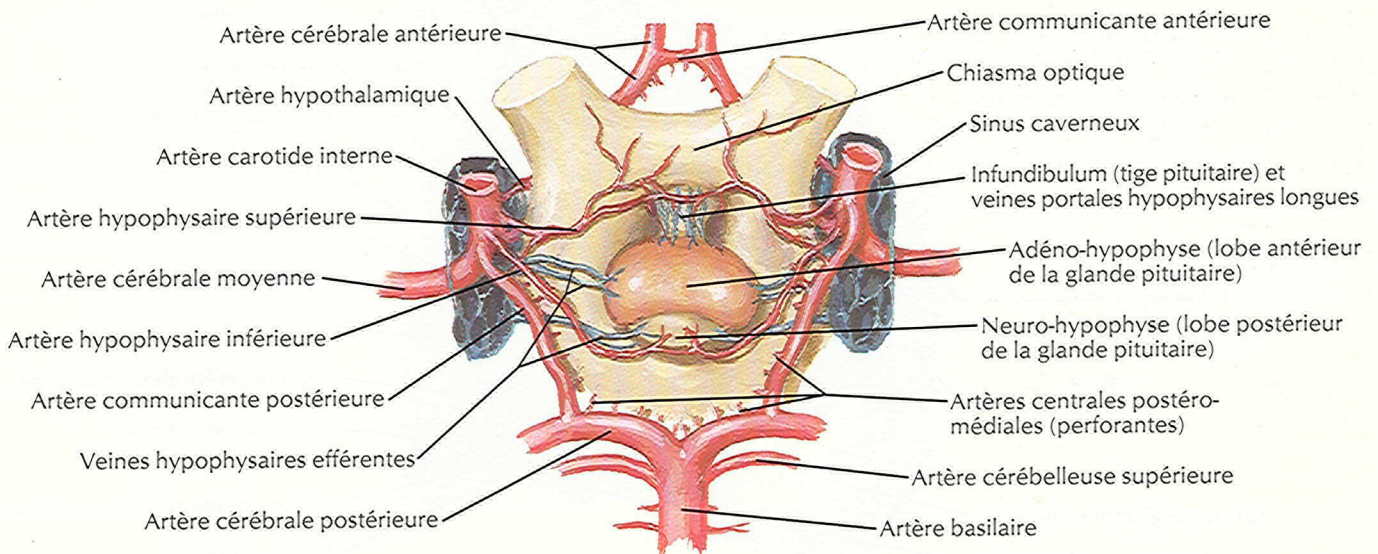
POUR LES ARTÈRES HYPOPHYSAIRES, VOIR LA PLANCHE 141

Vaisseaux isolés : vue inférieure

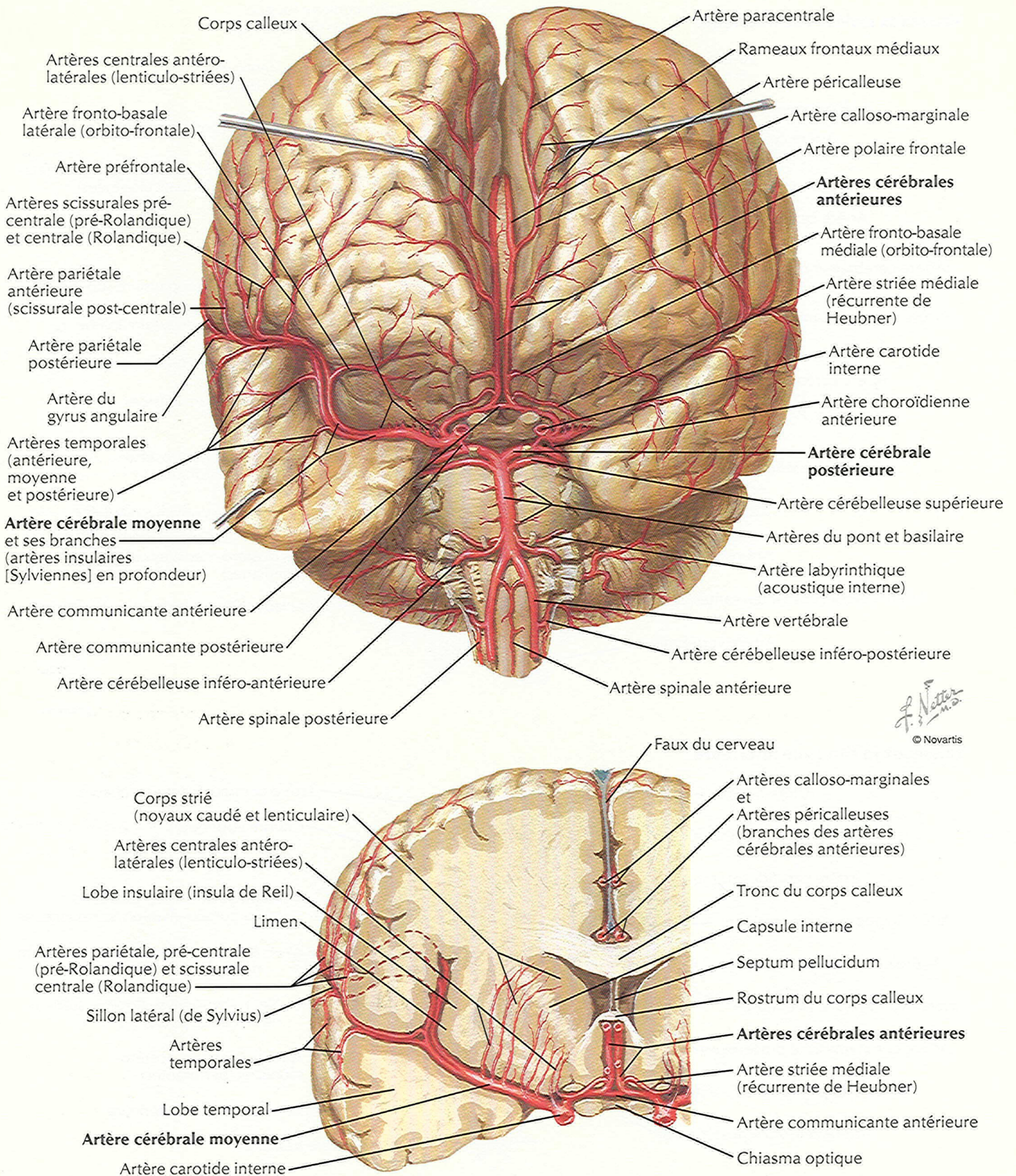


F. Netter
© Novartis

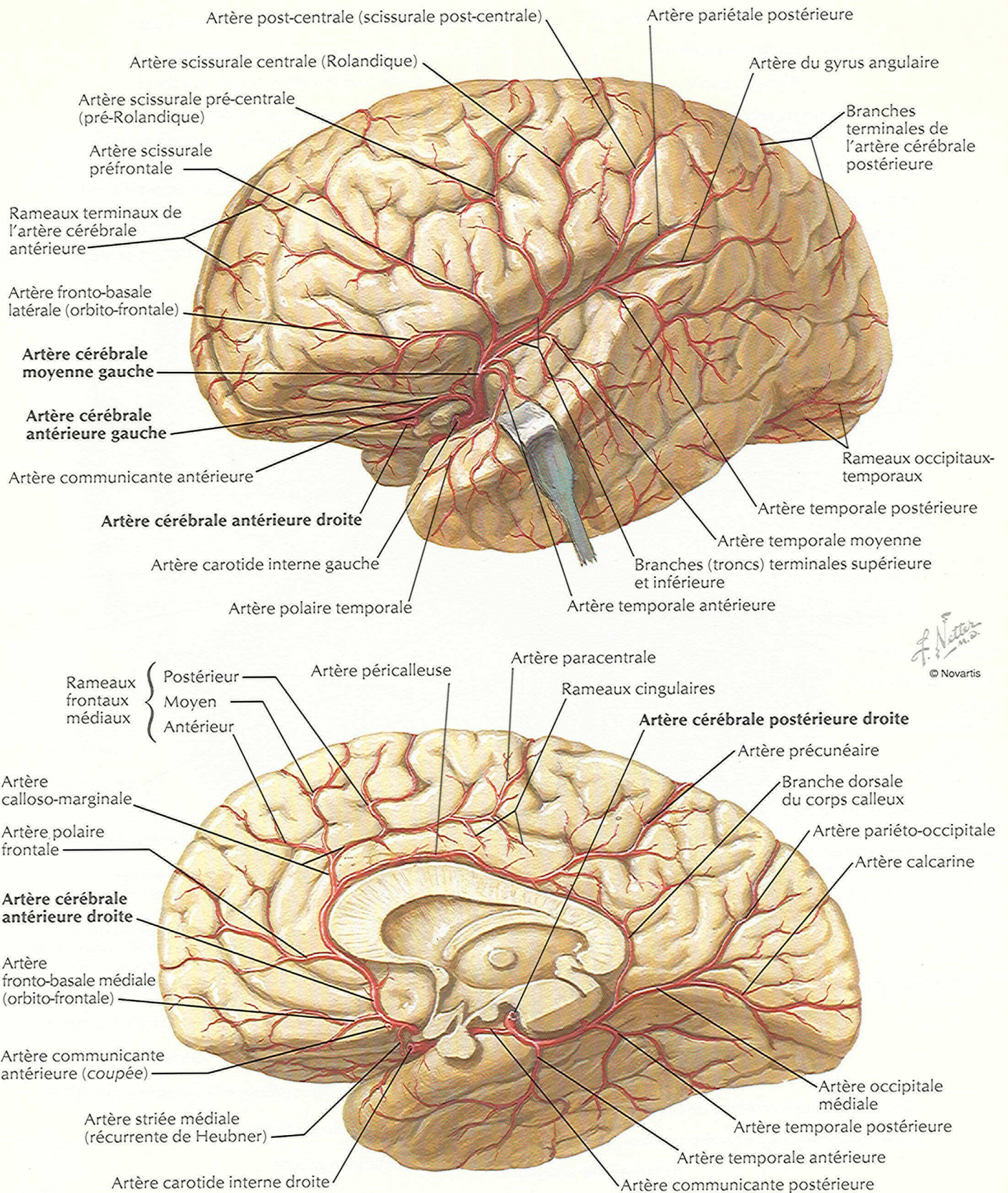
Vaisseaux in situ : vue inférieure



Artères de l'encéphale : vue frontale et coupe



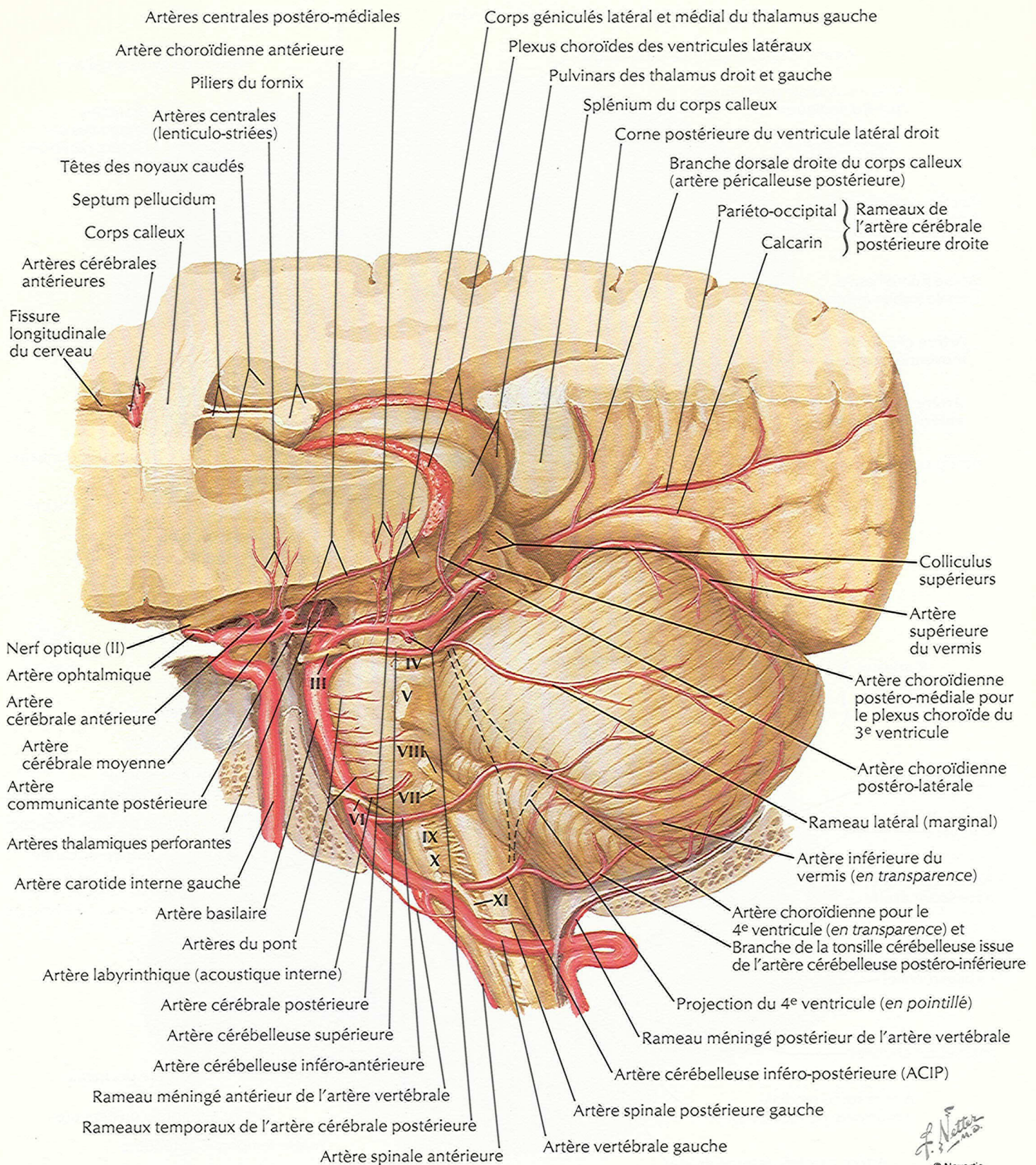
Artères du cerveau : vues latérale et médiale



F. Netter M.D.
© Novartis

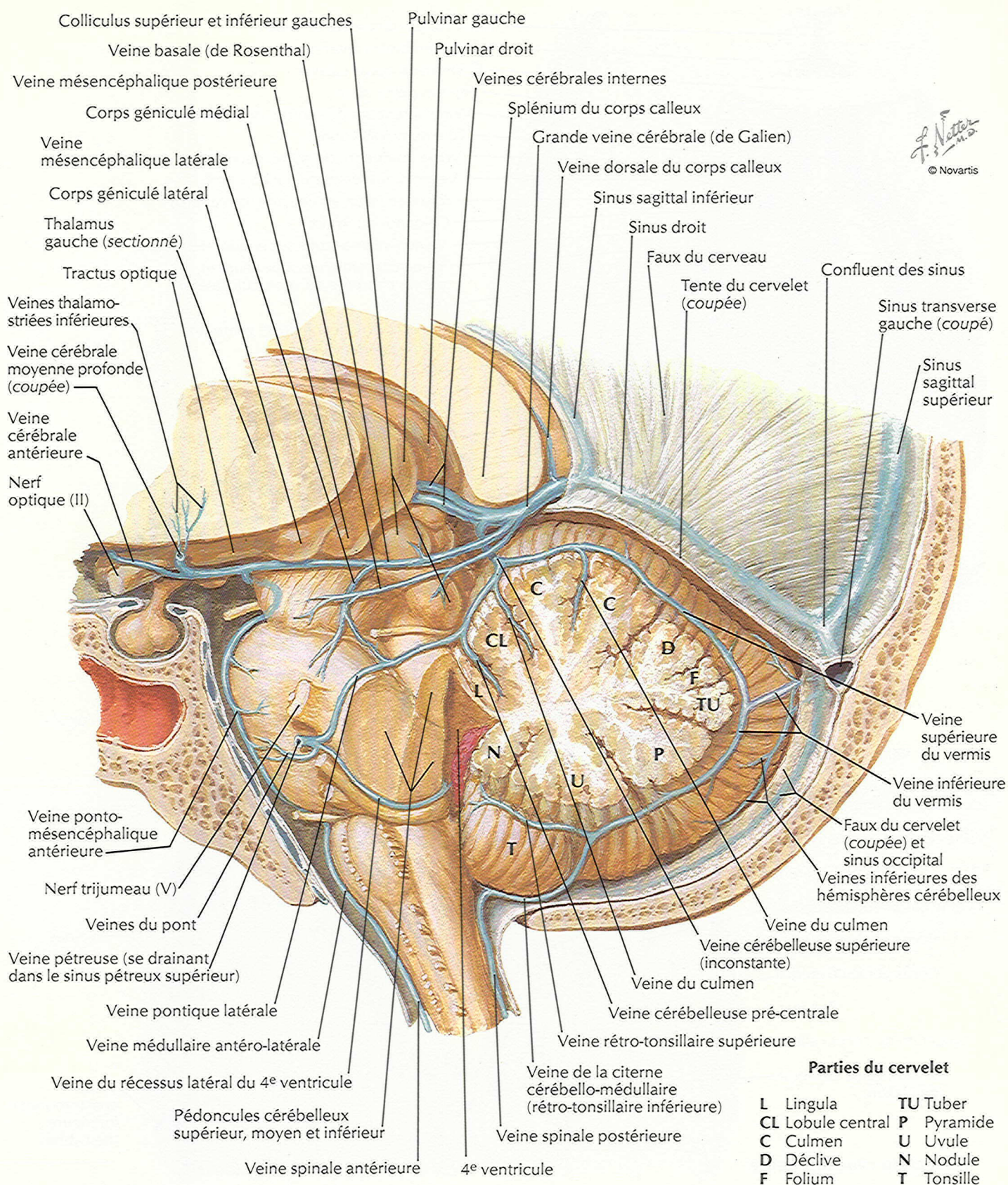
Note : il peut arriver que l'artère pariétale antérieure (scissurale post-centrale) se divise en artères scissurales post-centrale et pariétale antérieure

Artères de la fosse crânienne postérieure



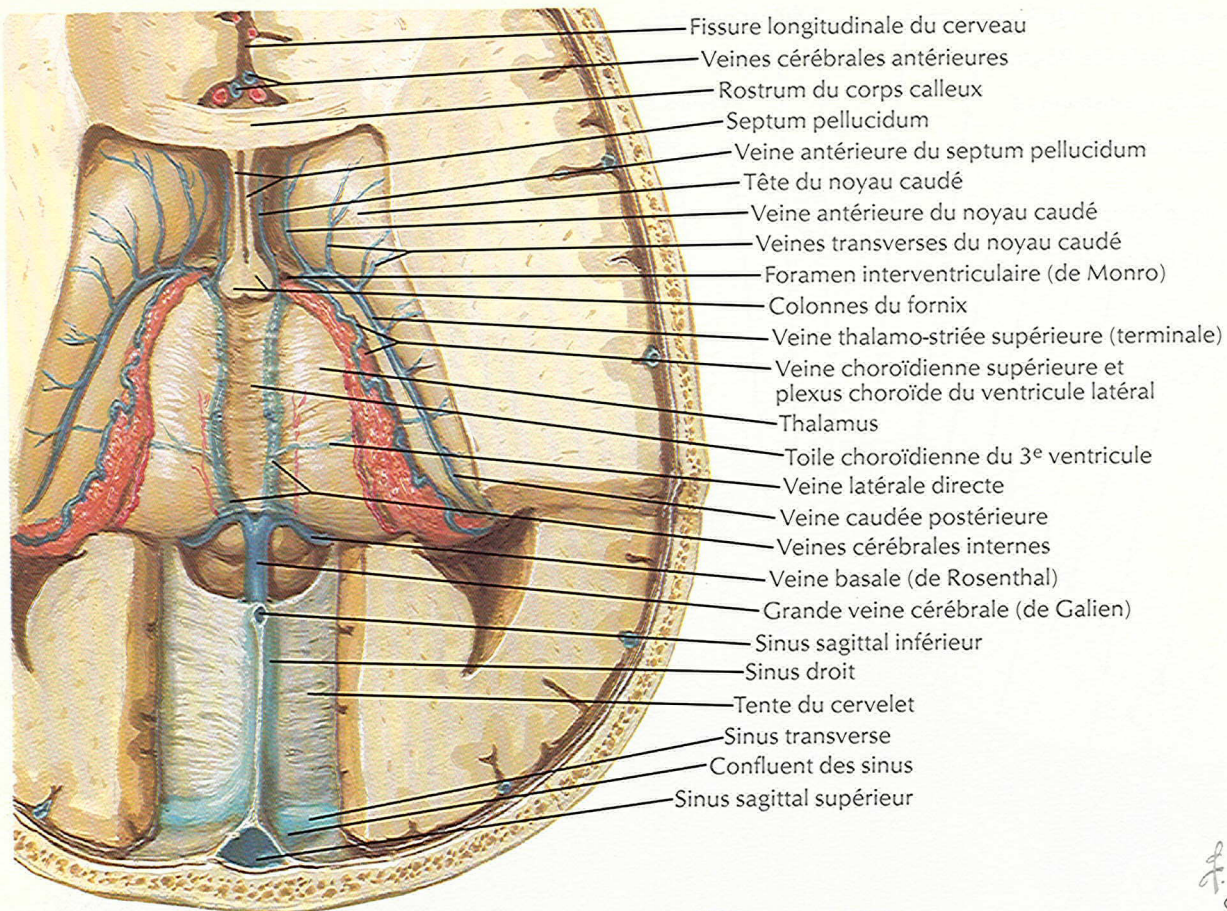
F. Netter M.D.
© Novartis

Veines de la fosse crânienne postérieure

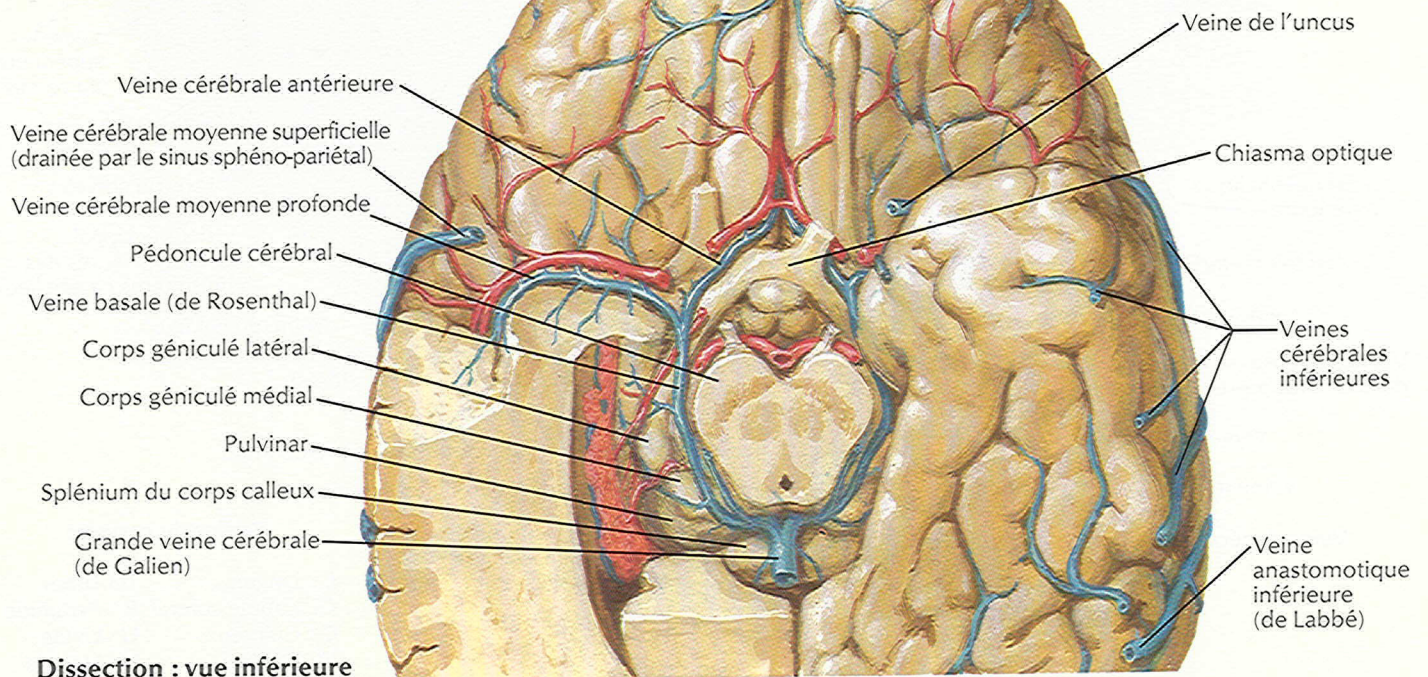


Veines profondes du cerveau

POUR LES VEINES SUPERFICIELLES DU CERVEAU, VOIR LA PLANCHE 96

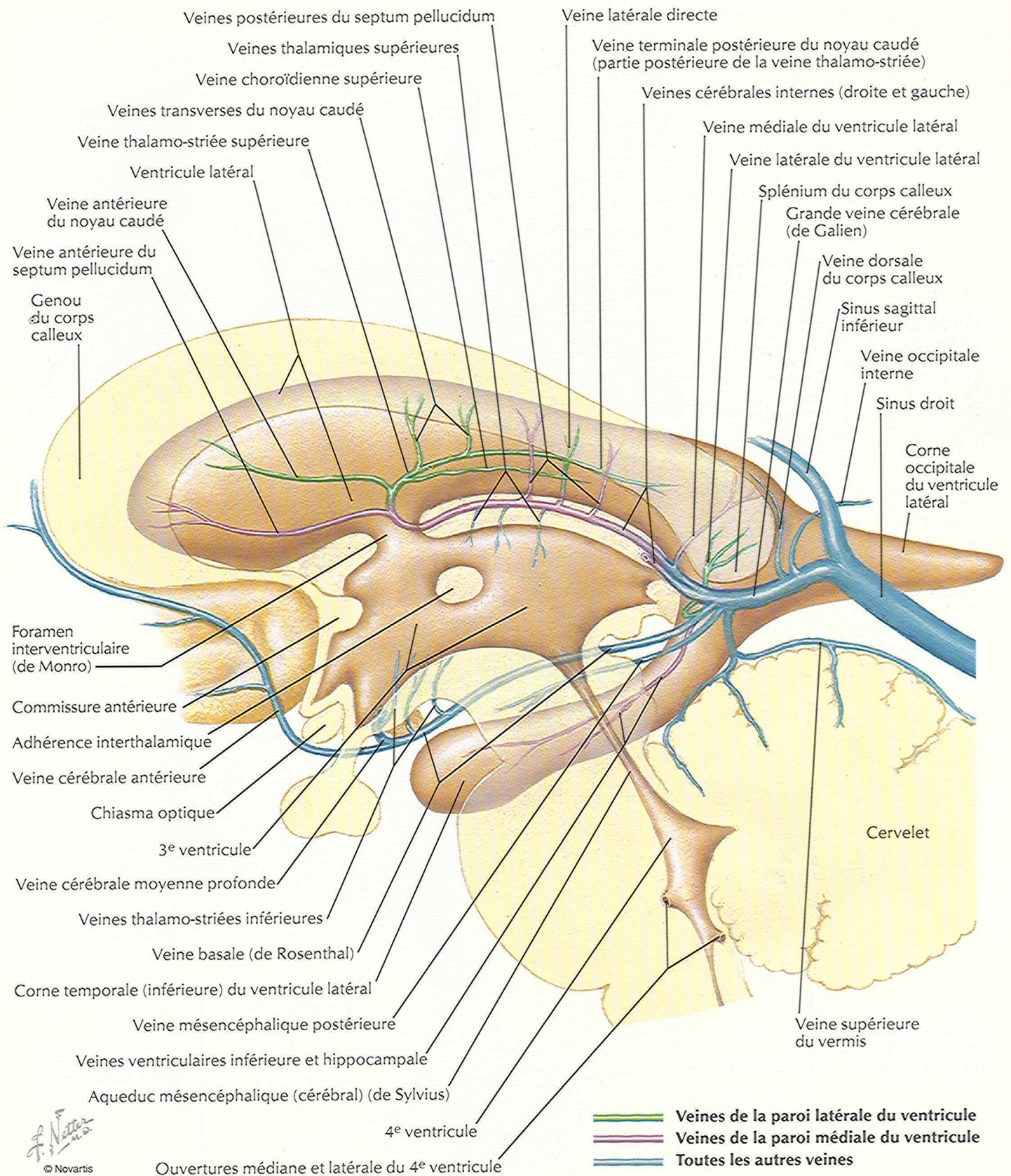


Dissection : vue supérieure



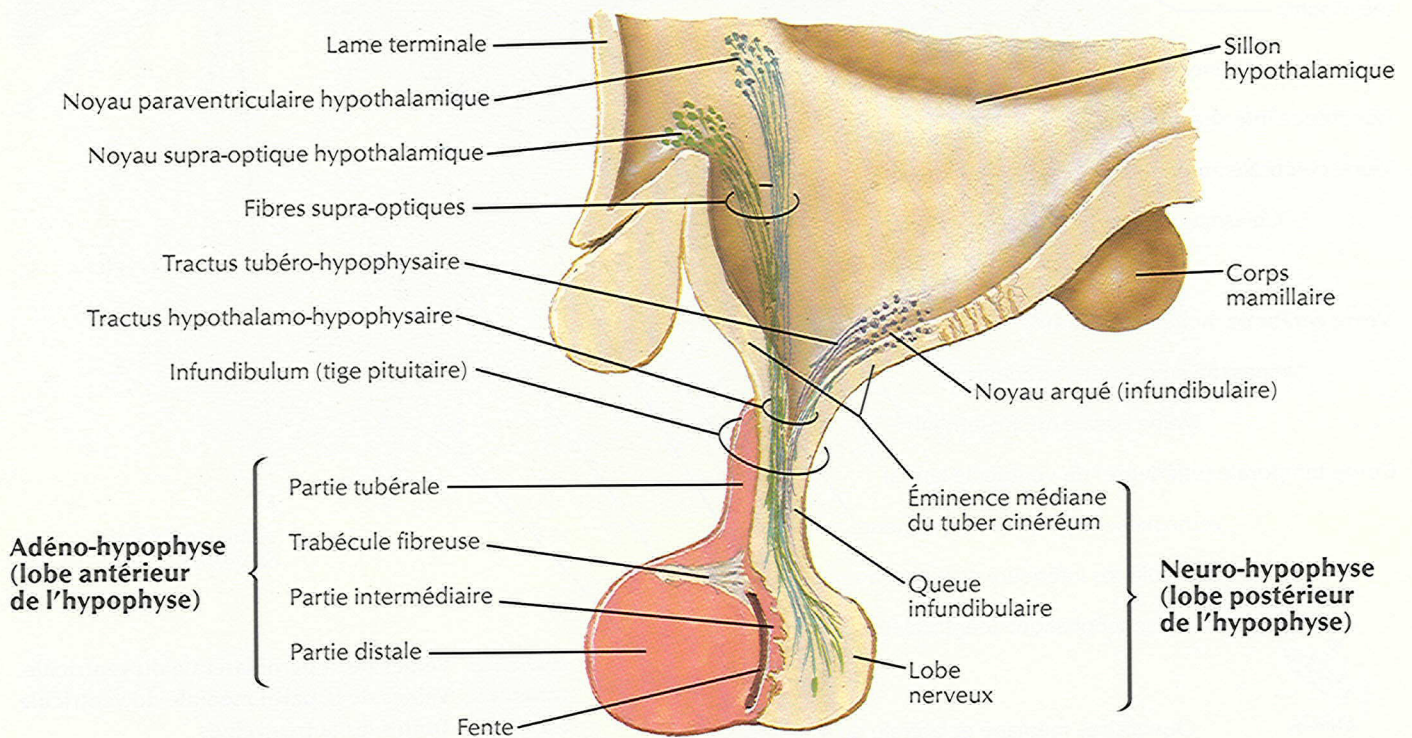
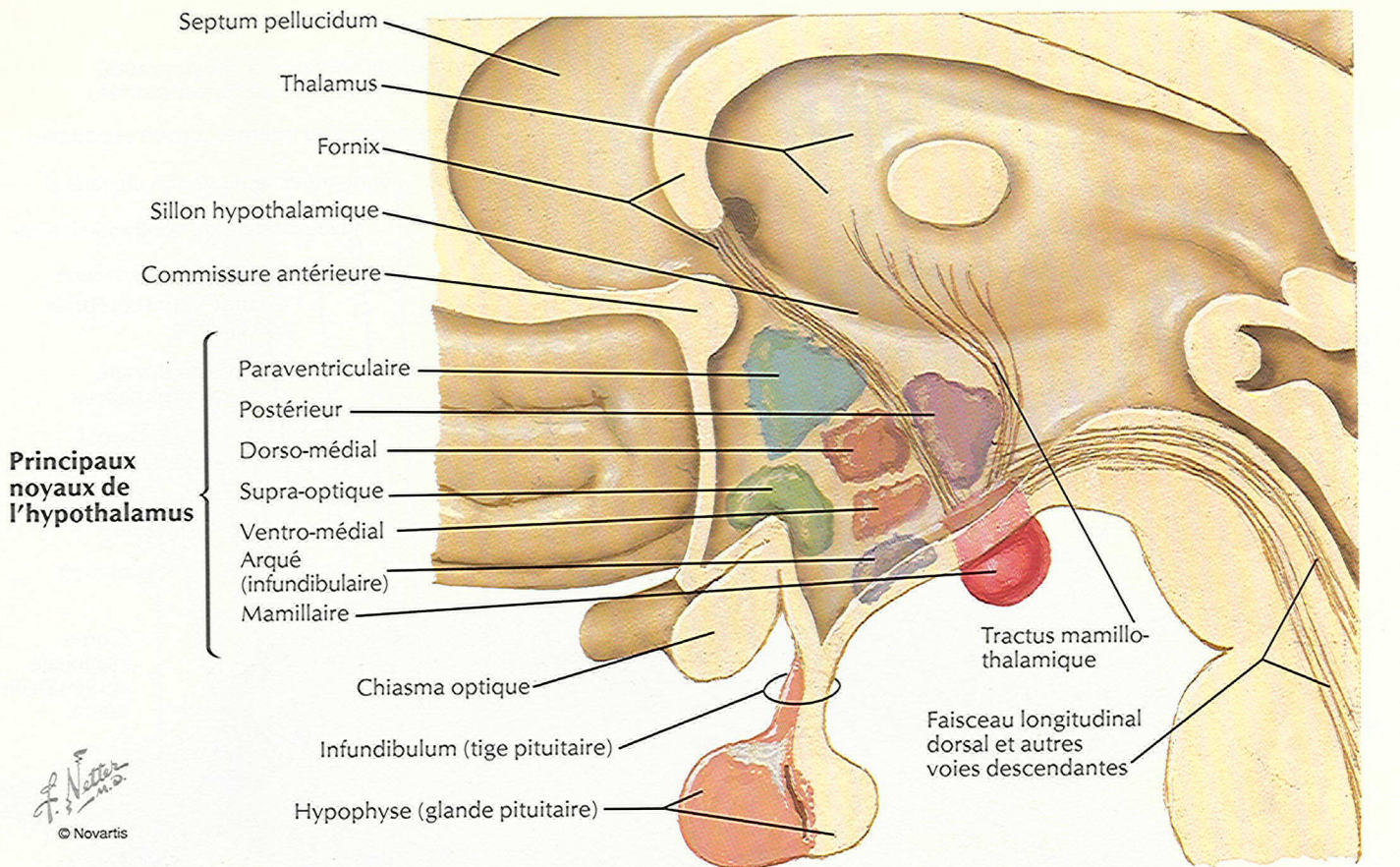
Dissection : vue inférieure

Veines sous-épendymaires de l'encéphale



Hypothalamus et hypophyse

VOIR AUSSI LES PLANCHES 100, 101



Artères et veines de l'hypothalamus et de l'hypophyse

VOIR AUSSI LA PLANCHE 133

